

Entwicklung eines diagnostischen Verfahrens zur Bestimmung der Gelenkachsen des Sprunggelenks

DISSERTATION

Von der Fakultät für und Wirtschafts- und
Sozialwissenschaften der Universität Stuttgart zur Erlangung
der Würde eines Doktors der Philosophie (Dr. phil.)
genehmigte Abhandlung.

Vorgelegt von

Harald Hochwald
aus Geislingen an der Steige

Hauptberichter: Prof. Dr. W. W. Alt
Mitberichter: Prof. Dr.-Ing. J. F. Wagner

Tag der mündlichen Prüfung: 18. Dezember 2006

Institut für Sportwissenschaft der Universität Stuttgart 2006

Inhaltsverzeichnis

Abbildungsverzeichnis	V
Tabellenverzeichnis	VIII
Abkürzungsverzeichnis und verwendete Begriffe	IX
Zusammenfassung	X
Abstract	XII
1 Einleitung	1
2 Stand der Forschung	2
3 Entwicklung des diagnostischen Verfahrens	11
3.1 Problemanalyse und Anforderungsprofil	13
3.2 Verfahren zur Positionsbestimmung im dreidimensionalen Raum . . .	14
3.2.1 Verfahren mechanischer Abtastung	15
3.2.2 Magnetische Verfahren	15
3.2.3 Optische Verfahren	15
3.2.4 Impulslaufzeitverfahren	16
3.3 Ultraschall-Laufzeit-Messsystem	18
3.3.1 Eigenschaften von Ultraschall	20
3.4 Konzeption der Prozessabläufe	22
3.4.1 Konzeption des Messablaufs	22
3.4.2 Konzeption der Berechnung der Rotationsachsen	23
3.4.3 Koordinatensystem anatomischer Bezugspunkte	25
3.4.4 Koordinatentransformation	29
3.4.5 Mathematische Methoden zur Bestimmung von Rotationsachsen	30

3.4.6	Berechnung von Rotationsachsen mit dem Einpunktverfahren	31
3.4.7	Rotationsmatrix	38
3.5	Softwareentwicklung	41
3.5.1	Die Klasse zebClass	42
3.5.1.1	Methoden der Klasse zebClass	42
3.5.1.2	Eigenschaften der Klasse zebClass	43
3.5.2	Die Klasse calcAxis	45
3.5.2.1	Methoden der Klasse calcAxis	45
3.5.2.2	Eigenschaften der Klasse calcAxis	49
3.5.3	Die Klasse USG	52
3.5.3.1	Routine zur Erfassung der Koordinatendaten	52
3.5.3.2	Routine zur Aufzeichnung der Rohdaten	53
3.5.3.3	Filterroutine	55
3.5.3.4	Routine zur Ermittlung geeigneter Datensätze für die Parameterberechnung	56
3.5.4	Programmoberflächen - GUI	59
3.5.4.1	Dialog der Klasse USG	59
3.6	Hardwaremodifikation und -entwicklung	62
3.6.1	Befestigung der Ultraschallsensoren	62
3.6.2	Befestigung der Ultraschallmarker	62
3.6.3	Entwicklung des Taststiftes zur Erfassung anatomischer Punkte	64
3.7	Validierung der Messmethode	69
3.7.1	Validierung am virtuellen Modell	69
3.7.1.1	Versuchsdurchführung	71
3.7.1.2	Versuchsauswertung	71
3.7.2	Validierung am mechanischen Modell	72
3.7.2.1	Versuchsdurchführung	72
3.7.2.2	Versuchsauswertung	73

3.7.3	Validierungsversuch in vivo, MRT-Voruntersuchung	76
3.7.3.1	Versuchsdurchführung	77
3.7.3.2	Versuchsauswertung	78
3.8	Reliabilitätstest	83
3.8.1	Reliabilitätstest am am mechanischen Modell	83
3.8.1.1	Versuchsdurchführung	83
3.8.1.2	Versuchsauswertung	83
3.8.2	Reliabilitätstest in vivo	91
3.8.2.1	Versuchsdurchführung	91
3.8.2.2	Versuchsauswertung	91
3.9	Fehlerabschätzung	95
4	Anwendung des Verfahrens in vivo	97
4.1	Versuchsdurchführung in vivo	97
4.2	Ergebnisse des Verfahrens in vivo	99
5	Diskussion	104
5.1	Zu den Validierungsversuchen	104
5.1.1	Validierung in vivo - MRT Untersuchung	105
5.2	Zu den Reliabilitätstests	105
5.2.1	Am mechanischen Modell	105
5.2.2	In vivo	106
5.3	Zur Anwendung in vivo	108
6	Zusammenfassung	113
6.1	Ausblick	114
	Literaturverzeichnis	116
	Anhang	123

A	Prozessablauf des Messdurchgangs	123
B	Satz vom Umfangswinkel	124
C	C++ Klasse CalcAxis	125
D	Beispiel einer Anwendung der Klasse calcAxis	138
E	C++ Klasse zebClass	139
F	C++ Klasse USG, das Hauptprogramm	144
G	Funktionen und Bedienung weiterer Benutzeroberflächen zur Steuerung des Messprogramms	187
	G.1 Dialog - Probandendaten	187
	G.2 Dialog - Koordinaten festlegen	187
	G.3 Dialog - Messung	188
H	Taststift zur Erfassung anatomischer Punkte	191
I	Quellcode Auszug aus dem 'Programm Modell virtuell'	192
J	Lebenslauf	193
K	Eidesstattliche Erklärung	194

Abbildungsverzeichnis

1	Achse des unteren Sprunggelenks mit markierten Sehnen der Skelettmuskeln.	3
2	Subtalare Gelenksachse und resultierende Momente.	3
3	Inklination und Deviation der Achse des unteren Sprunggelenkes. . . .	5
4	Spiralmodell, Phasen der Entwicklung der Messmethoden	12
5	Schematische Darstellung Impulslaufzeitverfahren	16
6	Trilaterationsverfahren 2D	18
7	Hauptmodule der Messmethode.. . . .	23
8	Prozessablauf zur Berechnung der Sprunggelenkachsen.	24
9	Schritt 1, festlegen Tibiakoordinatensystem	26
10	Schritt 2, festlegen Tibiakoordinatensystem	26
11	Schritt 3, festlegen Tibiakoordinatensystem	27
12	Schritt 4, festlegen Tibiakoordinatensystem	27
13	Schritt 5, festlegen Tibiakoordinatensystem	28
14	Schritt 6, festlegen Tibiakoordinatensystem	28
15	Einpunkteverfahren, Schritt 1	32
16	Einpunkteverfahren, Schritt 2	32
17	Einpunkteverfahren, Schritt 3	33
18	Einpunkteverfahren, Schritt 4	33
19	Einpunkteverfahren, Schritt 5	34
20	Einpunkteverfahren, Schritt 6	34
21	Einpunkteverfahren, Schritt 7	35
22	Einpunkteverfahren, Schritt 8	35
23	Einpunkteverfahren, Schritt 9	36
24	Einpunkteverfahren, Schritt 10	36
25	Einpunkteverfahren, Schritt 11	37

26	Einpunkteverfahren, Schritt 12	37
27	Einpunkteverfahren, Schritt 14	38
28	Befehlssequenz der Klasse zebClass	44
29	Programmstruktur der Klasse calcAxis	51
30	Ablauf, Routine zur Erfassung der anatomischen Bezugspunkte	54
31	Rohdaten der <i>X</i> -Koordinate eines Messdurchlaufs	55
32	Rohdaten und gefilterte Daten der <i>X</i> Koordinate eines Messdurchlaufs	56
33	Gefiltertes Signal der <i>X</i> -Koordinaten mit Extrem- und Mittelpunkten	58
34	Benutzeroberfläche des Hauptprogramms	61
35	Skizze <i>JMA</i> 11 · 11 Sensor	63
36	Prototyp der Sensorbefestigung	64
37	An der Tibia angebrachte <i>JMA</i> Sensor	66
38	Prototyp der Ultraschallmarkerbefestigung.	66
39	Prototyp der applizierten Ultraschallmarkerbefestigung, angebracht am Probandenfuß.	67
40	Prototyp Tatstift zur Erfassung markanter anatomischer Punkte. . . .	68
41	Flussdiagramm zum Programm Modell virtuell.	70
42	Mechanisches Fußmodell	73
43	Validierungsversuch am mechanischen Modell, Abbildung der direkt gemessenen und berechneten Rotationsachsen in der <i>XY</i> Ebene. . . .	75
44	Validierungsversuch am mechanischen Modell, Abbildung der direkt gemessenen und berechneten Rotationsachsen in der <i>YZ</i> Ebene	75
45	MRT-Fixationsvorrichtung	77
46	MRT Aufnahmen eines rechten Sprunggelenks	80
47	Auswertung der MRT Aufnahmen, Frontalebene	81
48	Auswertung der MRT Aufnahmen, Sagittalebene	81
49	<i>XY</i> Koordinatendaten eines in vivo Versuchs	82
50	<i>XZ</i> Koordinatendaten eines in vivo Versuchs	82

51	Reliabilitätstest Teilversuch 1 am mechanischen Modell, <i>XY</i> Ebene der Rotationsachsen bei einmaligem Festlegen des <i>Tibiakordinatensystems</i>	85
52	Reliabilitätstest Teilversuch 1 am mechanischen Modell, <i>YZ</i> Ebene der Rotationsachsen bei einmaligem Festlegen des <i>Tibiakordinatensystems</i>	86
53	Reliabilitätstest Teilversuch 2 am mechanischen Modell. <i>XY</i> Ebene des Teilversuchs 2 zur Bestimmung der Reliabilität bei erneutem Festlegen des <i>Tibiakordinatensystems</i>	89
54	Reliabilitätstest Teilversuch 2 am mechanischen Modell. <i>YZ</i> Ebene des Teilversuchs 2 zur Bestimmung der Reliabilität bei erneutem Festlegen des <i>Tibiakordinatensystems</i>	90
55	3D Diagramm der Rohdaten einer Messung am mechanischen Modell	90
56	<i>XY</i> Ebene des Reliabilitätstests in vivo	93
57	<i>YZ</i> Ebene des Reliabilitätstests in vivo.	94
58	3D-Darstellung der Rohdaten einer Messung in vivo.	94
59	Ultraschalldaten einer exemplarischen Messung projiziert auf die Transversalebene.	99
60	Ultraschalldaten einer exemplarischen Messung projiziert auf die Frontalebene	100
61	Dreidimensionale grafische Darstellung der Ergebnisse	100
62	Schaubild Inklination/Deviation der OSGA.	101
63	Schaubild Inklination/Deviation der USGA	102
64	Schaubild Verteilung der Deviationswinkel der USGA	102
65	Different beim Festlegen des <i>Tibiakordinatensystems</i>	109
66	Deviation relativ zur Trittspur.	112
67	Prozessablauf der Messmethode	123
68	Umfangswinkelsatz	124
69	Dialog Probandendaten	188
70	Dialog Koordinatensystem festlegen	189
71	Dialog, Messung	190
72	Konstruktionsplan des Taststiftes	191

Tabellenverzeichnis

1	Literatur Ergebnisse zur Lage der subtalaren Gelenkachse	10
2	Meteorologischer Einfluss auf die Abstandsmessung	21
3	Datentriplets zur Berechnung der Rotationsachsen	57
4	Ergebnis der virtuellen Validierung	71
5	Ergebnisse der Inklinations- und Deviationswinkel des Validierungsversuchs am mechanischen Modell	74
6	Ergebnisse des Validierungsversuchs am mechanischen Modell, Ergebnisse der Aufpunkte und Richtungsvektoren	74
7	Ergebnisse des Reliabilitätstests Teilversuch 1, am mechanischen Modell	84
8	Ergebnisse des Reliabilitätstests Teilversuch 1, am mechanischen Modell, Koordinatendaten der Aufpunkte und Richtungsvektoren	85
9	Ergebnisse des Reliabilitätstest Teilversuch 2 am mechanischen Modell	88
10	Ergebnisse des Reliabilitätstest Teilversuch 2 am mechanischen Modell, Koordinatendaten der Aufpunkte und Richtungsvektoren	88
11	Ergebnisse des Reliabilitätstests in vivo, berechnete Parameter	92
12	Ergebnisse des Reliabilitätstest in vivo, Aufpunkte und Richtungsvektoren	93
13	Ergebnisse für das obere und untere Sprunggelenk	101
14	Vergleich der Ergebnisse der Deviation bzw. Inklination mit Ergebnissen andere Autoren	108

Abkürzungsverzeichnis und verwendete Begriffe

Inklination	Winkel zwischen der auf die Sagittalebene projizierten Achse und der Transversalebene
Deviation	Winkel zwischen der auf die Transversalebene projizierten Achse und der Sagittalebene
Inversion	Bewegung des Fußes um die Achse des unteren Sprunggelenks mit einer Hebung des medialen Fußrandes
Eversion	Bewegung des Fußes um die Achse des unteren Sprunggelenks mit einer Hebung des lateralen Fußrandes
Neutral-Null-Stellung	aufrechter, hüftbreiter Stand des Probanden
Ink.	Inklination
Dev.	Deviation
USG	unteres Sprunggelenk
USGA	untere Sprunggelenkachse
OSG	oberes Sprunggelenk
OSGA	obere Sprunggelenkachse
M.	Musculus
MRT	Magnetresonanztomographie
GUI	General User Interface
STAB	Standardabweichung
ΔE	absoluter Fehler
ΔF	relativer Fehler

Zusammenfassung

Ziel dieser Arbeit war es eine Methode zu entwickeln mit der es möglich ist, die Sprunggelenkachsen in vivo und nicht invasiv zu bestimmen. Ein hypothetischer Zusammenhang zwischen der individuellen Gelenkanatomie und chronischen sowie akuten Überlastungen der Strukturen der unteren Extremitäten wird in der Literatur zwar mehrfach angesprochen, konnte aber von bisher durchgeführten Studien aufgrund von methodischen Restriktionen und dadurch bedingten kleinen Fallzahlen weder bestätigt noch verworfen werden.

Folgende Anforderungen mussten von dem neuen diagnostischen Verfahren erfüllt werden: Im Feld einsetzbar (benötigt keine Laborbedingungen), in vivo, nicht invasiv, automatisierte Datenverarbeitung und Datenerfassung, einfach zu handhaben. Um diese Anforderungen zu erfüllen wurde das Ultraschall-Laufzeit-Bewegungsanalyse-System CMS 20 der Firma Zebris® modifiziert und eine eigene Software und die benötigten mathematischen Methoden entwickelt. Wie bisher angewandte nicht invasive Methoden zur Bestimmung der Lage der Sprunggelenkachsen in vivo stützt sich auch dieses Verfahren auf eine Bewegungsanalyse des Sprunggelenkkomplexes. Das eingesetzte mathematische Verfahren betrachtet die Bewegungen um die obere und untere Sprunggelenkachse als eine Rotation in der Ebene und reduziert somit die Bewegungsanalyse auf ein zweidimensionales Problem. Für die Berechnung der Gelenkachsen und damit des COR (Center of Rotation) aus den aufgezeichneten Bewegungsdaten genügen demnach die Koordinatendaten von drei verschiedenen Positionen eines Ultraschallmarkers. Der gesamte Messvorgang dauert weniger als zehn Minuten. Dabei muss in einem ersten Schritt das *Tibiakoordinatensystem* – ein Koordinatensystem markanter anatomischer Punkte –, mithilfe eines speziell für diesen Zweck entwickelten Ultraschalltaststiftes festgelegt werden. In der Neutral-Null-Stellung (hüftbreiter Aufrechter Stand) des Probanden müssen zur Bestimmung des *Tibiakoordinatensystems* zwei Punkte auf der Tibiakante und ein weiterer Punkt auf der Achillessehnenmitte aufgezeichnet werden. Mittels eines vierten Punktes in der Standfläche wird der Ursprung des Koordinatensystems festgelegt. Alle Ergebnisse werden relativ zu diesem *Tibiakoordinatensystem* ausgegeben. Anschließend erfolgt die Aufzeichnung der Bewegungsdaten. Dazu muss der Fuß aus der Neutral-Null-Stellung in die maximale Dorsalflexion bewegt werden. In dieser maximalen Dorsalflexion müssen mehrere Inversions/Eversionbewegungen durchgeführt werden. Die Software berechnet anhand der aufgezeichneten Bewegungskordinaten alle benötigten Parameter des oberen und unteren Sprunggelenks und stellt diese nach der Messung numerisch und grafisch dar. Für die Achsdaten des unteren Sprunggelenks werden Mittelwerte und Standardabweichung ausgegeben, die aus den berechneten Sprunggelenk-Achsdaten der einzelnen Inversions- und Eversionsbewegungen

gebildet werden. Mithilfe der Standardabweichung können direkt nach einer Messung Aussagen über die Qualität der Bewegungsausführung und damit über die Genauigkeit des Messergebnisses gemacht werden. Das Gesamtsystem wurde einer Reihe von Validitäts- und Reliabilitätstests am mechanischen Modell und in vivo unterzogen. Der ermittelte Fehler der Winkel für die Reliabilitätstests am mechanischen Modell war $\Delta E < 0,9^\circ$. Bei den in vivo Tests war der Fehler der Winkel mit $\Delta E < 2,5^\circ$ etwas höher als bei den Tests am mechanischen Modell, was aufgrund von Hautverschiebungen und Abweichungen bei der willkürlichen Bewegungsausführung zu erwarten war.

In ersten durchgeführten Studien wurden die Sprunggelenkachsen von $n = 97$ Probanden in vivo bestimmt. Die Standardabweichung bzw. der Messfehler der Einzelmessungen von Deviation und Inklination betrug $\Delta E < 5^\circ$. Der Mittelwert des Deviationswinkels der gesamten Stichprobe war $\alpha_{Dev} = 3,4^\circ$ bei einer Standardabweichung von $STAB < 11,4^\circ$. Dieses Messverfahren ist dazu in der Lage, die Achsen des Sprunggelenkkomplexes in vivo und nicht invasiv bei großen Stichproben im Feld zu bestimmen. Der hypothetische Zusammenhang zwischen der individuellen Gelenkanatomie und chronischen und akuten Überlastungen der Strukturen der unteren Extremitäten sollte mit diesem neuen diagnostischen Verfahren aufgeklärt werden können.

Abstract

The aim of this study is to develop a new diagnostic method to determine the talocrural and subtalar ankle joint axis in vivo and non invasive. Dependencies between individual spatial axis orientation and acute or chronic injuries have been discussed widely in current literature. However, because of methodical limitations and small number of subjects today's studies are not able to shed light on these dependencies satisfactorily.

A new diagnostically method has to meet the following specifications: Suitable in field application, in vivo, non invasive, fully automated data acquisition and data processing, easy to use. To meet these specifications the ultrasonic pulse-echo based hardware CMS 20 from Zebris® has been modified. Moreover, a new software and mathematical methods has been developed. According to already existing in vivo procedures for the determination of the ankle joint axis, this method is based on motion analysis of the ankle joint. The mathematical procedure used regards the movement of the talocrural and subtalar joint as rotations in a plane. Thus, the issue can be reduced to a two dimensions of freedom problem. For the computation of the ankle joint axis and the center of rotation the mathematical method needs three coordinates from a ultrasonic marker. The total measurement takes less than ten minutes. First, a so-called tibia-coordinate-system has to be determined. A custom-built ultrasonic-pointer helps to record prominent anatomical points. To compute the tibia-coordinates two points on the tibia-border and an additional point in the middle of the achilles tendon has to be measured. A fourth point at the base defines the origin of the tibia-coordinates. All points have to be recorded with the subject standing upright in a neutral body position with legs hip-width apart. All results are displayed relative to these tibia-coordinates. The actual recording of ankle movement is done with the subject seated elevated so that the foot can follow its physiological range of movement necessary for the system to compute the ankle joint axis. The subject's foot has to move out of the neutral position to the position of maximum dorsalflexion. In this position of maximum dorsal flexion the foot needs to perform several inversion- and eversion movements. The software now calculates the talocrural and subtalar ankle joint axis from the movement data of the recorded ultrasonic pulse markers. The results are displayed graphically and numerically directly after the measurement. As a result of the measurement subtalarjoint axis the software shows the average and standard deviation of the subtalarjoint axis, calculated out of the specific results of a single inversion/ eversion movement of the subject's foot. Based on the displayed standard deviation, the quality of the required movement or the error of measurement can be estimated. The entire diagnostical method had to pass several validity and reliability tests on a mechanical model and in vivo. The calculated error for the reliability tests using the mechanical model was $\Delta E < 0,9^\circ$. The error concerning the in vivo tests was $\Delta E = 2,5^\circ$.

This is slightly higher than the error on the mechanical model, which is most likely due to skin movements and less accurate movement of the subject's foot in maximum dorsalflexion.

In a first study using this new diagnostical method the ankle joint axis's of $n = 97$ subjects were determined. The standard deviation of the results of a single subject was less than $\Delta E < 5^\circ$. Results with standard deviations higher than 5° were rejected. The average of the $n = 97$ subjects of the deviation was $\alpha_{dev} = 3,4^\circ$ with a standard deviation of $STD < 11,4^\circ$.

This new method is capable of determining the ankle joint and subtalar joint axis in vivo even with a large number of subjects and is therefore able to contribute to our current knowledge regarding the hypothetical dependencies of the spatial orientations of the ankle and subtalar joint axis and acute or chronic injuries.

1 Einleitung

Allein in Deutschland ziehen sich jährlich ca. 600.000 Sporttreibende Verletzungen der unteren Extremitäten zu [HENKE und GLÄSER 2001]. Der größte Anteil entfällt mit etwa 25% auf den Fuß- und Sprunggelenkkomplex [GROSS et al. 1994, HERTEL 2000, BEYNNON et al. 2001, BAUMHAUER et al. 1995, HENKE und GLÄSER 2001]. In den großen Ballsportarten wie z.B. dem Fußball, Handball, Volleyball oder auch Basketball dominieren die Sprunggelenksverletzungen: Im Volleyball entfallen ca. 50% aller Verletzungen auf das Sprunggelenk [HENKE und GLÄSER 2001], aber auch im Handball und Fußball liegen die Sprunggelenksverletzungen mit knapp 25% an erster Stelle. **Peterson et al.** schätzen die Zahl der täglichen Sprunggelenksverletzungen in den USA auf 23.000 [PETERSON und RENSTRÖM 2002]. Dabei gehören die Sprunggelenksverletzungen nicht nur im Sport, sondern ebenfalls in Beruf und Alltag zu den häufigsten Verletzungen. **Lassiter et al.** rechnen, dass bei ca. 40% der Betroffenen Langzeitsymptome zu erwarten sind [LASSITER et al. 1989]. Einige Autoren stufen das Verletzungsrisiko bei einer vorangegangenen Sprunggelenksverletzung als zwei- bis dreimal höher ein als bei Personen ohne Verletzungsanamnese [DENEGAR et al. 2002, HERTEL 2002, OLMSTED et al. 2004, PETERSON und RENSTRÖM 2002]. Im Spitzensport stellen chronische Überlastungsschäden an den Strukturen des Bewegungsapparates ein zusätzliches Problem dar [KANNUS et al. 2002, WILDER und SETHI 2004, TIBESKU und PÄSSLER 2005]. Nach **Wilder et al.** sind ca. 50% der Sportverletzungen Sekundärverletzungen, die aus Überlastungs- bzw. Mikrotraumata resultieren [WILDER und SETHI 2004]. Sowohl für akute Sprunggelenksverletzungen [PHILLIPS und LIDTKE 1992, SARRAFIAN 1993] als auch für chronischen Überlastungsschäden [JONES 1945, INMAN 1976, HINTERMANN und HOLZACH 1992] liefern verschiedene Autoren Erklärungsansätze, bei denen der räumlichen Orientierung der Rotationsachsen des Talocrural- und Subtalargelenks besondere Bedeutung zugeschrieben wird. Die Frage nach einem Zusammenhang zwischen der individuellen Gelenkanatomie und chronischen bzw. akuten Überlastungsschäden der Strukturen der unteren Extremitäten speziell des Sprunggelenks, konnte aufgrund von methodischen Restriktionen bisher eingesetzter Verfahren und den daraus resultierenden kleinen Stichproben nicht beantwortet werden.

Es wird dringend ein neues einfach zu handhabendes diagnostisches Verfahren benötigt, mit dem es möglich ist, die Sprunggelenkachsen-Parameter in großen Fallzahlen in vivo und nicht invasiv hinreichend genau zu bestimmen [ALT 2001]. In dieser Arbeit wurde ein solches Instrumentarium entwickelt, mit dem es nachfolgenden Studien möglich sein wird, den hypothetischen Zusammenhang zwischen der individuellen Gelenkanatomie und chronischen Überlastungsschäden bzw. akuten Verletzungen aufzuklären.

2 Stand der Forschung

Der hypothetische Zusammenhang zwischen der individuellen Gelenkanatomie und chronischen und akuten Überlastungen der Strukturen der unteren Extremitäten wird in der Literatur mehrfach - allerdings wenig spezifiziert - angesprochen. Besonders die sehr große interindividuelle Variationsbreite (siehe Tabelle 1 auf Seite 10) der Lage der Sprunggelenkachsen wurde in diesem Zusammenhang diskutiert [VAN LANGELAAN 1983, MCCLAY und BRAY 1996, PHILLIPS und LIDTKE 1992, ALT 2001]. Unter Berücksichtigung der Erkenntnisse zur Bewegungsübertragung zwischen Calcaneus und Tibia wird deutlich, dass die im Zusammenhang mit Inversion/Eversion des Fersenbeines einhergehende tibiale Rotation [JONES 1945, INMAN 1976, HINTERMANN et al. 1994, HINTERMANN 1998] maßgeblich von der Lage der Achse des unteren Sprunggelenkes beeinflusst wird. Mittels in vivo implantierter Knochen-Marker konnte gezeigt werden, dass diese Bewegungsübertragung erhebliche interindividuelle Differenzen beim Gehen und Laufen aufweist [STACOFF et al. 2000]. Vor allem in der Phase des ersten Fersenaufsatzes bis zum vollständigen Fußkontakt findet eine Übertragung vom Rückfuß auf tibiale Rotation statt.

Ähnliche Überlegungen liegen dem Modellierungsansatz von **Wright et al.** zu Grunde [WRIGHT et al. 2000]. Mittels Computersimulation versuchten sie, den Einfluss unterschiedlicher Fußpositionen auf das Verletzungsrisiko zu erfassen. Für die Variation im Bereich des oberen Sprunggelenkes (mehr Plantarflexion) fanden sie ein erhöhtes Risiko zu lateralen Bandverletzungen. Andere Arbeiten weisen darauf hin, dass die Kausalität zwischen der Bewegung im unteren Sprunggelenk und chronischen Achillessehnenbeschwerden nicht hinreichend aufgeklärt ist [MAYER und DICKHUT 2002]. Die Tatsache, dass einerseits nicht alle Athleten mit einer sogenannten „Überpronation“ Beschwerden entwickeln und andererseits Athleten mit Achillessehnenproblemen zum Teil nur wenig Pronation beim Laufen zeigen, verdeutlicht die Notwendigkeit, diesbezüglich weiter nach individuellen modulierenden Faktoren zu forschen. Betrachtet man außerdem die Lage der wichtigsten Sprunggelenkmuskeln bzw. deren Ansätze in Relation zur Achse des unteren Sprunggelenks, so wird deutlich, dass die starke Variabilität dieser Achse auch erheblich Konsequenzen auf die wirksamen „Hebelarme“ der entsprechenden Muskeln besitzt und damit deren Muskelkraftmomente maßgeblich beeinflusst [SARRAFIAN 1993](Abbildung 1).

Phillips berechnete den senkrechten Abstand zwischen den Metatarsalenköpfchen und der auf die Transversalebene projizierten Achse des unteren Sprunggelenks und zeigte, dass eine Verringerung des Deviationswinkels um $\alpha = 8^\circ$ zu einem zehnfach verringerten Drehmoment bezogen auf die Subtalarachse führt [PHILLIPS und LIDTKE 1992] (siehe Abbildung 2).

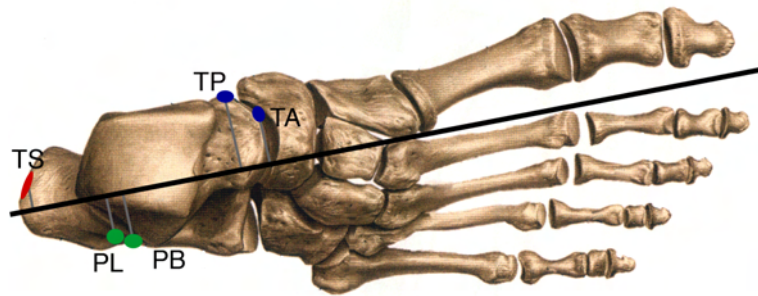


Abbildung 1: Achse des unteren Sprunggelenks mit markierten Sehnen der Skelettmuskeln aus *Sobota* modifiziert nach **Sarrafian** [SARRAFIAN 1993]. PB - M. peroneus brevis, PL - M. peroneus longus, TS - M. triceps surae, TA - M. tibialis anterior, TP - M. tibialis posterior. Dargestellt sind die wirksamen Hebel zur USGA. Eine Veränderung der Deviation bedeutet gleichzeitig eine Veränderung der wirksamen Hebel.

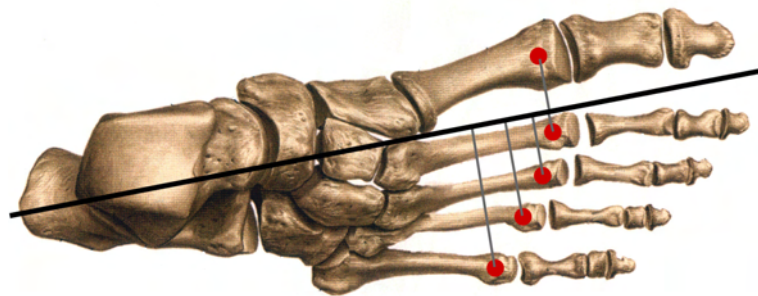


Abbildung 2: Subtalare Gelenksachse und resultierende Momente auf die Transversalebene projiziert (aus *Sobota* [SOBOTA 2000] modifiziert nach **Phillips** [PHILLIPS und LIDTKE 1992]). Je nach Lage der USGA relativ zu den Metatarsalköpfchen lassen sich unterschiedliche Momente für Inversion und Eversion in Abhängigkeit von der Deviation der Achse berechnen.

Nach **Alt** [ALT 2001] formulierten **Isman et al.** [ISMAN et al. 1969] insgesamt zehn Parameter, die bei Messungen der Achsen des Sprunggelenks (OSGA/USGA) erfasst werden sollten:

1. Winkel zwischen Trochlea tibiae und der Längsachse der Tibia.
2. Winkel der Achse des oberen Sprunggelenks mit der Tibialängsachse¹.
3. Winkel der Achse des oberen Sprunggelenks mit der Fußlängsachse in der Projektion auf die Transversalebene².
4. Winkel der Achse des unteren Sprunggelenks mit der Fußlängsachse in der Projektion auf die Transversalebene (Deviation, siehe Abbildung 3).
5. Winkel zwischen der Achse des oberen Sprunggelenks und der Achse des unteren Sprunggelenkes in der Projektion auf die Transversalebene.
6. Tatsächlicher Winkel zwischen der Achse des oberen- und unteren Sprunggelenks.
7. Winkel zwischen der Achse des unteren Sprunggelenks und der Horizontalen in der Projektion auf die Sagittalebene (Inklination, siehe Abbildung 3).
8. Winkel zwischen der Verbindungslinie vom metatarsalen Köpfchen II zum metatarsalen Köpfchen V und der Fußmittellinie.
9. Rechtwinkliger, d. h. minimaler Abstand zwischen den beiden Gelenkachsen.
10. Ein Quotient, der als Maßzahl zur Abschätzung der Lage der subtalaren Gelenkachse in vivo dienen sollte.

Die Ergebnisse der Rotationsachsen (OSGA und USGA) werden durch Geraden im Raum angegeben. In der Literatur kann man nach **Alt**, sowohl für die OSGA als auch für die USGA, prinzipiell drei methodische Typen von Achsen Ergebnisse unterscheiden:

Finite Achse: als Ergebnis einer Mittelwertbildung in einem durch zwei willkürliche Positionen begrenzten endlichen Bewegungsabschnitt.

biphasische Achsen: als Kombination zweier finiter Achsen für zwei bestimmte Bewegungsabschnitte (z. B. eine Achse für die Inversion und eine für die Eversion).

¹ Dieser Winkel wird nachfolgend als Inklination der OSGA bezeichnet.

² Dieser Winkel wird nachfolgend als Deviation der OSGA bezeichnet.

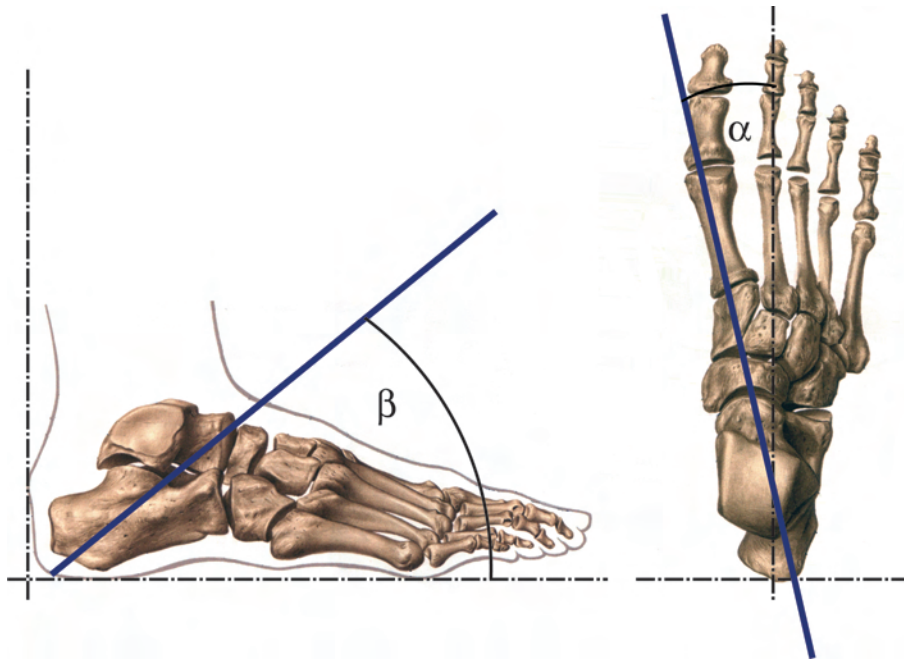


Abbildung 3: Inklinierung und Deviation der Achse des unteren Sprunggelenkes. Bild links zeigt die USGA in der Projektion auf die Sagittalebene, das Bild rechts zeigt die USGA in der Projektion auf die Transversalebene. Der Winkel β gibt die Inklinierung, der Winkel α die Deviation an (aus Sobota [SOBOTA 2000] modifiziert nach Isman et al. [ISMAN et al. 1969]).

Instantane (infinite) Achse: Momentane Achse als Ergebnis einer quasi kontinuierlichen Bewegungsanalyse mit annähernd unendlich kleinen Inkrementen zwischen den einen Bewegungsabschnitt begrenzenden Positionen.

Verschiedene Autoren [FICK 1911, INMAN 1976, DEBRUNNER und JACOB 1998] beschreiben die Bewegung im oberen Sprunggelenk als reine Scharnierbewegung um die finite Achse des OSG ohne Translationsanteile. Eine zweite Gruppe Autoren geht von einer nicht fixierten Achse im oberen Sprunggelenk aus. Für Dorsalflexion und Plantarflexion werden meist zwei unterschiedliche Achsen beschrieben [HICKS 1953, BARNETT und NAPIER 1952]. Van Langelaan und Demarais et al. beschreiben die Bewegung im oberen Sprunggelenk mithilfe instantaner Achsen [VAN LANGELAAN 1983, DEMARAIS et al. 2002].

Zur Lage der USGA werden in der Literatur ebenfalls unterschiedliche Angaben gemacht (siehe Tabelle 1). Es lässt sich allerdings feststellen, dass der Großteil der Autoren eine finite USGA angibt [ELFTMAN und MANTER 1935, ISMAN et al. 1969, VAN DEN BOGERT et al. 1994, ALT 2001]. Biphasische Rotationsachsen werden lediglich von Downing et al. [DOWNING et al. 1978] und Lundberg [LUNDBERG 1989] angegeben und nur Van Langelaan [VAN LANGELAAN 1983] gibt die

Ergebnisse der USGA als instantane Achsen aus. Die Aussagen bezüglich Schraubungscharakter der USGA sind ebenfalls widersprüchlich. Während **Manter** bei einer Rotation um 10° eine Translation von $1,5\text{mm}$ angibt findet **Inman** bei 58% aller untersuchten Präparate eine anteriore Translation, bei 28% eine posteriore Translation. Die Aussagen von **Van Langelaan** sind differenzierter, wobei große Rotationen nicht zwangsläufig mit großen Translationen einher gehen. **Alt** sieht mögliche Ursachen für die widersprüchlichen Angaben bezüglich des Schraubungscharakters der USGA in:

- ◇ den untersuchungsmethodischen Restriktionen in Bezug auf die Messgenauigkeit.
- ◇ der starken interindividuellen Variabilität.
- ◇ der Art und Anzahl der in die Untersuchung einbezogenen Gelenkstrukturen.
- ◇ der Art und Weise der Fixation der zu untersuchenden Gelenkstrukturen bzw. der Einleitung der Bewegung auf das Gelenk.

Er stellt darüber hinaus fest,

„[...] dass die translatorische Bewegung um die Helicalaxis im unteren Sprunggelenk, wenn sie vorhanden ist, nur in geringem Ausmaß stattfindet, welches einen Wert von $2 - 3\text{mm}$ für die gesamte Bewegung im unteren Sprunggelenk wohl kaum überschreiten dürfte.“

Nach **Alt** lassen sich die Arbeiten zur qualitativen und quantitativen Beschreibung der funktionellen Sprunggelenksanatomie in drei Funktionskategorien einteilen:

- ◇ direkte Verfahren mit unmittelbarer Erfassung der Bewegung der gelenkbildenden Knochen
- ◇ indirekte Verfahren über Erfassung analoger Bewegungsparameter
- ◇ mathematische Modellierung.

Die Ergebnisse dieser Untersuchungen sind in Tabelle 1 zusammengefasst. Die ersten Studien zur Lage der Sprunggelenkachsen setzten ausschließlich die direkten Verfahren ein. Dabei wurden in in vitro Experimenten meist die artikulierenden Gelenkflächen manuell gegeneinander bewegt. Zur Bestimmung der Gelenkachsen kamen verschiedene Techniken zum Einsatz:

1. Bei fixiertem Calcaneus werden die Raumbewegungen von am Talus angebrachten Zeigern verfolgt und anschließend mithilfe eines graphisch-mechanischen Verfahrens die Gelenkachse bestimmt [MANTER 1941, ROOT et al. 1966].
2. Es wird der oberflächliche Punkt gesucht, der bei der durchgeführten Rotation eine minimale Bewegung aufweist [HICKS 1953, ISMAN et al. 1969].
3. In den beteiligten Knochen werden kleine Stahlspitzen eingebracht, die dann bei einer Rotationsbewegung Spurrillen in den Gelenkflächen hinterlassen. Aus diesen Spurrillen werden dann die Rotationsachsen berechnet [ISMAN et al. 1969].

Bei den in vivo Methoden zur Bestimmung der Sprunggelenkachsen handelt es sich um indirekte Verfahren, wobei man die invasiven und nicht invasiven Verfahren unterscheiden muss. Bei beiden Vorgehensweisen werden die Rotationsachsen mithilfe verschiedener mathematischer Methoden aus den erfassten Bewegungsparametern berechnet. Die Bewegung des Talus kann bei den invasiven Verfahren objektiviert werden. Mittels Stereoröntgen-Fotogrammetrie [LUNDBERG 1989, VAN LANGELAAN 1983] oder Fotogrammetrie mit angebrachten Intrakortikalmarken [ARNDT et al. 2004] können die Bewegungsdaten erfasst werden.

Für das Problem der nicht objektivierbaren Talusbewegungen bei nicht invasiven in vivo Messungen entwickelten verschiedene Autoren unterschiedliche Lösungsansätze. **Alt** zeigte in einem in vitro Versuch, dass bei maximaler Dorsalflexion das obere Sprunggelenk als festgesetzt betrachtet werden kann [ALT et al. 1998]. Eine Inversions/Eversionsbewegung in der maximalen Dorsalflexion kann demnach als eine isolierte Bewegung im unteren Sprunggelenk betrachtet werden. Zur Erfassung der Daten setzt der Autor 3D Photogrammetrie ein. Insgesamt sechs Infrarot-Reflex-Marker werden an Fuss und Tibia der Probanden angebracht. Die drei an der Tibia angebrachten Marker dienen zur Berechnung des *Tibiakoordinatensystems*. Dazu werden Marker 1 und Marker 2 parallel zur Tibiakante ausgerichtet, Marker 3 wird so justiert, dass er senkrecht zu Marker 2 und gleichzeitig parallel zur Fußlängsachse steht. Aus den Momentaufnahmen der endgradigen Eversion- und Inversionstellungen berechnet der Autor mithilfe des *Helical Axis Verfahrens* eine finite Rotationsachse des unteren Sprunggelenks (siehe Tabelle 1).

Van den Bogert geht sowohl beim oberen als auch beim unteren Sprunggelenk von einfachen Scharniergelenken aus. Dadurch reduziert sich das Problem auf eine zweidimensionale Rotation in der Ebene. In einem $500\text{mm} \cdot 500\text{mm} \cdot 500\text{mm}$ großen Kalibrationsraum, lässt er die Versuchspersonen mehrere Bewegungen ausführen, die von einem 3D Videoanalysesystem aufgezeichnet werden:

1. aus der maximalen Dorsalflexion in die maximale Plantarflexion,
 - a. bei endgradiger Eversion im unteren Sprunggelenk,
 - b. in der Neutralstellung im unteren Sprunggelenk,
 - c. bei endgradiger Inversion im unteren Sprunggelenk.
2. aus der maximalen Eversion in die maximale Inversion,
 - a. in der maximaler Plantarflexion,
 - b. in der Semi-Plantarflexion
 - c. in der maximalen Dorsalflexion
3. eine volle kreisförmige Bewegung.

Das mathematische Modell des Sprunggelenks wird durch einen Optimierungsalgorithmus und eingezogenen Bewegungsdaten jeder oben aufgeführten Einzelbewegung solange kalibriert, bis das Modell und das reale Sprunggelenk hinreichend genau übereinstimmen. **Demarais** stellt eine weitere Lösungsstrategie zur Bestimmung der Sprunggelenksachsen in vivo vor [DEMARAIS et al. 2002]. Auch seine Methode basiert auf einem 3D Videoanalysesystem. Aus den Daten von insgesamt sechs Markern berechnet er eine Ebene und eine Kugeloberfläche, die möglichst viele der aufgezeichneten Markerpunkte enthalten sollen. Durch diese Annäherung kann dann die Rotationsachse, die senkrecht durch die Ebene und durch das Zentrum der Kugeloberfläche verlaufen muss, angegeben werden. Das Verfahren wurde bisher in keiner Studie eingesetzt.

Zusammenfassend lässt sich sagen:

- ◇ Die meisten Autoren gehen von einer monoaxialen Bewegung sowohl im oberen als auch im unteren Sprunggelenk aus.
- ◇ Die Aussagen bezüglich des Schraubungscharakters der Achse des unteren Sprunggelenks sind widersprüchlich. Die translatorische Bewegung um die Schraubungsachse wird, wenn sie existiert, einem Umfang von 2 – 3mm kaum überschreiten, d. h. das Ergebnis liegt bei nicht invasiven in vivo Messungen innerhalb der Fehlergrößen und kann somit vernachlässigt werden.
- ◇ Eine große interindividuelle Varianz, besonders die Deviation der USGA betreffend, wird von allen Autoren bestätigt.

- ◇ Nicht invasive in vivo Messungen³ versuchen die nicht direkt objektivierbare Talus Bewegungen entweder mechanisch zu minimieren [ALT 2001] oder benutzen mathematische Optimierungsalgorithmen um eine Annäherung eines mathematischen Modells an die tatsächlichen Achslagen des Sprunggelenks zu schaffen.

Aufgrund der geringen Probandenzahlen bei bisher durchgeführten in vivo Studien, lässt sich die Frage nach einem möglichen Zusammenhang, zwischen chronischen Überlastungsschäden oder akuten Verletzungen des Sprunggelenks und diskreten Sprunggelenksachslagen noch nicht beantworten. Um dieser Frage nachzugehen, muss ein diagnostisches Verfahren geschaffen werden, das in der Lage ist, in vivo und nicht invasiv die Sprunggelenkachsen hinreichend genau zu bestimmen.

³ Diese Methoden beruhen meist auf Bewegungsanalysen des Sprunggelenkkomplexes.

Tabelle 1: Literatur Ergebnisse zur Lage der subtalaren Gelenkachse modifiziert nach **Alt**.

Autor	Jahr	n	Lage	α [°]	h.A.	Typ	Methode
Elftmann u. Manter	1935	n.a.	Ink. Dev.	43 28	n.a.	finite	in vitro Gelenkgeometrie
Manter	1941	16	Ink. Dev.	42 16	ja	finite	in vitro graphisch-mechanisches Verfahren mit am Talus fixierten Zeigern
Root et al.	1966	22	Ink. Dev,	41 17	nein	n.a.	in vitro gaphisch-mechanisches Verfahren mit am Talus fixierten Stahlpins
Ismann u. Inman	1969	47	Ink. Dev.	42 23	n.a.	finite	in vitro manuelles Bewegen des Talus, Suche nach Punkt minimaler Bewegung
Downing et al.	1978	50	Ink. Dev.	43 18	n.a.	biphasisch	in vivo Berechnung aus Endstel- lung max. Pronation/Su- pination, mithilfe ange- brachter Zeiger an Calca- neus und Tibia.
Van Langelaan	1983	10	Ink. Dev.	43 17	ja	instantan	in vitro Stereo-Röntgen- Photogrammetrie
Lundberg	1989	8	Ink. Dev.	33 29	n.a.	biphasisch	in vivo, invasiv Stereo-Röntgen- Photogrammetrie mit appliziertenTantalum- markern.
van den Bogert et al.	1994	14	Ink. Dev.	37 18	n.a.	finite	in vivo, nicht invasiv 3D-Photogrammetrie, Be- rechnung durch Anpas- sung eines 2D Modells an die kinematischen Daten des Experiments.
Alt	2001	22	Ink. Dev.	56 8	n.a.	finite	in vivo, nicht invasiv 3D-Photogrammetrie, Berechnung mithilfe des Helical-Axis Verfahrens.

3 Entwicklung des diagnostischen Verfahrens

Die folgenden Kapitel beschreiben die einzelnen Phasen der Planung und Entwicklung des in dieser Arbeit entwickelten diagnostischen Verfahrens zur Bestimmung der Sprunggelenkachsen in vivo. Ausgehend von einem in einem ersten Schritt erstellten Anforderungsprofil werden Programmstruktur, mathematische Methoden, Software und Hardware entwickelt. Zwei Vorgehensmodelle aus der Softwareentwicklung halfen bei der Planung der einzelnen Entwicklungsschritte: das *Wasserfall* [ROYCE 1970]- und das *Spiralmodell* [BOEHM 1988]. Das *Wasserfallmodell* untergliedert den Entwicklungsprozess in folgende Phasen:

1. Anforderungsanalyse
2. Systemdesign und -spezifikationen
3. Programmierung und Modultests
4. Integration und Systemtests
5. Auslieferung, Einsatz und Wartung

Das *Wasserfallmodell* besitzt einen eindeutigen Start- und Endpunkt und wird nur ein einziges Mal durchlaufen. Da es bei Projektbeginn schwierig ist, alles endgültig im Detail festzulegen - oft verändern sich während der Entwicklung die Anforderungen an die Methode - kommen in der Praxis meist alternative Modelle zur Softwareentwicklung zum Einsatz. Die Entwicklung des neuen diagnostischen Verfahrens zur Bestimmung der Sprunggelenkachsen orientiert sich an der Struktur des *Spiralmodells*⁴. In der Unterteilung der Phasen ähnelt das *Spiralmodell* dem *Wasserfallmodell*, allerdings werden diese Phasen mehrmals durchlaufen. Das *Spiralmodell* betrachtet die Prototypenentwicklung als iterativen Prozess. Abbildung 4 auf Seite 12 zeigt die einzelnen Entwicklungsabschnitte sowie die verschiedenen Prototypenstadien bis zum betriebsfähigen Prototypen.

⁴ Die Gliederung der Arbeit lässt zwar eine Orientierung am *Wasserfallmodell* vermuten, diese Struktur ist aber lediglich der besseren Übersichtlichkeit wegen gewählt worden.

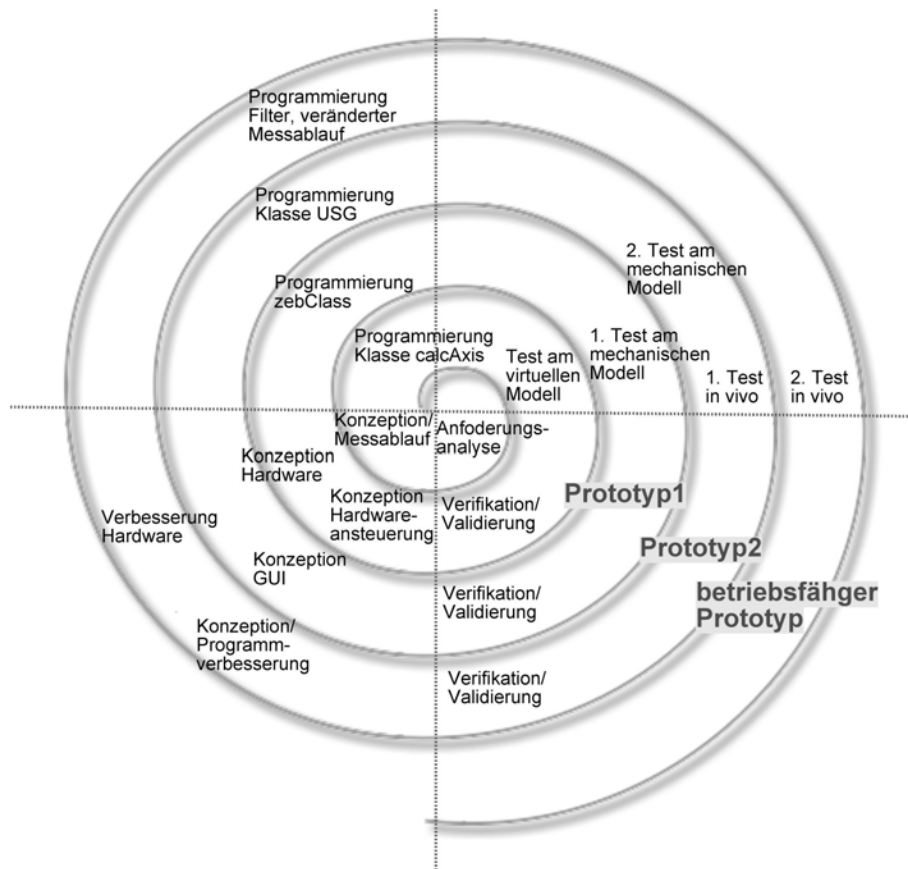


Abbildung 4: Spiralmodell, Phasen der Entwicklung des diagnostischen Verfahrens. Ausgehend von einer ersten Anforderungsanalyse wird das Messsystem entwickelt, geprüft und ständig verbessert. Über die Entwicklung verschiedener Prototypstadien kommt es schließlich zur Fertigstellung eines betriebsfähigen Prototypen.

3.1 Problemanalyse und Anforderungsprofil

In Kapitel 2 ab Seite 2 wurden bereits verschiedene Verfahren zur Bestimmung der Sprunggelenkachsen vorgestellt. Die meisten dieser Verfahren liefern durchaus brauchbare Ergebnisse, haben aber den entscheidenden Nachteil, dass sie Laborbedingungen benötigen und meist mit einem erheblichen instrumentellen Aufwand verbunden sind.

Daraus ergeben sich folgende Anforderungen an das neu zu entwickelnde Verfahren:

- ◇ in vivo Messung
- ◇ nicht invasiv
- ◇ einfache Handhabung
- ◇ schneller Auf- und Abbau
- ◇ Ergebnisse sollen ohne weitere Auswertungsschritte nach der Messung vorliegen
- ◇ Methode darf keine Laborbedingungen benötigen, soll in Feldversuchen einsetzbar sein
- ◇ Zuverlässig, auch bei Messung mit großen Probandenzahlen (geringe Störfähigkeit)

Diese Methode wird wie auch die bereits vorhandenen Methoden zur Gelenkachsenbestimmung in vivo auf einer Bewegungsanalyse des Sprunggelenks basieren. So kann indirekt über die Bewegung der am Sprunggelenk angebrachten Marker die räumliche Orientierung und Position der Rotationsachsen berechnet werden. Es wird zunächst also eine Hardware benötigt, mit der es möglich ist, Markerpositionen aufzuzeichnen und diese dann an eine geeignete Software weiterzugeben. Diese Software muss dann wiederum in der Lage sein, aus den 3D Koordinatendaten der aufgezeichneten Bewegung die Rotationsachsen zu berechnen.

Eine Unterteilung in nachfolgende Arbeitsschritte erschien daher sinnvoll:

1. Überprüfung verschiedener Verfahren zur Positionsbestimmung im dreidimensionalen Raum. Dabei sollten die vom Verfahren verwendeten physikalischen Mess- bzw. geometrische Beobachtungsprinzipien unbedingt die in diesem Kapitel formulierten Anforderungen erfüllen.
2. Suche nach einer geeigneten Hardware, die das gewünschte Verfahren zur Positionsbestimmung einsetzt. Diese Hardware muss Schnittstellen besitzen, die eine automatisierte Datenakquisition zulassen.

3. Entwicklung eines mathematischen Verfahrens, das in der Lage ist, aus den Bewegungskordinaten die Rotationsachsen zu berechnen. Gegebenenfalls kann auf bereits bestehende Algorithmen zurückgegriffen werden.
4. Entwicklung einer Software, die die Aufgaben der Datenverarbeitung mit allen dafür notwendigen Auswerteschritten übernimmt. Die Ergebnisse sollen sowohl numerisch als auch grafisch dargestellt werden.
5. Pilotversuche zur Fehlerabschätzung und Überprüfung der Gütekriterien des gesamten Messverfahrens bestehend aus Hardware, mathematischen Algorithmen und Software zur automatisierten Datenverarbeitung. Gegebenenfalls Durchführung von verschiedenen Modifikationen zur Fehlerminimierung.
6. Erster Einsatz im Feld. Möglicherweise Modifikationen des Messablaufs um eine einfache Handhabung des Systems zu gewährleisten.

3.2 Verfahren zur Positionsbestimmung im dreidimensionalen Raum

Unter dem Begriff „Verfahren zur Positionsbestimmung“ oder einfacher „3D-Meßsysteme“ versteht man Hilfsmittel, mit denen es möglich ist, die Form, die Lage oder Lagetrajektorie eines Objektes dreidimensional zu erfassen [ZIEGLER 1996]. Eine sinnvolle Einteilung der Systeme kann entweder nach der gesuchten Zielgröße (Form, Lage, Orientierung), dem verwendeten physikalischen Messprinzip (z. B. optische oder mechanische Abtastung) oder dem geometrischen Beobachtungsprinzip (Hyperbel-, Triangulations- oder Trilaterationsverfahren) erfolgen. Eine weitere wichtige Eigenschaft von 3D-Messsystemen, ist die Fähigkeit der Positionsbestimmung im kinematischen Zustand, wobei der Bewegungsablauf eines Objektpunktes durch einen zeitvariablen Ortsvektor in Bezug auf ein gewähltes Koordinatensystem beschrieben werden kann. Ein wesentliches Kriterium kinematischer Messsysteme ist die mögliche Abtastfrequenz der Positionsbestimmung, um den Bewegungsablauf hinreichend gut zu beschreiben. Die geforderte Messfrequenz ist hierbei abhängig von den möglichen Bewegungsraten und den gestellten Genauigkeitsanforderungen [MÖNICKE 1994].

Da bei der Versuchsanordnung zur Bestimmung der Sprunggelenkachsen kleine Bewegungsamplituden und niedere Bewegungsfrequenzen auftreten werden, sind die Anforderungen an die Abtastfrequenz des Messsystems eher gering.

Sowohl die Bewegungsamplitude als auch die Bewegungsausführung dürfen aber auf keinen Fall durch das Anbringen von mechanischen Sensoren oder die Bauformen von Markern eingeschränkt werden. Das Verfahren darf auch bei häufigem Einsatz keine Abnutzungserscheinungen zeigen, nur so kann gewährleistet werden, dass auch

bei einer Messung einer großen Anzahl an Probanden das Gesamtsystem im Einsatz zuverlässige Werte liefert.

3.2.1 Verfahren mechanischer Abtastung

Verfahren zur mechanischen Abtastung bzw. Positionsbestimmung sind im einfachsten Falle Messgeräte wie mechanische Entfernungsmesser, mit denen der Abstand eines Punktes zu einem Referenzpunktes eines Koordinatensystems ermittelt werden kann. In diesem Fall lassen sich die Vorgänge zur Automation von Datenerfassung und Datenverarbeitung der Messwerte fast nicht realisieren. Eine etwas komfortablere Lösung, die eine automatische Erfassung der Messwerte zulassen würde, sind Konstruktionen aus Linearpotentiometer und verschiedenen Seilzügen. Allerdings haben alle mechanische Abtastverfahren den Nachteil, dass sie durch die mechanische Konstruktion unter Umständen die Freiheitsgrade des zu vermessenden Systems einschränken könnten. Ein solches Verfahren wird durch den häufigen Einsatz mit großer Wahrscheinlichkeit mechanische Abnutzungserscheinungen und dadurch Messungenauigkeiten aufweisen. Deswegen soll an dieser Stelle nicht weiter auf diese Verfahren eingegangen werden.

3.2.2 Magnetische Verfahren

Die magnetischen Verfahren sollen hier nur der Vollständigkeit halber erwähnt werden. Sie basieren meist auf permanent-magnetischen Kugeln, die als Marker fungieren und einfachen Magnetfeldsensoren. Der Vorteil eines solchen Verfahrens liegt in dem berührungslosen Messaufbau und der Möglichkeit der Automation von Messdatenerfassung und -Verarbeitung. Allerdings scheiden diese Systeme aufgrund ihrer hohen Störanfälligkeit, für den Einsatz im Feld aus. Das zur Bewegungsbestimmung verwendete inhomogene magnetische Wechselfeld könnte z. B. durch elektronische Geräte (Netzteil, Computermonitor etc.) gestört werden.

3.2.3 Optische Verfahren

Optische Trackingverfahren arbeiten auf der Basis digitaler Kameras. Der Vorteil dieser Verfahren liegt in der berührungslosen Messwertaufnahme. Um bestimmte Punkte aufzuzeichnen müssen lediglich optische Marker angebracht werden. **Alt** et. al. [ALT et al. 1998] haben bereits Messungen zur Bestimmung der Sprunggelenksachsen mit Hilfe des auf Infrarot-Basis arbeitenden Bewegungsanalysesystems MotionAnalysis® durchgeführt. Dabei wurden bestimmte Positionen des Sprunggelenks mit einem 4-Kamera-Verfahren in einem Kalibrationsraum aufgezeichnet. Die

Raumkoordinaten wurden anschließend mit der Software Kintrack® ermittelt und zuletzt die untere Sprunggelenksachse mit Hilfe des Programms Helical Axis berechnet [JACOB 1989]. Wegen der Notwendigkeit eines Kalibrationsraumes benötigt dieses Verfahren allerdings unbedingt Laborbedingungen und ist somit für den Einsatz im Feld nicht geeignet. Obwohl die Marker- und Datenerfassung wie auch die Datenverarbeitung weitgehend automatisiert war, benötigte dieses Verfahren doch einige Auswertungsschritte, bis das Ergebnis der Lage und Position der unteren Sprunggelenksachse vorlag.

3.2.4 Impulslaufzeitverfahren

Impulslaufzeitverfahren sind weit verbreitete Verfahren zur Entfernungsmessung. Bei diesen Verfahren wird ein Impuls ausgesendet, der nach Durchlaufen einer Messstrecke am Empfänger detektiert wird. Für die Zeitmessung bietet sich das digitale Zeitmessverfahren an, wobei sich die Laufzeit durch die Zählung der von einem Oszillator erzeugten Impulse ergibt.

Abbildung 5 auf Seite 16 zeigt den schematischen Aufbau einer Laufzeitmessung.

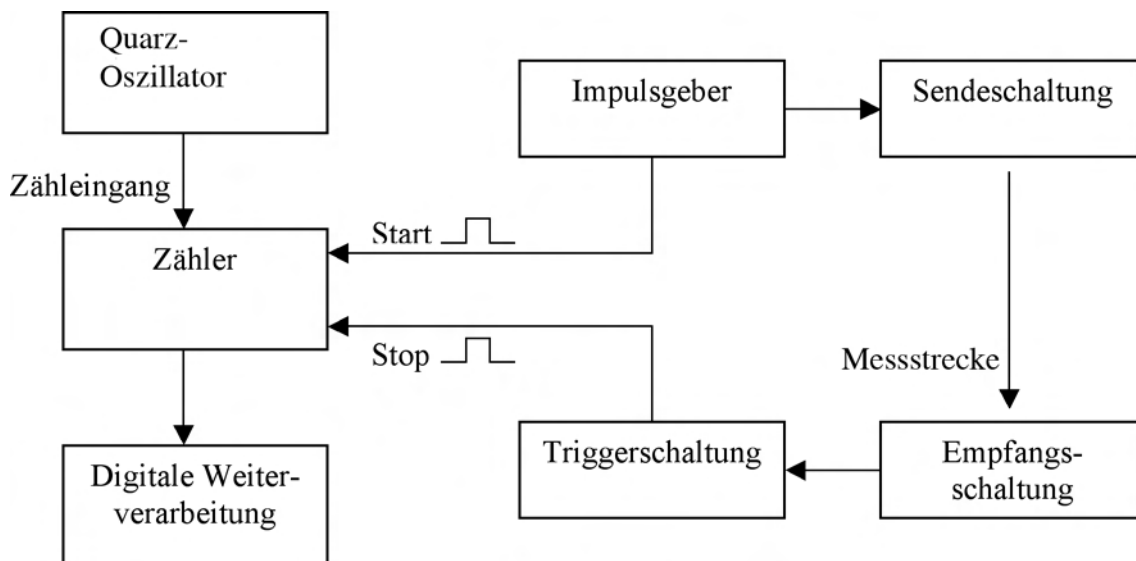


Abbildung 5: Schematischer Aufbau von Impulslaufzeitverfahren: Der Impulsgeber veranlasst die Sendeschialtung zum Aussenden eines Impulses, gleichzeitig wird ein meist digitaler Zähler gestartet. Die Empfangsschialtung detektiert den Impuls, nach Durchlaufen seiner Messstrecke, über die Triggerschialtung wird der Zähler gestoppt. Aus der benötigten Laufzeit und der Ausbreitungsgeschwindigkeit des Impulses im jeweiligen Medium, kann die Entfernung von Sender zu Empfänger berechnet werden.

Impulslaufzeiten können sowohl mit Schallwellen als auch mit elektromagnetischen Wellen, also z. B. Lichtwellen (Laser), durchgeführt werden. Als vorteilhaft erweist

sich bei kürzeren Messtrecken⁵ die geringe Ausbreitungsgeschwindigkeit der Schallwellen gegenüber der von elektromagnetischen Wellen, so dass bei relativ geringen Zähhfrequenzen hohe Auflösungen erzielt werden können. Unterschieden werden des weiteren die *direkte Streckenmessung* und das *Transponderverfahren* [MÖNICKE 1994]. Während beim *Transponderverfahren* der ausgesendete Impuls von einem Reflektor reflektiert wird, also die doppelte Messstrecke durchlaufen wird, befinden sich bei der *direkten Streckenmessung* auf den Endpunkten der Strecke jeweils ein Impulssender und ein Impulsempfänger. Dadurch können Auswirkungen von Störechos praktisch ausgeschaltet werden, da das direkte Signal immer den kürzesten Laufweg besitzt.

Funktionsweise von Trilaterationsverfahren

Um ausgehend von der gemessenen Strecke die Position eines Markers bzw. Impuls-senders berechnen zu können, werden Trilaterationsverfahren eingesetzt. Unter dem Begriff *Trilaterationsverfahren* lassen sich sehr viele unterschiedliche Verfahren innerhalb der industriellen Messtechnik zusammenfassen. Die Auflösung solcher Systeme erreicht mit handelsüblichen Sensoren Größenordnungen von $1\mu m$ [HARTRUMPF 1991], ist also für eine Bewegungsanalyse des Sprunggelenkkomplexes durchaus geeignet. Das Prinzip der *Trilaterationsverfahren* ist denkbar einfach. Aus dem bekannten Abstand a zweier Empfänger lassen sich mit Hilfe des *Impulsmessverfahrens* die Abstände b und c bestimmen (siehe Abbildung 6 auf Seite 18). Die exakte Position des Senders lässt sich damit konstruieren. Um die Position des Senders im Raum zu ermitteln, werden drei Empfänger und ihre Abstände zueinander benötigt⁶. Rechnerisch lässt sich die Position des Senders mit Hilfe des Kosinussatzes ermitteln⁷:

$$\begin{aligned}c^2 &= b^2 + a^2 - 2 \cdot b \cdot a \cdot \cos\gamma \\b^2 &= c^2 + a^2 - 2 \cdot c \cdot a \cdot \cos\beta\end{aligned}$$

Ein auf der Impulslaufzeitmessung basiertes Verfahren besitzt gegenüber den vorgestellten Verfahren (in den Kapiteln 3.2.1, 3.2.2, 3.2.3, auf Seite 15) einige Vorteile:

- ◇ Die Markerpositionen müssen nicht wie bei optischen Verfahren, aus einer großen Menge von Information (Videomaterial) herausgefiltert werden. Lediglich der Sender sendet Informationen. Meist senden die Sender nur in einem schmalen Frequenzbereich. Die Empfänger empfangen wiederum nur innerhalb dieses Frequenzbandes; Störeinflüsse werden so minimiert.

⁵ Die Marker-Empfänger Abstände werden bei der Bewegungsanalyse des Sprunggelenkkomplexes unter $a = 50cm$ liegen. Ein Impulslaufzeitverfahren, das auf der Basis von Schallwellen arbeitet, scheint für diese Problemstellung geeignet zu sein.

⁶ Der Schnittpunkt ihrer Kugelflächen ergibt die Position des Senders im dreidimensionalen Raum.

⁷ Die Strecke a ist bekannt, die Strecken b und c können aus den jeweiligen Impulslaufzeiten und Ausbreitungsgeschwindigkeiten berechnet werden.

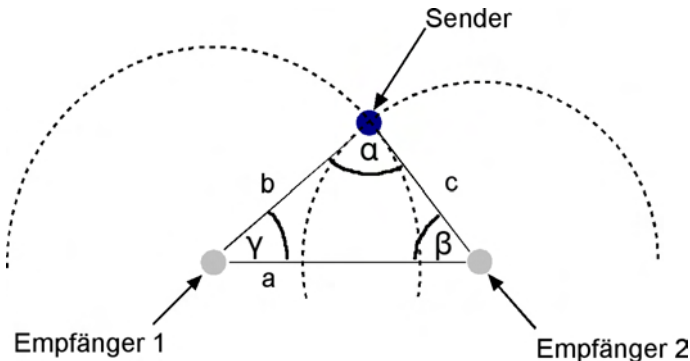


Abbildung 6: Funktionweise eines zweidimensionalen Trilaterationsverfahrens: Aus dem bekannten Abstand a von Empfänger 1 und Empfänger 2 und der jeweils benötigten Laufzeit des Impulses vom Sender zum Empfänger 1 (Strecke b) bzw. Empfänger 2 (Strecke c), lässt sich die exakte Position des Senders geometrisch konstruieren beziehungsweise berechnen. Die zweite Lösung kann wegen unplausibler Strecken ignoriert werden.

- ◊ Die dadurch erreichte Reduktion der Datenmenge begünstigt eine automatisierte Datenakquisition und Datenverarbeitung.
- ◊ Impulslaufzeitverfahren benötigen keinen speziellen Kalibrationsraum. Diese Systeme sind in der Lage, sich selbst zu kalibrieren. Abweichungen der Ausbreitungsgeschwindigkeit z. B. durch Temperaturänderung bei Schallwellen, können von solchen Systemen selbstständig berechnet werden.
- ◊ Sie sind berührungslos, weder Abnutzungserscheinungen noch Beeinträchtigung der Bewegungsamplitude oder des Bewegungsausmaßes sind in der Regel zu erwarten. Das Befestigungs- bzw. Applikationsproblem kann dadurch ebenfalls minimiert werden.

Zusammenfassend lässt sich sagen: Ultraschall scheint für diese Anwendung am besten geeignet zu sein. Durch die relativ geringe Ausbreitungsgeschwindigkeit von Schallwellen ($c \approx 331m/s$) lassen sich auch bei geringer Zähhfrequenz hohe Ortsauflösungen erzielen. Außerdem werden Schallwellen kugelförmig abgestrahlt⁸, d. h. der Empfänger kann bei verschiedenen Raumwinkeln ein Schallsignal detektieren.

3.3 Ultraschall-Laufzeit-Messsystem

Da bereits verschiedenste Ultraschall-Messsysteme auf dem Markt erhältlich sind, ist es nicht notwendig, eine eigene Hardware zu entwickeln. Die existierenden Systeme sollten aber bestimmte Eigenschaften besitzen:

⁸ Bei einem System, das mit den gebündelten Lichtwellen eines Lasers arbeitet müssen Sender und Empfänger aufeinander ausgerichtet werden.

- ◇ Das Messsystem sollte auf dem Verfahren der direkten Impulslaufzeitmessung basieren. Das heißt Sender und Empfänger sind an den Endpunkten der Messstrecke angebracht. Nur so lassen sich Störungen durch Reflektionen minimieren.
- ◇ Sowohl Sender als auch Empfänger sollten möglichst klein und leicht sein, um ein variables Anbringen am Fuß zu ermöglichen.
- ◇ Das Messsystem sollte eine Schnittstelle zur Verfügung stellen, um das Entwickeln einer speziellen Software (Messprogramm) zu ermöglichen.
- ◇ Im Nahbereich sollte eine größtmögliche Messgenauigkeit erzielt werden können.

Das Bewegungsanalysesystem CMS 20 von Zebris®

Das Messsystem CMS 20 der Firma Zebris® scheint alle diese Anforderungen zu erfüllen. Das Ultraschall-Bewegungsanalysesystem CMS 20 wurde bereits erfolgreich bei Kiefergelenk-, Gleichgewichts- und Wirbelsäulenanalysen eingesetzt. Mit dieser Hardware lassen sich gleichzeitig maximal 8 Miniatur-Ultraschallmarker (Sender) mit drei Mikrofonen erfassen.

Technische Daten des CMS 20:

- ◇ maximal 8 Ultraschallsender (Masse = $1g$; Frequenz = $40kHz$; Abstrahlwinkel $> 120^\circ$) und 3 Mikrofone
- ◇ Einzugsfrequenz im Nahbereich ($< 0,5m$), $300Hz$ / Anzahl der Marker
- ◇ Genauigkeit im Nahbereich liegt zwischen $1/100mm - 1/10mm$ [ZEBRIS MEDIZINTECHNIK 2000]
- ◇ Einzug über die RS232 oder USB Schnittstelle
- ◇ Dynamic Link Library (DLL) ermöglicht das Entwickeln von eigener Messsoftware
- ◇ Gesamtsystem hat eine Masse von 3 kg und ist somit transportabel

Das CMS 20 ist für somit die Entwicklung eines eigenen diagnostischen Verfahrens zur Bestimmung der Sprunggelenkachsen bestens geeignet.

3.3.1 Eigenschaften von Ultraschall

Mit der Bezeichnung Ultraschall kennzeichnet man in Anlehnung an die Definition des ultravioletten Lichts diejenigen akustischen Erscheinungen, die aufgrund ihrer hohen Frequenz der menschlichen Wahrnehmung nicht zugänglich sind. Da die obere Grenzfrequenz individuell verschieden ist und insbesondere vom Lebensalter abhängt, ist keine scharfe Abgrenzung vom Bereich des hörbaren Schalls gegeben. Die Grenze wird jedoch im Allgemeinen zwischen 16 und 20 kHz angenommen.

Bei einer Verwendung von Schall- oder Ultraschall für das Impulszeitverfahren müssen bestimmte Eigenschaften beachtet werden. Die Ausbreitungsgeschwindigkeit ist abhängig von den physikalischen Eigenschaften des durchlaufenden Mediums; werden Messungen im Medium Luft durchgeführt, so ist die Schallgeschwindigkeit eine Funktion der Luftzusammensetzung, insbesondere des Wasserdampfgehalts, der Temperatur und des Luftdrucks.

Abhängigkeit der Schallgeschwindigkeit von der Temperatur

Bei Flüssigkeiten und Gasen sind die Moleküle nicht elastisch miteinander gekoppelt, d. h. Schallwellen können nur *longitudinalen* Charakter haben. Durch Schalldruckwellen werden die Volumenelemente des Mediums komprimiert [PAUS 1995]. Man erwartet daher in dem Ausdruck für die Phasengeschwindigkeit das Auftreten verschiedener Zustandsgrößen des Mediums:

$$c = \sqrt{\frac{\kappa RT}{M}}$$

mit:

κ : Adiabatenexponent;

R : Molare Gaskonstante;

M : Molmasse;

T : Temperatur in $[K]$;

Abhängigkeit der Schallgeschwindigkeit von der Feuchte

Der Wasserdampfgehalt der Luft beeinflusst ebenfalls die Ausbreitungsgeschwindigkeit des Schalls. Da sich aufgrund der Luftfeuchte jedoch die Dichte der Luft ρ verkleinert und in geringerem Maß ebenso der Adiabatenkoeffizient κ , führt eine Erhöhung der Feuchte zu einer Vergrößerung der Schallgeschwindigkeit. Folgende Gleichung beschreibt den Zusammenhang von Schallgeschwindigkeit Temperatur, Luftdruck und Luftfeuchte [KUTTRUFF 1988].

$$v = 20,0553 \cdot \frac{T}{1 - 0,3378 \frac{e}{p}}$$

mit:

e : Partialdruck des Wasserdampfes [hPa];

p : Druck in [hPa];

Tabelle 2 zeigt zusammenfassend den Einfluss der verschiedenen meteorologischen Zustandsgrößen auf die Schallgeschwindigkeit.

Tabelle 2: Meteorologischer Einfluss auf die Abstandsmessung ($20^{\circ}C$, $1013hPa$, 50% rel. Luftfeuchte) [ZIEGLER 1996].

Temperatureinfluss $\Delta[10^{-6}/^{\circ}C]$	-1800
Druckeinfluss $\Delta p[10^{-6}/hPa]$	+2,1
Feuchteinfluss $\Delta e[10^{-6}/hPa]$	-190

Abhängigkeit der Schallgeschwindigkeit von Windeinflüssen

Da die Schallwellen im Gegensatz zu elektromagnetischen Wellen stets an ein stoffliches Medium gebunden sind, ergibt sich ein direkter Einfluss der Molekülbewegung des Mediums auf die Schallausbreitungsgeschwindigkeit. Es lässt sich zeigen, dass im Fall kleiner Mediumsgeschwindigkeiten die Ausbreitungsgeschwindigkeit des Schalls als Summe der Schallgeschwindigkeit im ruhenden Medium und der Komponente der Geschwindigkeit des Mediums in Richtung der Schallausbreitung ergibt. Hieraus resultiert schon bei einer Windgeschwindigkeit von $0,3m/s$ in Richtung der gemessenen Strecke eine relative Verfälschung der Strecke von $1mm$ [ZIEGLER 1996].

Wie Tabelle 2 auf Seite 21 entnommen werden kann, hat eine Veränderung des Luftdrucks und der Feuchte nur einen geringen Einfluss auf die Ausbreitungsgeschwindigkeit des Schalls. Die Veränderung der Schallgeschwindigkeit durch Windeinflüsse kann ebenfalls vernachlässigt werden⁹. Die Temperaturabhängigkeit der Schallgeschwindigkeit muss dagegen berücksichtigt werden. Vor Messbeginn sollte ein Ultraschall basiertes Messsystem unbedingt auf die aktuelle Raumtemperatur kalibriert werden, um den Messfehler zu minimieren.

⁹ Sofern die Messung in geschlossenen Räumen stattfindet.

3.4 Konzeption der Prozessabläufe

Die Entwicklung des diagnostischen Verfahrens zur Bestimmung der Gelenkachsen des Sprunggelenks erfordert eine sorgfältige Planung und Konzeption des gesamten Messablaufes. In Kapitel 3.1, auf Seite 13, wurden in einer ersten Analyse bereits die Anforderungen an das neu zu entwickelnde Verfahren formuliert. In der anschließenden Entwicklungsphase sind dann die Softwarearchitektur und damit auch die benötigten Einzelschritte des gesamten Messablaufes zu entwerfen. Ausgehend von einem ersten Entwurf der Messmethode müssen anschließend die Architektur der benötigten Programmfunktionen und -methoden sowie die mathematischen Algorithmen beschrieben und entwickelt werden.

3.4.1 Konzeption des Messablaufs

Die Programmstruktur bzw. der Messvorgang wird teilweise durch die in Kapitel 3.1 auf Seite 13 formulierten Anforderungen, hauptsächlich jedoch durch die funktionelle logische Abfolge einzelner Prozesse bestimmt.

1. Stammdatenerfassung.
2. Festlegen eines geeigneten Koordinatensystems anhand anatomischer Punkte. Die Messung sollte in einer möglichst neutralen Position, z. B. Hüftbreite, aufrechter Stand, durchgeführt werden.
3. Messung der oberen Sprunggelenkachse. Dazu muss die Rotation des Fußes aus einer Neutralstellung in eine maximale Dorsalflexion aufgezeichnet werden.
4. Messung der unteren Sprunggelenkachse. Aus den Daten einer wiederholten Inversions- und Eversionsbewegung bei maximaler Dorsalflexion. Durch eine Mittelwertbildung kann so der Fehler der Ergebnisse, der durch eine mögliche ungenaue Bewegungsausführung entstehen kann, minimiert werden.
5. Berechnung und Ausgabe aller erforderlichen Parameter.
6. Grafische Darstellung der Ergebnisse.
7. Speichern der Rohdaten, bzw. Export in ein universelles Dateiformat.

Abbildung 7 stellt die drei Hauptmodule der gesamten Methode dar. Die einzelnen Module können wiederum in verschiedene Submodule- bzw. routinen unterteilt werden. Ihr Aufbau bzw. ihre logische Struktur wird ausführlich in den jeweiligen Kapiteln beschrieben. Das Flussdiagramm, das die Struktur und logischen Zusammenhänge der für den gesamten Messablauf benötigten Einzelschritten abbildet, kann dem Anhang A auf Seite 123 entnommen werden.



Abbildung 7: Hauptmodule der gesamten Messmethode. Die Hauptmodule können in weitere Submodule- bzw. routinen unterteilt werden. Auf deren Struktur wird in den folgenden Kapitel bzw. dem Anhang näher eingegangen.

3.4.2 Konzeption der Berechnung der Rotationsachsen

Die logische Abfolge der zur Berechnung der Sprunggelenkachsen benötigten mathematischen Einzelschritte wird weitgehend von der Programmstruktur bzw. des praktisch durchzuführenden Messablaufs bei in vivo Messungen (Anhang A auf Seite 123) vorgegeben.

Der Prozess zur Berechnung der Sprunggelenkachsen gliedert sich dementsprechend in verschiedene Einzelschritte.

1. Berechnung eines *Tibiakoordinatensystems*. Die Ergebnisse der Sprunggelenkachsen wie z.B. Inklinations- und Deviationswinkel oder auch der minimale senkrechte Abstand der Achsen zum Kraftvektor der Achillessehne müssen, um eine bessere Vergleichsmöglichkeit zu gewährleisten, in einem relativ zu markanten anatomischen Punkten berechneten kartesischen Koordinatensystem ausgegeben werden (siehe Kapitel 3.4.3 auf Seite 25).
Die zur Berechnung des *Tibiakoordinatensystems* benötigten markanten anatomischen Punkte werden in der „Neutral-Null-Stellung“¹⁰ [SEGESESSER und NIGG 1993] aufgezeichnet.
2. Aus den Markerkoordinatendaten, die die Berechnung des *Tibiakoordinatensystems* liefert, soll über den bekannten Abstand der Ultraschallsender 1 und 2 die Schallausbreitungsgeschwindigkeit bestimmt und ein Kalibrationsfaktor berechnet werden (Abhängigkeit der Schallgeschwindigkeit von der Temperatur, Kapitel 3.3.1 auf Seite 20).
3. Filtern der aufgezeichneten Ultraschallmarkerdaten. Berechnung der OSGA aus den Ultraschallmarkerdaten der Bewegung. Dabei erfolgt eine Bewegung

¹⁰ Neutral-Null-Stellung [SEGESESSER und NIGG 1993]: Aufrechter, hüftbreiter Stand des Probanden.

aus der Neutral-Null-Stellung in die maximale Dorsalflexion des Fußes. Für die Berechnung der unteren Sprunggelenkachse muss sichergestellt werden, dass es sich bei der aufgezeichneten Rotationsbewegung um eine reine Rotation um die Subtalarachse handelt, die nicht von einer Bewegung im oberen Sprunggelenk überlagert wird. Nach **Alt** [ALT 2001] ist dies bei einer maximalen Dorsalflexion gegeben. In Kapitel 3.7.3 auf Seite 76 soll dies in einer Voruntersuchung durch den Einsatz eines Magnet-Resonanz-Tomographen (MRT) betätigt werden. Transformation der Ergebnisse in das *Tibiakoordinatensystem*.

4. Filtern der aufgezeichneten Ultraschallmarkerdaten mit einem Butterworth-Lowpas-Filter. Berechnung der unteren Sprunggelenkachse aus den Daten des Ultraschallmesssystems. Transformation der Ergebnisse in das *Tibiakoordinatensystem* und anschließende Rotation der USGA um die OSGA Achse mit dem gemessenen Winkel α (Winkel: Neutralposition-maximale Dorsalflexion).
5. Berechnung von Mittelwert und Standardabweichung der Ergebnisse.

Das Flussdiagramm (Abbildung 8) soll die notwendigen Abläufe der Berechnung visualisieren:

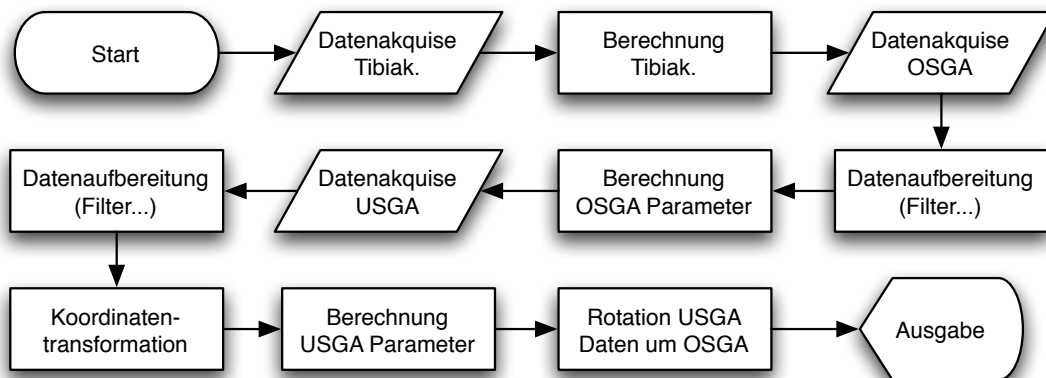


Abbildung 8: Prozessablauf zur Berechnung der Sprunggelenkachsen. 1. Datenakquisition; 2. Berechnung des *Tibiakoordinatensystems* und Temperaturkalibration des Ultraschallmesssystem; 3. Datenakquise der Daten zur Berechnung der OSGA; 4. Lowpassfilterung des Datenmaterials; 5. Koordinatentransformation in das *Tibiakoordinatensystem*; 6. Berechnung der Parameter der OSGA; 7. Datenakquise der Daten zur Berechnung der USGA; 8. Lowpassfilterung des USGA Datenmaterials; 9. Koordinatentransformation in das *Tibiakoordinatensystem*; 10. Berechnung der USGA Parameter; 11. Rotation der USGA um die OSGA mit dem Drehwinkel α (Neutralstellung-maximale Dorsalflexion); 12. Ausgabe und grafische Darstellung der Ergebnisse.

3.4.3 Koordinatensystem anatomischer Bezugspunkte

Wie bereits in Kapitel 3.4.2 auf Seite 23 beschrieben, wird für den interindividuellen Vergleich von verschiedenen Sprunggelenkachsenparametern ein geeignetes Koordinatensystem benötigt. Alle berechneten Parameter müssen vom Laborkoordinatensystem (gegeben durch die Koordinaten $x'y'z'$) in ein Koordinatensystem mit den Koordinaten xyz transferiert werden, das anhand von markanten anatomischen Punkten berechnet werden kann. Das Laborkoordinatensystem ist von der Hardware bzw. von der Anordnung und Befestigung der Ultraschallsensoren vorgegeben. Die Ultraschallsensoren sollen an der Tibiakante befestigt werden¹¹ (siehe Kapitel 3.6.1 auf Seite 62). Aufgrund der interindividuellen anatomischen Variabilität ist es nicht möglich, die Sensoren bei verschiedenen Probanden an identischen Stellen zu befestigen. Deshalb muss bei jedem Messvorgang eine Koordinatentransformation der Rohdaten in das sogenannte *Tibiakoordinatensystem* stattfinden. Alle Parameter müssen relativ zu diesem *Tibiakoordinatensystem* oder Koordinatensystem anatomischer Bezugspunkte angegeben werden, um so einen interindividuellen Vergleich der Achsparameter zu ermöglichen. Abbildung 35 auf Seite 63 zeigt den Ursprung wie auch die Koordinatenachsen des Zebris® JMA 11 · 11 Sensors. Dieser Sensor wird an der Tibiakante des Probanden angebracht (siehe Abbildung 37 auf Seite 66). Alle aufgezeichneten Daten müssen wie in Kapitel 3.4.4 beschrieben in das *Tibiakoordinatensystem* transformiert werden.

Um eine hohe Reliabilität der Messung zu gewährleisten, sollten möglichst markante anatomische Punkte gewählt werden. Da sich der *zufällige Gesamtmessfehler* ΔE aus den zufälligen Messfehlern der Messung ΔE_M und aus dem Fehler des Festlegens des *Tibiakoordinatensystems* ΔE_{xyz} ergibt, sollte schon bei der Bestimmung des *Tibiakoordinatensystems*, d. h. der Aufnahme dazu benötigten anatomischen Punkte, sehr sorgfältig gearbeitet werden. Alt [ALT 2001] hat für die Berechnung eines *Tibiakoordinatensystems* zwei Punkte a und b auf der Tibiakante und einen Punkt c , der parallel zur Fußlängsachse ausgerichtet wurde, gewählt. Um den Fehler ΔE_{xyz} möglichst klein zu halten, wurde in dieser Arbeit der Punkt c auf der Achillessehnenmitte gewählt. Mögliche anatomische Besonderheiten des Vorfußes beeinflussen nicht die Berechnung des *Tibiakoordinatensystems*. Darüber hinaus erscheint das Markieren eines Punktes c auf der Achillessehnenmitte reproduzierbarer als das manuelle Ausrichten einer Strecke \overline{ac} parallel zur Fußlängsachse. Die anatomischen Punkte werden mit einem speziell für diesen Zweck konstruierten Taststift erfasst (Siehe Kapitel 3.6.3 auf Seite 64).

¹¹ Der Sensor lässt sich relativ direkt auf der knöchernen Struktur der Tibia anbringen. Mögliche Messfehler verursacht durch Hautverschiebungen können so minimiert werden.



Abbildung 9: Festlegen des *Tibiakoordinatensystems*
Schritt 1: Markieren des Punktes *A* auf der Tibiakante.

Mit Hilfe des Taststiftes wird ein erster Punkt *A* auf der Tibiakante markiert. Punkt *A* wird durch Ortsvektor \vec{a} beschrieben. Dazu liegt der Ursprung des Laborkoordinatensystems beim in vivo Versuch im Mittelpunkt der vom *JMA* 11·11 aufgespannten Fläche (siehe Abbildung 35 auf Seite 63) und wenige Zentimeter vor der Tibiakante, oberhalb des Punktes *A*.

$$A : \vec{a} = \begin{pmatrix} x_a \\ y_a \\ z_a \end{pmatrix} \quad (1)$$

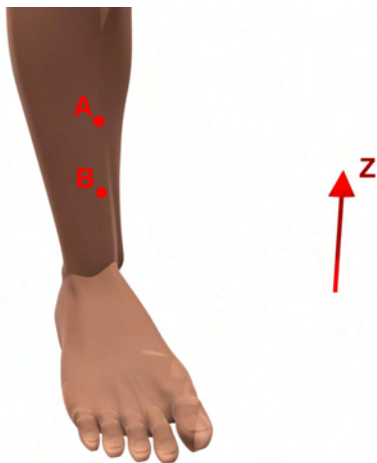


Abbildung 10: Festlegen des *Tibiakoordinatensystems*
Schritt 2: Markieren des Punktes *B* auf der Tibiakante.

Punkt *B* liegt unterhalb von Punkt *A* auf der Tibiakante und wird durch Vektor \vec{b} beschrieben. Vektor \vec{z} kann aus den Vektoren \vec{a} und \vec{b} berechnet werden. Vektor \vec{z} ist bereits parallel zur z-Achse des *Tibiakoordinatensystems*.

$$B : \vec{b} = \begin{pmatrix} x_b \\ y_b \\ z_b \end{pmatrix} \quad (2)$$

$$\vec{z} = \vec{a} - \vec{b} \quad (3)$$



Abbildung 11: Festlegen des *Tibiakoordinatensystems* Schritt 3: Markieren des Punkts C auf der Achillessehnenmitte. Der Vektor \vec{d} zeigt vom Punkt B durch den Unterschenkel auf den Punkt C .

Punkt C kann mit der zweiten Taststiftspitze (siehe dazu Abbildung 40 auf Seite 68) markiert werden. Punkt C wird durch Vektor \vec{c} beschrieben. Der Vektor \vec{d} kann darum mit Hilfe der Vektoren \vec{b} und \vec{c} der Punkte B und C berechnet werden, er zeigt vom Punkt B durch den Unterschenkel auf den Punkt C und wird in der Abbildung nicht dargestellt.

$$C : \vec{c} = \begin{pmatrix} x_c \\ y_c \\ z_c \end{pmatrix} \quad (4)$$

$$\vec{d} = \vec{c} - \vec{b} \quad (5)$$

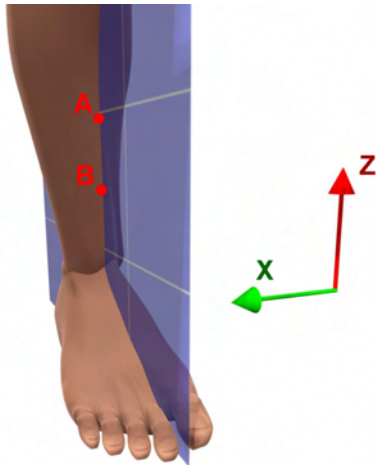
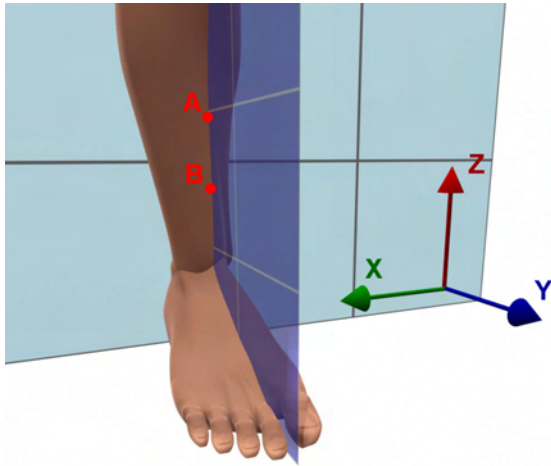


Abbildung 12: Festlegen des *Tibiakoordinatensystems* Schritt 4: Punkte A , B , C sowie die Vektoren \vec{z} und \vec{d} liegen in einer Ebene (Sagitalebene). Der Vektor \vec{x} ist der Normalenvektor zu dieser Ebene.

Die Vektoren \vec{d} und \vec{z} liegen in einer Ebene (Sagitalebene). Aus deren Kreuzprodukt geht der Vektor \vec{x} hervor der parallel zur X-Achse des *Tibiakoordinatensystems* ist.

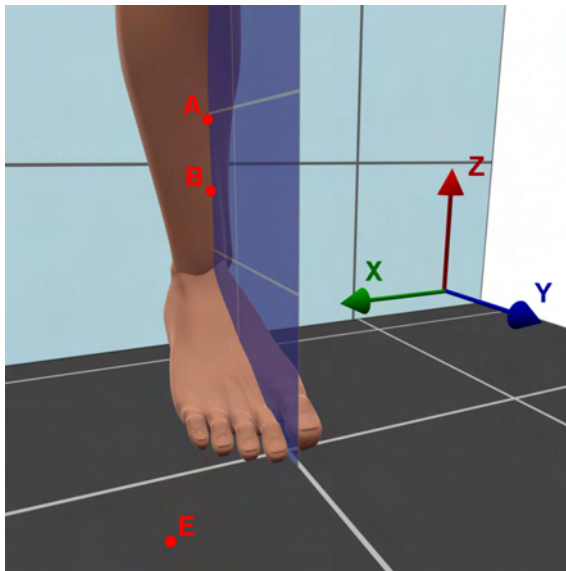
$$\vec{x} = \vec{z} \times \vec{d} \quad (6)$$



Vektor \vec{z} und \vec{x} stehen senkrecht aufeinander. Ein erneutes Kreuzprodukt von Vektor \vec{z} und \vec{x} liefert einen Vektor \vec{y} , der senkrecht zu den Vektoren \vec{z} und \vec{x} ist und parallel zur Y-Achse.

$$\vec{y} = \vec{z} \times \vec{x} \quad (7)$$

Abbildung 13: Festlegen des *Tibiakoordinatensystems* Schritt 5: Kreuzprodukt von \vec{x} und \vec{z} liefert den Normalenvektor \vec{y} zur Frontalebene.



Als letzter Punkt wird Punkt E aufgezeichnet. E liegt in der Standfläche und ist durch Vektor \vec{e} gegeben. Der Ursprung U des *Tibiakoordinatensystems* ist der in die Standfläche projizierte Punkt C (Punkt auf der Achillessehnenmitte, in der Abbildung nicht sichtbar).

$$E = \vec{e} = \begin{pmatrix} x_e \\ y_e \\ z_e \end{pmatrix} \quad (8)$$

$$U = \vec{u} = \begin{pmatrix} x_c \\ y_c \\ z_e \end{pmatrix} \quad (9)$$

Abbildung 14: Festlegen des *Tibiakoordinatensystems* Schritt 6: Markieren eines beliebigen Punktes E auf der Standfläche des Probanden. Die Transversalebene ist durch die Vektoren \vec{x} und \vec{y} gegeben und wird in den Punkt E ,in die Standfläche, verschoben.

Damit sind alle nötigen Punkte und Vektoren des *Tibiakoordinatensystems* berechnet:

U : Ursprung des *Tibiakoordinatensystems*

\vec{x} : X-Achse des *Tibiakoordinatensystems*

\vec{y} : Y-Achse des *Tibiakoordinatensystems*

\vec{z} : Z-Achse des *Tibiakoordinatensystems*

3.4.4 Koordinatentransformation

Alle vom System aufgenommenen Bewegungskordinaten müssen vom Laborkoordinatensystem in das *Tibiakoordinatensystem* transformiert werden (siehe Kapitel 3.4.2 auf Seite 23). Um ein kartesisches Koordinatensystem mit der Basis $(x'y'z')$ in ein anderes kartesisches Koordinatensystem mit der Basis (xyz) zu transformieren, müssen folgende Schritte unternommen werden [MERZIGER und WIRTH 1993]:

Aufstellen einer Abbildungsmatrix A mit Hilfe der Vektoren \vec{x} , \vec{y} , \vec{z} . Die Vektoren \vec{x} , \vec{y} , \vec{z} repräsentieren die Koordinatenachsen des transformierten Koordinatensystems.

$$A = \begin{pmatrix} x_1 & x_2 & x_3 \\ y_1 & y_2 & y_3 \\ z_1 & z_2 & z_3 \end{pmatrix} \quad (10)$$

mit:

$$\vec{x}: \begin{pmatrix} x_1 \\ y_1 \\ z_1 \end{pmatrix}; \vec{y}: \begin{pmatrix} x_2 \\ y_2 \\ z_2 \end{pmatrix}; \vec{z}: \begin{pmatrix} x_3 \\ y_3 \\ z_3 \end{pmatrix}$$

Berechnen der Abbildungsmatrix B aus der inversen Matrix A .

$$B = A^{-1} = A^T \quad (11)$$

Um Punkte vom Laborkoordinatensystem in das transformierte Koordinatensystem zu überführen, müssen die Punkte in einem ersten Schritt um den Vektor \vec{u} , dem Vektor vom Ursprung des Laborkoordinatensystems zum Ursprung des transformierten Koordinatensystems, verschoben werden.

$$v' = v - \vec{u} \quad (12)$$

mit:

- \vec{v} : der nicht transformierte Vektor im Laborkoordinatensystem
- \vec{v}' : der transformierte Vektor (z.B. des *Tibiakoordinatensystems*)
- \vec{u} : Vektor vom Ursprung des Laborkoordinatensystem zum Ursprung des transformierten Koordinatensystems

Anschließend müssen diese verschobenen Punkte mit der Abbildungsmatrix B multipliziert werden.

$$v'' = B \cdot v' \quad (13)$$

3.4.5 Mathematische Methoden zur Bestimmung von Rotationsachsen

Es gibt verschiedene mathematische Methoden, um die Verschiebung und Verdrehung eines Starrkörpers zu beschreiben:

- ◇ **Euler/Kardan-Winkel** Rotation und Translation eines kartesischen Koordinatensystems, bei der die Drehung eines Körpers durch eine 3×3 Rotationsmatrix R beschrieben wird. Allgemeine Ortsveränderungen können so durch eine Translation mit einer anschließenden Sequenz von Rotationen beschrieben werden: $\vec{x} = R\vec{x}' + \vec{v}$. Soll die Rotationsachse berechnet werden, muss die Rotationsmatrix R bestimmt werden.
- ◇ **Helical Axis** („screw axis“, „Schraubungsachse“, „equivalent screw displacement“). Die Schraubungsachse wird durch vier Größen eindeutig beschrieben: Ihre Orientierung im Raum durch einen Vektor \vec{n} und einen Ortsvektor \vec{r} , einen Drehwinkel ϕ , und der Ganghöhe t . Drei nichtlinear angeordnete Punkte sind für dieses Verfahren notwendig, aus deren x, y, z sowie den abgebildeten x', y', z' Koordinaten, Ortsvektor \vec{n} und Richtungsvektor \vec{r} berechnet werden können. Mithilfe des **Helical Axis** können Translationsbewegungen entlang der Rotationsachse berechnet werden. Berechnungen von reinen Translationsbewegungen oder auch Translationsbewegungen die nicht parallel zur Rotationsachse erfolgen, sind aus nur zwei Datensätzen der x, y , und z Koordinaten nicht möglich¹².

¹² Reine Translationsbewegungen oder Rotationen, überlagert von Translationsbewegungen, die nicht parallel zur Rotationsachse erfolgen, lassen sich durch eine Kombination aus mehreren Schraubenbewegungen abbilden (Theorem von Chasles [BEGGS 1966]). Der tatsächliche Bewegungsablauf kann durch eine Anzahl von n einzelner Schraubenbewegungen angenähert werden. Für n gegen unendlich ergibt sich eine kontinuierliche Folge von unendlich vielen, verschwindend kleinen Schraubenbewegungen, welche den tatsächlichen Bewegungsablauf ohne Berücksichtigung der Zwischenpositionen, exakt wiedergeben.

Handelt es sich um eine reine Rotationsbewegung¹³, wird durch diese holonome Zwangsbedingung, die Anzahl der Freiheitsgrade reduziert [KUYPERS 1989]¹⁴.

Geht man von einer reinen Rotationsbewegung ohne translatorischen Anteil aus¹⁵, kann die Bewegung auf eine Rotationsbewegung in der Ebene beschränkt werden. Dadurch verringert sich der Freiheitsgrad eines N -Punkt-massensystems ohne Zwang auf $2N$. Damit benötigt man zur Berechnung von Rotationsachsen lediglich einen einzigen Marker, im Gegensatz zu den auf Seite 30 beschriebenen Methoden 3.4.5 der **Rotationsmatrix** oder dem **Helical Axis** Verfahren. Durch das Verringern der Anzahl der Marker kann gegebenenfalls auch der Messfehler durch Verschiebungen bzw. Vibrationen der Marker verkleinert werden.

3.4.6 Berechnung von Rotationsachsen mit dem Einpunktverfahren

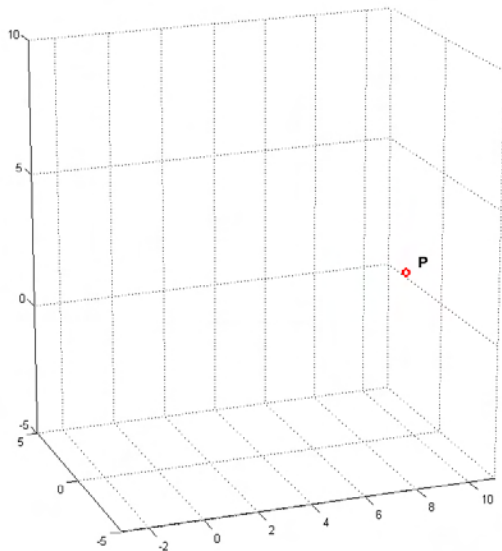
Wie bereits erwähnt wird bei der Berechnung von Rotationsachsen unter Zuhilfenahme von nur einem Markerpunkt von der Annahme ausgegangen, dass es sich bei der Rotationsbewegung um eine Rotation in der Ebene mit nur $2N$ Freiheitsgraden handelt, also keine translatorischen Anteile vorhanden sind. Nachfolgende Abbildungen und Gleichungen sollen die Vorgehensweise des Einpunktverfahrens zur Berechnung von Rotationsachsen erläutern¹⁶.

¹³ Wenn weder eine Translation in Richtung der Rotationsachse (**Helical Axis**) noch eine von einer Translationsbewegung überlagerten Rotation vorkommt.

¹⁴ Als Zwangsbedingung wird in der klassischen Mechanik eine Einschränkung der Bewegungsfreiheit eines Systems aus N Teilmassen bezeichnet. Dadurch nimmt die Anzahl der Freiheitsgrade des Systems ab: k unabhängige holonome Nebenbedingungen reduzieren die Zahl der Freiheitsgrade auf $3N - k$. Holonome Zwangsbedingungen beschreiben eine Beschränkung der Bewegungsfreiheit auf Flächen. Eine gleichzeitige Beschränkung auf zwei unterschiedliche, sich schneidende Flächen ist gleichbedeutend mit einer Beschränkung auf die Kurve, in der sich die Flächen schneiden. [KUYPERS 1989]

¹⁵ In der Literatur wird das Vorhandensein einer **Helical Axis** kontrovers diskutiert (siehe Kapitel 2 auf Seite 8).

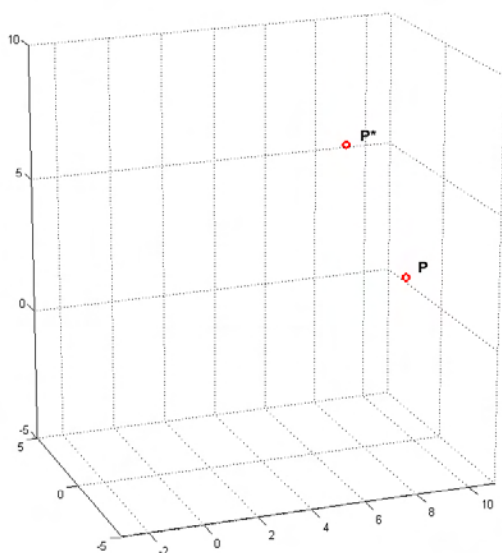
¹⁶ Die Vektoren werden in allen nachfolgenden Schaubildern des Kapitels als Geraden dargestellt. Auf die Vektorpfeile wurde der besseren Übersichtlichkeit wegen verzichtet.



Der Punkt P wird durch den Vektor \vec{p}_1 beschrieben:

$$P : \vec{p}_1 = \begin{pmatrix} x_1 \\ y_1 \\ z_1 \end{pmatrix} \quad (14)$$

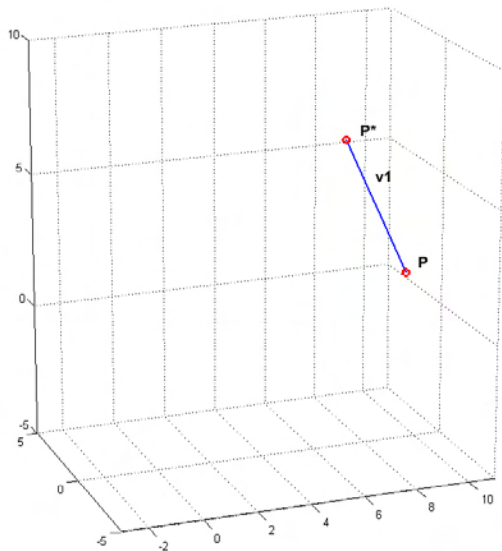
Abbildung 15: Einpunktverfahren Schritt 1, eine erste Momentaufnahme liefert den Punkt P .



Der Punkt P^* wird durch den Vektor \vec{p}_2 beschrieben:

$$P^* : \vec{p}_2 = \begin{pmatrix} x_2 \\ y_2 \\ z_2 \end{pmatrix} \quad (15)$$

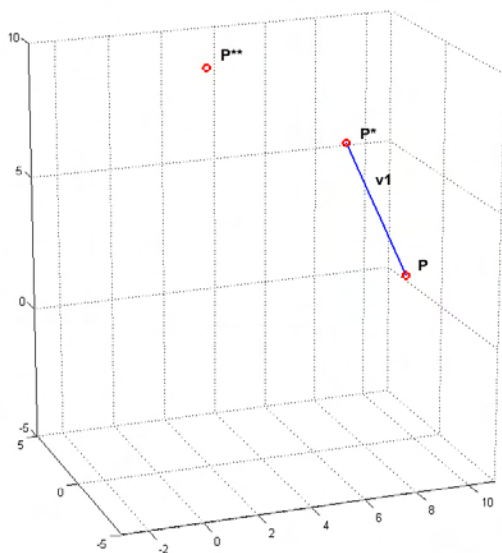
Abbildung 16: Einpunktverfahren Schritt 2, der Punkt P wird durch eine Rotation in den Punkt P^* abgebildet.



Der Vektor \vec{v}_1 kann durch die Koordinaten bzw. den Vektoren der Punkte P und P^* berechnet werden:

$$\vec{v}_1 = \vec{p}_2 - \vec{p}_1 \quad (16)$$

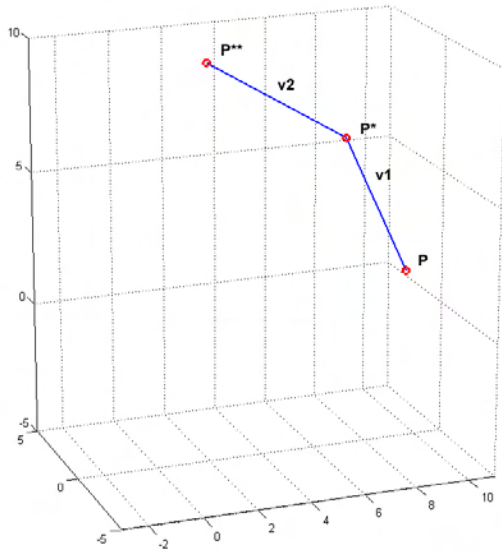
Abbildung 17: Einpunktverfahren Schritt 3, die Punkte P und P^* beschreiben den Vektor \vec{v}_1 .



Der Punkt P^{**} wird durch den Vektor \vec{p}_3 beschrieben:

$$P^{**} : \vec{p}_3 = \begin{pmatrix} x_3 \\ y_3 \\ z_3 \end{pmatrix} \quad (17)$$

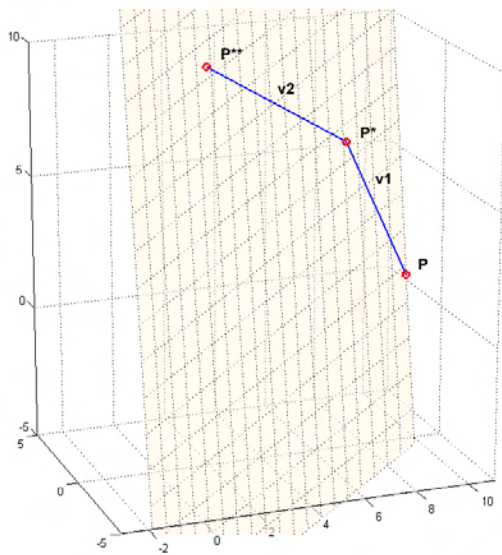
Abbildung 18: Einpunktverfahren Schritt 4, der Punkt P^{**} geht aus der Fortsetzung der Rotation des Punktes P^* hervor.



Der Vektor v_2 wird durch die Koordinaten bzw. den Vektoren der Punkte P^* und P^{**} berechnet:

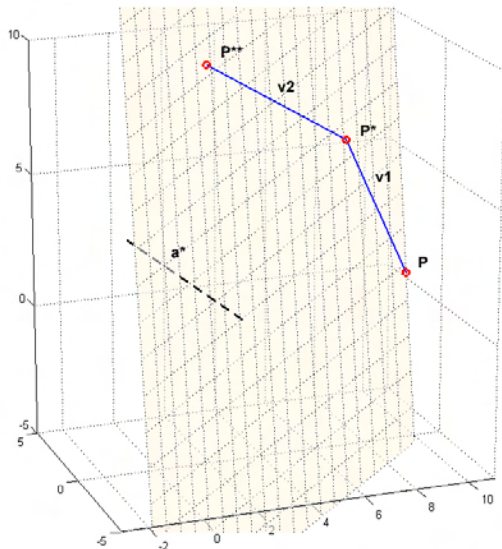
$$\vec{v}_2 = \vec{p}_3 - \vec{p}_2 \quad (18)$$

Abbildung 19: Einpunktverfahren Schritt 5, die Punkte P^* und P^{**} beschreiben den Vektor \vec{v}_2 .



Da es sich um eine Rotationsbewegung handelt, müssen die Punkte P , P^* und P^{**} sowie die Vektoren \vec{v}_1 und \vec{v}_2 in der Ebene E liegen.

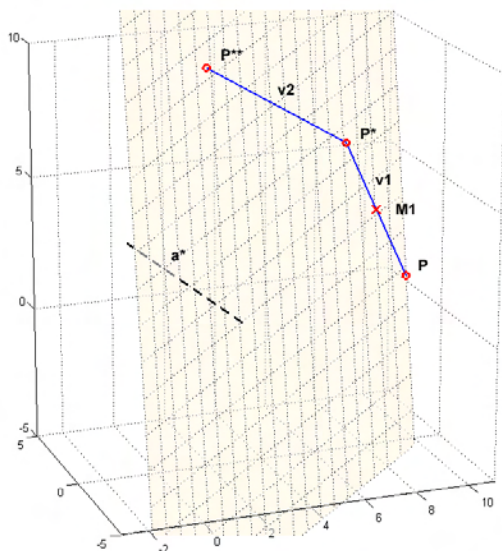
Abbildung 20: Einpunktverfahren Schritt 6, die Punkte P , P^* und P^{**} sowie die Vektoren \vec{v}_1 und \vec{v}_2 liegen in der Ebene E .



Der Normalenvektor \vec{a}^* der Ebene E wird durch das Kreuzprodukt aus den Vektoren \vec{v}_1 und \vec{v}_2 berechnet [MERZIGER und WIRTH 1993]. Dieser Normalenvektor ist bereits parallel zur gesuchten Rotationsachse, d.h. die räumliche Orientierung ist schon bekannt, nicht aber die Position.

$$\vec{a}^* = \frac{\vec{v}_1 \times \vec{v}_2}{|\vec{v}_1 \times \vec{v}_2|} \quad (19)$$

Abbildung 21: Einpunktverfahren Schritt 7, der Normalenvektor \vec{a}^* der Ebene E ist eine Parallele zur Rotationsachse.



Der Mittelpunkt M_1 auf Vektor \vec{v}_1 zwischen den Punkten P und P^* wird wie folgt berechnet:

$$M_1 : \vec{m}_1 = \vec{p}_1 + \frac{1}{2} \cdot \vec{v}_1 \quad (20)$$

mit:

\vec{p}_1 : Vektor zum Punkt P

Abbildung 22: Einpunktverfahren Schritt 8, der Mittelpunkt M_1 liegt auf Vektor \vec{v}_1 und halbiert die Strecke zwischen den Punkten P und P^* .

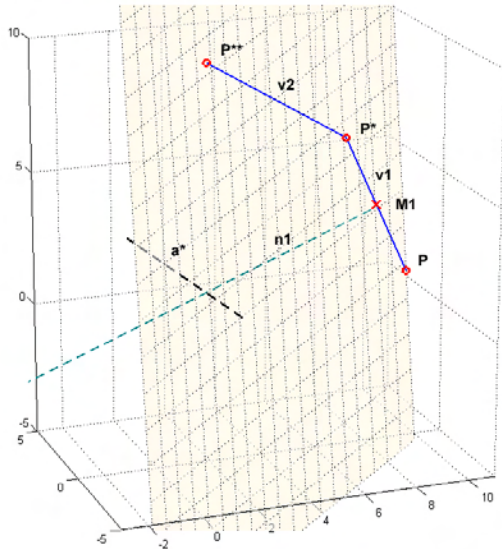


Abbildung 23: Einpunktverfahren Schritt 9, die Gerade n_1 liegt in der Ebene E , geht durch den Punkt M_1 auf Vektor \vec{v}_1 und ist senkrecht zu Vektor \vec{v}_1 .

Da es sich um eine Rotationsbewegung handelt, muss der Abstand von Punkt P zur Rotationsachse gleich dem von Punkt P^* sein. Damit muss das Rotationszentrum der Punkte P und P^* auf einer Geraden liegen, die in der Ebene E liegt und durch den Punkt M_1 senkrecht zu Vektor \vec{v}_1 geht. Der Richtungsvektor \vec{r}_{n_1} der Geraden n_1 wird aus einem Kreuzprodukt von Vektor \vec{v}_1 und \vec{a}^* berechnet:

$$\vec{r}_{n_1} = \vec{v}_1 \times \vec{a}^* \quad (21)$$

Mit Punkt M_1 als Aufpunkt erhält man als vollständige Geradengleichung für n_1 :

$$n_1 : \vec{x} = \vec{m}_1 + \lambda \cdot \vec{r}_{n_1} \quad (22)$$

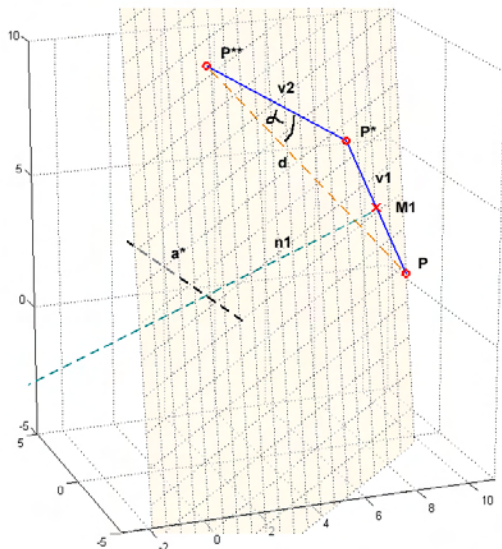


Abbildung 24: Einpunktverfahren Schritt 10, der Vektor \vec{v}_2 und der Vektor \vec{d} schließen den Winkel α ein.

Der Vektor \vec{d} kann aus den Koordinaten der Punkte P und P^{**} berechnet werden:

$$\vec{d} = \vec{p}_2 - \vec{p}_1 \quad (23)$$

mit:

\vec{p}_1 : Vektor zum Punkt P

\vec{p}_2 : Vektor zum Punkt P^{**}

Das Skalarprodukt der Vektoren \vec{d} und \vec{v}_2 liefert den Winkel α [MERZIGER und WIRTH 1993]:

$$\cos \alpha = \frac{\vec{v}_2 \cdot \vec{d}}{|\vec{v}_2| \cdot |\vec{d}|} \quad (24)$$

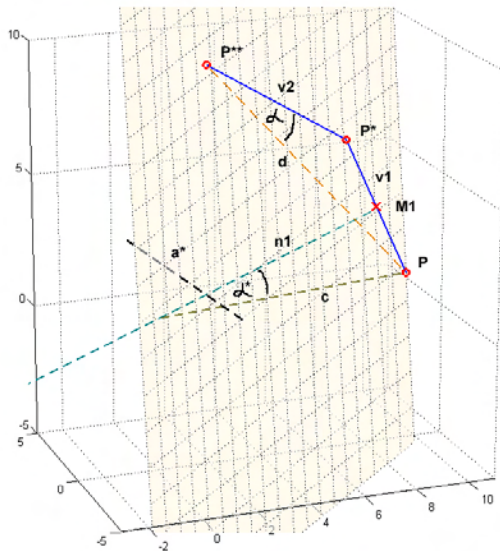


Abbildung 25: Einpunktverfahren Schritt 11, die Gerade n_1 und c schließen den Winkel α^* ein.

Die Gerade c ist gegeben durch die Vektoren \vec{p}_1 und \vec{c} :

$$c : \vec{x} = \vec{p}_1 + \gamma \cdot \vec{c} \quad (25)$$

Der Winkel α^* , der von der Geraden n_1 und c eingeschlossen wird, ist nach dem *Satz vom Umfangswinkel* gleich dem Winkel α (siehe Anhang B auf Seite 124):

$$\alpha^* = \alpha \quad (26)$$

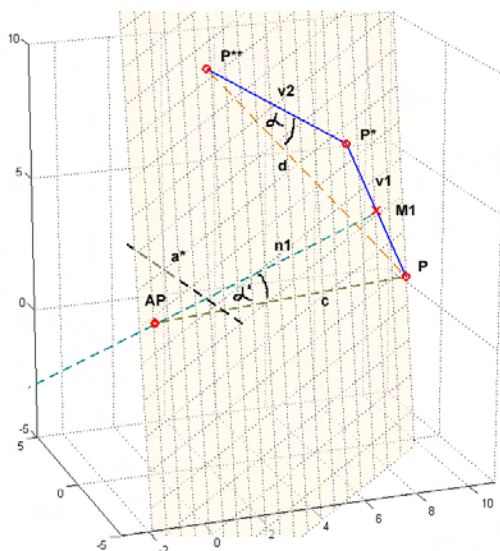


Abbildung 26: Einpunktverfahren Schritt 12, die Gerade n_1 und v_1 schließen einen rechten Winkel ein.

Die Gerade v_1 kann mithilfe der Vektoren \vec{p}_1 und \vec{v}_1 berechnet werden:

$$v_1 : \vec{x} = \vec{p}_1 + \tau \cdot \vec{v}_1 \quad (27)$$

Im rechtwinkligen Dreieck AP, M_1, P kann mithilfe der Vektoren \vec{r}_{n1} , \vec{c} und $\vec{v}_1/2$, dem Winkel α^* und einfachen trigonometrischen Funktionen die Länge l der Strecke $\overline{M_1AP}$ vom Punkt M_1 zum Punkt AP berechnet werden :

$$\tan \alpha = \frac{|\vec{v}_1|}{2 \cdot l}$$

$$l = \frac{|\vec{v}_1|}{2 \cdot \tan \alpha} \quad (28)$$

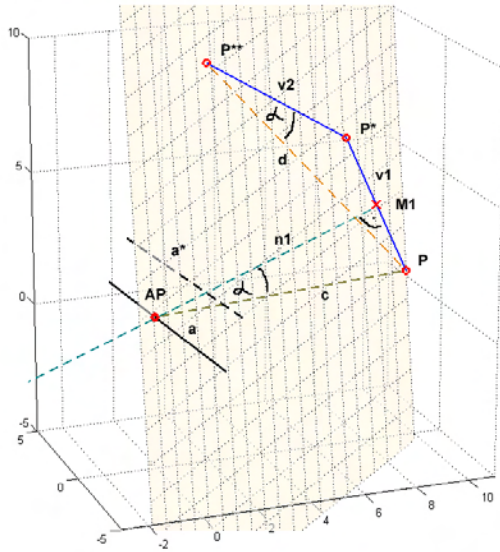


Abbildung 27: Einpunktverfahren Schritt 14, die Rotationsachse g geht durch den Punkt AP und ist senkrecht zur Ebene E .

Die Länge l der Strecke $\overline{M_1AP}$ ist nun bekannt. Damit kann der Punkt AP mit Hilfe des normierten Vektors \vec{n}_{n1} , dem Vektor \vec{v}_1 und \vec{p}_1 konstruiert werden:

$$\vec{n}_{n1} = \frac{\vec{n}_1}{|\vec{n}_1|} \quad (29)$$

$$\vec{a}\vec{p} = \vec{p}_1 + \frac{1}{2} \cdot \vec{v}_1 + l \cdot \vec{n}_{n1} \quad (30)$$

Die Geradengleichung der Rotationsachse g ist demnach:

$$g : \vec{r} = \vec{a}\vec{p} + \lambda \cdot \vec{a} \quad (31)$$

mit:

λ : Streckungsfaktor

3.4.7 Rotationsmatrix

Da die Messung der unteren Sprunggelenkachse in einer maximalen Dorsalflexion durchgeführt wird, müssen alle berechneten Ergebnisse um den Winkel der maximalen Dorsalflexion zurück rotiert werden (wie in Kapitel 3.4 auf Seite 22 beschrieben). Als Rotationsachse soll dazu die obere Sprunggelenkachse verwendet werden. Für die Berechnung einer Rotationsmatrix $R_{(\delta)}$ werden zwei Punkte P_1 und P_2 der Rotationsachse und der Drehwinkel α benötigt. Schritt 1, Berechnung des Vektors \vec{v} aus den Punkten P_1 und P_2 :

$$\vec{v} = P_2 - P_1 = \begin{pmatrix} x_2 - x_1 \\ y_2 - y_1 \\ z_2 - z_1 \end{pmatrix} \quad (32)$$

Die Länge des Vektors \vec{v} lautet:

$$|\vec{v}| = \sqrt{(x_2 - x_1)^2 + (y_2 - y_1)^2 + (z_2 - z_1)^2} \quad (33)$$

Die Komponenten des zugehörigen Einheitsvektors:

$$\vec{u} = \frac{\vec{v}}{|\vec{v}|} = \begin{pmatrix} a \\ b \\ c \end{pmatrix} \quad (34)$$

lauten daher:

$$a = \frac{x_2 - x_1}{|\vec{v}|}; b = \frac{y_2 - y_1}{|\vec{v}|}; c = \frac{z_2 - z_1}{|\vec{v}|} \quad (35)$$

Die Rotationsmatrix R wird wie folgt berechnet [MERZIGER und WIRTH 1993]:

$$R_{(\delta)} = (1 - \cos \alpha) \cdot \begin{pmatrix} a^2 & ab & ac \\ ab & b^2 & bc \\ ac & bc & c^2 \end{pmatrix} + \cos \alpha \cdot \begin{pmatrix} 1 & 0 & 0 \\ 0 & 1 & 0 \\ 0 & 0 & 1 \end{pmatrix} + \sin \alpha \cdot \begin{pmatrix} 0 & -c & b \\ c & 0 & -a \\ -b & a & 0 \end{pmatrix} \quad (36)$$

Folgende Schritte sind notwendig, um die Koordinatentransformation einzelner Punkte durchzuführen. Der Punkt U muss um einen Vektor \vec{p}_1 , in diesem Fall um den Vektor zum Aufpunkt $P1$ der Rotationsachse, verschoben werden.

$$U^* = U - \vec{p}_1 \quad (37)$$

Der Punkt U^{**} geht aus einer Multiplikation des Punktes U^* mit der Rotationsmatrix $R_{(\delta)}$ hervor.

$$U^{**} = R_{(\delta)} \cdot U^* \quad (38)$$

Der rotierte Punkt U^{**} muss in einem letzten Schritt wieder um den Vektor \vec{p}_1 zurück verschoben werden.

$$U^{***} = U^{**} + \vec{p}_1 \quad (39)$$

U^{***} ist der um die Rotationsachse mit dem Winkel α rotierte Punkt. Die Gleichungen 37, 38 und 39 können zu einer Gleichung 40 zusammengefasst werden. Jeder Punkt W kann so in einen Punkt W^* transformiert werden.

$$W^* = ((W - \vec{p}_1) \cdot R_{(\delta)}) + \vec{p}_1 \quad (40)$$

mit:

$R_{(\delta)}$: In Gleichung 36 berechnete Rotationsmatrix.

W : Zu transformierende Punkt.

W^* : Transformierter Punkt

\vec{p}_1 : Vektor zum Aufpunkt P_1 der Rotationsachse

3.5 Softwareentwicklung

Die Software zur Bestimmung der Sprunggelenkachsen wurde mit *Microsoft Visual C++*[®] entwickelt. Bei C++ handelt es sich um eine effiziente, maschinennahe Programmiersprache, die geeignet ist, zeitkritische Abläufe und Prozesse zu bearbeiten. Die objektorientierte Programmierung von C++ erlaubt es außerdem, eigene Klassen zu entwickeln. Vorteile sind die höhere Modularisierung des Codes, somit eine höhere Wartbarkeit¹⁷ und Wiederverwendbarkeit der Einzelmodule sowie eine höhere Flexibilität des gesamten Programms. Zusätzlich zu den bereits in *Microsoft Visual C++*[®] enthaltenen Standardpaketen wurden noch folgende Klassen von Drittanbietern eingebunden:

- ◇ Die kommerzielle Klasse bzw. DLL ZEBSDK der Firman Zebris[®]. Diese Sammlung an C++ Klassen und DLLs übernimmt die Ansteuerung sowie den Dateneinzug verschiedener Hardwarekomponenten, wie z. B. dem *CMS* [ZEBRIS MEDIZINTECHNIK 2004].
- ◇ Die Open Source Klasse XMath [DOUGHERTY 2002]. Diese Klasse übernimmt alle benötigten Vektor- und Matrizenrechnungen.
- ◇ Die Opensource Klasse NTGraph3d [TEOFILOV 2003]. Diese Klasse ist in der Lage, dreidimensionale Flächen und Funktionen darzustellen. Die Klasse NTGrapah3D wurde modifiziert, um sowohl dreidimensionale Funktionen als auch OBJ Dateien¹⁸ darzustellen.

Alle weiteren Klassen und Programmdialoge wie auch die Benutzeroberfläche (GUI) mussten selbständig entwickelt werden. Mit den Klassen *calcAxis* und *zebClass* wurden zwei Klassen entwickelt, die ohne weiteres in fremde Programme eingebunden werden können. Alle Eigenschaften und Methoden stehen dann diesen Programmen zur Verfügung. Die Entwicklung neuer Programme, die sich mit einer ähnlichen Problematik beschäftigen bzw. dieselbe Hardware ansteuern müssen, kann so erheblich vereinfacht werden. Deshalb werden diese Klassen mit ihren Eigenschaften und Methoden nachfolgend erläutert.

- ◇ Die Klasse *zebClass* übernimmt die Hardwareansteuerung und Datenakquise. Greift auf die ZEBSDK.DLL zu.

¹⁷ Kriterium der Softwareentwicklung, gibt an, mit welchem Aufwand und welcher Qualität Änderungen an einem bestehenden Softwaresystem durchgeführt werden können.

¹⁸ OBJ Dateien repräsentieren ein gängiges Dateiformat, um dreidimensionale Körper darzustellen.

- ◇ Die Klasse *calcAxis* berechnet die Gelenkachsen des oberen- und untern Sprunggelenks. Sie führt alle dazu notwendigen Rechenoperationen wie Koordinatentransformationen, Rotationen, Eichfaktorberechnung usw. durch. Nutzt die Klasse *XMath* für alle Vektor und Matrizenrechnungen.
- ◇ Vom Hauptprogramm *USG* werden alle Teilprogramme und Klassen zusammengefasst. Alle Dialoge zur Koordinatenachsenberechnung, Sprunggelenkachsenbestimmung, Probandendaten aber auch Teile der Datenverarbeitung werden von diesem Programm durchgeführt.

3.5.1 Die Klasse *zebClass*

Die Ansteuerung der Hardware erfolgt über die Klasse *zebClass*. Diese Klasse bindet die von der Firma *Zebris*® zur Verfügung gestellten DLL ein. Mit diesem Befehlsatz ist es möglich, das *CMS 20*, aber auch andere Ultraschall-Laufzeit-Bewegungsanalyse-Systeme der Firma *Zebris*® anzusteuern. Die *zebClass* fasst verschiedene Schritte bzw. Befehle, die zur Ansteuerung der Hardware notwendig sind, zu einzelnen Methoden zusammen. Der Programmcode der C++ Klasse *zebClass* kann dem Anhang auf Seite 139 entnommen werden.

3.5.1.1 Methoden der Klasse *zebClass*

Die Funktion *zebConf* öffnet den Konfigurationsdialog der *Zebris*® Hardware. Hier können verschiedene Hardwaretypen, Schnittstellen oder auch Sensorentypen definiert werden. Bisher werden das *CMS 20* und *JMA20* unterstützt. Der Anschluss kann sowohl über die RS232 als auch die USB Schnittstelle erfolgen. Als Sensorentypen stehen die *WinJaw* Sensoren *JMA11x11* und *JMA8x8* zur Verfügung, wobei der *JMA8x8* wegen seiner geringeren Abmessungen und damit verbundenen geringeren mechanischen Störanfälligkeit zu präferieren ist.

zebConf ()

zebHdwInit initialisiert die Hardware. Hierbei wird ein Port zur Hardware geöffnet und verschiedene Parameter wie z. B. die Einzugsfrequenz, Anzahl der einzuziehenden Analog- oder Digitalkanäle und Name des Sensortyps übergeben. Dieser Befehl muss beim erstmaligen Start des Programms ausgeführt werden.

zebHdwInit ()

zebStart startet die Hardware, d. h. schaltet die Ultraschallsender an. Zu hören ist dann das typische Geräusch der gepulsten Ultraschallsignale.

```
zebStart ()
```

zebGetSingle liest einzelne Messwerte aus dem Hardwarebuffer aus und weisst diese den Variablen *zebX1* bis *zebZ4* der Analogkanäle sowie den Variablen *ON1* und *ON2* der zwei Digitalkanälen zu.

```
zebGetSingle ()
```

zebStop() stoppt die Hardware, d. h. schaltet die Ultraschallsender aus. Der Port zu Hardware bleibt aber geöffnet, das bedeutet, der Befehl *zebHdwInit* kann nicht erneut ausgeführt werden. Erst nach dem Befehl *zebHdwRelease* kann die Hardware erneut initialisiert werden.

```
zebStop ()
```

zebHdwRelease schließt den Port zur Hardware. Soll eine Veränderung der Konfiguration vorgenommen werden, muss der Befehl *zebHdwrelease* ausgeführt werden, erst dann ist einer Reinitialisierung möglich. *zebStatus*

```
zebHdwRelease ()
```

3.5.1.2 Eigenschaften der Klasse *zebClass*

Die public Variable *zebStatus* beinhaltet den aktuellen Status der Hardware. Mögliche Inhalte sind z.B. „Hardware wird initialisiert“ oder „Hardware wird gestartet“¹⁹. *zebStatus*

```
CString zebStatus
```

Nachfolgende Variablen enthalten die *X*, *Y* und *Z* Koordinaten der vier Analogkanäle.

```
double zebX1;
double zebX2;
double zebX3;
double zebX4;
double zebY1;
double zebY2;
double zebY3;
double zebY4;
double zebZ1;
double zebZ2;
```

¹⁹ Der aktuelle Status der Harware wird allerdings nur für Debuggingzwecke benötigt und ist für den Betrieb der Messsoftware nicht von Bedeutung.

Die *zebSDK.dll* stellt noch weitere Befehle zur Ansteuerung verschiedener Hardware der Firma Zebris® zur Verfügung, auf die hier nicht weiter eingegangen werden soll [ZEBRIS MEDIZINTECHNIK 2004].

3.5.2 Die Klasse `calcAxis`

Die Klasse *calcAxis* verfügt über alle Eigenschaften und Methoden, die notwendig sind, um Rotationsachsen zu berechnen. Bei der Entwicklung wurde darauf geachtet dass die Klasse universal einsetzbar ist, das bedeutet, die Klasse kann nicht nur für das Problem der Sprunggelenkachsenbestimmung eingesetzt werden, vielmehr ist sie für die Bestimmung von Gelenkachsen bzw. Rotationsachsen allgemein geeignet. Die Klasse *calcAxis* unterscheidet dabei zwei Typen von Achsen (dazu Kapitel 3.4.7 auf Seite 38 sowie Abbildung 8 auf Seite 24).

- ◇ Rotationsachsen, die direkt aus den Koordinatendaten berechnet werden.
- ◇ Rotationsachsen die anschließend eine Koordinatentransformation durchlaufen. Im Fall der USG Achse wird diese nach Bestimmung ihrer räumlichen Position und Lage um die ermittelte OSG Achse rotiert.

Optional kann ein alternatives Koordinatensystem wie z. B. das *Tibiakoordinatensystem*, festgelegt werden. Wird ein alternatives Koordinatensystem festgelegt, werden alle Koordinatendaten in dieses Koordinatensystem transformiert (beschrieben in Kapitel 3.4.7 auf Seite 38). Die Berechnung der Schallausbreitungsgeschwindigkeit über den bekannten Abstand zweier Punkte P_1 und P_2 ist ebenfalls optional.

Im nachfolgenden Abschnitt werden die wichtigsten Eigenschaften und Methoden der Klasse *calcAxis* beschrieben. Der vollständige Quellcode der Klasse *calcAxis* sowie die Syntax der einzelnen Methoden kann dem Anhang C auf Seite 125 entnommen werden.

3.5.2.1 Methoden der Klasse `calcAxis`

calcAxis initiiert eine Variable vom Typ *calcAxis*. Dieser Variablen vom Typ *calcAxis* stehen alle Methoden und Eigenschaften der Klasse zur Verfügung.

```
calcAxis ()
```

calcTemp berechnet den Faktor f_{temp} „Temperaturabhängigkeit der Schallgeschwindigkeit“ aus dem tatsächlichen Abstand $l = 50mm$ und dem gemessenen Abstand s

der Marker M_1 und M_2 des Taststiftes.

$$f_{temp} = \frac{50}{\sqrt{(x_2 - x_1)^2 + (y_2 - y_1)^2 + (z_2 - z_1)^2}} \quad (41)$$

mit den Koordinaten der Marker M_1 : $\begin{pmatrix} x_1 \\ y_1 \\ z_1 \end{pmatrix}$ und M_2 : $\begin{pmatrix} x_2 \\ y_2 \\ z_2 \end{pmatrix}$

Der Methode `calcTemp` müssen die x , y und z Koordinaten beider Marker M_1 und M_2 übergeben werden.

```
calcTemp(double x1, double y1, double z1,
         double x2, double y2, double z2)
```

`coordTibia` berechnet ein alternatives Koordinatensystem²⁰. Übergeben werden alle zur Berechnung benötigten Punkte (wie beschrieben in Kapitel 3.4.3 auf Seite 25). Übergeben werden die x , y und z Koordinaten der Marker M_1 und M_2 von vier Punkten.

```
coordTibia(double x1, double y1, double z1,
           double x2, double y2, double z2,
           double x3, double y3, double z3,
           double x4, double y4, double z4,
           double x5, double y5, double z5,
           double x6, double y6, double z6,
           double x7, double y7, double z7,
           double x8, double y8, double z8)
```

`transform` wird nur aufgerufen, wenn ein alternatives Koordinatensystem festgelegt wurde (Transformation wie beschrieben in Kapitel 3.4.4 auf Seite 29). Übergeben wird der Zeiger auf den zu transformierenden Vektor der Klasse `XMath`.

```
transform(UX_VECTOR3 *vector)
```

`calcEV` berechnet Aufpunkt und Richtungsvektor sowie den Drehwinkel der Rotationsachse. Übergeben werden die Vektoren dreier Punkte sowie die Zeiger²¹ auf die Vektoren des Aufpunktes, des Richtungsvektors und des Drehwinkels (Berechnung wie in Kapitel 3.4.6 auf Seite 31 beschrieben). Die Variable `from` gibt an, aus welcher Methode `calcEV` aufgerufen wurde. Ein Aufruf aus der Methode `calcOSG` bedeutet

²⁰ Diese Methode ist optional. Wird kein alternatives Koordinatensystem definiert, findet auch keine Koordinatentransformation statt.

²¹ Als Zeiger oder Pointer bezeichnet man in der Informatik eine Klasse von Variablen, die auf einen Speicherbereich verweisen.

from = 0 und damit kein Aufruf der Methode *rotBack*²². Variable *from* = 1 bezeichnet einen Aufruf aus *calcUSG* bzw. *rotBack*.

```
calcEV(UX_VECTOR3 vec1, UX_VECTOR3 vec2, UX_VECTOR3 vec1,
       UX_VECTOR3 *Aufpunkt, UX_VECTOR3 *Richtungsvektor,
       double *Dehwinkel, int from)
```

calcOSG berechnet eine Rotationsachse, die nicht transformiert wird. Übergeben werden die *x*, *y* und *z* Koordinaten von drei Punkten (siehe Kapitel 3.4.6 auf Seite 31).

```
calcOSG(double x1, double y1, double z1,
        double x2, double y2, double z2,
        double x3, double y3, double z3)
```

calcUSG berechnet eine zu transformierende Rotationsachse. Übergeben werden ebenfalls die *x*, *y* und *z* Koordinaten von drei Punkten. *calcUSG* ruft die Methode *rotBack* auf.

```
calcUSG(double x1, double y1, double z1,
        double x2, double y2, double z2,
        double x3, double y3, double z3)
```

rotBack rotiert Aufpunkt und Richtungsvektor einer Drehachse mit einem bestimmten Drehwinkel um eine gegebene Rotationsachse. Übergeben werden die Zeiger von Aufpunkt und Richtungsvektor beider Achsen.

```
rotBack(UX_VECTOR3 *ap_osg, UX_VECTOR3 *rv_osg,
        UX_VECTOR3 *ap_usg, UX_VECTOR3 *rv_usg)
```

calcDevUsg berechnet den Winkel α zwischen *y*-Achse des Koordinatensystems und der auf die *xy*-Ebene projizierte Rotationsachse (USGA). Im Fall der Sprunggelenkachsenbestimmung ist der Deviationswinkel der Winkel zwischen der auf die Transversalebene projizierten USGA und der sagittotransversal-Achse des *Tibiakordinatensystems*. Die Deviation wird berechnet mit

$$\alpha = \arctan \frac{x}{y} \quad (42)$$

und dem Richtungsvektor \vec{r}_{usga} der USGA: $\begin{pmatrix} x \\ y \\ z \end{pmatrix}$.

²² *rotBack* lässt die berechnete Achse mit einem bestimmten Drehwinkel um ein Rotationsachse rotieren.

Übergeben werden die Zeiger des Richtungsvektors der Rotationsachse und des Deviationswinkels.

`calcDevUsg(UX_VECTOR3 *rv_usg , double *angle)`

calcIncUsg berechnet den Winkel β zwischen der y -Achse des Koordinatensystems und der auf die yz -Ebene projizierte Rotationsachse. Im Falle der USGA ist das der eingeschlossene Winkel zwischen der Projektion der USGA auf die Sagittalebene und der Sagittotransversal-Achse. Die Inklinatation wird berechnet aus

$$\beta = \arctan \frac{z}{y} \quad (43)$$

und dem Richtungsvektor \vec{r}_{usga} der USGA: $\begin{pmatrix} x \\ y \\ z \end{pmatrix}$.

Übergeben werden ebenfalls die Zeiger des Richtungsvektors der Rotationsachse und des Inklinationswinkels.

`calcIncUsg(UX_VECTOR3 *rv_usg , double *angle)`

calcDevOsg berechnet den Winkel α zwischen der y -Achse des Koordinatensystems und der auf die xy -Ebene projizierten Rotationsachse. Entspricht dem von auf die Transversalebene projizierten OSGA und der Sagittotransversal-Achse eingeschlossenem Winkel. Die Deviation der OSG-Achse wird berechnet aus

$$\alpha = 90 - \arctan \frac{x}{y} \quad (44)$$

und dem Richtungsvektor \vec{r}_{osga} der OSGA: $\begin{pmatrix} x \\ y \\ z \end{pmatrix}$.

Es werden ebenfalls nur die Zeiger des Richtungsvektors der Rotationsachse und des Deviationswinkels übergeben.

`calcDevOsg(UX_VECTOR3 *rv_usg , double *angle)`

calcIncOsg berechnet den Winkel zwischen z -Achse des Koordinatensystems und der auf die xz -Ebene projizierten Rotationsachse. Die Inklinatation der OSG-Achse wird berechnet aus

$$\beta = 90 - \arctan \frac{z}{x} \quad (45)$$

und dem Richtungsvektor \vec{r}_{osga} der OSGA: $\begin{pmatrix} x \\ y \\ z \end{pmatrix}$.

Analog zum Funktionsaufruf der Inklinations- und Deviationwinkelbestimmung bei der USGA werden wiederum nur die Zeiger des Richtungsvektors der Rotationsachse und des Inklinationswinkels übergeben.

```
calcIncOsg(UX_VECTOR3 *rv_usg , double *angle)
```

3.5.2.2 Eigenschaften der Klasse *calcAxis*

Verschiedene Eigenschaften der Klasse *calcAxis* können direkt abgefragt werden bzw. müssen gesetzt werden. Nachfolgend werden Variablentyp und -name angegeben.

Die Variable *Leg* kann die Werte *L* für Linkssystem oder *R* für Rechtssystem annehmen. Da bei Gelenkachsen zwischen den Achsen der linken und rechten Extremität unterschieden werden kann, wird die Bewegung und damit auch die Berechnung in einem Links- bzw. Rechtssystem durchgeführt. Standardmäßig ist *Leg* = '*R*' definiert.

```
char Leg
```

Alle nachfolgenden Eigenschaften repräsentieren Ergebnisse der Berechnung.

Richtungsvektor der OSGA:

```
UX_VECTOR3 OSG_RV
```

Aufpunkt der OSGA:

```
UX_VECTOR3 OSG_AP
```

Deviationswinkel der OSGA:

```
double OSG_Dev
```

Inklinationswinkel der OSGA:

```
double OSG_Inc
```

Drehwinkel bzw. Bewegungsamplitude der Bewegung um die OSGA:

```
double OSG_Winkel
```

Senkrechter (minimaler) Abstand der OSGA zum Ansatzpunkt des Kraftvektors der Achillessehne:

```
double Lever_OSGA
```

Richtungsvektor der USGA:

UX_VECTOR3 USG_RV

Aufpunkt der USGA:

UX_VECTOR3 USG_RV

Deviationswinkel der USGA:

double USG_Dev

Inklinationswinkel der USGA:

double USG_Inc

Drehwinkel bzw. Bewegungsamplitude der Bewegung um die USGA:

double USG_Winkel

Senkrechter Abstand der USGA zum Kraftvektor der Achillessehne:

double Lever_USGA

Senkrechter Abstand der OSGA zur USGA:

double Dist

Ein Beispiel, wie die Klasse *calcAxis* in eigenen Programmen angewendet werden kann, ist dem Anhang D auf Seite 138 zu entnehmen. Die meisten ab Seite 45 beschriebenen Methoden werden von Funktionen innerhalb der Klasse *calcAxis* aufgerufen (siehe Abbildung 29 auf Seite 51).

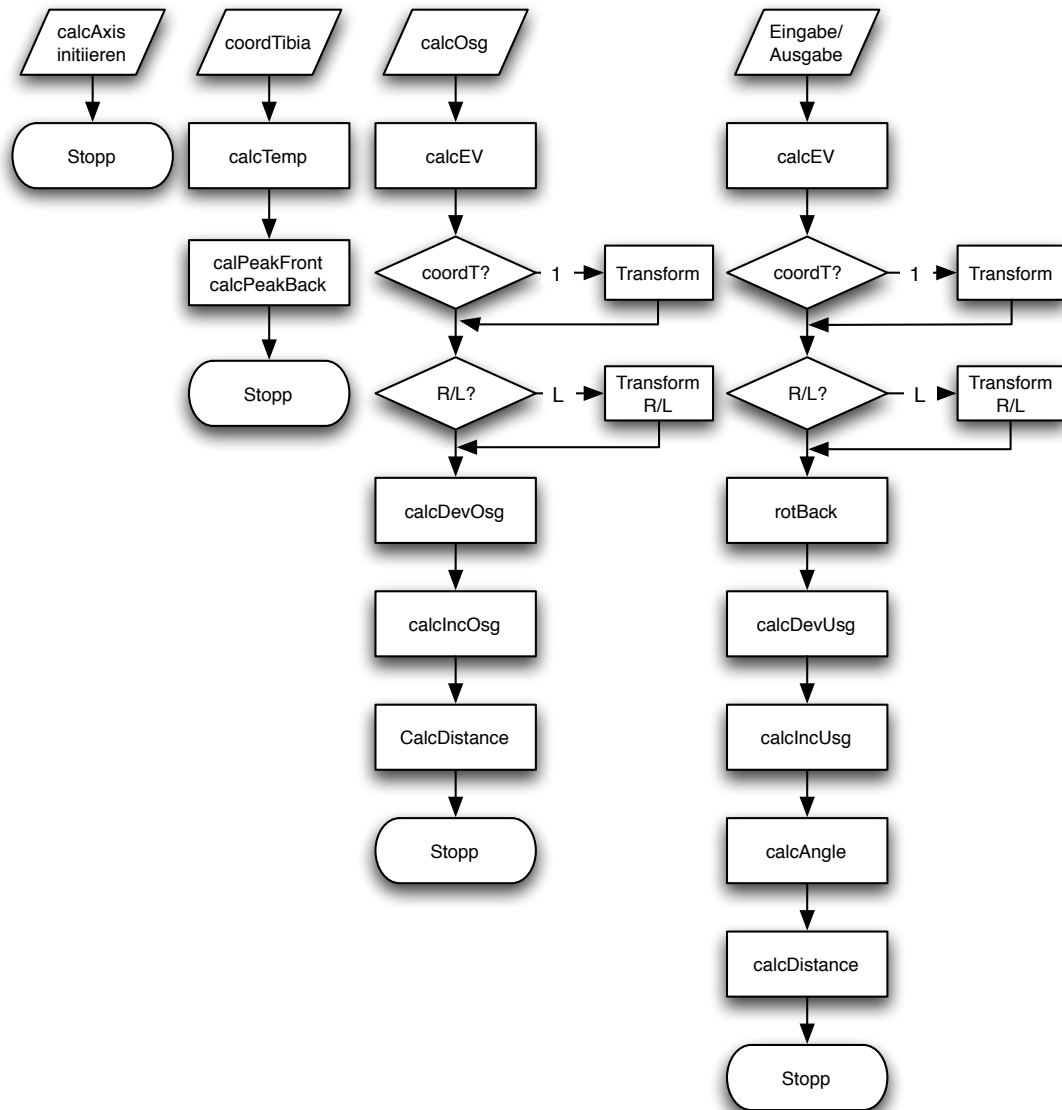


Abbildung 29: Schematischer Aufbau der Klasse *calcAxis*. Nach dem Initiieren durch die Methode *calcAxis*, stehen die Funktionen *coordTibia()*, *calcOsg()* sowie *calcUsg()* zur Verfügung (siehe Beispiel auf Seite 138). Die Abbildung zeigt die Programmstruktur und Beziehung aller Funktionen bzw. Methoden der Klasse *calcAxis*.

3.5.3 Die Klasse USG

Die Klasse *USG* ist gleichzeitig das Kernstück der Software. Alle vorangegangenen beschriebenen Klassen werden von diesem Programmteil zusammengefasst. Hier werden alle Dialogklassen definiert sowie die logischen Abfolgen der für einen Messdurchlauf benötigten Funktionen festgelegt. Die Benutzeroberfläche dieser Klasse dient zum einen der Steuerung sowie Konfiguration der kompletten Software, stellt aber auch die numerischen wie auch grafisch aufbereiteten Ergebnisse einer Messung dar. Selbstverständlich verfügt dieser Programmteil der Software auch über die Möglichkeit, Rohdaten zu speichern bzw. zu öffnen oder die berechneten Ergebnisse als *csv*-Datei²³ zu exportieren. Werden Rohdaten erneut geöffnet, werden alle Ergebnisparameter abermals berechnet. Sollten an den Berechnungsroutinen der Software Veränderungen vorgenommen werden, können alte Datensätze erneut geladen werden. Alle Ergebnisparameter werden erneut, aber mit den veränderten Routinen berechnet. Da das Messverfahren schon in einer frühen Prototypenphase zum Einsatz kam, war diese Funktion besonders wichtig. Alle weiteren Funktionen und die Bedienung der GUI²⁴ werden im Kapitel 3.5.4 auf Seite 59 behandelt.

Weitere wichtige Funktionen der Klasse *USG* sind:

- ◇ Aufzeichnen der Koordinatendaten für die Berechnung des alternative *Tibiakoordinatensystems*.
- ◇ Erfassen der von der Klasse *zebClass* gelieferten Rohdaten.
- ◇ Filtern der Rohdaten um den Fehler durch Rauschen- bzw. Störgeräusche zu minimieren.
- ◇ Ermitteln geeigneter Datensätze zur Berechnung der gewünschten Parameter der Rotationsachsen.

3.5.3.1 Routine zur Erfassung der Koordinatendaten

Wie in Kapitel 3.4.3 auf Seite 25 bereits erwähnt werden für die Berechnung eines *Tibiakoordinatensystems* vier anatomische Punkte benötigt. Da darüber hinaus auch noch jeweils ein Punkt auf dem Malleolus lateralis und Malleolus medialis aufgezeichnet werden soll, müssen insgesamt sechs Punkte von dieser Routine aufgezeichnet und berechnet werden. Die Berechnung der Punkte aus den *X*, *Y* und *Z* Koordinaten der Ultraschallsender der Kanäle 1 und 2 übernimmt die in Kapitel 3.5.2 ab Seite 45 beschriebene Klasse *calcAxis*. Vom *GUI* müssen für die Erfassung der Koordinatendaten verschiedene Prozesse bzw. Dialoge gestartet werden:

²³ Von Excel lesbares Dateiformat.

²⁴ Abkürzung für 'General User Interface', gleichbedeutend mit Benutzeroberfläche.

- ◇ Ein *Arbeitsthread*²⁵ der ununterbrochen mit Hilfe von Methoden der Klasse *zebClass* den Buffer der Hardware, also die Koordinatendaten, ausliest. Dieser Arbeitsthread wird dabei mit weiteren Threads bzw. Prozessen synchronisiert und kommuniziert über bestimmte Schnittstellen, in diesem Fall mit verschiedenen Benutzeroberflächenthreads²⁶ [MICROSOFT 2005].
- ◇ Insgesamt werden vom Hauptprogramm oder *Parentdialog*²⁷ nacheinander sechs *Childdialoge* erzeugt. Jeder dieser erzeugten Dialoge dient der Erfassung eines anatomischen Punktes zur Berechnung des *Tibiakoordinatensystems*.
- ◇ Gleichzeitig wird in diesen Childdialogen ein Benutzeroberflächenthread gestartet, der mit dem Arbeitsthread des Parentdialogs kommuniziert. Nur wenn ein Ultraschallsignal von den Sensoren empfangen wird, werden die entsprechenden Schaltflächen des *GUI* der Childdialoge freigegeben und es kann eine Aufzeichnung der Koordinatendaten stattfinden. Die aufgenommenen Datensätze werden in einem Array²⁸ des Parentdialogs gespeichert. Anschließend wird der Childdialog geschlossen und der nächste vom Parentdialog erzeugt.

Die exakte Vorgehensweise und Programmierung kann dem Anhang F ab Seite 144 entnommen werden. Abbildung 30 auf Seite 54 bildet die prozeduralen Zusammenhänge des Vorgangs zum Festlegen des *Tibiakoordinatensystems* ab. Wurden alle sechs anatomischen Punkte erfolgreich aufgezeichnet, wird das *Tibiakoordinatensystem* sowie auch der Korrekturfaktor für die Ausbreitungsgeschwindigkeit des Ultraschalls berechnet.

3.5.3.2 Routine zur Aufzeichnung der Rohdaten

Im Gegensatz zur Berechnung des *Tibiakoordinatensystems*, bei der nur Momentaufnahmen der Ultraschallmarker gemacht werden müssen, wird zur Bestimmung der Parameter der USGA und OSGA ein stetiges Signal des Ultraschallmarkers gebraucht. Alle vom CMS 20 gelieferten Koordinatendaten werden von einem Arbeitsthread in einem Array erfasst. Abbildung 31 auf Seite 55 zeigt die Rohdaten der

²⁵ Unter einem Thread versteht man in der Software-Architektur einen Ausführungsstrang oder eine Ausführungsreihenfolge innerhalb eines Prozesses, der nebenläufig zu anderen Threads ausgeführt werden kann. In diesem Beispiel läuft der Arbeitsthread zum Auslesen der Hardware parallel und autonom ab, ohne dabei andere Prozesse bzw. Threads zu blockieren.

²⁶ Ein Benutzeroberflächenthread wird normalerweise verwendet, um unabhängig von Threads, die derzeit andere Teile der Anwendung ausführen, Benutzereingaben zu behandeln und um auf vom Benutzer erzeugte Ereignisse zu reagieren.

²⁷ Eine Anwendung kann verschiedenste Dialoge oder Fenster gleichzeitig verwenden. Child- oder Kinderdialoge werden dabei von Parent- bzw. Elterndialoge erzeugt.

²⁸ Mit Hilfe eines Arrays können Daten eines einheitlichen Datentyps geordnet so im Speicher eines Computers abgelegt werden, dass ein Zugriff auf die Daten über einen Index möglich wird.

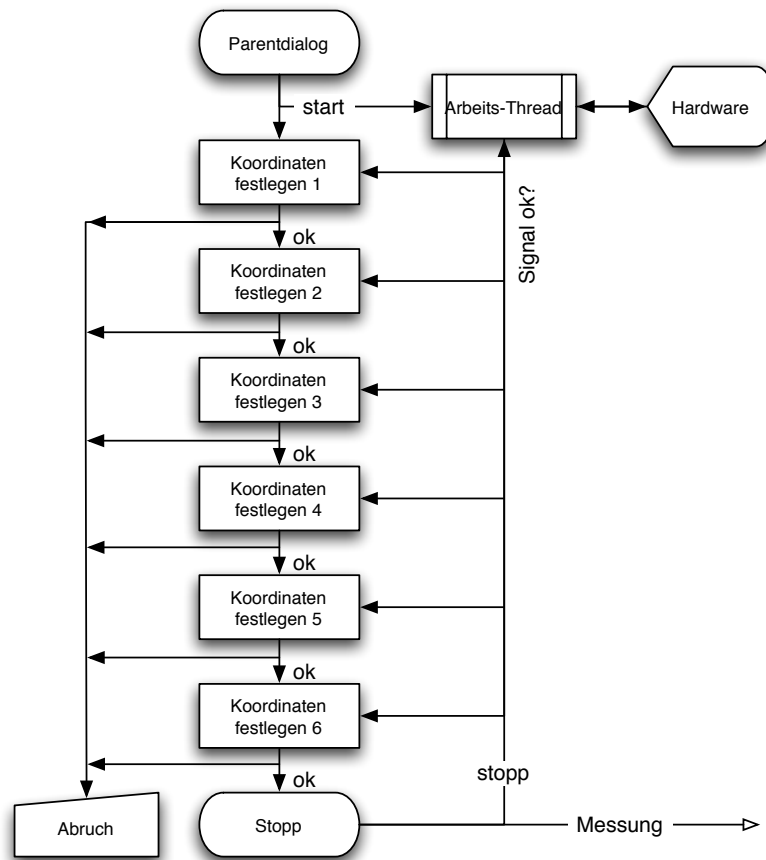


Abbildung 30: Ablauf der Routine zur Erfassung der anatomischen Bezugspunkte. Gleichzeitig mit dem Erzeugen des ersten Chlldialogs wird der Arbeitsthread zum Auslesen des Hardwarebuffers, gestartet. Die Benutzeroberflächenthreads der Chlldialoge kommunizieren mit dem Arbeitsthread des Parentdialog. Nur wenn ein Ultraschallsignal von beiden Markern P_1 und P_2 empfangen wird, werden die entsprechenden Schaltflächen des Chlldialogs zum Aufzeichnen der Koordinatendaten freigegeben. Wurden die Datensätze korrekt aufgezeichnet, wird der Chlldialog geschlossen und der nächste erzeugt, anderenfalls kommt es zum Abbruch. Wurden alle sechs Datensätze erfolgreich aufgezeichnet, wird im Parentdialog die Schaltfläche zur Messung freigegeben.

X-Koordinate eines Messdurchlaufs. Es handelt sich dabei um ein rechtes Sprunggelenk. Die Eversions- bzw. Inversionsbewegung wurde fünf mal wiederholt. Da sich die Software jeweils zwei Extrempunkte und einen zugehörigen Mittelpunkt zur Berechnung der Rotationsachsen sucht, muss vermieden werden, dass fälschlicherweise ein Messfehler bzw. Ausreißer als Extrempunkt erkannt wird. Da solche Ausreißer immer eine hochfrequente Veränderung im Signalverlauf verursachen, kann dieser Fehler durch den Einsatz eines Lowpassfilters vermieden werden.

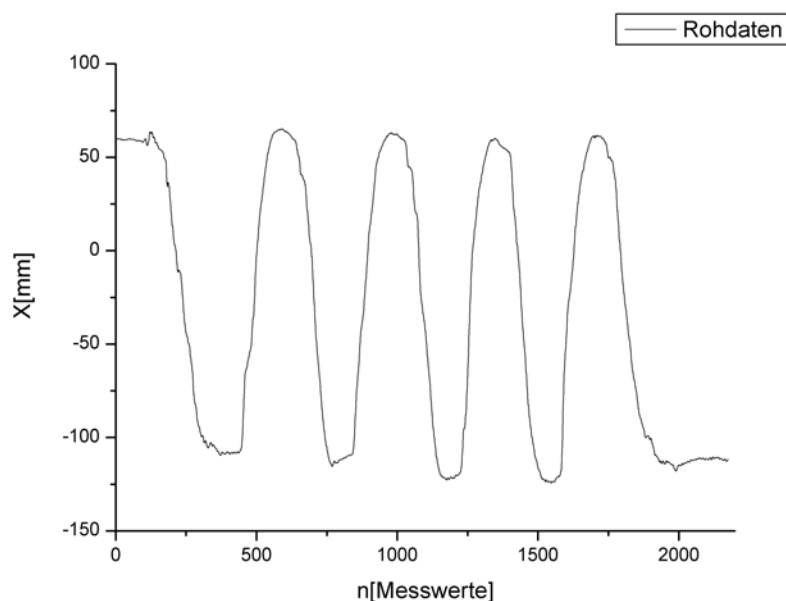


Abbildung 31: Rohdaten der X Koordinaten eines Messdurchlaufs (rechtes Sprunggelenk). Die erste abfallende Flanke der Signalkurve kennzeichnet die Inversionsbewegung. Die Eversions- bzw. Inversionbewegung wurde fünfmal wiederholt.

3.5.3.3 Filterroutine

Da es sich bei der auszuführenden Bewegung um die Sprunggelenkachsen um eine sehr niederfrequente Bewegung handelt, wurde ein *Butterworth Lowpassfilter* vierter Ordnung²⁹ mit einer Grenzfrequenz von $f_g = 1\text{Hz}$ eingesetzt. Die Methode *callFilter* der Klasse *USG* liest alle Rohdaten aus, filtert diese und schreibt die gefilterten Datensätze in ein neues Array. Die Rohdaten bleiben erhalten, d. h. sollten die Filterkoeffizienten verändert werden, kann die Berechnung jederzeit erneut auf das Rohdatenmaterial angewandt werden. Abbildung 32 auf Seite 56 zeigt den Signalverlauf des gefilterten und ungefilterten Datenmaterials³⁰. Die gefilterte Signalkurve zeigt dabei eine leichte Phasenverschiebung. Da es sich bei der Bewegung um keinen zeitkritischen Vorgang handelt, kann dieser Sachverhalt außer Acht bleiben.

²⁹ Durch das Hintereinanderschalten von mehreren Tiefpässen kann man dessen Ordnung erhöhen. Zwei hintereinander geschaltete Tiefpässe 2. Ordnung bilden einen Tiefpass 4. Ordnung. Die Dämpfung nimmt also oberhalb der Grenzfrequenz mit $4 \cdot 20\text{dB/Dekade} = 80\text{dB/Dekade}$ zu.

³⁰ Die als Textfile gespeicherten Rohdaten einer Messung enthalten zusätzlich die gefilterten Daten. Diese gefilterten Daten werden vom Programm später zwar nicht mehr verwendet, waren aber während der Entwicklungsphase für die Einstellung der Filterkoeffizienten sehr hilfreich.

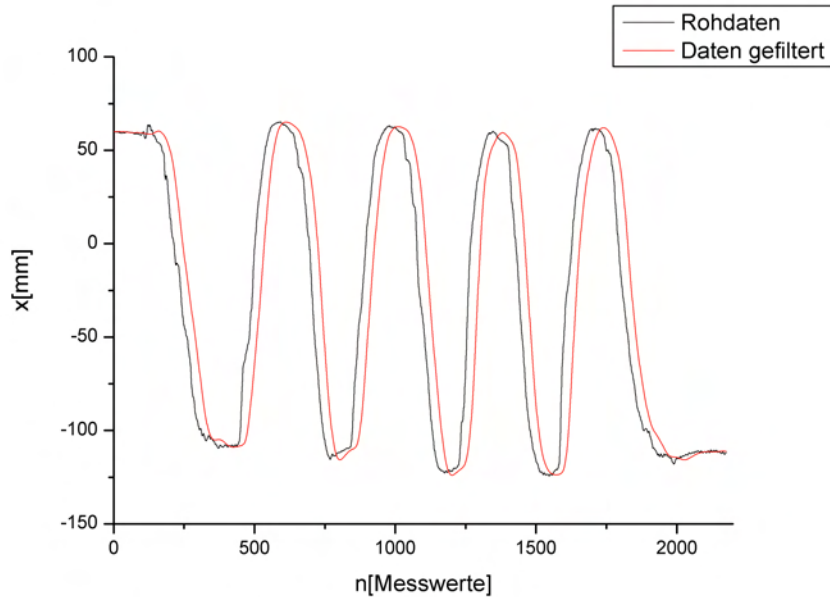


Abbildung 32: Rohdaten und gefilterte Daten der X Koordinate eines Messdurchlaufs. Die rote Signalkurve zeigt den gefilterten Datensatz. Zu beobachten ist eine leichte Phasenverschiebung $\Delta\varphi$ gegenüber dem nicht gefilterten Signalverlauf. Da es sich um einen nicht zeitkritischen Vorgang handelt, ist diese Phasenverschiebung nicht weiter von Bedeutung. Ausreißer oder Störsignale wie sie von der schwarzen Kurve z.B. um den Messwert 200 gezeigt werden, werden weitgehend herausgefiltert.

3.5.3.4 Routine zur Ermittlung geeigneter Datensätze für die Parameterberechnung

Aus den Daten der Bewegung um die OSGA oder USGA werden anschließend die gesuchten Parameter der Rotationsachsen berechnet. Dazu werden von einer Funktion des Hauptprogramms jeweils Hoch- und Tiefpunkte des Signalverlaufs der aufgezeichneten x -Bewegungskordinaten bestimmt. Sind die Extrempunkte ermittelt, wird anschließend der Mittelpunkt zu diesen Punkten gesucht. Aus diesen drei Punkten kann die Software die gewünschten Parameter mit Hilfe der Klasse *calcAxis* berechnen. Tabelle 3 auf Seite 57 enthält Indexnummern des Arrays, der die X , Y und Z Koordinaten der Messung speichert. Die Indexnummern für die Punkte P_1 und P_3 repräsentieren dabei die Extrempunkte des Signalverlaufs, Punkt P_2 den dazugehörigen Mittelpunkt. Während der Entwicklungsphase wurden zusätzliche Funktionen zur Ausgabe dieser Datentriplets in den Programmcode eingefügt. Mit Hilfe der Rohdaten der Messung und den ausgegebenen Indexnummer des Array konnte die Routine zum Auffinden von Extremstellen und Mittelpunkten überprüft werden.

Abbildung 33 auf Seite 58 zeigt das gefilterte Datenmaterial und die von der Routine gefundenen Datentriplets.

Tabelle 3: Datentriplets zur Berechnung der Rotationsachsen. Der Array enthält an den Stellen P_1 und P_2 die Extremstellen der Koordinatendaten des Signalverlaufs, an der Stelle P_3 den dazugehörigen Mittelpunkt. In Abbildung 33 auf Seite 58 sind diese Arraystellen als schwarze Punkte im Schaubild markiert.

Array Indexnummer		
P_1	P_2	P_3
1	262	424
425	518	612
613	736	803
804	916	1012
1013	1125	1201
1202	1292	1380
1381	1473	1571
1572	1641	1739
1740	1847	2027

Wie bereits im Kapitel 3.4 auf Seite 22 beschrieben, handelt es sich bei der Entwicklung des Messsystems zu einem betriebsfähigen Prototypen um einen iterativen Prozess. Um den Messfehler möglichst zu minimieren, wurden deshalb die Berechnungsroutinen der Software ständig verbessert. Dabei wurden sowohl die Routinen zur Bestimmung geeigneter Datensätze zur Berechnung der Rotationsachsenparameter als auch die Berechnungsroutinen verändert. Die Verbesserung durchlief verschiedene Phasen:

1. In der ersten Version wurden instantane Rotationsachsen berechnet. Das Programm lieferte sehr gute Ergebnisse an ersten Messungen am mechanischen Modell. Bei ersten Versuchen in vivo waren die Ergebnisse allerdings mit einem sehr großen Fehler ($\Delta E > 25^\circ$) behaftet. Bedingt durch die geringen Punktabstände der zur Berechnung benutzten Koordinatendaten ($s < 5mm$ bei instantaner Rotationsachsen) hatten schon kleine Messfehler einen großen Einfluss auf das berechnete Ergebnis.
2. Ein Lowpassfilter eliminierte mögliche Störsignale, der Messfehler wurde dadurch weiter minimiert.
3. Bei der Berechnung von finiten Achsen haben kleine Fehler der X , Y und Z Koordinaten der Ultraschallsender, bedingt durch die günstigeren geometrischen Verhältnisse, weniger Einfluss auf das zu berechnende Ergebnis. Es

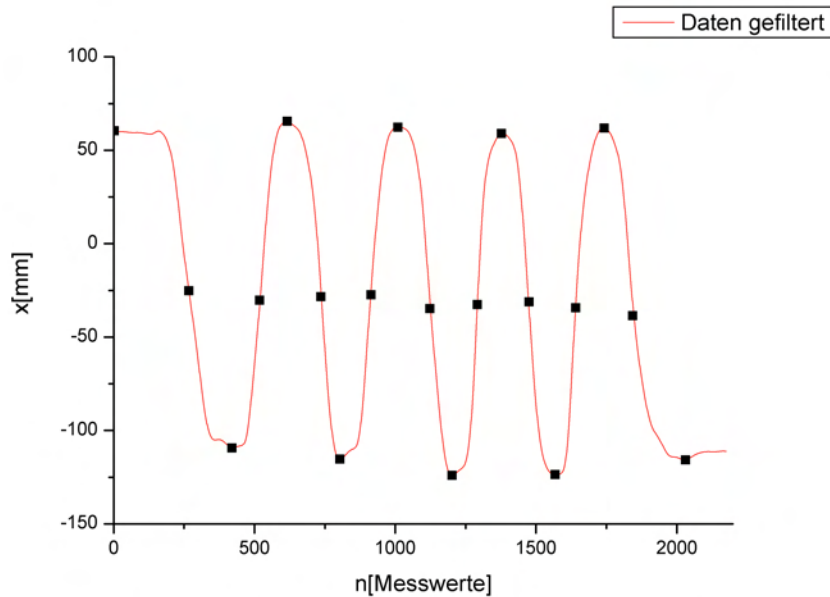


Abbildung 33: Gefiltertes Signal der X -Koordinate mit den von der Routine gefundenen Extremstellen und Mittelpunkten. Die schwarzen Punkte kennzeichnen die Punkte der maximalen Eversion (Hochpunkte), maximalen Inversion (Tiefpunkte) und einem Mittelpunkt zu den beiden Extremstellen. Aus diesem Datensatz werden neun Rotationsachsen berechnet.

werden nur noch drei Koordinatensätze benötigt. Benutzt werden die Koordinatendaten der Anfangs-, End- und einer Mittelstellung (siehe Abbildung 33 auf Seite 58).

4. Um den Messfehler weiter zu minimieren, wurden die Methoden des Programms erneut verändert. Es werden die Rotationsachsen von mehreren Bewegungszyklen, also mehreren aufeinander folgenden Inversions- und Eversionsbewegungen berechnet. Aus diesen Ergebnissen werden dann Mittelwert und Standardabweichung berechnet.
5. Ergebnisse, die außerhalb der zweifachen Standardabweichung liegen, werden als Ausreißer behandelt. Mittelwert und Standardabweichung werden erneut berechnet, ohne die Ausreißer einzubeziehen.

Durch diese Modifikationen konnte der Fehler, der zwangsläufig bei in vivo Messungen z.B. durch ungenaue Bewegungsausführung, Hautverschiebungen usw. auftritt, minimiert werden.

3.5.4 Programmoberflächen - GUI

Von den Benutzeroberflächen (GUI) lassen sich alle Prozesse der Messprogramms steuern. Bei der Entwicklung dieser Oberflächen wurde deshalb ein besonderes Augenmerk auf die intuitive Bedienbarkeit gelegt. Desweiteren sollten Fehlbedienungen des Programms und damit Fehlermessungen ausgeschlossen werden, der gesamte Messprozess sollte möglichst objektivbar gestaltet sein. Das Programm setzt sich aus verschiedenen Dialogen zur Programmsteuerung, Datenerfassung und Datenausgabe zusammen:

- ◇ Dialog der Klasse USG: Alle Prozesse und weiteren Dialoge werden von dieser Oberfläche aus gestartet. Dieser Dialog stellt sozusagen das „Hauptprogramm“ dar.
- ◇ Dialog - Probandendaten: Dient zur Erfassung der Stammdaten von Probanden.
- ◇ Dialog - Koordinaten festlegen: Besteht genau genommen aus sechs Dialogen, die zur Erfassung der markanten anatomischen Punkte zur Berechnung des *Tibiakoordinatensystems* dienen.
- ◇ Dialog - Messung: Setzt sich aus einem Dialog zur Messung der OSGA und einem weiteren Dialog zur Messung der USGA zusammen.

Nachfolgend soll lediglich das GUI der Klasse USG, sozusagen die Hauptbenutzeroberfläche und damit Steuereinheit des Messprogramms, besprochen werden. Alle weiteren Dialoge werden im Anhang G ab Seite 187 beschrieben.

3.5.4.1 Dialog der Klasse USG

Alle Dialoge werden von dieser Benutzeroberfläche aus geöffnet. Sämtliche wichtigen Funktionen lassen sich von auf der Dialogoberfläche angebrachten Schaltflächen direkt ansteuern. Über eine Windows-typische Menüleiste lassen sich alle weiteren Funktionen anprehen. Die wichtigsten Ergebnisse werden sowohl numerisch als auch grafisch dargestellt. Abbildung 34 auf Seite 61 zeigt alle Schalt- und Ausgabeflächen der GUI.

Funktionen der Programmsteuerung:

- 1 Probanden Daten: Öffnet den Dialog Probanden Daten.

- 2 Koordinaten festlegen: Ruft den Dialog zum Festlegen eines *Tibiakoordinatensystems* auf.
- 3 Messung starten: Diese Schaltfläche wird erst aktiviert nachdem ein *Tibiakoordinatensystem* festgelegt wurde.
- 4 Daten speichern: Öffnet einen Windowsdialog zum Speichern der Rohdaten.
- 5 Programm zurücksetzen: Führt einen Programmreset durch. Alle Messungen und Ergebnisse werden gelöscht, alle Schalt- und Ausgabeflächen zurückgesetzt.
- 6 Programm beenden.

Felder der numerischen Ergebnisdarstellung:

- 7 Inklinationswinkel der OSGA.
- 8 Drehwinkel der OSGA.
- 9 Deviationswinkel der OSGA.
- 10 Hebel, der senkrechte minimale Abstand der OSGA zur Z Achse. Entspricht dem Angriffspunkt des Kraftvektors der Achillessehne.
- 11 Inklinationswinkel der USGA.
- 12 Drehwinkel der USGA.
- 13 Deviationswinkel der USGA.
- 14 Hebel, der senkrechte minimale Abstand der USGA zur Z Achse.

Die Felder 11 bis 14 verändern zudem noch je Größe der Standardabweichung ihre Hintergrundfarbe. Dunkelgrün bedeutet eine Standardabweichung $S < 5^\circ$, hellgrün $5^\circ < S < 10^\circ$, hellblau $10^\circ < S < 15^\circ$ und rot $S > 15^\circ$. Somit können die Messergebnisse direkt nach einer Messung beurteilt und die Messung gegebenenfalls wiederholt werden.

Schaltflächen zur Anpassung der grafischen Darstellung:

- 15 Schaltet die 3D-Darstellung des Fußes zwischen den Modi Fläche, Fläche 2D XY , Fläche 2D YZ und Gitternetz um.
- 16 Wechselt zwischen einer orthografischen und perspektivischen Darstellung des Diagramms.

- 17 Kopiert die aktuelle 3D Darstellung des Fußes in die Zwischenablage.
- 18 Diese drei Schaltflächen rotieren das Diagramm in die XZ , XY oder YZ Ebenen.
- 19 Schaltet zwischen den Funktionen Rotieren, Zoomen, und Pannen um.
- 20 Öffnet den Dialog Diagrammeigenschaften.

Feld für die grafische Darstellung der Ergebnisse:

- 21 Die Achsen werden in einem dreidimensionalen kartesischen Koordinatensystem dargestellt. Die USGA in der Farbe blau, die OSGA wird in rot eingezeichnet. Durch einen Mausklick in das Diagramm kann durch entsprechende Bewegungen der Maus das Schaubild rotiert, gezoomt oder gepannt werden.

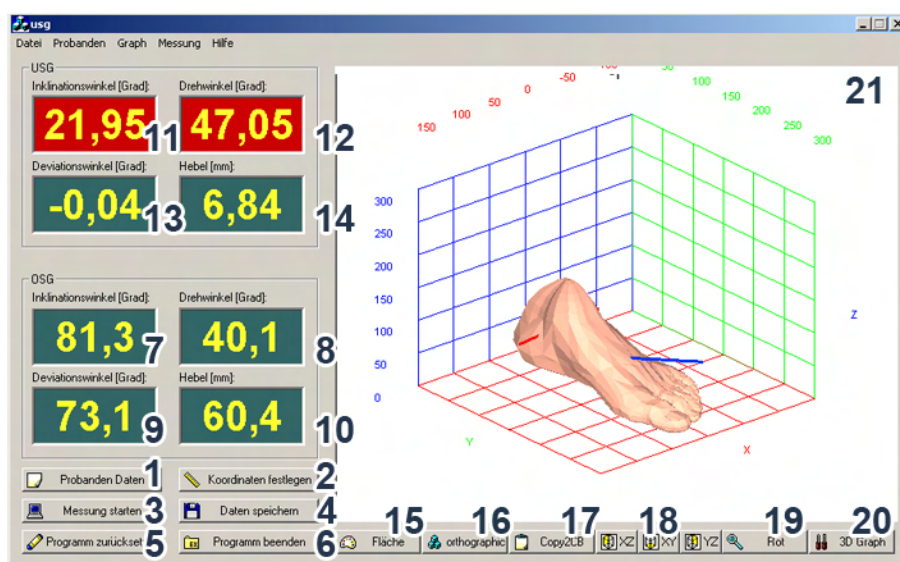


Abbildung 34: Benutzeroberfläche des Hauptprogramms. Über die Schaltflächen 1-6 können alle Hauptfunktionen des Programms aufgerufen werden. Die Felder 7-14 geben die wichtigsten Ergebnisse numerisch aus. Über die Schaltflächen 15-20 lassen sich die Parameter der grafischen Darstellung anpassen. Feld 21 stellt die Sprunggelenkachsenparameter grafisch dar.

3.6 Hardwaremodifikation und -entwicklung

Das 3D Messsystem CMS 20 der Firma Zebris® ist grundsätzlich für eine Bewegungsanalyse des Sprunggelenkkomplexes geeignet (siehe Kapitel 3.3 auf Seite 19). Um es zur Bestimmung der Sprunggelenkachsen einsetzen zu können, müssen an der Hardware allerdings verschiedene Modifikationen vorgenommen werden. Da für die Bewegungsanalyse lediglich eine Bewegung des Calcaneus relativ zum Unterschenkel von Bedeutung ist, müssen sowohl für den Unterschenkel als auch für den Calcaneus verschiedene Vorrichtungen gebaut werden die eine Befestigung von Ultraschallmarkern- und Sensoren erlauben.

3.6.1 Befestigung der Ultraschallsensoren

Von der Firma Zebris® wurde ein spezieller Sensor- und Markersatz für das *JMA* Mess-System zur Kiefergelenkanalyse entwickelt. Zwei *JMA* Sensoren sind auf dem Markt erhältlich: Der *JMA* 11 · 11 und der etwas kleinere *JMA* 8 · 8 Sensor. Diese Sensoren wurden für Bewegungsanalysen im Nahbereich, $d < 50\text{cm}$, konzipiert und besitzen eine höhere Genauigkeit als die Standardsensoren des CMS 20. Da *JMA* Sensoren für die Analyse des Kiefergelenks am Unterkiefer angebracht werden müssen, zeichnen sie sich durch eine relativ geringe Masse aus und sind somit geeignet, am Unterschenkel befestigt zu werden. In dieser Arbeit wurde der *JMA* 11 · 11 Sensor verwendet. Dieser Sensor besteht aus vier Ultraschall-Miniatur-Mikrofonen, die eine quadratische Fläche mit einer Kantenlänge von 11cm aufspannen. Der Koordinatenursprung des *JMA* 11 · 11 liegt im Schnittpunkt der beiden Diagonalen des von den Ultraschallsensoren aufgespannten Quadrats (siehe Abbildung 35 auf Seite 63).

Zur Befestigung der Sensoren am Unterschenkel erweist sich die Tibia als geeignet. Alt hatte für die Anbringung der Infrarot Marker ein ähnliches System verwendet [ALT 2001]. Diese Haltevorrichtung wurde modifiziert, sodass der *JMA* Sensor unkompliziert an der Tibia angebracht werden kann. Die gesamte Vorrichtung ist so konstruiert, dass es möglich ist die Sensoren, unabhängig von der interindividuellen Beingeometrie, optimal auf die Ultraschallsender auszurichten. Abbildung 36 auf Seite 64 zeigt einen Prototypen der Haltevorrichtung des *JMA* Sensors. Abbildung 37 auf Seite 66 zeigt den an der Tibia applizierten *JMA* 11 · 11Sensor.

3.6.2 Befestigung der Ultraschallmarker

Damit die Sensoren ein störungsfreies Ultraschallsignal empfangen können, müssen die Ultraschallsender möglichst unterhalb der Sensoren angebracht werden. Für die Berechnung der OSG- bzw. USG-Achse muss eine Bewegung oder Rotation im

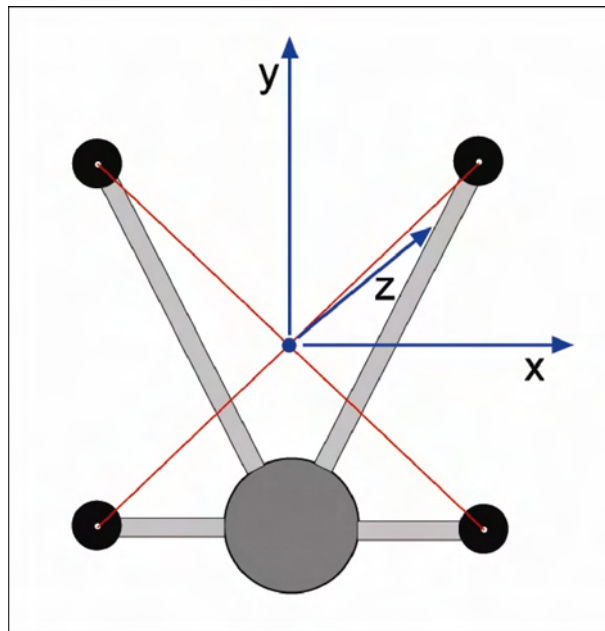


Abbildung 35: Skizze *JMA 11 · 11* Sensor. Der Koordinatenursprung liegt im Schnittpunkt der Diagonalen der Eckpunkte des Sensors. Alle vom Sensor erfassten X-, Y- und Z-Koordinatendaten werden in diesem Koordinatensystem angegeben.

talokruralen- bzw. im subtalaren Gelenk aufgezeichnet werden. Dies ist nur durch eine indirekte Befestigung der Ultraschallmarker am Calcaneus möglich. Nur dadurch können Bewegungen des Vorfusses ausgeschlossen werden. Abbildung 38 auf Seite 66 zeigt, wie die Markerbefestigung mit Hilfe eines Fußballschuhes realisiert wurde. Der vordere Teil des Fußballschuhes wurde entfernt, anstelle der Stollen wurde ein Aluminiumbügel angeschraubt. Auf diesem Aluminiumbügel können die Ultraschallmarker befestigt werden. Der Schuh kann mit Hilfe eines Klettbandes am Fuß befestigt werden (siehe Abbildung 39 auf Seite 67). Für die Berechnung der Parameter der OSGA und USGA wurden dabei zwei verschiedene Marker verwendet. Für die Bestimmung der OSGA-Parameter wurden die Koordinatendaten des Ultraschallmarkers verwendet, der näherungsweise dicht an der USGA befestigt wurde. Es muss dabei berücksichtigt werden, dass die aufgezeichneten Daten der Dorsalflexion im OSG von einer Bewegung im USG überlagert sein können³¹. Aufgrund günstiger geometrischer Verhältnisse, sprich dem kleinen Abstand des zur Berechnung verwendeten Markers zur Rotationsachse, kann dieser Fehler minimiert werden. Für die Bestimmung der USGA soll der Radius bzw. Abstand des Ultraschallmarkers zur vermuteten Rotationsachse möglichst groß gewählt werden. Sollte nun wiederum das Signal der Inversions bzw. Eversionsbewegung von einer Bewegung im talokruralen

³¹ Das subtalare Gelenk kann aufgrund der anatomischen Situation des Talus nicht festgesetzt werden.



Abbildung 36: Prototyp der Ultraschallsensorbefestigung. Die Sensorbefestigung verfügt über zwei Gelenke. Der Sensor kann so optimal unabhängig von interindividuellen Unterschieden an der Tibia des Probanden angebracht werden. Das Gesamtgewicht beträgt $m = 50g$. Die Haltevorrichtung besteht aus einem leicht flexiblen Kunststoffband, das mit Hilfe von doppelseitigem Klebeband auf die Tibia geklebt werden kann. Am Kunststoffband wiederum ist ein Metallstift befestigt, an dem über ein Gelenk die magnetische Halterung für den *JMA* Sensor angebracht ist. Der Sensor kann so unkompliziert auf der Halterung befestigt werden. Die gesamte Vorrichtung ist so konstruiert, dass es möglich ist, die Sensoren unabhängig von der interindividuellen Beingeometrie optimal auf die Ultraschallsender auszurichten.

Gelenk überlagert sein, kann so trotzdem ein hinreichend genaues Ergebnis erzielt werden.

3.6.3 Entwicklung des Taststiftes zur Erfassung anatomischer Punkte

Um markante anatomische Punkte aufzeichnen und daraus das *Tibiakoordinatensystem* berechnen zu können, wurde ein spezieller Taststift entwickelt. Aus der bekannten Geometrie des Taststiftes (siehe Anhang H auf Seite 191) kann über einfache vektorielle Beziehungen der Zeiger auf den jeweilig markierten Punkt berechnet werden. Für die Taststiftspitze gilt somit:

$$P = \vec{m}_1 + l_1 \cdot \frac{\vec{m}_1 - \vec{m}_2}{|\vec{m}_1 - \vec{m}_2|} \quad (46)$$

mit:

- P : Zu markierenden anatomischen Punkt.
- \vec{m}_1 : Vektor zum Ultraschallmarker M_1 .
- \vec{m}_2 : Vektor zum Ultraschallmarker M_2 .
- l_1 : $35mm$, Abstand vom Marker M_1 zur Taststiftspitze

Für die Spitze an der Taststiftrückseite gilt:

$$P = \vec{m}_1 - l_2 \cdot \frac{\vec{m}_1 - \vec{m}_2}{|\vec{m}_1 - \vec{m}_2|} \quad (47)$$

mit:

- P : Zu markierenden anatomischen Punkt.
- \vec{m}_1 : Vektor zum Ultraschallmarker M_1 .
- \vec{m}_2 : Vektor zum Ultraschallmarker M_2 .
- l_2 : $210mm$, Abstand vom Marker M_1 zur Spitze an der Taststiftrückseite

Damit die Ultraschallsensoren ein störungsfreies Signal von den Markern M_1 und M_2 empfangen zu können, muss sich der Taststift unterhalb der an der Tibia angebrachten Sensoren befinden. Die Spitze an der Taststiftrückseite wurde für Punkte an der Unterschenkelrückseite konstruiert. Die Ultraschallsender M_1 und M_2 werden vom CMS 20 auf Kanal 1 und 2 eingezogen. Der Prototyp des Taststiftes verfügt zusätzlich über zwei Taster, die den digitalen Kanal des CMS 20 ansteuern. Über diese digitalen Kanäle kann das Programm gesteuert werden. Durch Betätigen des Taster 1 wird ein Ultraschallsignal aufgezeichnet, Taster 2 schaltet die Routine zur Bestimmung des *Tibiakoordinatensystems* einen Schritt weiter. Befindet sich das Programm in der Routine *Bestimmung der Sprunggelenkachsen*, dient der Taster 1 zum Starten und Stoppen der Aufzeichnung, Taster 2 schaltet die Routine wiederum weiter. Ein exakter Konstruktionsplan des Taststiftes befindet sich im Anhang H auf Seite 191.

ENTWICKLUNG DES DIAGNOSTISCHEN VERFAHRENS

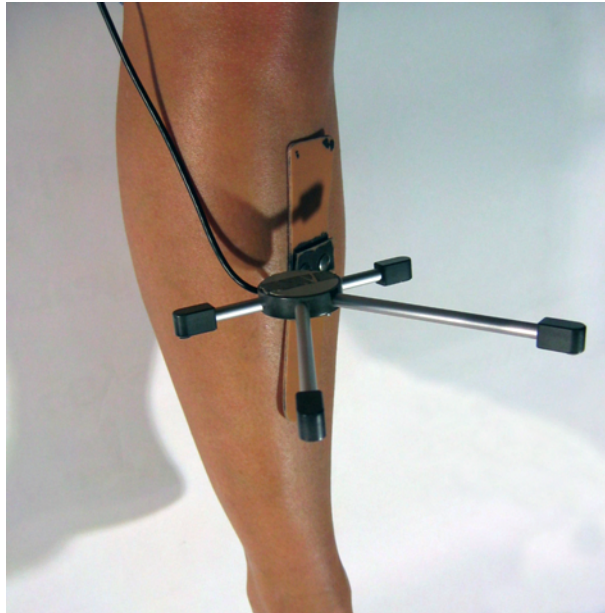


Abbildung 37: An der Tibia applizierter *JMA* Sensor. Durch diese Befestigung werden lediglich Bewegungen im OSG und USG relativ zur Tibia aufgezeichnet.



Abbildung 38: Prototyp der Ultraschallmarkerbefestigung. Das Klettband dient zur Befestigung des Schuhs am Probandenfuß. Der in der Mitte des Aluminiumbügels angebrachte Marker dient zur Bestimmung der OSGA Parameter und wird vom CMS 20 auf Kanal 3 eingezogen. Der rechte Ultraschallmarker liefert die zur Berechnung der USGA Parameter benötigten Koordinatendaten und wird vom CMS 20 auf Kanal 4 eingezogen.



Abbildung 39: Prototyp der Ultraschallmarkerbefestigung, angebracht am Probandenfuß. Zu sehen ist, dass der Vorfuß nicht vom Schuh mit eingeschlossen wird. Das Klettband drückt die hintere Schuhschale gegen das Fersenbein. Bei einer Bewegung folgen die Marker der Bewegung des Calcaneus.

ENTWICKLUNG DES DIAGNOSTISCHEN VERFAHRENS

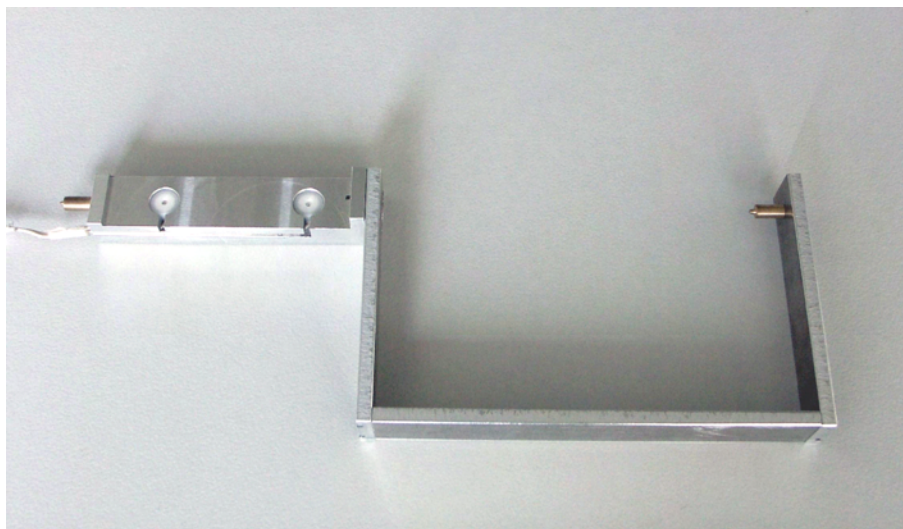


Abbildung 40: Prototyp Taststift zur Erfassung markanter anatomischer Punkte. Die Ultraschallmarker wurden so weit im Griff versenkt, dass sie genau in der Verbindungsachse der beiden Taststiftspitzen liegen. Ein Konstruktionsplan des Taststiftes befindet sich im Anhang H auf Seite 191.

3.7 Validierung der Messmethode

Der modulare Aufbau des entwickelten diagnostischen Verfahrens erlaubt eine Unterteilung in die Komponenten der Software, Hardwareschnittstelle, Hardware sowie in vivo Versuchsdurchführung. Die Validierung des Gesamtmesssystems erfolgte durch eine Validierung der einzelnen Module. Ergebnisse dieser Validierungen wurden in den darauffolgenden Konzeptions- und Entwicklungsphasen berücksichtigt. Die Kapitel 3.7.1 und 3.7.2 beschriebenen Validierungsversuche am virtuellen und mechanischen Modell dienten der Überprüfung der Soft- und Hardware des diagnostischen Verfahrens. Da die Bestimmung der USGA in vivo auf einer isolierten Bewegungsanalyse des USG basiert, musste in einem weiteren Versuch überprüft werden, ob das OSG und damit der Talus in einer maximalen Dorsalflexion in der Tibia-Fibula-Knochengabel als festgesetzt betrachtet werden kann. Dieser Versuch ist in Kapitel 3.7.3 erläutert.

3.7.1 Validierung am virtuellen Modell

Beim virtuellen Modell handelt es sich um ein Programm, das Rotationen um zwei miteinander gekoppelte Rotationsachsen simuliert und die Koordinatendaten von virtuellen Markern ausgibt. Dabei wurde, analog zum Versuch am Sprunggelenk, zuerst eine Rotation um eine der Achsen durchgeführt. Da die Achsen miteinander gekoppelt sind, wird durch diese Rotation die räumliche Position und Orientierung der zweiten Rotationsachse verändert. Anschließend wurde eine weitere Rotation um die zweite Rotationsachse ausgeführt. Mithilfe der Koordinatendaten der virtuellen Marker können die beiden Rotationsachsen berechnet werden. Aufpunkt und Richtungsvektoren der beiden Rotationsachsen waren dabei bekannt, die von der Klasse *calcAxis* berechneten Ergebnisse der Rotationsachsen konnten daher mit den gegebenen Rotationsachsen verglichen werden. Dieser Versuch diente zum einen der Überprüfung der Klasse *calcAxis*, die alle notwendigen Berechnungen übernimmt, zum anderen dem Festlegen von Mindestabständen der Marker zur Rotationsachse bzw. Mindestdrehwinkel zwischen den drei Aufnahmen des rotierenden Markers³². Im Versuch wurden sowohl Drehwinkel als auch der Abstand der Marker zur Rotationsachse variiert.

³² Es ist davon auszugehen, dass bei Unterschreitung dieser Mindestmaße, bedingt durch Rundungsfehler, ein mit einem sehr großen Fehler behaftetes Ergebnis berechnet wird.

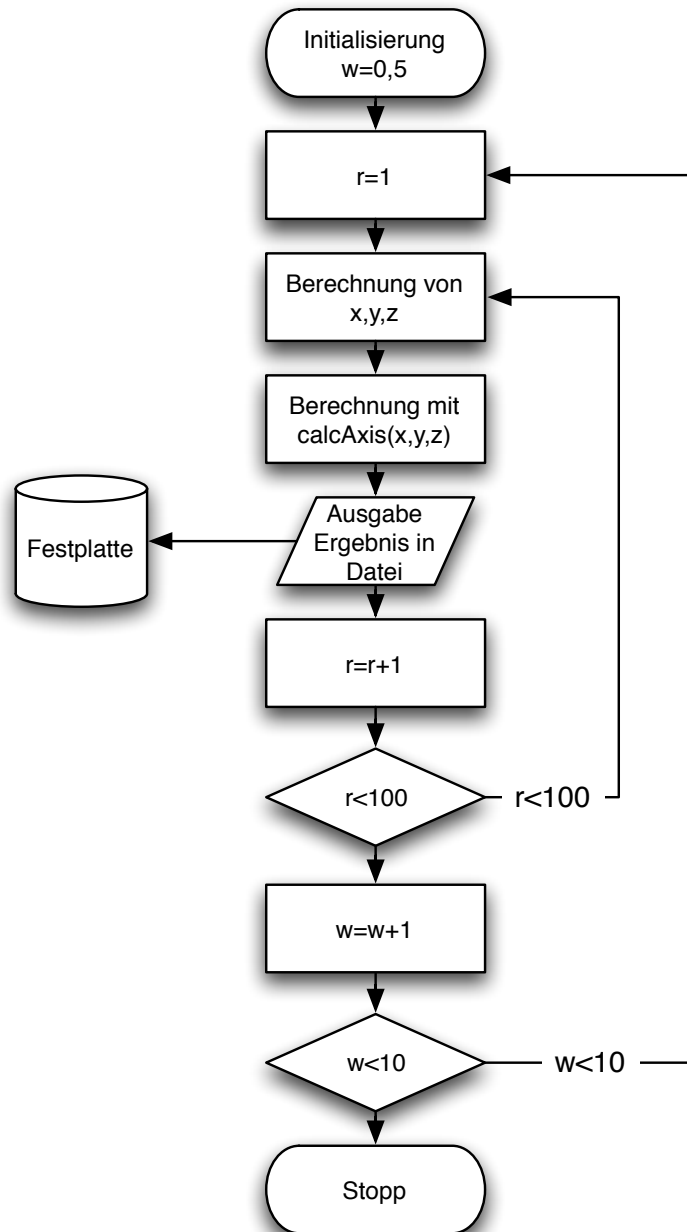


Abbildung 41: Flussdiagramm zum Programm Modell virtuell. In einer ersten Programmschleife wird der Winkel α zwischen $0,5^\circ < \alpha < 10^\circ$ in $\Delta\alpha = 0,5^\circ$ Schritten vergrößert. Innerhalb dieser ersten Schleife wird eine zweite Schleife durchlaufen die ebenfalls schrittweise den Abstand r zur Rotationsachse zwischen $1mm < r < 100mm$ mit $\Delta r = 1mm$ vergrößert. Zu jedem dieser Wertepaare von r und α werden mithilfe der bekannten Rotationsachsen und einfacher trigonometrischer Funktionen die Koordinatendaten von drei Punkten P_1 , P_2 sowie P_3 berechnet und diese dann an die Klasse *calcAxis* übergeben. Die Klasse *calcAxis* berechnet aus diesen Daten die Parameter der Rotationsachsen und speichert die Ergebnisse in einer Textdatei.

3.7.1.1 Versuchsdurchführung

Nach Programmstart wird vom Programm *Modell virtuell* eine Programmschleife durchlaufen, die den Drehwinkel α zwischen $0,5^\circ < \alpha < 10^\circ$ in $\Delta\alpha = 0,5^\circ$ Schritten vergrößert. Innerhalb dieser ersten Programmschleife wird dann in einer zweiten Schleife der Abstand r des virtuellen Markers zur Rotationsachse zwischen $1\text{mm} < r < 100\text{mm}$ in $\Delta r = 1\text{mm}$ Schritten variiert. Die X , Y und Z Koordinaten der drei Punkte P_1 , P_2 und P_3 werden mittels trigonometrischer Funktionen und den gegebenen Rotationsachsen berechnet. Diese Daten werden dann an die Klasse *calcAxis* übergeben, die wiederum aus den Koordinatenpunkten die Rotationsachsen ermittelt. Insgesamt werden von dieser Simulation 1900 Rotationsachsen aus möglichen Kombinationen von α und r berechnet und in einer Textdatei gespeichert. In Anhang I auf Seite 192 befindet sich ein Auszug des Programmcodes. Es ist zu erwarten, dass bei der Unterschreitung eines minimalen Drehwinkels bzw. eines minimalen Abstands der Marker von der Rotationsachse, die Berechnungsroutinen der Klasse *calcAxis*, bedingt durch die mathematischen Rundungen, einen großen Fehler liefern. Diese minimalen Grenzen galt es zu bestimmen.

3.7.1.2 Versuchsauswertung

Alle Parameter wie Aufpunkt und Richtungsvektor der Rotationsachsen, Drehwinkel und minimaler senkrechter Abstand der Rotationsachsen wurden von der Klasse *calcAxis* korrekt berechnet. Tabelle 4 auf Seite 71 enthält die Grenzwerte des minimalen Abstand r_{min} bei bestimmten Drehwinkeln α für der Fehler $\Delta E_m = \alpha - \alpha^* < 0,001^\circ$.

Tabelle 4: Ergebnis der virtuellen Validierung. Die Tabelle enthält die Grenzwerte des minimalen Abstandes der Marker zur Rotationsachse r_{min} für diskreten Drehwinkel α , für die gilt $\Delta E_m < 0,001^\circ$. Wie zu erwarten nimmt der minimale Abstand r_{min} für kleinere Drehwinkel α zu.

Drehwinkel $\alpha [^\circ]$	minimaler Abstand $r_{min} [mm]$
1	12,1
2	5,1
3	2,1
4	1,1
5	1,1
6	1,1
...	1,1
20	1,1

Wie zu erwarten war, nimmt der minimale Abstand der Marker zur Rotationsachse r_{min} für kleine Drehwinkel α zu. Bei Drehwinkel $\alpha > 4^\circ$ kann r_{min} nicht weiter

verkleinert werden. Da für die Berechnung mit dem *Einpunktverfahren* Datensätze von jeweils drei Koordinatenpunkten benötigt werden, darf der minimale Drehwinkel α_1 zwischen P_1 und P_2 sowie der Winkel α_2 zwischen P_2 und P_3 , zwei Grad nicht unterschreiten. Der Fehler $\Delta E_m < 0,001^\circ$ ist für reale Messungen am mechanischen Modell oder auch in vivo Messungen sicherlich zu vernachlässigen.

3.7.2 Validierung am mechanischen Modell

Um die Messmethode weiter überprüfen zu können, wurden verschiedene Messungen an einem mechanischen Fußmodell³³ durchgeführt. Bei dem mechanischen Modell handelt es sich um eine Konstruktion, die zwei miteinander gekoppelte Gelenkachsen besitzt (siehe Abbildung 42 auf Seite 73). Ähnlich wie beim menschlichen Fuß können damit kombinierte Bewegungen, z. B. Plantar- und Dorsalflexion oder Inversions- und Eversionsbewegungen um die OSG- bzw. USG Achse durchgeführt werden. Da beide mechanische Achsen des Modells bekannt sind, beziehungsweise mit einfachen mechanischen Verfahren bestimmt werden können, lassen sich die direkt gemessenen Achsen mit den berechneten Achsen der neuen Messmethode vergleichen. Das mechanische Modell bietet verschiedene Vorrichtungen zur Ultraschallsensor und -marker Befestigung. Die Stellung der „USG“-Achse des Modells kann variiert werden, die „OSG“-Achse hingegen ist fest vorgegeben.

3.7.2.1 Versuchsdurchführung

Der erste Schritt bestand in der Durchführung der *direkten* Messung. Dazu wurde das mechanische Fußmodell in eine Neutralstellung gebracht. In dieser Neutralstellung wurden mithilfe des Ultraschallstiftes jeweils zwei Punkte auf der OSGA und USGA aufgezeichnet. Anschließend wurde von OSGA und USGA jeweils Aufpunkt und Richtungsvektor berechnet.

In einem zweiten Schritt wurden die Gelenkachsen des Modells mittels der neuen Messmethode bestimmt. Dazu musste zunächst das *Tibiakoordinatensystem* festgelegt werden. Im Anschluss erfolgte eine Rotation um die OSGA, eine Bewegung aus der Neutralstellung in die maximale Dorsalflexion. Der Fuß des mechanischen Modells wurde in dieser Position fixiert, so dass nachfolgende Bewegung im USG nicht von einer Bewegung im OSG überlagert wurde. Es folgten mehrere sich wiederholende Inversions- und Eversionsbewegungen. Um die Ergebnisse der beiden Messungen miteinander vergleichen zu können, mussten die Vektoren aus der *direkten* Messung ebenfalls in das *Tibiakoordinatensystem* transformiert werden. Die

³³ Das Modell wurde an der Universität Freiburg entwickelt und gebaut. Dieses Modell war eines der wichtigsten Werkzeuge während der Entwicklung der neuen Messmethode.

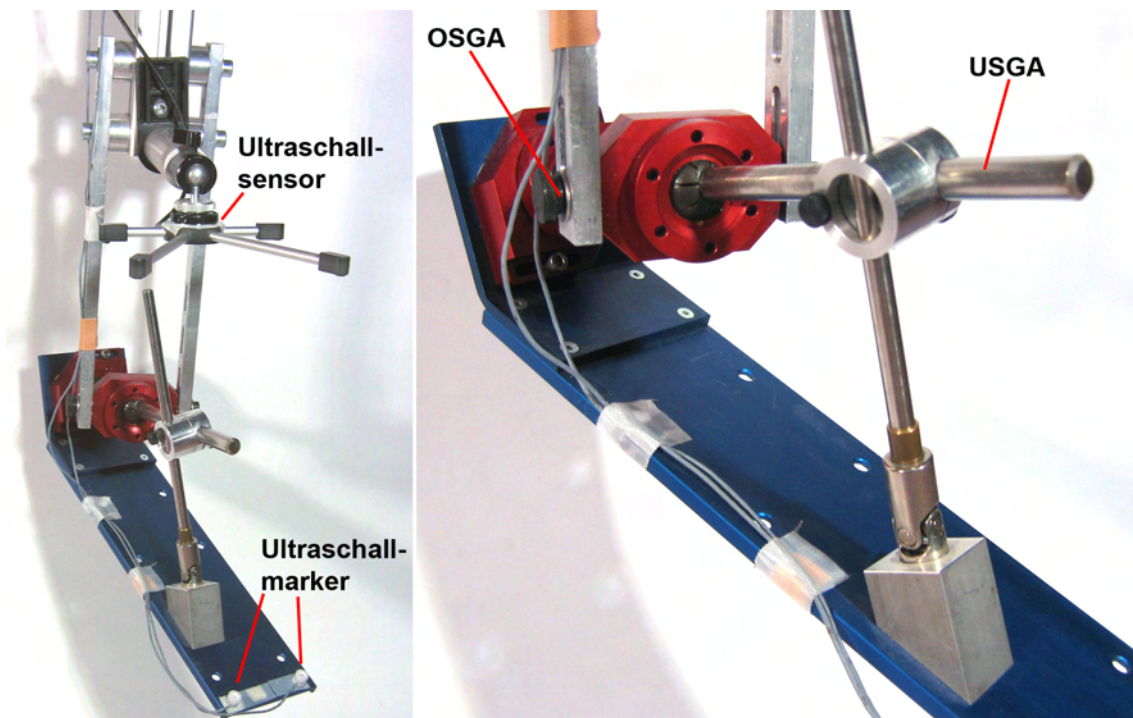


Abbildung 42: Mechanisches Fußmodell. Das linke Bild zeigt die Ultraschallsensor und -marker Befestigung am mechanischen Modell. Der Zebris® *JMA 11·11* kann an die magnetische Haltevorrichtung angebracht werden. Die Ultraschallmarker werden mit einem doppelseitigen Klebeband am vorderen Teil des Modellfußes befestigt. Das Bild rechts zeigt eine Vergrößerung des Modells. Zu sehen sind beide Gelenkachsen. Die Stellung der als OSGA bezeichnete Rotationsachse kann nicht verändert werden. Die räumliche Orientierung der USGA wird, wie beim anatomischen Vorbild, durch eine Rotation der OSGA verändert. Die Stellung der USGA kann variiert werden.

Bewegungsamplituden der Drehungen um die OSGA bzw. USGA wurden kleiner als $\alpha < 40^\circ$ gehalten. Ähnliche Bewegungsamplituden sind auch bei in vivo Messungen zu erwarten.

3.7.2.2 Versuchsauswertung

Tabelle 5 stellt die direkt gemessenen bzw. mit Hilfe der neu entwickelten Methode bestimmten Ergebnisse der Inklinations- und Deviationswinkel dar. Die Fehler der Winkel und Vektoren betragen (vgl. Tabelle 6):

$E_{Inc} \leq \pm 0,85^\circ$: Fehler des Inklinationswinkel.

$E_{Dev} \leq \pm 1,34^\circ$: Fehler des Deviationswinkel.

$\vec{A}P_{X,Y,Z} \leq \pm 2,7mm$: Fehler des Vektors des Aufpunkts.

$\vec{R}V_{X,Y,Z} \leq \pm 0,005mm$: Fehler des Richtungsvektors.

Der Gesamtfehler ΔE setzte sich aus dem Fehler der direkten Bestimmung der

Rotationsachsen ΔE_d und dem Fehler ΔE_b der indirekt gemessenen Achse zusammen:

$$\Delta E = \Delta E_d + \Delta E_b$$

Die Abbildungen 43 und 44 auf den Seiten 75 bzw. 75 zeigen weitere Ergebnisse des Validierungsversuchs. Die in den Schaubildern abgebildete blaue Gerade entspricht der *direkt* gemessenen Achse. Die rote Gerade stellt die mithilfe der neuen Messmethode bestimmte Rotationsachse dar. Die mit der entwickelten Messmethode bestimmten Parameter der Rotationsachse stimmen zu einem hohen Maß mit den Ergebnissen der direkt gemessenen Achse überein. Man kann also davon ausgehen, dass die Methode alle relevanten Parameter der Rotationsachsen korrekt wiedergibt.

Tabelle 5: Ergebnisse der Inklinations- und Deviationswinkel des Validierungsversuch am mechanischen Modell. Die mit *direkt* bezeichnete Zeile enthält die mit dem Taststift gemessenen Ergebnisse. Die Zeile *berechnet* enthält die mit der neu entwickelten Methode bestimmten Achsparameter.

	Inklinations- und Deviationswinkel	
	Inc [°]	Dev [°]
direkt	11,65	-4,42
berechnet	12,5	-5,75
ΔE	0,85	-1,34

Tabelle 6: Ergebnisse des Validierungsversuchs am mechanischen Modell, Ergebnisse der Aufpunkte und Richtungsvektoren. Gegenübergestellt sind die Ergebnisse der *direkt* gemessene und der *berechneten* Rotationsachse. Die Zeile ΔE gibt die Differenz der Zeilen *direkt* und *berechnet* an.

	Vektoreinträge der Aufpunkt und Richtungsvektoren					
	AP_x [mm]	AP_y [mm]	AP_z [mm]	RV_x [mm]	RV_y [mm]	RV_z [mm]
direkt	-87,8	212,1	25,8	-0,0382	0,9957	0,0842
berechnet	-87,2	212,7	26,5	-0,0418	0,9958	0,0817
ΔE	2,0	-2,6	1,1	0,0036	-0,0001	0,0025

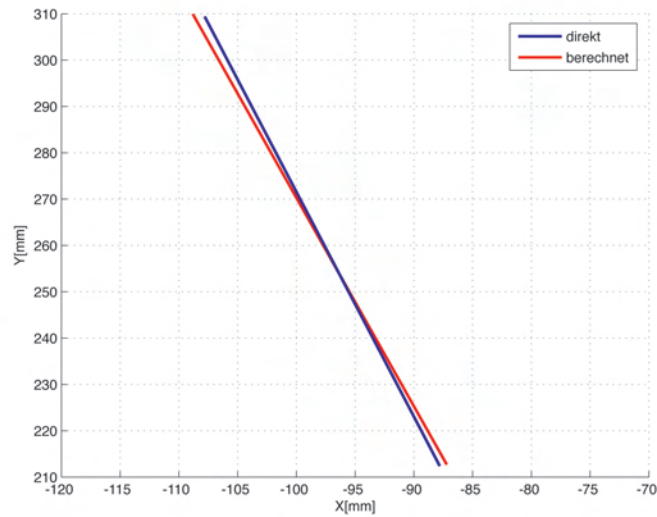


Abbildung 43: Validierungsversuch am mechanischen Modell, Abbildung der direkt gemessenen (blau) und berechneten (rot) Rotationsachsen in der XY Ebene. Die XY Ebene entspricht der Transversalebene, der zwischen der Y -Achse und den Geraden eingeschlossene Winkel dem Deviationswinkel. Um die Unterschiede zwischen direkt gemessener und berechneter Rotationsachse stärker zu verdeutlichen, wurden für die X und Y Achsen verschiedene Skalierungen gewählt.

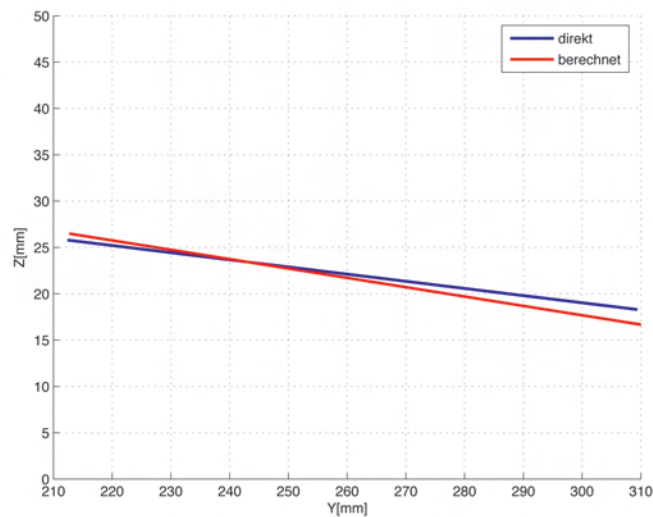


Abbildung 44: Validierungsversuch am mechanischen Modell, Abbildung der direkt gemessenen (blau) und berechneten (rot) Rotationsachsen in der YZ Ebene. Die YZ Ebene entspricht der Sagittalebene, der zwischen der Y -Achse und den Geraden eingeschlossene Winkel dem Inklinationwinkel. Für die Y und Z Achsen wurden ebenfalls verschiedene Skalierungen gewählt, d. h. auch hier sind die Winkel verzerrt.

3.7.3 Validierungsversuch in vivo, MRT-Voruntersuchung

Das entscheidende Problem bei der Bestimmung der Achse des unteren Sprunggelenkes ist die besondere anatomische Situation des Talus. Durch die Lage zwischen Calcaneus und Malleolengabel ist die räumliche Lage des Talus mit nicht invasiven Verfahren nicht objektivierbar. Daraus folgt, dass Relativbewegungen zwischen Talus und Calcaneus nicht gemessen werden können, vielmehr muss für die in vivo Untersuchung eine Situation geschaffen werden für die gilt:

- ◇ Die Relativbewegung zwischen Talus und Tibia/Fibula ist quasi Null.
- ◇ Die Bewegung des Calcaneus relativ zur Tibia/Fibula ist damit nicht von Talus-Bewegungen überlagert.
- ◇ Die Bewegungen in allen anderen Gelenken des Fußes bleiben unberücksichtigt.

Um diese Voraussetzung zu schaffen, wird die Bewegung des Fußes im unteren Sprunggelenk in maximaler Dorsalflexion ausgeführt. Die Form der Trochlea tali wird weitgehend übereinstimmend dahingehend beschrieben, dass der ventrale Teil breiter ist im Vergleich zum dorsalen Teil. Eine Verbreiterung des Abstandes zwischen Tibia und Fibula als Folge der vom Talus übertragenen Momente ist eher unwahrscheinlich. **Fick** geht davon aus, dass es bei einer maximalen Dorsalflexion zu einer Auseinanderdrängung der beiden Unterschenkelknochen von 2 – 3mm kommt. Eine weitere Auseinanderdrängung wird aber durch die Syndesmose verhindert. Der Autor geht davon aus, dass in dieser Stellung „... bei festgestelltem Sprungbein das Kahn- und Würfelbein und mit ihnen der ganze Vorfuß dem Fersenbein im wesentlichen folgen“ [FICK 1911]. Auch **Alt** zeigte in verschiedenen in vitro Versuchen, bei denen er das obere Sprunggelenk mittels Kirschnerdrähten fixierte und die berechneten Ergebnissen aus der Bewegungsanalyse des unteren Sprunggelenks mit den Ergebnisse des durch eine maximale Dorsalflexion fixierten oberen Sprunggelenks verglich, dass bei dieser Stellung das obere Sprunggelenk als festgesetzt betrachtet werden kann [ALT 2001].

In einer in vivo Voruntersuchung sollte überprüft werden, ob bei einer maximalen aktiven Dorsalflexion des Fußes bei gleichzeitiger maximalen Eversion- und Inversionsbewegung der Talus tatsächlich als festgesetzt betrachtet werden kann. Der Unterschenkel des Probanden wurde dazu in einer speziell für diesen Versuch angefertigten Vorrichtung fixiert. So konnte gewährleistet werden, dass der Unterschenkel sich während der MRT Aufnahmen nicht bewegte (siehe Abbildung 45 auf Seite 77). Die Vorrichtung ermöglichte außerdem, dass der Unterschenkel in einem Winkel von ca. 30° in der MRT-Spule gehalten wurde. Nur so war eine maximale Dorsalflexion des Fußes möglich.



Abbildung 45: Vorrichtung zur Fixierung des Unterschenkels in der MRT Spule. Durch den Winkel von ca. 30° der Vorrichtung ist eine Eversions- und Inversionsbewegung bei maximaler Dorsalflexion des Fußes, ohne Einschränkung durch die MRT-Spule möglich.

3.7.3.1 Versuchsdurchführung

Es wurden jeweils Momentaufnahmen der Sagittalebene und der Koronarebene des Talus in drei verschiedenen Sprunggelenkstellungen (maximale Eversion, neutral Stellung, maximale Inversion) bei maximaler Dorsalflexion gemacht. Durch Aufnahmen in zwei verschiedenen Ebenen kann sichergestellt werden, dass weder ein Absenken in der Sagittalebene noch ein Abkippen in der Transversalebene des Talus stattfindet. Die Dicke l der einzelnen MRT Schichten betrug dabei $l = 6\text{mm}$. Die Aufnahmezeit betrug $t = 24\text{s}$. Durch die Fixationsvorrichtung konnte auf ein erneutes Kalibrieren des MRT zwischen den einzelnen Aufnahmen verzichtet werden. Dadurch verkürzte sich die Aufnahmezeit. Die Aufnahmen wurden wie folgt durchgeführt:

1. Der Proband sollte aktiv eine maximale Eversion bei gleichzeitiger maximaler Dorsalflexion einnehmen. Der Fuß wurde in dieser Stellung mit Hilfe von Klebebändern fixiert, anschließend die MRT Aufnahmen gemacht. Das Fixieren des Fußes war unbedingt nötig, da es nicht möglich ist, bei Aufnahmezeiten von ca. 20s , den Fuß bewegungslos in einer maximalen Dorsalflexion zu halten.

2. Aus dieser maximalen Eversion sollte der Proband eine Neutralstellung (zwischen maximaler Eversion- und Inversion) bei maximaler Dorsalflexion einnehmen. Der Fuß wurde wiederum in dieser Stellung fixiert. Wieder erfolgten dann die MRT Aufnahmen.
3. In einem letzten Schritt sollte der Proband den Fuß aus der eingenommenen Neutralstellung in eine Stellung der maximalen Inversion bewegen und halten. Der Fuß wurde erneut fixiert und es folgten die abschließenden MRT Aufnahmen.

3.7.3.2 Versuchsauswertung

Die Abbildung 46 auf Seite 80 zeigen ausgewählte Schnittebenen der MRT Aufnahmen des Sprunggelenks. Um eine Bewegung eines dreidimensionalen Körpers registrieren zu können, muss der Körper in mindestens zwei verschiedenen Schnittebenen beobachtet werden. Um Bewegungen des Talus erfassen zu können, wurden als Schnittebenen die Sagittal- und Transversalebene gewählt. Abbildung 47 auf Seite 81 zeigt die Stellungen des Talus bei einer Supinationsbewegung. Dazu wurden mithilfe eines Grafikbearbeitungsprogramms manuell verschiedenfarbige Geraden durch anatomisch markante Punkte des Talus, der einzelnen Schnitte gelegt. Während die Geraden der maximalen Eversion und Neutralstellung annähernd deckungsgleich sind, kann man bei der Stellung der maximalen Inversion ein minimales Abkippen des Talus nach lateral-kaudal beobachten. Abbildung 48 auf Seite 81 zeigt ein ähnliches Verhalten. Auch in dieser Ebene sind die ersten zwei Geraden annähernd kongruent während die dritte Gerade eine Absenkung plantar des Talus zeigt.

Die Erklärung liefert die für diese Bewegung benötigte Muskulatur. Für die Eversion bei maximaler Dorsalflexion sind der Musculus Peroneus und der Musculus Tibialis anterior zu nennen. Um eine Inversionstellung bei maximaler Dorsalflexion einnehmen zu können, wird ebenfalls der Musculus Tibialis anterior, aber auch der Musculus Tibialis posterior benötigt. Der Tibialis posterior übernimmt aber auch gleichzeitig die Funktionen der Plantarflexion. Das bedeutet, bei dem Versuch eine maximale Inversionsstellung einzunehmen, besteht immer die Gefahr, den Fuß plantar abzusenken. Betrachtet man die Ultraschallmarker-Koordinatendaten eines in vivo Versuchs, wird diese Annahme bestätigt. Der auf die XY Ebene (Transversalebene) projizierte Signalverlauf zeigt kaum Abweichungen der einzelnen Bewegungssequenzen (Abbildung 49 auf Seite 82). Die Projektion auf die XZ Ebene (Frontalebene) zeigt ein anderes Bild (Abbildung 50 auf Seite 82). Hier sind Unterschiede der einzelnen Bewegungszyklen der Inversions- und Eversionsbewegung im Signalverlauf zu erkennen. Vor allem in der maximalen Inversions-Stellung (im

Schaubild in Richtung kleinerer X Werte) nehmen die Abweichungen die Z Koordinate betreffend zu.

Insgesamt sind die Bewegungen des Talus relativ gering, so dass er annähernd als festgesetzt betrachtet werden kann. Supinations-, bzw. Pronationsbewegungen bei einer maximalen Dorsalflexion sind dementsprechend Bewegungen des Subtalargelenks. Diese Versuchsanordnung ist damit für die Bestimmung der unteren Sprunggelenkachse in vivo geeignet.

ENTWICKLUNG DES DIAGNOSTISCHEN VERFAHRENS



Abbildung 46: MRT Aufnahmen eines rechten Sprunggelenks, die linken drei Bilder zeigen den Schnitt durch den Talus in der Frontalebene jeweils bei maximaler Dorsalflexion. Bild 1 links, max. Eversion; Bild 2 links, Neutralstellung; Bild 3 links, max. Inversion. Die rechte Bildreihe zeigen das Sprunggelenk in der Sagittalebene. Bild 1 rechts, max. Eversion; Bild 2 rechts, Neutralstellung; Bild 3 rechts, max. Inversion.

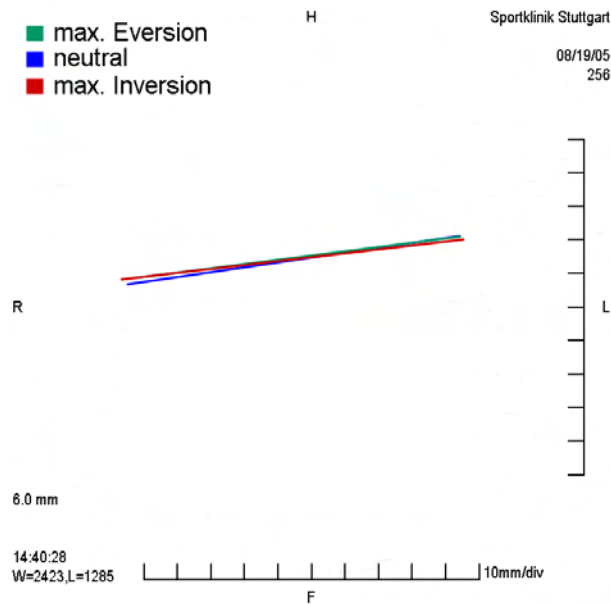


Abbildung 47: Talus Schnitt mit der Frontalebene. Um Bewegungen des Talus zu verdeutlichen, wurden mithilfe eines Grafikbearbeitungsprogramms manuell Geraden durch markante anatomische Punkte des Talus der einzelnen Schnitte gelegt. Die Bilder der MRT Schnitte wurden anschließend ausgeblendet.

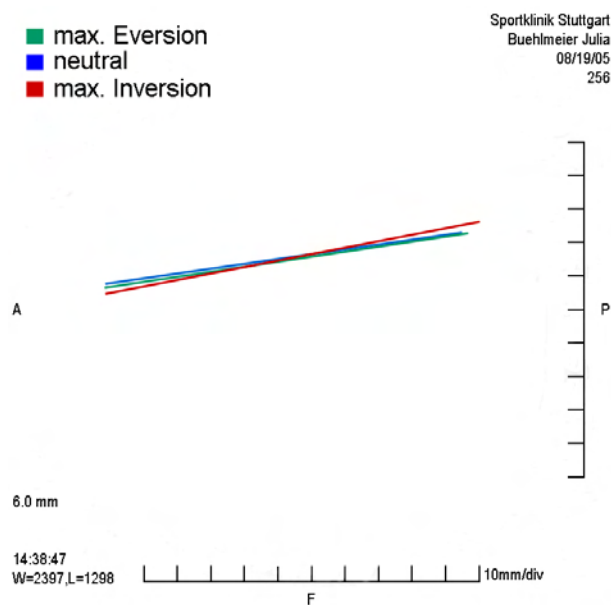


Abbildung 48: Schnitt des Talus mit der Sagittalebene. Um Bewegungen des Talus zu verdeutlichen, wurden ebenfalls Geraden durch anatomisch markante Punkte des Talus gelegt.

ENTWICKLUNG DES DIAGNOSTISCHEN VERFAHRENS

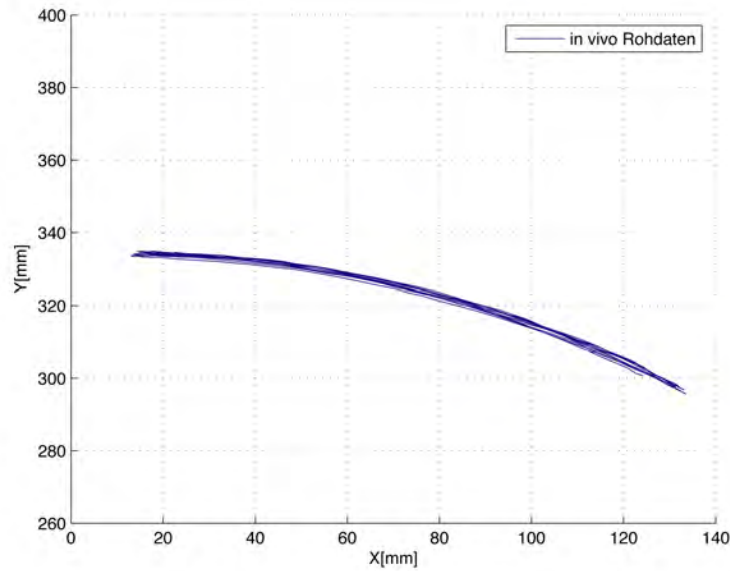


Abbildung 49: XY Koordinatendaten eines in vivo Versuchs. Die Abbildung entspricht der Projektion des Signalverlaufs auf die Transversalebene. Es handelt sich hierbei um den Versuch an einem rechten Sprunggelenk.

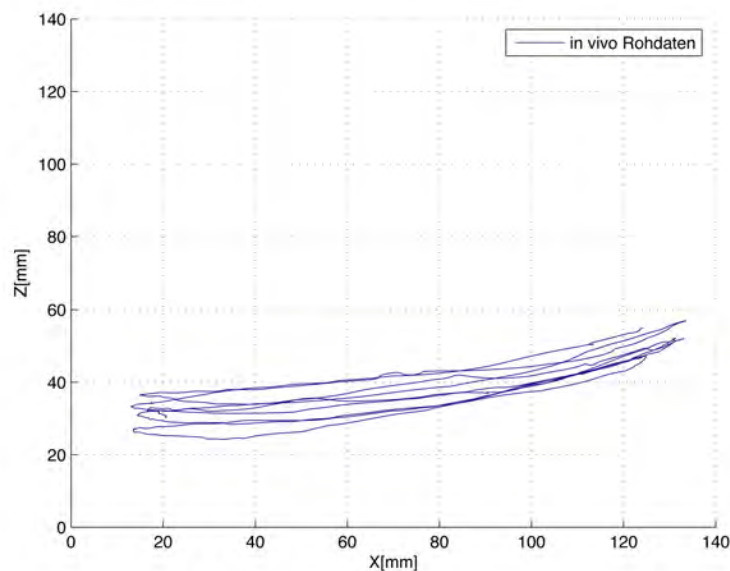


Abbildung 50: XZ Koordinatendaten eines in vivo Versuchs. Zu sehen ist die Projektion des Signalverlaufs auf die Frontalebene. Es handelt sich um den Versuch an einem rechten Sprunggelenk. Die Eversionsstellung liegt bei den maximalen X Koordinaten, die Inversionsstellung bei den minimalen. Zu beobachten ist, dass die Abweichungen der einzelnen Kurvenverläufe bei zunehmender Inversionsstellung stärker werden.

3.8 Reliabilitätstest

Um Aussagen über die Zuverlässigkeit bzw. Reliabilität der Methode zur Bestimmung der Sprunggelenkachsen machen zu können, wurde eine Reihe von Versuchen wiederholt durchgeführt. Da Bewegungen am mechanischen Modell gut reproduzierbar sind, wurden zuerst verschiedene Tests am Modell durchgeführt. Mögliche Messungenauigkeiten, die eventuell durch unsaubere Bewegungsausführungen bei in vivo Messungen auftreten könnten, können bei diesen Tests ausgeschlossen werden.

3.8.1 Reliabilitätstest am am mechanischen Modell

Der gesamte Messvorgang zur Bestimmung der Sprunggelenkachsen besteht genau genommen aus zwei Einzelmessungen. In einem ersten Schritt muss das *Tibiakoordinatensystem* aus den Daten der anatomisch markanten Punkte festgelegt werden, anschließend erfolgt die Berechnung der Rotationsachsen aus den aufgezeichneten Bewegungsdaten. Daher ist der nachfolgend beschriebene Versuch in zwei Teile gegliedert.

3.8.1.1 Versuchsdurchführung

Beim ersten Teilversuch wurde das *Tibiakoordinatensystem* lediglich ein einziges Mal festgelegt und anschließend zehnmal die Rotationsachsen des mechanischen Fußmodells bestimmt. So konnten Aussagen über die Messgenauigkeit dieses Teils der Messmethode gemacht werden. Da zu erwarten ist, dass ein Fehler, der bei der Festlegung des *Tibiakoordinatensystems* gemacht wird, ebenfalls das Gesamtergebnis beeinträchtigt, wurde in einem zweiten Teilversuch vor jeder Messung das *Tibiakoordinatensystem* erneut festgelegt. Auch bei diesem Teilversuch wurden insgesamt zehnmal die Gelenkachsen des Modells bestimmt. Um die Rotationsachsen des mechanischen Modells zu ermitteln, wurde wie bereits in Kapitel 3.7.2 auf Seite 72 beschrieben vorgegangen. Der Modellfuß wurde dazu aus der Neutral-Null-Stellung in eine maximale Dorsalflexion bewegt, gefolgt von mehreren aufeinander folgenden Inversions und Eversions Bewegungen um die USGA des Modellfußes. Die aus der Bewegungsanalyse berechneten Achsdaten wurden nach jedem Durchgang gespeichert, anschließend Mittelwert und Standardabweichung berechnet.

3.8.1.2 Versuchsauswertung

Sowohl in Teilversuch 1 als auch in Teilversuch 2 wurden die Koordinaten der Aufpunkte und Richtungsvektoren der USGA berechnet. Außerdem wurden die Inklination, die Deviation, der Hebel und der maximale Drehwinkel bestimmt. Um mögliche

Unterschiede aus den beiden Teilversuchen zu verdeutlichen wurden für die Darstellung der Ergebnisse gleich skalierte Schaubilder verwendet.

Teilversuch 1: Die Richtungsvektoren der gemessenen USGA konnten mit sehr hoher Genauigkeit bestimmt werden. Die Standardabweichung σ_{RV} war für alle drei Vektoreinträge RV_x , RV_y und RV_z immer $\sigma_{RV} < 0,02mm$ (Tabelle 8 auf Seite 85). Demzufolge war ebenfalls eine kleine Standardabweichung der Inklinations- und Deviationswinkel der zehn Einzelmessungen von $\sigma_{1...10} < 1^\circ$ zu erwarten (Tabelle 7 auf Seite 84). Die Standardabweichung σ_{AP} der Aufpunkte war mit $\sigma_{AP} < 2,5mm$ bereits größer. Dieser Umstand verursachte eine ebenfalls größere Standardabweichung $\sigma_L < 0,7mm$ für L , den senkrechten minimalen Abstand der USGA zur Z -Achse, also den Kraftangriffspunkt der Achillessehne. Die Standardabweichung σ_α für den maximalen Drehwinkel um die USGA ist mit $\sigma_\alpha < 3,4^\circ$ relativ hoch. Die Messgenauigkeit wird aufgrund dieser Tatsache allerdings nicht herabgesetzt. Ein großer Wert für σ_α bedeutet lediglich, dass die Bewegungsamplitude der Rotationen um die USGA für die zehn Einzelversuche leicht variiert wurde. Die Bewegungsamplitude variiert in Teilversuch 1 des Reliabilitätstests zwischen einem minimalen Drehwinkel von $\alpha_{min} = 32,88^\circ$ und einem maximalen Drehwinkel von $\alpha_{max} = 41,62^\circ$. Die Ergebnisse des Teilversuchs 1, der Bestimmung der Achsparameter am mechanischen Modell bei einmaligem Festlegen des *Tibiakoordinatensystems*, sind in den Tabellen 7, 8 sowie den Abbildungen 51 und 52 dargestellt.

Tabelle 7: Ergebnisse des Reliabilitätstests Teilversuch 1 am mechanischen Modell. Abgebildet sind die berechneten Werte des Inklinations-, Deviations- und des Drehwinkels, die Strecke L (der minimale senkrechte Abstand der USGA zur Z Achse) der zehn Einzelversuche sowie die daraus berechnete Mittelwerte MW und Standardabweichungen $STABWN$.

Nr.	Parameter der USGA			
	Inc[°]	Dev[°]	L[mm]	α [°]
1	23,85	16,85	21,79	41,62
2	21,32	16,24	22,34	41,56
3	22,7	16,38	22,0	32,88
4	22,9	16,49	21,49	36,81
5	22,8	16,49	22,02	38,11
6	22,53	16,42	21,98	33,68
7	23,06	16,54	22,05	35,2
8	22,94	16,54	21,5	38,03
9	22,76	16,56	21,83	34,39
10	20,79	15,88	22,93	39,57
MW	22,41	16,43	21,80	36,63
STABWN	0,81	0,15	0,64	3,34

Tabelle 8: Ergebnisse des Reliabilitätstests Teilversuch 1, am mechanischen Modell. X , Y und Z Koordinaten der Aufpunkte und Richtungsvektoren der Rotationsachsen. Insgesamt wurde 10 mal die USGA am mechanischen Modell bestimmt. Anschließend Mittelwert und Standardabweichung berechnet. Auf den Seiten 85 und 86 sind diese Daten durch die Abbildungen 51 und 52 grafisch dargestellt.

Aufpunkt und Richtungsvektoren der bestimmten USGA						
Nr.	AP_x [mm]	AP_y [mm]	AP_z [mm]	RV_x [mm]	RV_y [mm]	RV_z [mm]
1	-79,29	187,63	77,66	-0,26	0,87	0,41
2	-79,44	192,2	71,75	-0,26	0,9	0,35
3	-78,86	189,95	73,22	-0,26	0,89	0,38
4	-79,02	190,59	72,57	-0,26	0,89	0,38
5	-79,53	191,34	74,43	-0,26	0,89	0,37
6	-79,48	191,68	74,17	-0,26	0,89	0,37
7	-79,87	190,5	77,14	-0,26	0,89	0,38
8	-79,36	190,97	74,86	-0,26	0,89	0,38
9	-79,45	190,64	76,54	-0,26	0,89	0,37
10	-79,45	194,32	69,1	-0,26	0,91	0,33
MW	-79,37	190,98	74,14	-0,26	0,89	0,372
STABWN	0,26	1,61	2,49	$5,5 \cdot 10^{-17}$	0,009	0,019

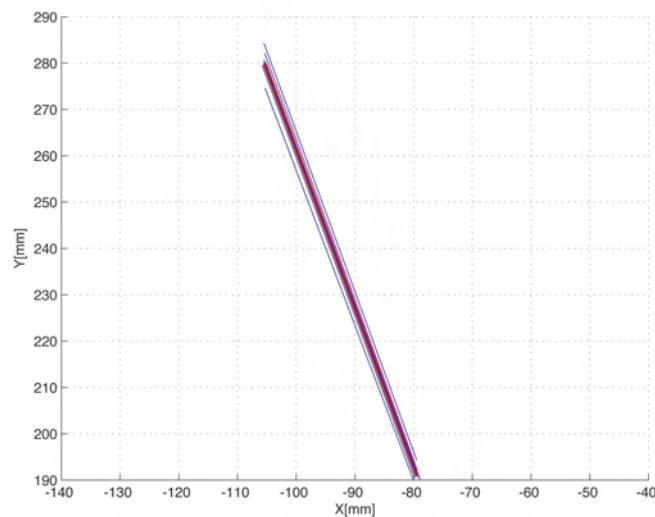


Abbildung 51: Reliabilitätstest Teilversuch 1 am mechanischen Modell. Abbildung XY Ebene der Rotationsachsen bei einmaligem Festlegen des *Tibiakoordinatensystems*. Die XY Ebene entspricht der Transversalebene, der zwischen den Geraden und der Y Achse eingeschlossene Winkel α entspricht dem Deviationswinkel. Die rote Gerade repräsentiert den Mittelwert aus allen zehn Einzelversuchen. Die zehn blauen Geraden stellen jeweils einen der zehn Einzelversuche dar.

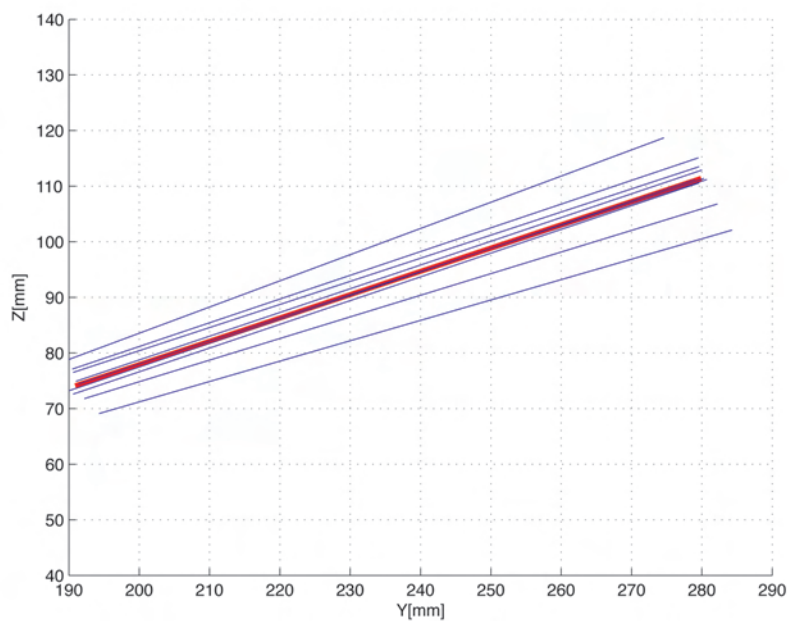


Abbildung 52: Reliabilitätstest Teilversuch 1 am mechanischen Modell. Abbildung YZ Ebene der Rotationsachsen bei einmaligem Festlegen des *Tibiakoordinatensystems*. Die YZ Ebene entspricht der Sagitalebene, der zwischen den Geraden und der Y Achse eingeschlossene Winkel repräsentiert den Inklinationwinkel. Die rote Gerade bildet den Mittelwert aus den zehn Einzelversuchen (blaue Geraden) ab.

Teilversuch 2: Auffällig ist, dass die in den zehn Einzelversuchen ermittelten Rotationsachsen nahezu parallel sind. Dementsprechend fällt die Standardabweichung $\sigma_{\vec{R}\vec{V}}$ für die Richtungsvektoren $\vec{R}\vec{V}$ mit $\sigma_{\vec{R}\vec{V}} \leq 0,03mm$ der USGA relativ klein aus. Da sowohl Inklinations- als auch Deviationswinkel direkt aus den Ergebnissen der Richtungsvektoren berechnet werden, erhält man auch hierfür kleine Standardabweichungen, von $\sigma_{Inc} \leq 0,65^\circ$ und $\sigma_{Dev} \leq 0,84^\circ$.

Die Standardabweichung des Inklinations- und Deviationswinkel der OSGA betragen $\sigma_{Inc} \leq 0,64^\circ$ und $\sigma_{Dev} \leq 0,89^\circ$ und besitzen damit eine ähnliche Dimension wie die berechneten Standardabweichungen der Winkel der USGA.

Die Standardabweichung des Vektors des Aufpunktes $\vec{A}\vec{P}$ liegt bei $\sigma_{\vec{A}\vec{P}} \leq 2,45mm$ (Tabelle 10 auf Seite 88). Der aus dem Aufpunkt berechnete Hebel L besitzt eine Standardabweichung von $\sigma_L \leq 0,79mm$. $\sigma_\alpha \leq 1,8^\circ$ sagt wiederum lediglich etwas über die Differenz der durchschnittlichen Bewegungsamplituden der zehn Einzelversuche aus. Die Tabelle 10 auf Seite 88 beinhaltet die aus den zehn Einzelmessungen bestimmten Aufpunkte und Richtungsvektoren der OSG- und USG Achsen. In Tabelle 9 auf Seite 88 sind die daraus berechneten Inklinations-, Deviations-, Drehwinkel und der Abstand L sowie deren Mittelwerte MW und Standardabweichungen $STABWN$ abgebildet. Die Abbildungen 53 und 54 auf den Seiten 89 und 90 stellen diese Ergebnisse grafisch dar.

Der Vergleich aus Teilversuch 1 und Teilversuch 2 des Reliabilitätstests lässt keine nennenswerten Unterschiede betreffend der Größenordnungen der Standardabweichungen erkennen. Das erneute Festlegen des *Tibiakoordinatensystems* wirkte sich nicht negativ auf die Messgenauigkeit der Einzelversuche aus. Der berechnete Messfehler bzw. die daraus resultierende Standardabweichung ist demzufolge das Ergebnis einer leichten Variation der Bewegungsausführung der zehn Einzelversuche. Das Schaubild 55 auf Seite 90 zeigt die Rohdaten einer Messung am mechanischen Modell. Die Daten sind gefiltert aber nicht in das *Tibiakoordinatensystem* transformiert. Die Bewegung bestand aus jeweils fünf Inversions- und fünf Eversionsbewegungen. Zu beobachten sind leichte Abweichungen der Signalkurven der fünf Bewegungszyklen. Bei dem gewählten Datensatz lagen die Standardabweichungen der Winkel $\sigma_{Inc} = \sigma_{Dev} \leq 0,6^\circ$. Die berechneten Standardabweichungen aus den zehn Einzelversuchen sind damit nur unwesentlich größer als die eines einzelnen Messdurchgangs.

Das System liefert für Messungen am mechanischen Modell sehr gut reproduzierbare Ergebnisse und ist damit hoch reliabel.

Tabelle 9: Ergebnisse des Reliabilitätstest Teilversuch 2 am mechanischen Modell. Abgebildet sind die Ergebnisse des Teilversuchs 2 des Reliabilitätstests sowie die aus den gesamten Messdurchläufen berechneten Mittelwerte MW und Standardabweichungen $STABWN$. In insgesamt zehn Einzelversuchen wurden jeweils die Parameter der OSG- und USG-Achse bestimmt. Dabei wurde vor jedem Einzelversuch das *Tibiakoordinatensystem* erneut festgelegt.

Nr.	Parameter der OSGA				Parameter der USGA			
	Inc.[°]	Dev.[°]	L[mm]	α [°]	Inc.[°]	Dev.[°]	L[mm]	α [°]
1	92,3	87,1	44	20	21,32	16,24	22,34	41,56
2	93,4	84,3	43	18,2	23,27	14,07	22,93	41,55
3	93,9	85,3	43,1	17,6	23,52	15,67	21,76	42,98
4	91,9	84	44	19,9	22,13	13,92	24,82	39,55
5	93,2	83,8	44	18,7	22,6	13,22	23,6	41,46
6	92,3	84,7	44	18,9	22,42	15,02	22,48	38,66
7	92,9	85,6	42	18,2	21,92	14,99	22,85	39,78
8	91,9	84,8	42	17,8	23,23	14,53	23,21	41,03
9	92,4	85,3	43	18,9	22,16	15,12	23,26	40,94
10	92,2	84,8	42	19,2	22,21	14,42	23,57	36,25
MW	92,64	84,97	43,11	18,74	22,478	14,72	23,082	40,376
STABWN	0,64	0,89	0,83	0,77	0,65	0,84	0,79	1,8

Tabelle 10: Ergebnisse des Reliabilitätstest Teilversuch 2 am mechanischen Modell. Berechnete X , Y und Z Koordinaten der Aufpunkte und Richtungsvektoren der Rotationsachsen des Teilversuchs 2 des Reliabilitätstest. Insgesamt wurde zehnmal die USGA am mechanischen Modell bestimmt. Dabei wurde vor jeder Messung auch das *Tibiakoordinatensystems* berechnet und anschließend Mittelwert MW und Standardabweichung $STABWN$ berechnet. Auf den Seiten 85 und 86 sind diese Daten durch die Abbildungen 51 und 52 grafisch dargestellt.

Nr.	Aufpunkt und Richtungsvektoren der bestimmten USGA					
	AP_x [mm]	AP_y [mm]	AP_z [mm]	RV_x [mm]	RV_y [mm]	RV_z [mm]
1	-70,15	195,05	72,62	-0,21	0,9	0,38
2	-73,08	191,97	70,22	-0,22	0,9	0,37
3	-76,13	190,7	75,46	-0,25	0,89	0,39
4	-71,94	191,21	74,97	-0,22	0,9	0,39
5	-73,92	192,83	70,38	-0,23	0,9	0,37
6	-76,41	192,23	75,39	-0,24	0,9	0,37
7	-73,84	192,57	73,42	-0,23	0,89	0,38
8	-75,38	192,74	73,71	-0,24	0,9	0,36
9	-74,96	192,17	73,78	-0,24	0,9	0,37
0	-79,44	192,2	71,75	-0,26	0,9	0,35
MW	-74,52	192,3	73,17	-0,23	0,89	0,37
STABW	2,44	1,09	1,81	0,014	0,004	0,012

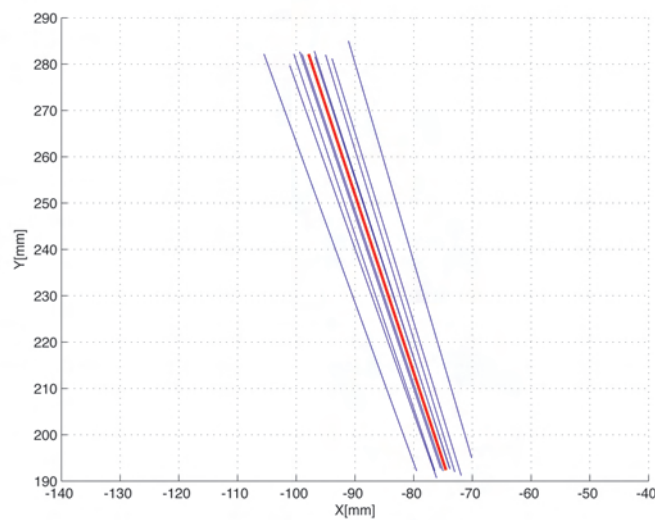


Abbildung 53: Reliabilitätstest Teilversuch 2 am mechanischen Modell. XY Ebene des Teilversuchs 2 zur Bestimmung der Reliabilität der Messmethode, bei erneutem Festlegen des *Tibiakoodinaten-systems*. Der zwischen den Geraden und der Y Achse eingeschlossene Winkel repräsentiert den Deviationswinkel. Die X,Y Ebene stellt die Transversalebene dar. Die blauen Geraden bilden die Ergebnisse der zehn Einzelversuche ab, die rote Gerade den Mittelwert. Auffällig ist, dass die Richtungen der Geraden sehr gut übereinstimmen, d.h. die berechneten Inklinations- und Deviationswinkel sind mit einem sehr kleinen Fehler behaftet.

ENTWICKLUNG DES DIAGNOSTISCHEN VERFAHRENS

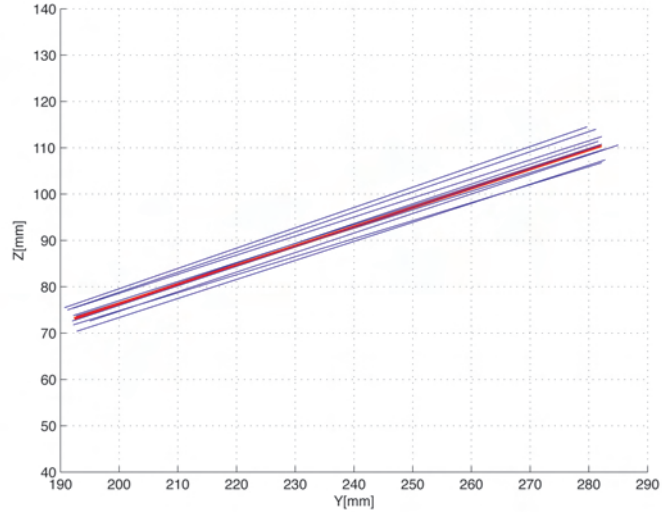


Abbildung 54: Reliabilitätstest Teilversuch 2 am mechanischen Modell. YZ Ebene des Teilversuchs 2 zur Bestimmung der Reliabilität bei erneutem Festlegen des *Tibiakordinatensystems*. Die XY Ebene entspricht der Sagittalebene. Der zwischen den Geraden und der Y Achse eingeschlossene Winkel repräsentiert den Inklinationswinkel. Auch in der Projektion auf die Sagittalebene sind die abgebildeten Geraden nahezu parallel. Die zehn blauen Geraden bilden die Ergebnisse der zehn Einzelmessung aus Tabelle 10 auf Seite 88 ab. Die rote Gerade entspricht dem daraus berechneten Mittelwert.

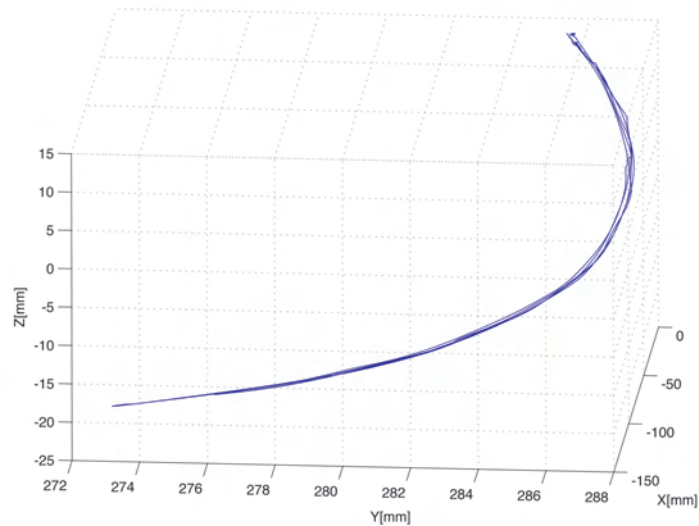


Abbildung 55: Grafische Darstellung der Rohdaten einer Messung am mechanischen Modell. Die Daten wurden gefiltert, aber nicht in das *Tibiakordinatensystem* transformiert. Der Signalverlauf zeigt jeweils fünf Inversions- und Eversionsbewegungen. Zu sehen sind minimale Abweichungen der einzelnen Bewegungsausführungen.

3.8.2 Reliabilitätstest in vivo

Es ist davon auszugehen, dass bei in vivo Versuchen Schwierigkeiten auftreten, die am mechanischen Modell keine oder nur eine untergeordnete Rolle spielen.

- ◇ Sowohl die Ultraschallmarker als auch die Sensoren könnten durch mögliche Hautverschiebungen einen zusätzlichen Fehler verursachen.
- ◇ Das Aufzeichnen markanter anatomischer Punkte und damit das Festlegen des *Tibiakoordinatensystems* lässt sich im Unterschied zum mechanischen Modell nicht absolut reproduzierbar festlegen.
- ◇ Im Gegensatz zum Modell, lässt sich die OSGA nicht fixieren, das bedeutet wiederum, dass die Bewegungszyklen im USG einer größeren Variation unterworfen sein könnten.

Um Aussagen machen zu können, wie der gesamte Messaufbau die Messgenauigkeit beeinflusst, mussten daher verschiedene in vivo Versuche durchgeführt werden.

3.8.2.1 Versuchsdurchführung

Analog zum Versuch am mechanischen Modell wurden beim in vivo Versuch ebenfalls die Achsen des oberen und unteren Sprunggelenks mehrmals hintereinander bestimmt. Dazu wurden die Sensoren mit dem auf Seite 66 in Abbildung 37 gezeigten Prototypen an der Tibia befestigt. Die Ultraschallmarker wurden wie in Abbildung 38 auf Seite 66 gezeigt am Probandenfuß fixiert. Anschließend wurde das *Tibiakoordinatensystem* in der Neutral-Null-Stellung aufgezeichnet. Aus dieser Neutral-Null-Stellung folgte eine Bewegung des Fußes in die maximale Dorsalflexion. Anschließend sollte der Proband mehrere Inversions- und Eversionsbewegungen in der maximalen Dorsalflexion ausführen. Dieser komplette Vorgang wurde wiederum zehnmal hintereinander wiederholt. Aus den Ergebnissen der Einzelversuche wurden die Mittelwerte und Standardabweichungen der Parameter der OSG und USG Achsen berechnet.

3.8.2.2 Versuchsauswertung

Wie zu erwarten war, zeigten die im in vivo Versuch ermittelten Rotationsachsen eine wesentlich höhere Streuung als die im vergleichbaren mechanischen Experiment bestimmten. Tabelle 11 und 12 auf den Seiten 92 und 93 enthalten die berechneten

Parameter sowie die Aufpunkte und Richtungsvektoren der bestimmten Rotationsachsen. Die Standardabweichung des Richtungsvektors $\sigma_{\vec{R}V}$ ist mit $\sigma_{\vec{R}V} \leq 0,03mm$ annähernd doppelt so groß wie die Standardabweichung der Richtungsvektoren aus dem Versuch am mechanischen Modell. Dasselbe gilt für die Standardabweichung der Vektoren des Aufpunktes $\sigma_{\vec{A}P} \leq 4.8$. Demzufolge sind die Standardabweichungen der Inklinations- und Deviationswinkel $\sigma_{Inc} = \sigma_{Dev} \leq 2,35^\circ$ fast viermal so groß wie die des Versuchs am Modell. Die Abbildungen 56 und 57 zeigen die Projektion der Rotationsachsen auf die Transversal- bzw. Sagitalebene. Die Schaubilder lassen eine wesentlich höhere Streuung der Gelenkachsen um ihren berechneten Mittelwert erkennen. Das Diagramm 58 auf Seite 94 zeigt die nicht transformierten Rohdaten eines Einzelversuchs. Verglichen mit den im Schaubild 55 auf Seite 90 abgebildeten Rohdaten des mechanischen Versuchs, lassen sich beim in vivo Test doch erhebliche Unterschiede in den einzelnen Bewegungszyklen erkennen. Berechnete Ergebnisse, die mit der doppelten Standardabweichung vom Mittelwert abweichen, werden wie schon erwähnt als Ausreißer behandelt und bei einer erneuten Berechnung von Mittelwert und Standardabweichung nicht miteinbezogen. Die größere Standardabweichung bei allen berechneten Parametern lässt sich durch die ungenauere Bewegungsausführung beim in vivo Versuch begründen.

Tabelle 11: Berechnete Parameter des Reliabilitätstests in vivo. Abgebildet sind die Ergebnisse der Einzelmessungen sowie die Mittelwert- und Standardabweichungen der Inklinations-, Deviations- und Drehwinkel der USGA, desweiteren der minimale senkrechte Abstand L der USGA zur Z Achse des Koordinatensystems. Spalte α beinhaltet die Drehwinkel um die OSGA. Spalte S enthält die minimalen Abstände der OSGA zur USGA.

Nr.	OSGA		Parameter der USGA			
	$\alpha[^\circ]$	Inc $[^\circ]$	Dev $[^\circ]$	L[mm]	$\beta[^\circ]$	S[mm]
1	46,9	8,48	-9,32	20,66	33,25	41,25
2	53,8	9,1	-3,64	8,66	39,13	40,76
3	48,2	8,9	-10,91	14,12	34,32	44,21
4	44,8	8,59	-8,9	9,31	38,78	41,05
5	55,7	3,73	-5,84	8,8	35,79	46,89
6	47,2	9,3	-11,4	14,78	36,21	45,81
7	46,9	7,62	-10,34	13,57	35,66	43,78
8	49,2	10,10	-9,43	13,44	33,78	44,56
9	55,9	3,43	-6,31	12,64	32,09	50,41
10	49,8	8,75	-9,23	7,39	32,17	51,33
MW	49,84	7,8	-8,53	12,33	35,13	45,02
STABW	3,74	2,19	2,35	3,75	2,35	3,51

Tabelle 12: Ergebnisse des Reliabilitätstests in vivo. Berechnete X , Y und Z Koordinaten der Aufpunkte und Richtungsvektoren der Rotationsachsen sowie deren Mittelwerte und Standardabweichungen.

Aufpunkt und Richtungsvektoren der bestimmten USGA in vivo						
Nr.	AP_x [mm]	AP_y [mm]	AP_z [mm]	RV_x [mm]	RV_y [mm]	RV_z [mm]
1	32,66	259,83	41,03	0,11	0,96	0,06
2	42,54	276,37	41,25	0,15	0,95	0,15
3	42,33	267,19	35,96	0,16	0,96	0,15
4	44,68	278,17	39,43	0,18	0,96	0,13
5	46,77	271,18	35,43	0,16	0,94	0,14
6	39,21	269,31	36,43	0,1	0,96	0,15
7	47,41	260,89	39,89	0,1	0,98	0,16
8	38,21	279,12	35,56	0,15	0,96	0,13
9	41,45	261,56	37,98	0,16	0,95	0,14
10	49,45	268,12	31,31	0,14	0,95	0,14
MW	42,47	269,17	35,43	0,14	0,96	0,15
STABW	4,71	6,74	2,93	0,03	0,01	0,01

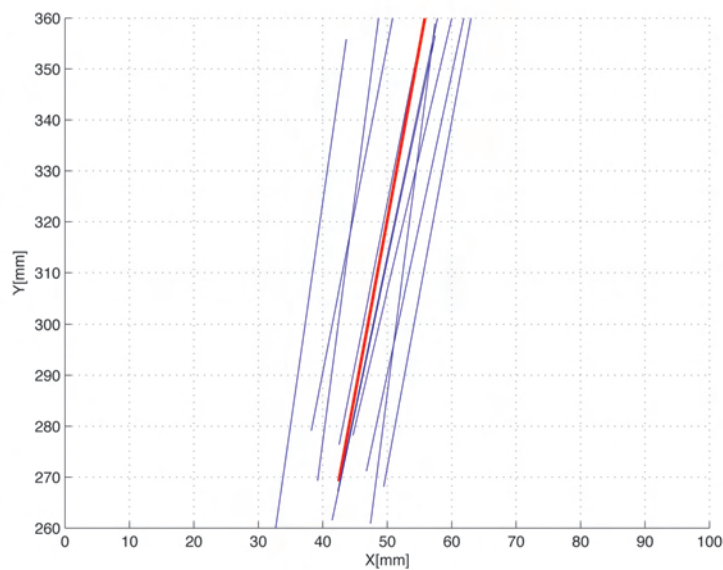


Abbildung 56: XY Ebene des Reliabilitätstest in vivo. Der zwischen den Geraden und der Y Achse eingeschlossenen Winkel entspricht dem Deviationswinkel. Die XY Ebene repräsentiert die Transversalebene. Die rote Gerade stellt den Mittelwert aus den zehn blauen Geraden der zehn Einzelversuche dar. Die Abweichungen vom Mittelwert sind wesentlich größer als beim Versuch am mechanischen Modell.

ENTWICKLUNG DES DIAGNOSTISCHEN VERFAHRENS

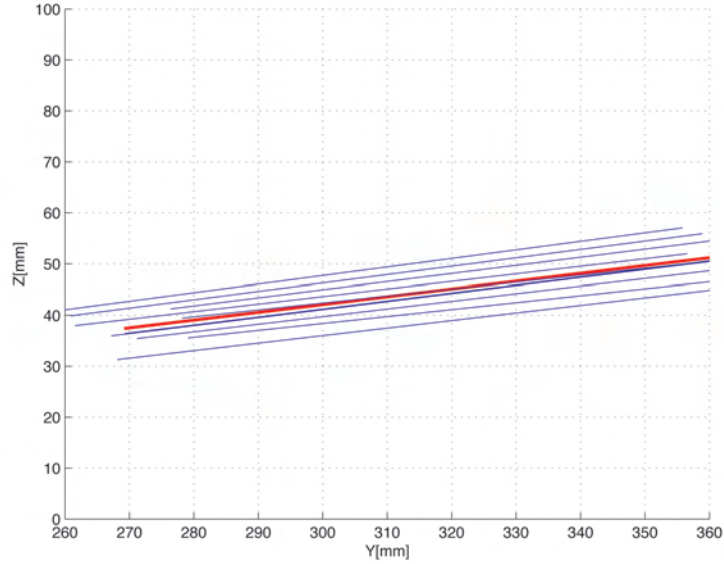


Abbildung 57: YZ Ebene des Reliabilitätstests in vivo. Der Inklinationswinkel wird von der Y Achse und den Geraden eingeschlossen. Zu beobachten ist wiederum eine größere Abweichung der blauen Geraden der zehn Einzelversuche vom Mittelwert (rote Gerade) als beim vergleichbaren Versuch am mechanischen Modell.

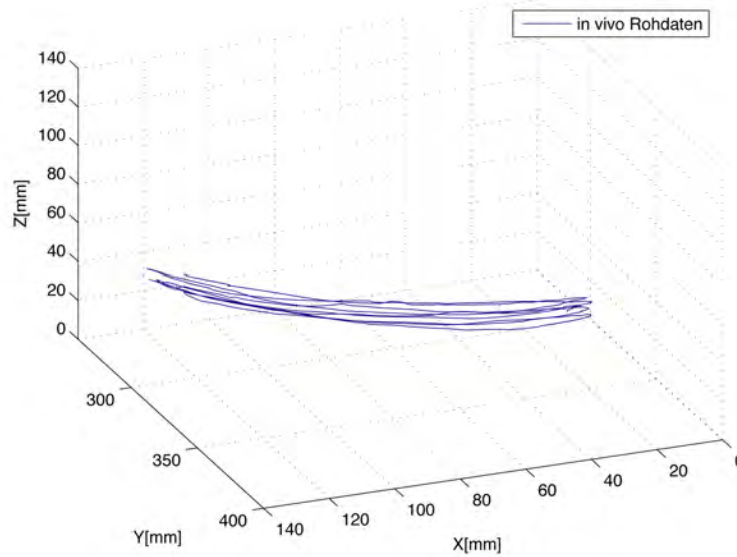


Abbildung 58: 3D-Darstellung der Rohdaten einer Messung in vivo. Die Daten wurden tiefpass gefiltert und in das *Tibiakoordinatensystem* transformiert. Die Standardabweichungen der Winkel σ_{Inc} und σ_{Dev} war bei diesem Messdurchgang $\sigma_{Inc} = \sigma_{Dev} \leq 4^\circ$. Werte größer als die doppelte Standardabweichung werden allerdings vom Programm als Ausreißer behandelt.

3.9 Fehlerabschätzung

Um Aussagen über die Messunsicherheit des gesamten Messverfahrens machen zu können, wurden verschiedene Tests bzw. Versuche durchgeführt (Kapitel 3.8). Dieser Gesamtmessfehler, der als rein zufällig angenommen wird, setzt sich aus den der einzelnen Komponenten des Gesamtsystems zusammen. Zufällige Messfehler werden durch Streuungen der Einzelmessungen verursacht. Ursache der zufälligen Messfehler sind Fluktuationen von Ereignissen, die den Messprozess beeinflussen, jedoch nicht kontrollierbar sind. Der Gesamtmessfehler der neuen Methode setzt sich demnach wie folgt zusammen:

$$\Delta E \approx \sqrt{(\Delta E_{ZebriS})^2 + (\Delta E_{math})^2 + (\Delta E_{koord})^2 + (\Delta E_{move})^2} \quad (48)$$

mit:

- $\Delta E_{ZebriS} \leq 0,001^\circ$: Entsprechend dem von der Firma Zebris® angegebene Messfehler der X, Y und Z Koordinaten des CMS 20 in Kombination mit dem JMA 11 · 11 Sensor.
- $\Delta E_{math} \leq 0,001^\circ$: Der durch Rundungsfehler verursachte Fehler der mathematischen Methode (Tabelle 4 auf Seite 71).
- $\Delta E_{koord} \leq 2^\circ$: Geschätzter Fehler beim Festlegen des *Tibiakoordinatensystems* in vivo (aus den Ergebnissen des Reliabilitätstests in vivo, Kapitel 3.8.2 auf Seite 91).
- $\Delta E_{move} \leq 5^\circ$: Geschätzter Fehler verursacht durch eine ungenaue Bewegungsausführung bei der Messung in vivo (aus den Ergebnissen des Reliabilitätstests in vivo, Kapitel 3.8.2 auf Seite 91).

Man erhält eine Messungenauigkeit ΔE für das gesamte Messverfahren von $\Delta E \leq 5,0^\circ$, d.h. der zufällige Messfehler ΔE_{ZebriS} des CMS 20, verursacht durch thermisches Rauschen und der Messfehler ΔE_{math} , verursacht durch Rundungsfehler der Berechnungsroutine kann vernachlässigt werden. Die Qualität der Ergebnisse der Deviations- und Inklinationswinkel der Gelenkachsen wird vornehmlich durch die Güte der Bewegungsausführung und ebenso durch die Präzision des Festlegens des *Tibiakoordinatensystems* bestimmt. Die Ergebnisse des Reliabilitätstest am mechanischen Modell (Kapitel 3.7.2 auf Seite 72) haben gezeigt, dass bei einer möglichst exakten Bewegungsausführung selbst bei erneutem Festlegen des *Tibiakoordinatensystems*, ein Fehler der Winkel von $\Delta_{Inc} = \Delta_{Dev} \leq 1,0^\circ$ erreicht werden konnte. Es kann angenommen werden, dass die X, Y und Z Koordinaten der Ultraschallmarker bei den Bewegungen am mechanischen Modell mit einer Messungenauigkeit von $\Delta x = \Delta y = \Delta z \leq 2mm$ angegeben werden konnten. Durch einen erneuten Versuch

an einem verbesserten mechanischen Modell, das präzisere Bewegungswiederholungen ermöglicht³⁴, könnte gezeigt werden, dass schon bei Messungen am Modell der größte Fehler durch eine ungenaue Bewegungsausführung zustande kommt.

Der Vergleich von Schaubild 55 auf Seite 90 mit Schaubild 58 auf Seite 94 bestätigt diese Annahme. Zu sehen sind die Rohdaten von jeweils fünf Bewegungszyklen des Versuchs am mechanischen Modell und des *in vivo* Tests. Beim Versuch am mechanische Modell sind kaum Abweichungen des Signalverlaufs der einzelnen Bewegungszyklen zu erkennen. Im Gegensatz dazu zeigt der Test *in vivo* leicht unterschiedliche Signalverläufe der einzelnen Bewegungsabfolgen.

Nach Aussage des Zentralen Grenzwertsatzes der Statistik dürfen die zufälligen Fehler zumindest approximativ als normalverteilt betrachtet werden. Aus diesem Grund werden vom Programm für jede Bewegungssequenz die Parameter der Gelenkachsen bestimmt und anschließend Mittelwert und Standardabweichung berechnet. Die so bestimmten Mittelwerte bilden die gesuchten tatsächlichen Größen wesentlich besser ab. Des Weiteren kann anhand der Standardabweichungen eine Aussage über die Übereinstimmung der sich wiederholenden Bewegungssequenzen und damit über die Qualität der ermittelten Ergebnisse gemacht werden.

³⁴ Vorzustellen wäre der Einsatz eines Roboters, der ebenfalls Rotationen um zwei miteinander gekoppelten Gelenkachsen, mit höherer Genauigkeit durchführen könnte.

4 Anwendung des Verfahrens in vivo

Seit der Fertigstellung eines ersten, im Feld einsetzbaren Prototypen wurde die neue Methode zur Bestimmung der Sprunggelenkachsen in einer Anzahl von Studien eingesetzt. Es handelte sich dabei um eine Reihe von Untersuchungen, die alle am Institut für Sportwissenschaft der Universität Stuttgart vom Arbeitsbereich Biomechanik durchgeführt wurden und sich mit dem Thema Prävention und Rehabilitation von Sprunggelenkverletzungen befassten. Durch den frühzeitigen Einsatz dieser Methode konnten etwaige Schwierigkeiten oder Probleme mit Hard- oder Software in der nächsten Entwicklungsphase berücksichtigt werden. Obwohl die Berechnungsroutinen ständig verändert bzw. verbessert wurden, konnten die mit einer frühen Programmversion eingezogenen Rohdaten dennoch verwendet werden. Da die vom Programm gespeicherten Rohdaten lediglich die nicht transformierten X , Y und Z Koordinaten der Ultraschallmarker enthalten, werden die Gelenkachsenparameter beim Öffnen der Rohdaten mit einer überarbeiteten Programmversion erneut berechnet.

4.1 Versuchsdurchführung in vivo

Die Methode zur Bestimmung der Sprunggelenkachsen kam wie erwähnt bei mehreren Studien zum Einsatz. Insgesamt wurden die Daten von ca. 150 Probanden erfasst. Nur Datensätze, deren Standardabweichung der Deviation oder Inkliniation eines Gelenks kleiner als $\sigma < 5^\circ$ war, wurden in die Auswertung mit aufgenommen. Die $n = 97$ verbleibenden Datensätze setzten sich wie folgt zusammen:

- ◇ Prospektiver Ansatz: 41 Datensätze aus dem vom *BISP* geförderten Projekt „Fußball interdisziplinär: Zur Optimierung der Prävention, Rehabilitation und Wiederverletzungsprophylaxe von Verletzungen im Fußball“. Beteiligte Mannschaften waren die U18 vom: 1. FC Köln (6), Bayern München (7), HSV Hamburg (20), Bayer Leverkusen (8) und Mönchengladbach (7). Ziel dieses Projektes war es, eine möglichst große Datenbank mit Daten aus verschiedenen sportmotorischen Tests bzw. anthropometrischen Merkmalen von Nachwuchsathleten zu generieren. Möglicherweise lassen sich einige der erfassten Parameter als verletzungsbegünstigend identifizieren und damit Sprunggelenkverletzungen durch geeignete Maßnahmen im Voraus vermeiden.
- ◇ Retrospektiver Ansatz: 27 Datensätze aus der von der *ARAG* Sportversicherungen unterstützten Studie. Hierbei wurden die Sprunggelenkachsen von Probanden mit zurückliegenden Sprunggelenkverletzungen bestimmt. Dabei musste es sich um vollständig ausgeheilte Verletzungen handeln, da sonst eine

Inversion/Eversionsbewegung bei gleichzeitig maximaler Dorsalflexion nur bedingt möglich wäre (dieser Sachverhalt würde zu einer Verfälschung des Ergebnisses führen).

- ◇ 22 Probandendaten stammen aus einer Orthesenstudie die für die Firma *Otto Bock* durchgeführt wurde. Dabei wurde die Wirkung von verschiedenen Orthesen mithilfe einer Plattform zur Verletzungssimulation getestet. Auch hier gilt zu beachten, dass verschiedene Achslagen, speziell des USGs, bei gleicher Verletzungssimulation, bei den einzelnen Probanden unterschiedliche Reize auslösen.

Der kritischste Punkt bei der Untersuchung bestand in der Durchführung der für die Berechnung der Sprunggelenkachsen notwendigen willkürlichen Sprunggelenkbewegung. Die Beibehaltung einer maximalen Dorsalflexion bei gleichzeitiger Inversion/Eversion stellte eine hohe koordinative Anforderung dar. Aus diesem Grund wurde diese Bewegung von jedem Probanden vor der Versuchsdurchführung ausreichend geübt. Anschließend erfolgte, analog zu den Reliabilitätstest in vivo (auf Seite 91),

1. das Anbringen der Ultraschallsensoren an der Tibia,
2. das Befestigen der Ultraschallmarker am Calcaneus,
3. das Festlegen des *Tibiakoordinatensystems* in der Neutral-Null-Stellung (hüftbreiter, aufrechter Stand),
4. die Bewegung des Fusses aus der Neutral-Null-Stellung in eine maximale Dorsalflexion,
5. eine fünfmalige Wiederholung der Inversion- und Eversionsbewegung in der maximalen Dorsalflexion.

Waren die Ergebnisse unbefriedigend, die Standardabweichungen der Winkel größer als $\sigma > 10^\circ$, wurde die Messung wiederholt. Bei einigen Probanden war es allerdings trotz mehrfach durchgeführter Messung nicht möglich, ein ausreichend genaues Messergebnis zu erhalten. Deren Daten wurden nicht weiter berücksichtigt.

4.2 Ergebnisse des Verfahrens in vivo

Die Standardabweichung des Deviationswinkels war bei fast allen Messungen kleiner als die des Inklinationswinkels. Die Abbildungen 59 und 60 auf den Seiten 99 und 100 zeigen die Projektionen auf die Transversal- (XY -Ebene) bzw. Frontalebene (XZ -Ebene) des Ultraschallsignals einer exemplarischen Messung. Zu beobachten ist, dass der auf die XY -Ebene projizierte Signalverlauf kaum Abweichungen zwischen den einzelnen Bewegungsausführungen aufweist. Demzufolge ist auch der auf die XY -Ebene abgebildete Winkel der Deviation mit einem minimalen Fehler behaftet. Der auf die XZ -Ebene projizierte Signalverlauf lässt dagegen einige Abweichungen der einzelnen Bewegungsausführungen erkennen. Auffallend ist eine zunehmende plantare Flexion bei einer wachsenden Supination. Der Fuss scheint im Verlauf der Messung immer weiter abgesenkt zu werden, was vermutlich auf eine Ermüdung der beteiligten Muskulatur zurückzuführen ist (mehr dazu in Kapitel 5.2.2 ab Seite 106). Der auf die Sagitalebene projizierte Inklinationswinkel ist dementsprechend ebenfalls mit einem größeren Fehler behaftet. Abbildung 64 auf Seite 102 stellt die Ergebnisse der Deviationswinkel der USGA nochmals dar. Die ermittelten Deviationswinkel sind approximativ normalverteilt, wobei sowohl positive als auch negative Winkel gemessen wurden. Tabelle 13 beinhaltet die Ergebnisse von USG- und OSGA der 97 Probanden, in den Abbildung 62 und 63 sind diese grafisch dargestellt.

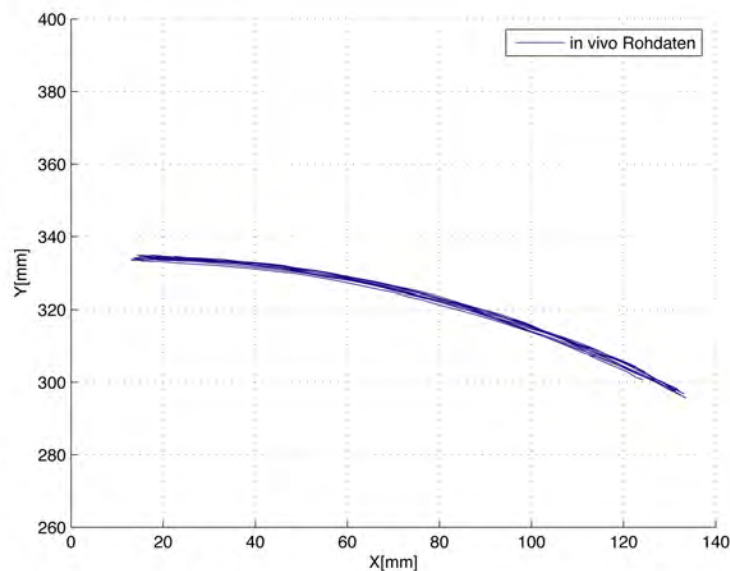


Abbildung 59: Ultraschalldaten einer exemplarischen Messung projiziert auf die Transversalebene. Da der Signalverlauf kaum Abweichungen der einzelnen Bewegungssequenzen erkennen lässt, ist auch der daraus berechnete Deviationswinkel mit einem minimalen Fehler behaftet.

ANWENDUNG DES VERFAHRENS IN VIVO

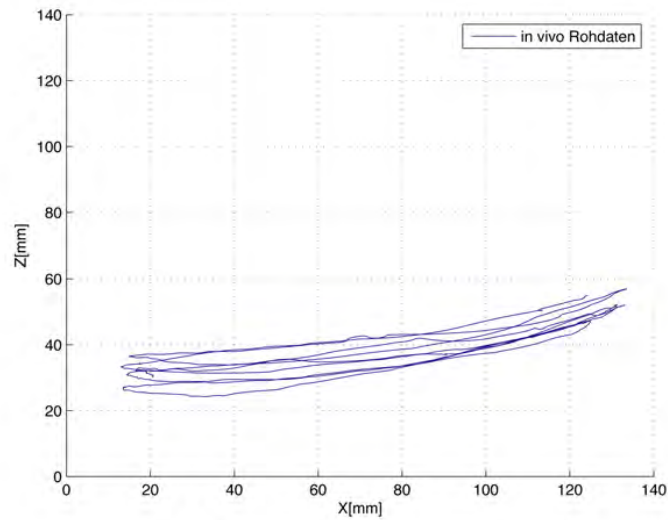


Abbildung 60: Ultraschalldaten einer exemplarischen Messung projiziert auf die Frontalebene. Zu sehen ist eine Abweichung im Signalverlauf zwischen den einzelnen Bewegungssequenzen. Dadurch kommt es auch zu einem höheren Fehler bei der Berechnung des Inklinationswinkels.

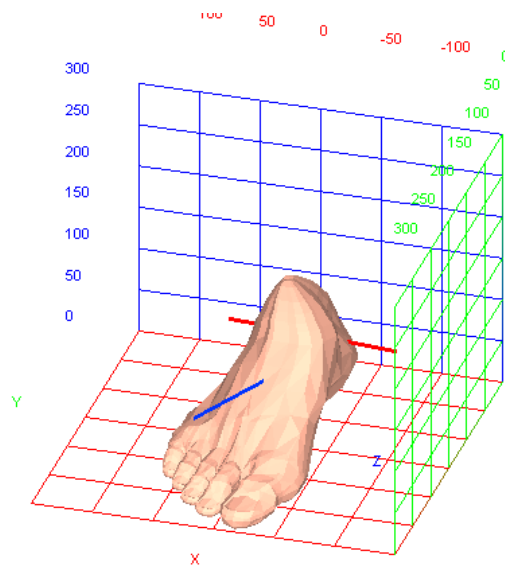


Abbildung 61: Dreidimensionale grafische Darstellung der Ergebnisse der entwickelten Software. Schaubilder lassen sich durch die Funktion *copy2clipboard* exportieren. Achse blau: USGA, Achse rot: OSGA.

Tabelle 13: Ergebnisse für das obere und untere Sprunggelenk. In vivo Messung mit $n = 97$. Die Standardabweichung aller Parameter der in die Auswertung eingegangenen Einzelmessungen war $\sigma < 10^\circ$.

OSGA				
	Mittelwert	Standardabweichung	Minimum	Maximum
Inc[°]	81,18	7,22	55,7	100,2
Dev[°]	78,18	8,0	55,80	94,8
α [°]	37,35	13,12	9,20	68,90

USGA				
	Mittelwert	Standardabweichung	Minimum	Maximum
Inc[°]	28,05	16,04	2,56	64,27
Dev[°]	3,43	10,12	-17,80	30,45
β [°]	38,38	10,18	8,94	57,70

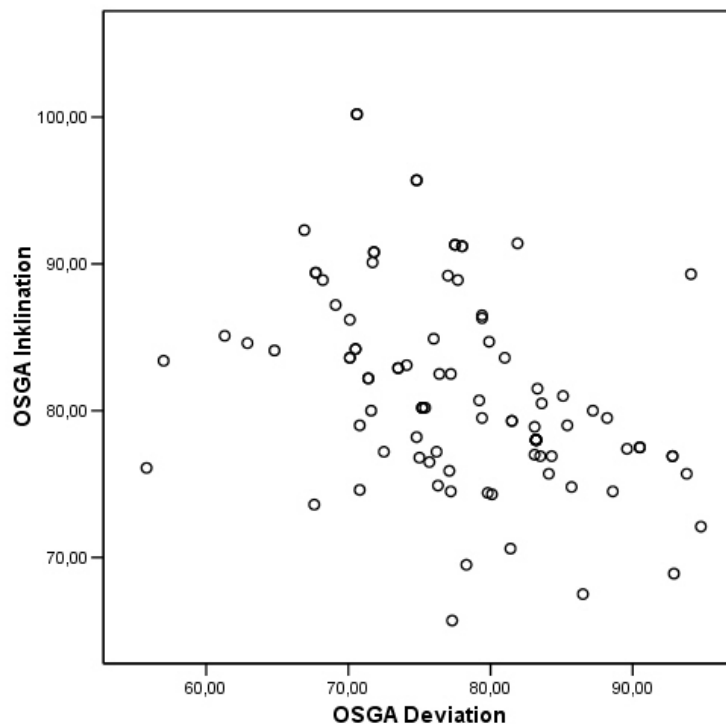


Abbildung 62: Schaubild Inklination/Deviation der OSGA. In Vivo Messung mit $n = 97$. Die Standardabweichung jedes Messwertes war $\sigma < 10^\circ$

Das als *CSV* Datei gespeicherte Datenblatt enthält außer den Daten zu Proband und Messung noch weitere gelenkachsenspezifische Parameter, die nicht auf der

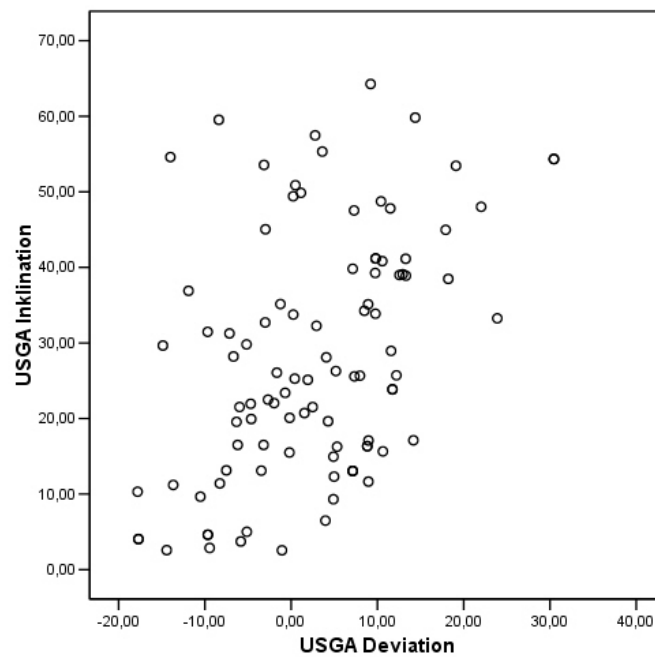


Abbildung 63: Schaubild Inklination/Deviation der USGA. In vivo Messung mit $n = 97$. Die Standardabweichung jedes Messwertes war $\sigma < 10^\circ$.

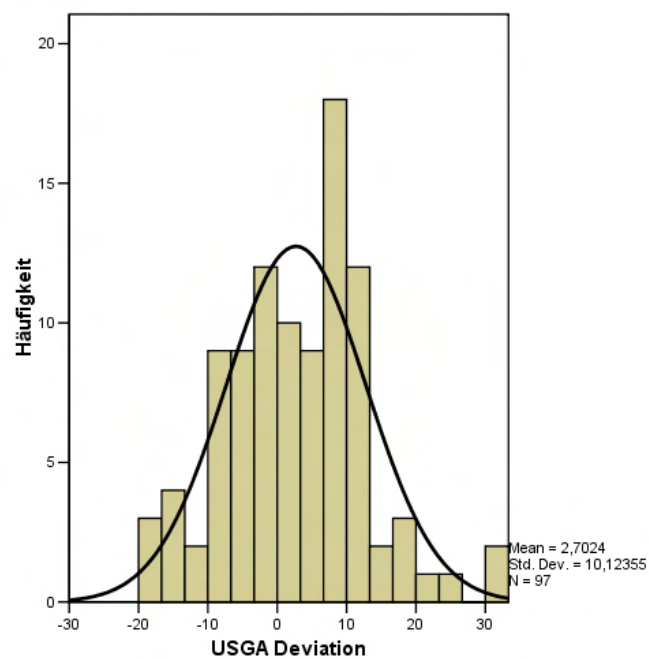


Abbildung 64: Verteilung der Deviationswinkel der USGA. Die ermittelten Werte sind approximativ Normalverteilt. Sowohl positive als auch negative Winkel wurden gemessen.

Programmoberfläche ausgegeben werden:

- ◇ Die Achsparameter der einzelnen Bewegungswiederholungen, unterteilt nach Inversions- und Eversionbewegungen.
- ◇ Ausreißer werden gekennzeichnet dargestellt.
- ◇ Minimaler senkrechter Abstand von OSG- und USG Achse zur *Z* Achse (Kraftangriffspunkt der Achillessehne).
- ◇ Minimaler senkrechter Abstand von OSGA zu USGA.

Möglicherweise kann im Laufe der Anwendung dieser neue Methoden einer dieser zusätzlichen Parameter als Risikofaktor identifiziert werden.

5 Diskussion

Bisher entwickelte Verfahren, die eine nicht invasive, in vivo Bestimmung der Sprunggelenkachsen ermöglichten [ALT 2001, VAN DEN BOGERT et al. 1994], benötigten in der Regel Laborbedingungen, da zur Datenakquisition hauptsächlich 3D-Videanalyse-systeme eingesetzt wurden; somit waren diese Verfahren nicht im Feldversuch einsetzbar. In der vorliegenden Arbeit wurde ein diagnostisches Verfahren entwickelt, das eine Bewegungsanalyse der Sprunggelenkachsen ermöglicht, welche ebenfalls in vivo und nicht invasiv ist, jedoch im Unterschied zu den bisherigen Diagnoseverfahren keine Laborbedingungen benötigt und direkt im Feld einsetzbar ist. Die neu entwickelte Methode wurde dabei verschiedenen Validierungsversuchen und Reliabilitätstests unterzogen, deren Ergebnisse ab Kapitel 3.7 auf Seite 69 dargestellt sind. Die Resultate der ersten Messungen in vivo sind in Kapitel 4 abgebildet. Nachfolgend werden diese Ergebnisse diskutiert.

5.1 Zu den Validierungsversuchen

Die Validierungsversuche aus Kapitel 3.7.1 und 3.7.2 zeigten, dass sowohl die mathematische Methode als auch das Gesamtmesssystem in der Lage ist, die Parameter der Sprunggelenkachsen zu bestimmen. Der Versuch am virtuellen Modell (Kapitel 3.7.1 auf Seite 69) diente lediglich der Überprüfung der mathematischen Funktionen und speziell dem verwendeten Verfahren zur Berechnung von Rotationsachsen. Es zeigte sich, dass die experimentelle Umsetzung weder mathematische noch logische Fehler enthält. Die beim Unterschreiten eines bestimmten Markerabstands r oder Rotationswinkel α erhaltenen Fehler $\Delta E < 0,001^\circ$, basieren lediglich auf Rundungsfehler und sind für die Praxis irrelevant.

Das Gesamtmesssystem, die Kombination aus Software und Hardware, wurde mithilfe der Validierungsversuche am mechanischen Modell überprüft (Kapitel 3.7.2 auf Seite 72). Hier zeigte sich, dass die vom Programm ermittelten Rotationsachsenparameter sehr gut mit den am mechanischen Modell eingestellten Achsen übereinstimmte (Tabellen 5 und 6). Zwar war der Fehler der Winkel mit $\Delta E_{Inc,Dev} < \pm 1,34^\circ$ relativ gross, es bleibt allerdings die Frage offen, welche der gemessenen Achsen, die direkt gemessenen oder die indirekt bestimmte, exakter ermittelt werden konnte. Das manuelle Fixieren der Achsmittelpunkte am mechanischen Modell, bei der direkten Messung, stellte sich als relativ problematisch heraus. Es ist deshalb anzunehmen, dass die direkt gemessene Achse mit einem wesentlich höheren Fehler behaftet ist, als die mit der neu entwickelten Methode bestimmten. Nichtsdestoweniger hat auch dieser Versuch gezeigt, dass das gesamte Messdesign zur Bestimmung der Sprunggelenkachsen geeignet ist.

5.1.1 Validierung in vivo - MRT Untersuchung

Im MRT Versuch (Kapitel 3.7.3 auf Seite 76) sollte bestätigt werden, dass der Talus in der maximalen Dorsalflexion weitgehend durch die Malleolengabel fixiert wird. Nur so ist eine Bewegung im USG, die nicht von einer Rotation der OSGA überlagert ist, möglich. Da alle nachfolgenden Berechnungen auf der Annahme einer isolierten Bewegungsanalyse des USGA basieren, wurde der von **Alt** durchgeführte in vitro Versuch [ALT 2001] erneut durch einen in vivo Versuch bestätigt. Dabei wurde der Proband angewiesen, jeweils drei Fußstellungen (die maximale Eversion, eine Mittelstellung und die maximale Inversion) willkürlich einzunehmen und für die Dauer der MRT Aufnahme zu halten. Lediglich in der maximalen Inversion zeigte sich ein minimales Absenken des Talus. Dieses Absenken bei der Inversionsbewegung zeigten sich ebenfalls im Signalverlauf bei ersten in vivo Versuchen der neuen Methode. Als Konsequenz daraus sollte bei der Bewegungsausführung der Fokus weniger auf eine größtmögliche Amplitude der Inversions/Eversionsbewegung sondern vielmehr auf das Halten der maximalen Dorsalflexion gerichtet werden. Bei einer sorgfältig ausgeführten Bewegung um die Achse des unteren Sprunggelenks kann das Absenken des Talus minimiert und damit vernachlässigt werden. Eine Inversions/Eversionsbewegung in maximalen Dorsalflexion kann demzufolge als eine annähernd isolierte Bewegung im USG betrachtet werden (Abschnitt 5.2.2 auf Seite 107).

5.2 Zu den Reliabilitätstests

5.2.1 Am mechanischen Modell

Zur Überprüfung der Reliabilität wurden zwei verschiedenen Versuche am mechanischen Modell durchgeführt (Kapitel 3.8 auf Seite 83). Jeweils zehn mal wurden die Achsen des mechanischen Modells bestimmt. Im ersten Versuch wurde das *Tibiakoordinatensystem* nur ein einziges Mal festgelegt, während beim anschließenden Versuch das *Tibiakoordinatensystem* vor jeder Messung erneut festgelegt wurde. Die Fehler der Winkel oder Vektoren beider Versuche ließen keine signifikanten Unterschiede erkennen und waren mit $\Delta E_{Inc,Dev} < 0,9^\circ$ für die Winkel und $\Delta E_{\vec{AP},\vec{RV}} < 2,5mm$ zufriedenstellend gering (Tabellen 7, 8, 9 und 10). Der Hauptanteil des Fehlers resultiert mit Sicherheit aus einer ungenauen Bewegungsreproduktion. Durch eine leichte Variation der Neutralstellung, der Bewegungsfreiheit der mechanischen Gelenke sowie einer möglichen minimalen Veränderung der Achsstellungen, bedingt durch die manuelle Bewegung des mechanischen Modells, könnte dieser Fehler verursacht worden sein.

Der Vergleich der Fehler für Winkel und Vektoren des OSGA und USGA zeigen, dass am mechanischen Modell das Festlegen des *Tibiakoordinatensystems* extrem reproduzierbar ist (siehe Tabelle 9 auf Seite 88).

5.2.2 In vivo

Abschließend wurde ein weiterer Reliabilitätstest in vivo durchgeführt. Dabei wurde bei einem Probanden jeweils zehnmal die Achsen des Sprunggelenks bestimmt. Vor jedem Versuch wurde das *Tibiakoordinatensystem* erneut festgelegt. Im Vergleich zu den Versuchen am mechanischen Modell waren die Fehler mit $\Delta E < 5^\circ$ wesentlich größer. Das erneute Festlegen des *Tibiakoordinatensystems* wird mit einem Fehler von $\Delta E_{tibia} < 2^\circ$ angenommen. Fehlerquellen, die am mechanischen Modell nur eine untergeordnete Rolle spielten, waren die Marker- und Sensorbefestigungen. Bei nicht invasiven in vivo Versuchen kann eine Marker- und Sensorverschiebung nicht ausgeschlossen werden. Durch eine Verbesserung der Markerbefestigung und der Wahl eines kleineren und damit leichteren Sensors (z.B. dem *WinJaw 8 · 8*) könnte dieser Fehler weiter verringert werden. Der auf Seite 66 abgebildete Schuh zur Ultraschall-Marker-Befestigung könnte z. B. durch eine Fersenkappe oder Fersenklammer ersetzt werden. So könnten die Ultraschall-Marker über eine einfache Konstruktion an der Probanden-Ferse befestigt werden. Mögliche Bewegungsübertragungen vom Vorfuß könnten damit ausgeschlossen werden. Die Konstruktion sollte möglichst leicht sein, trotzdem stabil und den Stand in der Neutral-Null-Stellung zulassen.

Die Hauptfehlerquelle beim in vivo Versuch liegt in der ungenauen Bewegungsausführung der Inversion und Eversion in der maximalen Dorsalflexion. Abbildung 58 auf Seite 94 zeigt den Signalverlauf eines geübten Probanden. Es lassen sich im Vergleich zum Versuch am mechanischen Modell (Abbildung 55 auf Seite 90) größere Abweichungen der einzelnen Bewegungssequenzen erkennen. In einer frühen Prototypenphase wurden die Sprunggelenksachsparemeter aus einer einzigen Inversionsbewegung berechnet. Wurde diese einzige Bewegung unsauber ausgeführt, waren die daraus berechneten Rotationsachsenparameter mit einem dementsprechend großen Fehler behaftet. Durch eine Wiederholung der Inversions/ Eversionsbewegung, einem Berechnen der Achsparemeter für jede dieser Einzelbewegungen und anschließendem Ermitteln der Mittelwerte und Standardabweichungen dieser Bewegungsphasen konnte der durch eine unsauber ausgeführte Bewegung verursachte Fehler minimiert werden. Da angenommen werden kann, dass der zufällige Fehler der Einzelbewegungen annähernd normalverteilt ist, sollte eine Messung mindestens fünf Inversion- und Eversionbewegungen enthalten. Allgemein gilt, je häufiger die Inversion- und Eversion durchgeführt werden können, desto steiler wird die Kurve der Normalverteilung, was wiederum bedeutet, desto exakter entspricht der errechnete Mittelwert dem tatsächlichen Wert. In in vivo Versuchen zeigten die meisten Probanden allerdings nach mehrmaliger Wiederholung der Inversion/ Eversionbewegung in der maximalen Dorsalflexion Ermüdungserscheinungen. Ab einer bestimmten Anzahl an Wiederholungen kann der Fuß nicht durchgehend in der maximalen Dorsalflexion gehalten werden. Die Bewegungsausführung wird dadurch ungenauer und somit nimmt der Fehler der Messgrößen wieder zu.

In verschiedenen Versuchen haben sich zehn Wiederholungen als optimal heraus gestellt.

Allgemein gibt es bei in vivo Messungen folgendes zu beachten:

- ◇ Das *Tibiakoordinatensystem* muss sorgfältig festgelegt werden. Da die erfassten Parameter relativ zum *Tibiakoordinatensystem* angegeben werden, setzt sich der gesamte Messfehler aus dem Fehler des *Tibiakoordinatensystems* und dem Fehler aus der Messung der Sprunggelenkachsen zusammen:
 $\Delta E_g = \Delta E_{Tibia} + \Delta E_{Messung}$. Die anatomischen Punkte müssen möglichst exakt in der Neutralstellung des Probanden (hüftbreiter, aufrechter Stand) markiert werden.
- ◇ Bei der Bestimmung der OSGA Parameter, speziell dem Drehwinkel, sollte darauf geachtet werden, dass der Start der Messung aus der bei der Bestimmung des *Tibiakoordinatensystems* eingenommen Neutral-Null-Position des Probanden erfolgt.
- ◇ Mindestens fünf, höchstens zehn Wiederholungen der Inversions/Eversionsbewegung sollten zur Messung der USGA durchgeführt werden. Besondere Aufmerksamkeit sollte dabei auf die Einhaltung der maximalen Dorsalflexion während der Durchführung der Inversionbewegung gerichtet werden.

Des Weiteren hat sich bewährt, die Probanden vor einer Messung die Inversions/Eversionsbewegung in der maximalen Dorsalflexion üben zu lassen. Während der Messung half eine leichte Bewegungsführung durch einen schwachen Druck gegen die Fußsohle des Probanden, die Pantarflexion zu minimieren. Werden diese Punkte beachtet und die Messung sorgfältig durchgeführt, sind ohne weiteres reproduzierbare Ergebnisse mit Standardabweichungen von $\sigma < 5^\circ$ möglich. Kleine Standardabweichungen bedeuten nicht nur eine hohe Reliabilität, sondern ebenfalls eine hohe Validität der Messergebnisse der USGA. Bei einer kombinierten Bewegung aus einer Rotation um die OSGA und USGA erhält man eine wesentlich höhere Abweichung des Signalverlaufs der einzelnen Bewegungswiederholungen der Inversion- bzw. Eversionsbewegung. Ist die Standardabweichung der ermittelten Parameter klein, bedeutet dies, dass bei der durchgeführten Bewegung der Talus in der Tibia - Fibula Knochengabel festgesetzt war, es sich also um eine reine Rotationsbewegung um die USGA handelte. Es gilt für die Genauigkeit bzw. den relativen Fehler der ermittelten Parameter

$$\Delta F_{Dev} < \Delta F_{R\vec{V}} < \Delta F_{Inc} < \Delta F_{A\vec{P}} < \Delta F_{Hebel}$$

mit,

- ΔF_{Dev} : relativer Fehler des Deviationswinkel,
 ΔF_{Inc} : relativer Fehler des Inklinationswinkel,
 $\Delta F_{\vec{R}V}$: relativer Fehler des Richtungsvektor der Rotationsachse,
 $\Delta F_{\vec{A}P}$: relativer Fehler des Vektors zum Aufpunkt der Rotationsachse,
 ΔF_{Hebel} : relativer Fehler des minimalen senkrechten Abstand der Rotationsachse zur Z Achse (Kraftangriffspunkt der Achillessehne).

Das

bedeutet, dass z. B. der relative Fehler der Deviation der USGA am geringsten ist, also die Messgenauigkeit am höchsten, der Hebel (senkrechter minimaler Abstand der USGA zum Kraftangriffspunkt der Achillessehne) dagegen am wenigsten genau bestimmt werden kann.

5.3 Zur Anwendung in vivo

Seit der Fertigstellung eines ersten im Feld einsetzbaren Prototypen wurden die Methode zur Bestimmung der Sprunggelenkachsen in verschiedenen Studien eingesetzt. Insgesamt wurden dabei wie erwähnt $n = 150$ Sprunggelenkachsen ermittelt. Da es in den Anfangsphasen noch zu Umstrukturierungen des Messablaufs kam, konnten nicht alle dieser erhobenen Datensätze für die Auswertung verwendet werden. Datensätze, deren Standardabweichung größer als $\sigma > 5^\circ$ war, wurden ebenfalls nicht berücksichtigt. In die Auswertung wurden $n = 97$ Achsdaten aufgenommen. Damit ist n bereits wesentlich größer als bei den in vivo Studien von **Alt** [ALT 2001] und **van den Bogert** [VAN DEN BOGERT et al. 1994]. In Tabelle 14 sind die Mittelwerte und Standardabweichungen für die Inklination und Deviation dieser in vivo Studien sowie die Ergebnisse der hier beschriebenen ersten Anwendung in vivo abgebildet.

Tabelle 14: Ergebnisse andere Autoren im Vergleich zu den in dieser Arbeit erhaltenen Ergebnisse für die Inklination und Deviation der USGA.

Autor, Jahr	n	Inc. [°]	STAB Inc. [°]	Dev. [°]	STAB Dev. [°]
van den Bogert et al.	14	37,4	2,7	18,0	16,2
Alt	22	36,0	7,3	7,8	9,8
Hochwald	97	28,1	15,9	3,4	11,4

Im Vergleich zu den in vitro durchgeführten Studien [MANTER 1941, HICKS 1953, VAN LANGELAAN 1983], deren Ergebnisse für die Inklination bzw. Deviation bei $Inc \approx 43^\circ$ und $Dev \approx 20^\circ$ liegen, scheinen die erhobenen Werte der Deviation bei

den in vivo Untersuchungen geringer zu sein. Die in vitro durchgeführten Untersuchungen wurden an isolierten Knochen durchgeführt. Lage und räumliche Orientierung der USGA basieren ausschließlich auf der Geometrie der subtalaren Gelenkflächen. Für die Relativbewegungen zwischen Talus und Calcaneus sind besonders die Strukturen im Sinus und Canalis tarsi von Bedeutung [ALT 2001]. Dies könnte die mögliche Ursache für die Differenz der in vivo erhobenen Befunde sein.

Abweichungen den Deviationswinkel betreffend lassen sich auch zu den Studien von **van den Bogert** und **Alt** beobachten. Der von **van den Bogert** erhaltene Wert für die Deviation ist vermutlich auf die geringe Probandenzahl zurückzuführen. Möglicherweise rühren geringe Unterschiede in den Winkeln auch von unterschiedlich definierten Relativkoordinatensysteme her. Während **Alt** für die Festlegung des *Tibiakoordinatensystems* zwei Punkte auf der Tibiakante und einen weiteren Punkt parallel zum zweiten Strahl markiert, wird in dieser Arbeit der gesamte Vorfuß ausgeschlossen. Als weiteren Punkt zur Berechnung des *Tibiakoordinatensystems* wird ein Punkt auf der Achillessehnenmitte gewählt. Dadurch wird eine höhere Reproduzierbarkeit und Objektivität beim Festlegen des Koordinatensystems erreicht. Abbildung 65 zeigt die auf die Transversalebene projizierten Y Achsen zweier Relativkoordinatensysteme. Da der Deviationswinkel relativ zu diesen Koordinatenachsen angegeben wird, gibt es durchaus minimale Differenzen zwischen den beiden unterschiedlich festgelegten Koordinatensystemen.

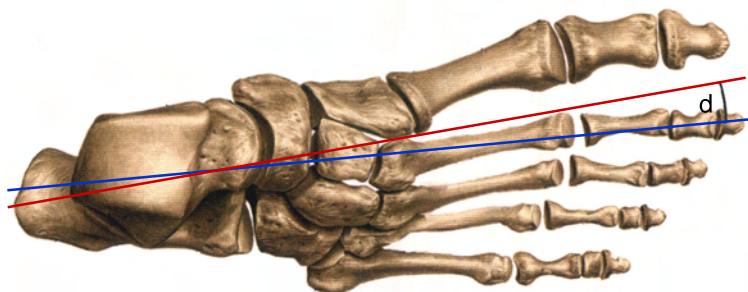


Abbildung 65: Differenz beim Festlegen des *Tibiakoordinatensystems*. Die blaue und rote gerade entsprechen der Projektion der Y Achse der zwei Koordinatensysteme. Bei beiden Geraden wurden dieselben zwei Punkte auf der tibiakante markiert. Die blaue Gerade benutzt als dritten anatomischen Punkt einen Punkt auf dem zweiten Strahl. Die rote Gerade verwendet einen Punkt auf der Achillessehnenmitte. Demzufolge werden im *roten Tibiakoordinatensystem* kleinere Deviationswinkel ausgegeben. Abbildung modifiziert aus Sobota „Atlas der Anatomie des Menschen“ [SOBOTA 2000].

Mit Sicherheit sind die Deviationswinkel in vivo kleiner als die aus den in vitro Versuchen bestimmten Winkel. Abbildung 64 auf Seite 102 zeigt die Verteilung der Deviation bei $n = 97$ Probanden. Diese Verteilung lässt durchaus Spekulationen zu, der Mittelwert der Deviation könnte bei Stichproben ($n > 100$) weiter minimiert

DISKUSSION

werden.

Die Standardabweichung der Deviation nimmt auch bei großen Stichproben nicht ab. Die sowohl in in vitro als auch in vivo Studien gefundenen interindividuelle Varianz der Deviation wurde erneut bestätigt.

Diese Tatsache lässt zwei Interpretationen zu:

1. Es gibt eine Beziehung zwischen den interindividuellen Achsstellung des USG und Parameter der Beingeometrie, z.B. mit der Trittspur. Möglicherweise muss die Summe aus Deviationswinkel und Trittspur betrachtet werden.

$$\alpha_{DevG} = \alpha_{Dev} + \alpha_{Tritt}$$

Unter bestimmten Umständen würde sich die Standardabweichung bzw. die interindividuelle Varianz der Deviation verringern lassen, nämlich dann, wenn eine nach lateral rotierte Fuß/Beinstellung einen größeren Deviationswinkel der USGA ausprägen würde. Abbildung 66 soll diesen Sachverhalt verdeutlichen. Obwohl im ersten Fall ein negativer im zweiten Fall ein positiver Deviationswinkel in Bezug zum *Tibiakoordinatensystem* gemessen wurde, sind beide Winkel relativ zur Körpersagittalebene angegeben vergleichbar. Die interindividuelle Varianz der Deviation ist durch diese Betrachtungsweise minimiert worden. Als Konsequenz daraus müssten zur Identifizierung von verletzungsbegünstigenden Faktoren nicht nur die Parameter der USGA sondern auch die Aspekte der Beingeometrie erfasst werden.

2. Die interindividuelle Varianz die Deviation betreffend lässt sich durch eine Kombination der Achslage des USG und der Beingeometrie nicht weiter minimieren. Möglicherweise lässt sich erst bei großen Stichproben ein statistischer Zusammenhang zwischen bestimmten Achsparametern und Anfälligkeit für akute Sprunggelenkverletzungen oder chronische Überlastungsschäden finden. Eventuell müssen dennoch Faktoren der Beingeometrie betrachtet werden. Es ist durchaus vorzustellen, dass diskrete Kombinationen aus USGA Stellungen und Beingeometrie als verletzungsbegünstigend identifiziert werden können.

DISKUSSION

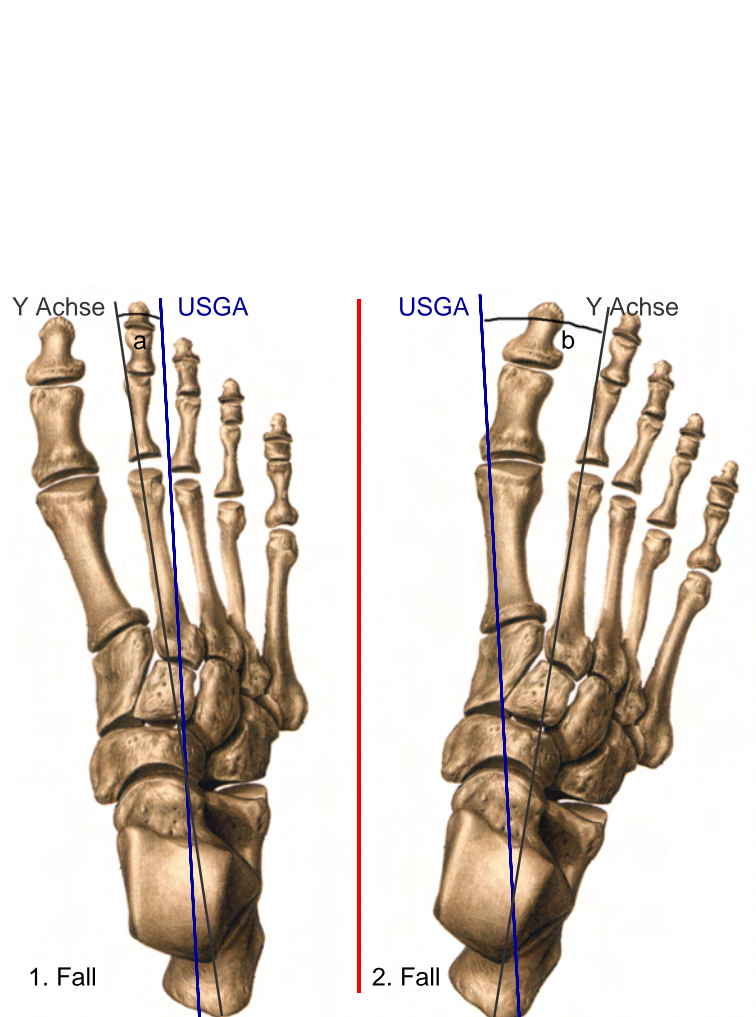


Abbildung 66: Deviation relativ zur Trittspur. Die schwarze Gerade entspricht der Projektion der Y Achse, die blaue Gerade der projizierten USGA auf die Transversalebene. Im ersten Fall wurde ein negativer Deviationswinkel bestimmt, im zweiten Fall ein positiver. Trotzdem ist die Deviation beider Achsen relativ zur Körpersagittalebene, dargestellt durch die rote Linie, deckungsgleich.

6 Zusammenfassung

Zielstellung der vorliegenden Arbeit war, ein Instrumentarium zu entwickeln, mit dem es möglich ist, die Achsen des Sprunggelenks an größeren Fallzahlen zu ermitteln. Insbesondere mussten die in Kapitel 3.1 formulierten Anforderungen an das Verfahren erfüllt werden:

- ◇ Mobil und damit im Feld einsetzbar,
- ◇ automatischer Dateneinzug und Datenverarbeitung,
- ◇ Echtzeit-Berechnung und grafische Aufbereitung der Ergebnisse,
- ◇ geringer Zeitaufwand pro Messung um große Fallzahlen zu ermöglichen,
- ◇ größtmögliche Objektivität durch benutzerfreundliche GUI und geführten Messablauf.

Mit dem ersten im Feld einsetzbaren Prototypen des Messverfahrens wurden bereits all diese geforderten Eigenschaften erfolgreich umgesetzt. Die Ergebnisse aus den Validierungen und Reliabilitätstest am mechanischen Modell lieferten mit Fehler für die Winkel $\Delta E < 1^\circ$ hervorragende Ergebnisse. Nach ersten Versuchen in vivo wurden einige Berechnungsroutinen aber auch der Messablauf erneut modifiziert:

- ◇ Die Ultraschalldaten werden durch einen Lowpassfilter geglättet,
- ◇ die Berechnungsroutinen wurde verändert, statt instantaner werden die Parameter finiter Rotationsachsen berechnet,
- ◇ der Messablauf wurde ebenfalls modifiziert, die Inversions- und Eversionsbewegung wird nun mehrmals durchgeführt,
- ◇ durch die Veränderung des Messablaufs musste auch die Routine zum Auffinden geeigneter Markerpositionen zur Berechnung der Rotationsachsen modifiziert werden.

Mit diesen Verbesserungen ist es möglich, Sprunggelenkachsen in vivo mit einem Fehler für die Winkel kleiner $\Delta E_{Winkel} < 2^\circ$ bei einem geübten Probanden zu bestimmen. Die Hauptfehlerquelle stellt nach wie vor die Bewegungsausführung um die USGA dar. Um diesen Einfluss zu minimieren, werden Mittelwert und Standardabweichung der Parameter der bestimmten Sprunggelenkachsen aus den Einzelbewegungen berechnet und ausgegeben. So kann nicht nur der Einfluss einer unsauber

ausgeführten Einzelbewegung reduziert werden, gleichzeitig können auch anhand des Betrags der Standardabweichung Aussagen über Güte bzw. Genauigkeit der Messung gemacht werden. Da davon ausgegangen werden kann, dass der Messfehler normalverteilt ist, wird die reelle gesuchte Größe mit Zunahme der Messwiederholungen durch den berechneten Mittelwert schärfer abgebildet. Der entscheidende Vorteil gegenüber anderen bereits eingesetzten nicht invasiven in vivo Messmethoden (vergleiche [ALT 2001, VAN DEN BOGERT et al. 1994]) besteht in der automatischen Datenerfassung und Datenverarbeitung. Dadurch ist es möglich, die Lage der USGA auch mehrmals zu bestimmen und Aussagen über die Messgenauigkeit bzw. die Fehler der erfassten Parameter zu machen.

In ersten Feldeinsätzen wurden die Sprunggelenkachsen von insgesamt $n = 97$ Probanden bestimmt. Die Deviationswinkel der USGA waren mit durchschnittlich $\alpha_{Dev} = 3,4^\circ$ kleiner als bei in vitro Untersuchungen, aber nur minimal kleiner als der von Alt gemessene mittlere Deviationswinkel von $\alpha_{Dev} = 7,8^\circ$ [ALT 2001]. Die Standardabweichung der Deviation bei $n = 97$ Probanden betrug $\sigma_{Dev} = 11,4^\circ$. Damit scheint eine starke interindividuelle Varianz der Lage der USGA betreffend bestätigt zu sein, wenngleich die biologische Zweckmäßigkeit dieser Unterschiede noch geklärt werden muss.

Erstmals ist es möglich hinreichend genau in vivo und nicht invasiv die Achsen des Sprunggelenks zu bestimmen. Mit einer durchschnittlichen Messdauer von weniger als 10 Minuten bietet das System die Möglichkeit, auch eine große Anzahl an Probanden zu vermessen. Die Frage, ob die Lage der Achsen des Sprunggelenkes einen Zusammenhang zu akuten Sprunggelenkverletzungen oder chronischen Überlastungsschäden erkennen lassen [JONES 1945, MCCLAY und BRAY 1996, HINTERMANN 1998], sollte sich mit dieser Methode beantworten lassen.

6.1 Ausblick

Die Anzahl der Probanden war mit $n = 97$ zu gering, um statistische Aussagen über den Zusammenhang von Achslagen des unteren oder oberen Sprunggelenks und chronische Überlastungsschäden bzw. akute Verletzungen des Sprunggelenks machen zu können. Es sollten Studien anschließen, die unter Verwendung dieser Methode eine größere Stichprobe untersuchen. Dabei sollten diese nachfolgenden Untersuchungen unbedingt Parameter der Beingeometrie wie z. B. die Trittspur zusätzlich zu den Parametern der Sprunggelenkachsen erfassen. Möglicherweise lässt sich eine Kombination aus diesen erfassten Größen als verletzungsbegünstigend identifizieren. Desweiteren ist es unbedingt notwendig zwischen lateralen und medialen Verletzungen des Sprunggelenkkomplexes zu unterscheiden, da anzunehmen ist, dass den verschiedenen Verletzungsmechanismen auch unterschiedliche mechanische Gegebenheiten zugrunde liegen.

Eine Modellierung des Sprunggelenkkomplexes könnte zum besseren Verständnis der Vorgänge im Sprunggelenk und damit zur Theoriebildung beitragen und erscheint deswegen notwendig. Mit einem solchen Modell könnten für unterschiedliche Sprunggelenkachs-lagen die Verletzungsmechanismen bzw. die Mechanismen, die zu chronischen Überlastungsschäden führen, beleuchtet werden. Die mithilfe dieses Verfahrens erhaltenen in vivo Daten des Sprunggelenks, könnten bei der Entwicklung eines solchen Modells ebenfalls hilfreich sein.

Sollten sich bestimmte Sprunggelenk-Achslagen als verletzungsbegünstigend identifizieren lassen, könnten Risikogruppen frühzeitig erkannt und damit prophylaktische Maßnahmen zur Vermeidung von Sprunggelenkverletzungen ergriffen werden. Die Unterschiede zwischen in vitro und in vivo Untersuchungen, die Deviation des USG betreffend lassen vermuten, dass die Lage der USGA nicht allein durch die artikulierenden Gelenkflächen von Talus und Calcaneus bestimmt werden, sondern auch durch den anliegenden Kapselbandapparat. Das wirft die Frage auf, ob die Lage der USGA durch Training und damit verbundene Haltungsänderungen verändert werden kann.

Zur Beantwortung dieser Fragen ist eine weitere Forschung auf diesem Gebiet unbedingt notwendig.

Literatur

- [ALT et al. 1998] ALT, W., A. GOLLHOFER, H. A. C. JACOB, H. LOHRER und B. RAPPE (1998). *In vitro and in vivo determination of ankle joint and subtalar joint axes using the helical axis method..* ISBS Proceedings, Konstanz, S. 288–291.
- [ALT 2001] ALT, W. W. (2001). *Biomechanische Aspekte der Gelenkstabilisierung.* Maurer.
- [ARNDT et al. 2004] ARNDT, ANTON, P. WESTBLAD, I. WINSON, T. HASHIMOTO und A. LUNDBERG (2004). *Ankle and subtalar kinematics measured with intracortical pins during the stance phase of walking..* Foot Ankle Int, 25(5):357–364.
- [BARNETT und NAPIER 1952] BARNETT, C. H. und J. R. NAPIER (1952). *The axis of rotation at the ankle joint in man; its influence upon the form of the talus and the mobility of the fibula..* J Anat, 86(1):1–9.
- [BARTSCH 1988] BARTSCH, H. J. (1988). *Taschenbuch Mathematischer Formeln.* Verlag Harri Deutsch Thun.
- [BAUMHAUER et al. 1995] BAUMHAUER, J. F., D. M. ALOSA, A. F. RENSTRÖM, S. TREVINO und B. BEYNNON (1995). *A prospective study of ankle injury risk factors..* Am J Sports Med, 23(5):564–570.
- [BEGGS 1966] BEGGS, J. S. (1966). *Advanced Mechanism.* The Macmillan Company.
- [BEYNNON et al. 2001] BEYNNON, B. D., P. A. RENSTRÖM, D. M. ALOSA, J. F. BAUMHAUER und P. M. VACEK (2001). *Ankle ligament injury risk factors: a prospective study of college athletes..* J Orthop Res, 19(2):213–220.
- [BOEHM 1988] BOEHM, B. W. (1988). *A Spiral Model of Software Development and Enhancement.* Computer No. 5, 21:61–72.
- [VAN DEN BOGERT et al. 1994] BOGERT, A. J. VAN DEN, G. D. SMITH und B. M. NIGG (1994). *In vivo determination of the anatomical axes of the ankle joint complex: an optimization approach..* J Biomech, 27(12):1477–1488.
- [BRONSTEIN und SEMENDJAJEW 1997] BRONSTEIN, I. N. und K. A. SEMENDJAJEW (1997). *Taschenbuch der Mathematik.* Verlag Harri Deutsch.
- [DALHEIMER 1998] DALHEIMER, M. K. (1998). *LATEX kurz & gut.* O'Reilly.
- [DEBRUNNER und JACOB 1998] DEBRUNNER, H. U. und H. A. C. JACOB (1998). *Biomechanik des Fußes.* F. Enke Stuttgart.

- [DEMARAIS et al. 2002] DEMARAIS, DENISE M, R. A. BACHSCHMIDT und G. F. HARRIS (2002). *The instantaneous axis of rotation (IAOR) of the foot and ankle: a self-determining system with implications for rehabilitation medicine application..* IEEE Trans Neural Syst Rehabil Eng, 10(4):232–238.
- [DENEGAR et al. 2002] DENEGAR, CRAIG R, J. HERTEL und J. FONSECA (2002). *The effect of lateral ankle sprain on dorsiflexion range of motion, posterior talar glide, and joint laxity..* J Orthop Sports Phys Ther, 32(4):166–173.
- [DOUGHERTY 2002] DOUGHERTY, J. (2002). *XMath*. Internet, <http://www.codeproject.com>.
- [DOWNING et al. 1978] DOWNING, J. W., S. J. KLEIN und J. C. D'AMICO (1978). *The axis of motion of the rearfoot complex..* J Am Podiatry Assoc, 68(7):484–499.
- [ELFTMAN und MANTER 1935] ELFTMAN, H. und J. MANTER (1935). *The evolution of the human foot with especial reference to the joints.* J Anat Lond, 70:56–57.
- [ENGSBERG 1992] ENGSBERG, J. R. (1992). *A Method to Determine the Range of Motion of the Ankle Joint Complex, In Vivo.* J. Biomechanics, 26:69–76.
- [ESAOTE 2004] ESAOTE, BIOMEDICA DEUTSCHLAND GMBH (2004). *G-Scan Dedicated MRI*. Anleitung, MRI Sportklinik Canstatt.
- [FICK 1911] FICK, R. (1911). *Handbuch der Anatomie und Mechanik der Gelenke*. Verlag Gustav Fischer.
- [GAWEHN 1993] GAWEHN, W. (1993). *Vektor- und Matrizenalgebra für Maschinenbauer*. Mannheim, Leipzig, Wien, Zürich, BI-Wiss.-Verl.
- [GROSS et al. 1994] GROSS, M. T., A. M. BATTEN, A. L. LAMM, J. L. LORREN, J. J. STEVENS, J. M. DAVIS und G. B. WILKERSON (1994). *Comparison of DonJoy ankle ligament protector and subtalar sling ankle taping in restricting foot and ankle motion before and after exercise..* J Orthop Sports Phys Ther, 19(1):33–41.
- [GROSSMANN 1991] GROSSMANN, S. (1991). *Mathematischer Einführungskurs für die Physik*. Teubner Stuttgart.
- [GÜNTHER 2005] GÜNTHER, K. (2005). *LATEX ge-packt*. mitp-Verlag, Bonn.
- [HAINZL 1974] HAINZL, J. (1974). *Mathematik für Naturwissenschaftler*. Teubner Stuttgart.

- [HARTRUMPF 1991] HARTRUMPF, M. (1991). *Verfahren zur Lagebestimmung eines bewegten Objektes nach dem Triangulationsverfahren*. Technischer Bericht Fraunhofer Gesellschaft.
- [HENKE und GLÄSER 2001] HENKE, T. und H. GLÄSER (2001). *Sportunfälle - Häufigkeit, Kosten, Prävention*. ARAG Allgemeine Sportversicherungen.
- [HERTEL 2000] HERTEL, J. (2000). *Functional instability following lateral ankle sprain*.. Sports Med, 29(5):361–371.
- [HERTEL 2002] HERTEL, JAY (2002). *Functional Anatomy, Pathomechanics, and Pathophysiology of Lateral Ankle Instability*.. J Athl Train, 37(4):364–375.
- [HICKS 1953] HICKS, J. H. (1953). *The mechanics of the foot. I. The joints*.. J Anat, 87(4):345–357.
- [HINTERMANN 1998] HINTERMANN, B. (1998). *Biomechanik der Sprunggelenke–Unfallmechanismen*.. Swiss Surg., 4:63–69.
- [HINTERMANN und HOLZACH 1992] HINTERMANN, B. und P. HOLZACH (1992). *[Sub-Achilles bursitis–a biomechanical analysis and clinical study]*. Z Orthop Ihre Grenzgeb, 130(2):114–119.
- [HINTERMANN et al. 1994] HINTERMANN, B., B. M. NIGG und C. SOMMER (1994). *Foot movement and tendon excursion: an in vitro study*.. Foot Ankle Int, 15(7):386–395.
- [HOCHWALD et al. 2004] HOCHWALD, H., W. ALT und G. BUSCH (2004). *Ultrasonic Pulse-Echo based in Vivo Real-time Determination of the Ankle and Subtalar Joint Axis*. In: *9th Annual Congress, European College of Sport Science*.
- [INMAN 1976] INMAN, T. V. (1976). *The Joints of the Ankle*.
- [ISMAN et al. 1969] ISMAN, R. E., V. T. V. T. INMAN und P. M. POOR (1969). *Anthropometric Studies of the Human Foot and Ankle*. Bulletin of Prosthetics Research, 11:97–108.
- [JACOB 1989] JACOB, H. A. C. (1989). *Biomechanics of the forefoot*. Doktorarbeit, Bioengineering Unit University of Strathclyde.
- [JONES 1945] JONES, R. L. (1945). *The Functional Significance of the Declination of the Axis of the Subtalar Joint*.. Anat Rec, 93:151–159.
- [KANNUS et al. 2002] KANNUS, P., M. PAAVOLA, T. PAAKKALA, J. PARKKARI, T. JÄRVINEN und M. JÄRVINEN (2002). *[Pathophysiology of overuse tendon injury]*. Radiologe, 42(10):766–770.

- [KUTTRUFF 1988] KUTTRUFF, H. (1988). *Physik und Technik des Ultraschalls*. Hirzel Verlag.
- [KUTZNER 1983] KUTZNER, J. (1983). *Grundlagen der Ultraschallphysik*. Teubner Stuttgart.
- [KUYPERS 1989] KUYPERS, F. (1989). *Klassische Mechanik*. VCH.
- [VAN LANGELAAN 1983] LANGELAAN, E. J. VAN (1983). *A kinematical analysis of the tarsal joints. An X-ray photogrammetric study.. Acta Orthop Scand Suppl*, 204:1–269.
- [LASSITER et al. 1989] LASSITER, T. E., T. R. MALONE und W. E. GARRETT (1989). *Injury to the lateral ligaments of the ankle.. Orthop Clin North Am*, 20(4):629–640.
- [LOUWERENS et al. 1995] LOUWERENS, J. W., A. Z. GINAI, B. VAN LINGE und C. J. SNIJDERS (1995). *Stress radiography of the talocrural and subtalar joints.. Foot Ankle Int*, 16(3):148–155.
- [LUNDBERG 1989] LUNDBERG, A. (1989). *Kinematics of the ankle and foot. In vivo roentgen stereophotogrammetry.. Acta Orthop Scand Suppl*, 233:1–24.
- [LÄUGER 1992] LÄUGER, K. (1992). *Mathematik kompakt*. Oldenburg Verlag GmbH.
- [MANTER 1941] MANTER, J. T. (1941). *Movements of the subtalar and transversal talar joints. Anat Rec.*, 80:397–409.
- [MAYER und DICKHUT 2002] MAYER, F. und H. H. DICKHUT (2002). *Chronische Achillessehnenbeschwerden im Sport*. Deutsche Zeitschrift für Sportmedizin.
- [MCCLAY und BRAY 1996] MCCLAY, I. und J. BRAY (1996). *The subtalar angle: a proposed measure of rearfoot structure.. Foot Ankle Int*, 17(8):499–502.
- [MERZIGER und WIRTH 1993] MERZIGER, G. und T. WIRTH (1993). *Repetitorium der höheren Mathematik*. Binomiverlag, Springe Verlag.
- [MICROSOFT 2005] MICROSOFT (2005). *MSDN Home Page*. <http://msdn.microsoft.com>.
- [MILLNER 1987] MILLNER, R. (1987). *Ultraschalltechnik: Grundlagen u. Anwendung*. VEB Fachbuchverlag Leipzig.

- [MÖNICKE 1994] MÖNICKE, H. J. (1994). *Zur Messung und Analyse kinematischer Prozesse mittels terrestrischer Meßverfahren*. In: *XX International Congress, Melbourne*.
- [OLMSTED et al. 2004] OLMSTED, LAUREN C., L. I. VELA, C. R. DENEGAR und J. HERTEL (2004). *Prophylactic Ankle Taping and Bracing: A Numbers-Needed-to-Treat and Cost-Benefit Analysis*. J Athl Train, 39(1):95–100.
- [PAUS 1995] PAUS, H. J. (1995). *Physik in Experimenten und Beispielen*. Carl Hanser Verlag.
- [PETERSON und RENSTRÖM 2002] PETERSON, L. und P. RENSTRÖM (2002). *Verletzungen im Sport*. Deutscher Ärzte-Verlag.
- [PHILLIPS und LIDTKE 1992] PHILLIPS, R. D. und R. H. LIDTKE (1992). *Clinical determination of the linear equation for the subtalar joint axis*. J Am Podiatr Med Assoc, 82(1):1–20.
- [ROOT et al. 1966] ROOT, M. L., J. H. WEED und T. E. SGORIAT (1966). *Axis of Motion of the Subtalar Joint, an Anatomical Study*. J Vestibular Res, 56:149–155.
- [ROYCE 1970] ROYCE, W. W. (1970). *Managing the Development of Large Software Systems: Concepts and Techniques*. WESCON.
- [SARRAFIAN 1993] SARRAFIAN, S. K. (1993). *Biomechanics of the subtalar joint complex*. Clin Orthop Relat Res, (290):17–26.
- [SEGESSER und NIGG 1993] SEGESSER, B. und B. M. NIGG (1993). *Orthopädische und biomechanische Konzepte Sportschuhbau*. Sportverletzung und Sportschaden, 7:150–162.
- [SIEGLER et al. 1988] SIEGLER, S., J. CHEN und C. D. SCHNECK (1988). *The three-dimensional kinematics and flexibility characteristics of the human ankle and subtalar joints—Part I: Kinematics*. J Biomech Eng, 110(4):364–373.
- [SIEGLER et al. 2005] SIEGLER, S., J. K. UDUPA, S. I. RINGLEB, C. W. IMHAUSER, B. E. HIRSCH, D. ODHNER, P. K. SAHA, E. OKEREKE und N. ROACH (2005). *Mechanics of the ankle and subtalar joints revealed through a 3D quasi-static stress MRI technique*. J Biomech, 38(3):567–578.
- [SOBOTA 2000] SOBOTA (2000). *Atlas der Anatomie des Menschen*. Putz R., Pabst R.
- [SPHAR 1999] SPHAR, C. (1999). *Visual C++ 6 Schritt für Schritt*. Microsoft Press.

- [STACOFF et al. 2000] STACOFF, A., B. M. NIGG, C. REINSCHMIDT, A. J. VAN DEN BOGERT, A. LUNDBERG, E. STÜSSI und J. DENOTH (2000). *Movement coupling at the ankle during the stance phase of running..* Foot Ankle Int, 21(3):232–239.
- [SUTILOV 1984] SUTILOV, V. A. (1984). *Physik des Ultraschalls*. Springer Verlag.
- [TEOFILOV 2003] TEOFILOV, N. (2003). *NTGraph3D ActiveX Controll v2.1*. <http://www.codeproject.com>. An ATL/STL ActiveX control based on OpenGL library for 3D data visualization.
- [THALIP 2000] THALIP, F. (2000). *Ultraschall-Füllstandsmessung nach dem Impulslaufzeit-Meßprinzip mit verbesserter Echoimpulserkennung*. Shaker Verlag.
- [TIBESKU und PÄSSLER 2005] TIBESKU, C. O. und H. H. PÄSSLER (2005). [*Jumper's knee—a review*]. Sportverletz Sportschaden, 19(2):63–71.
- [WAGNER 2006] WAGNER, C. (2006). *Zur Analyse der Sprunggelenkachsen in vivo*. Diplomarbeit, Institut für Sportwissenschaft der Universität Stuttgart.
- [WESTBLAD et al. 2002] WESTBLAD, PÄR, T. HASHIMOTO, I. WINSON, A. LUNDBERG und A. ARNDT (2002). *Differences in ankle-joint complex motion during the stance phase of walking as measured by superficial and bone-anchored markers..* Foot Ankle Int, 23(9):856–863.
- [WILDER und SETHI 2004] WILDER, ROBERT P und S. SETHI (2004). *Overuse injuries: tendinopathies, stress fractures, compartment syndrome, and shin splints..* Clin Sports Med, 23(1):55–81, vi.
- [WRIGHT et al. 2000] WRIGHT, I. C., R. R. NEPTUNE, A. J. VAN DEN BOGERT und B. M. NIGG (2000). *The influence of foot positioning on ankle sprains..* J Biomech, 33(5):513–519.
- [XORX 2005] XORX, USER (2005). *Triangulation (Messtechnik)*. <http://de.wikipedia.org>. <http://www.wikipedia.de>.
- [YING et al. 2004] YING, NING, W. KIM, Y. WONG und B. H. KAM (2004). *Analysis of passive motion characteristics of the ankle joint complex using dual Euler angle parameters..* Clin Biomech (Bristol, Avon), 19(2):153–160.
- [ZEBRIS MEDIZINTECHNIK 1999] ZEBRIS MEDIZINTECHNIK, GMBH (1999). *Win-Data 2.19 für Windows, Programm zur Meßdatenerfassung*.

LITERATURVERZEICHNIS

- [ZEBRIS MEDIZINTECHNIK 2000] ZEBRIS MEDIZINTECHNIK, GMBH (2000). *Win-Jaw 10.x für Windows*.
- [ZEBRIS MEDIZINTECHNIK 2004] ZEBRIS MEDIZINTECHNIK, GMBH (2004). *ZEBSDK*.
- [ZIEGLER 1996] ZIEGLER, C. (1996). *Entwicklung und Erprobung eines Positionierungssystems für den lokalen Anwendungsbereich*. Verlag der Bayerischen Akademie der Wissenschaft.

A Prozessablauf des Messdurchgangs

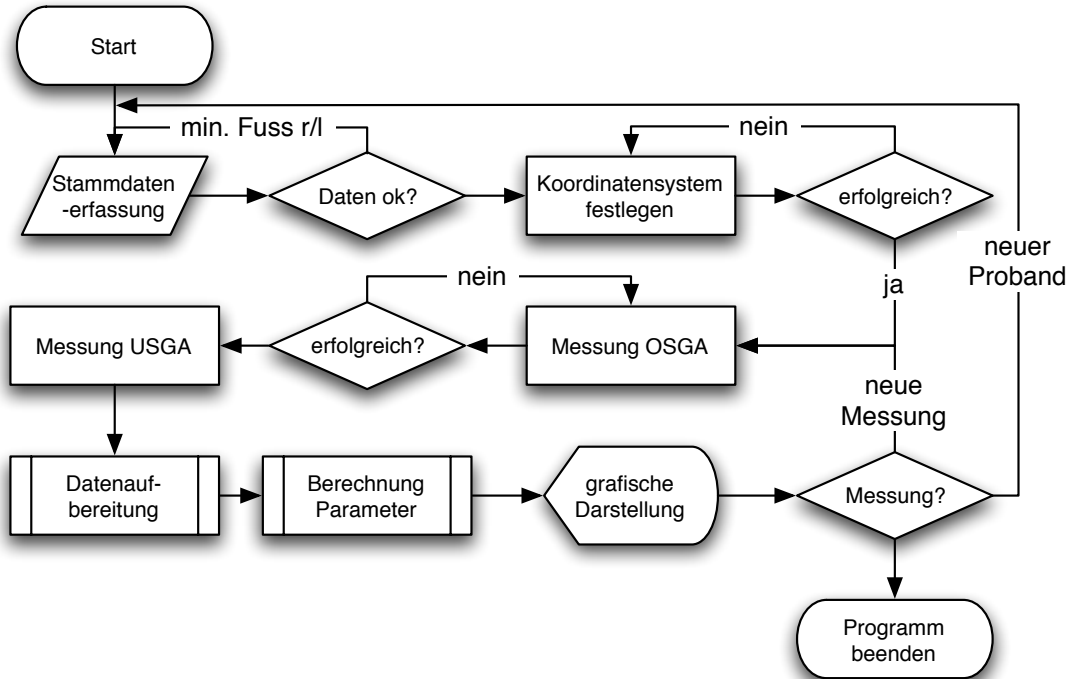


Abbildung 67: Prozessablauf der Messmethode.

B Satz vom Umfangswinkel

Ist k ein Kreis mit dem Mittelpunkt M , und sind P_1 und P_2 zwei Punkte auf dem Kreis k , dann heißt der Winkel P_1MP_2 der *Mittelpunktswinkel* der Sehne P_1P_2 im Kreis k (siehe Abbildung 68 auf Seite 124). Die folgende Verallgemeinerung gilt für beliebige Dreiecke und heißt Umfangswinkelsatz oder Peripheriewinkelsatz:

Sind P_1, P_2 und P_3 Punkte auf einem Kreis k mit dem Mittelpunkt M , und ist der Winkel $P_1P_2P_3$ spitz, so ist der Winkel P_1MP_2 doppelt so groß wie der Winkel $P_1P_3P_2$.

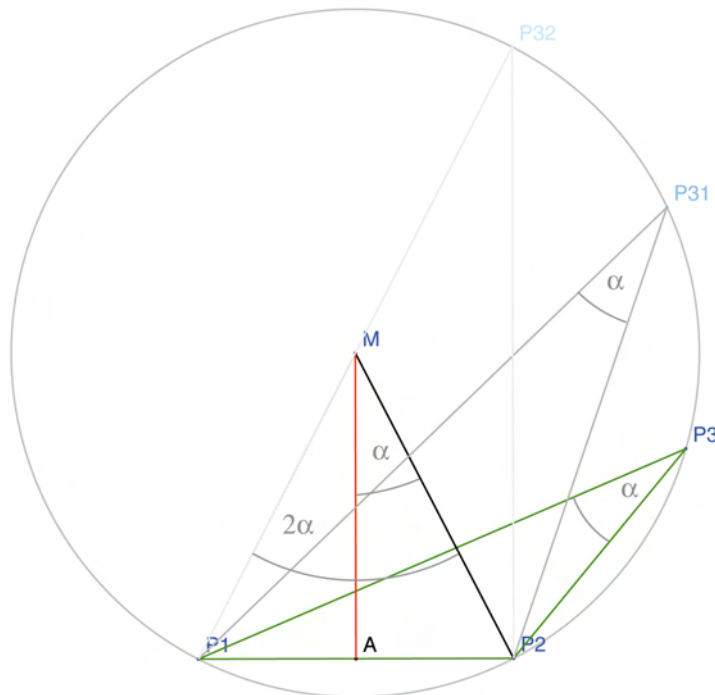


Abbildung 68: Der Winkel P_1MP_2 ist immer doppelt so groß wie der Winkel $P_1P_3P_2$. Werden die Punkte P_1 und P_2 nicht bewegt, verändert sich der Winkel α ($P_1P_3P_2$) nicht. In der Abbildung wurde der Punkt P_3 in den Punkt P_{31} und P_{32} verschoben, der Winkel α blieb dabei erhalten.

C C++ Klasse CalcAxis

```

1 // calcAxis.cpp: Implementierung der Klasse calcAxis.
2 //
3 //////////////////////////////////////////////////////////////////////////////////////////////////////////////////////////////////
4
5 #include "stdafx.h"
6 #include "calcAxis.h"
7 #include <iostream.h>
8 #include <math.h>
9 #include "XMath.h"
10
11 #define PI          3.1415926535897932384626433832795 f
12
13 //////////////////////////////////////////////////////////////////////////////////////////////////////////////////////////////////
14 // Konstruktion/Destruktion
15 //////////////////////////////////////////////////////////////////////////////////////////////////////////////////////////////////
16
17 calcAxis::calcAxis() //Klasse inizieren
18 {
19     //Setz die Bool Variable auf false, wird bei Angabe von Tibia Koordinatensys. auf true gesetzt
20     XYZ = false;
21 }
22 }
23
24 //Berechnung des Temperatur Faktors
25 calcAxis::calcTemp(double mlx1, double mly1, double mlz1, double m2x1, double m2y1, double m2z1)
26 {
27     UX_VECTOR3 MM(mlx1-m2x1, mly1-m2y1, mlz1-m2z1); //Vektor zw. M1 u. M2 des Taststiftes
28     double MML = MM.Magnitude(); //gemessene Laenge des Vektors
29     tempFact = 50/ MML; //Temperaturfaktor
30 }
31
32 // Berechnung von Punkten aus 2 Zebris Markern des Taststiftes (Dorn vorn --PF--)
33 calcAxis::calcPeakFront(double x1, double y1, double z1,
34     double x2, double y2, double z2, UX_VECTOR3 *PF)
35 {
36     UX_VECTOR3 M(x1-x2,y1-y2,z1-z2); //Richtungsvektor M2M1
37     M.Normalize(); //Normiert den richtungsvektor
38     UX_VECTOR3 AP(x2,y2,z2);
39     *PF = V3.Add(AP,V31.Multiply(M,85));
40 }
41 }
42
43 //Berechnung Taststift (Dorn hinten --PB--)
44 calcAxis::calcPeakBack(double x1, double y1, double z1,
45     double x2, double y2, double z2, UX_VECTOR3 *PB)
46 {
47     UX_VECTOR3 M(x2-x1,y2-y1,z2-z1); //Richtungsvektor M1M2
48     M.Normalize(); //Normiert den richtungsvektor
49     UX_VECTOR3 AP(x1,y1,z1);
50     *PB = V3.Add(AP,V31.Multiply(M,205));
51 }
52 }
53
54 //Berechnung der OSGA mit Malleolen Punkte
55 calcAxis::meshOSG(double mlp1x, double mlply, double mlplz,
56     double m2p1x, double m2ply, double m2p1z,
57     double m1p2x, double m1p2y, double m1p2z,
58     double m2p2x, double m2p2y, double m2p2z)
59 {
60     m1p1x = mlp1x * tempFact;
61     m1ply = mlply * tempFact;
62     m1p1z = mlplz * tempFact;
63     m2p1x = m2p1x * tempFact;
64     m2ply = m2ply * tempFact;
65     m2p1z = m2p1z * tempFact;
66
67     m1p2x = m1p2x * tempFact;
68     m1p2y = m1p2y * tempFact;
69     m1p2z = m1p2z * tempFact;
70     m2p2x = m2p2x * tempFact;
71     m2p2y = m2p2y * tempFact;
72     m2p2z = m2p2z * tempFact;
73
74
75     calcPeakFront(m1p1x, m1ply, m1p1z, m2p1x, m2ply, m2p1z, &ML); //Erstellt den Vektor auf ML
76
77     calcPeakFront(m1p2x, m1p2y, m1p2z, m2p2x, m2p2y, m2p2z, &MM); //Erstellt Vektor auf MM
78
79     if (XYZ) {
80         //Vektoren werden transformiert
81         transform(&ML);

```

ANHANG C: QUELLCODE DER KLASSE CALCAXIS

```

82     transform(&MM);
83 }
84 mOSG.RV = V3.Subtract(ML,MM); //Berechnen des Richtungsvektors
85 dMM.Distance = mOSG.RV.Magnitude(); //Berechne Abstand der Malleolenpunkte
86 mOSG.RV.Normalize(); //Normieren des Richtungsvektors
87 mOSG.AP = ML; //Zuweisen Aufpunkt der OSGA, Malleolus lateralis
88
89 //Berechnung des Deviationswinkels
90 calcDevOsg(&mOSG.RV,&mOSG.Dev);
91
92 //Berechnung des Inclinationswinkels
93 calcIncOsg(&mOSG.RV, &mOSG.Inc);
94
95
96 //Berechnung Abstand OSG zu Kraftvektor Achilles
97 calcDistance(&Otrans, &WWN, &mOSG.AP, &mOSG.RV, &lever.OSG.MM);
98
99 }
100
101 //////////////////////////////////////
102 //Methode zur Übergabe der durch Zebris eingelesenen Markerpunkte des
103 //Tibia-Koordinatensystems und dessen Bestimmung
104 //////////////////////////////////////
105 calcAxis::coordTibia(double m1plx, double m1ply, double m1plz,
106                     double m2plx, double m2ply, double m2plz,
107                     double m1p2x, double m1p2y, double m1p2z,
108                     double m2p2x, double m2p2y, double m2p2z,
109                     double m1p3x, double m1p3y, double m1p3z,
110                     double m2p3x, double m2p3y, double m2p3z,
111                     double m1p4x, double m1p4y, double m1p4z,
112                     double m2p4x, double m2p4y, double m2p4z)
113 {
114     //Variablen definieren
115     float HU, ab12, ab23, ab13;
116
117     //Berechnen des Faktors zur Schallausbreitungsgeschwindigkeit (TemperaturabhLngig)
118     calcTemp(m1plx, m1ply, m1plz, m2plx, m2ply, m2plz);
119
120
121     //Berechne aus 2 Zeigerpunkte -> Punkte des Tibiakoordinatensystems
122     //Punkt 1 auf der Tibia
123     UXVECTOR3 MK1;
124     calcPeakFront(m1plx, m1ply, m1plz, m2plx, m2ply, m2plz, &MK1);
125     //Punkt 2 auf der Tibia
126     UXVECTOR3 MK2;
127     calcPeakFront(m1p2x, m1p2y, m1p2z, m2p2x, m2p2y, m2p2z, &MK2);
128     //Punkt auf der Achillessehne
129     UXVECTOR3 MK3;
130     calcPeakBack(m1p3x, m1p3y, m1p3z, m2p3x, m2p3y, m2p3z, &MK3);
131     //Punkt auf der Standfläche
132     UXVECTOR3 MK4;
133     calcPeakFront(m1p4x, m1p4y, m1p4z, m2p4x, m2p4y, m2p4z, &MK4);
134
135     //////////////////////////////////////
136     //Erzeugen eines Kartesischen Koordinatensystems mit normierten Achsen U-V-W
137     //////////////////////////////////////
138
139     ab12=V3.Distance(MK1,MK2);
140     ab23=V3.Distance(MK2,MK3);
141     ab13=V3.Distance(MK1,MK3);
142     //MK1 wird dem Aufpunkt zugewiesen (f§r Berechnung Abstand USG zur Tibialngsachse)
143     Tibia.AP = MK1;
144
145     //Berechnung des Höhenunterschiedes zwischen MK2 und MK3 bezüglich U-V-W Koord.
146     HU=(ab13*ab13-ab12*ab12-ab23*ab23)/(2*ab12);//entspricht "e" in meiner Zeichnung
147
148     //Bestimmung der W-Achse (Normiert) (Tibialngsachse)
149     WWN=V3.Subtract(MK1,MK2);
150     WWN.Normalize();
151
152     //Bestimmung des Schnittpunktes zwischen W-Achse und der
153     //Orthogonalen zur W-Achse durch den Punkt MK3
154     UXVECTOR3 HUW;
155     HUW=V3.Subtract(MK2, V31.Multiply(HU,WWN));
156
157     //Bestimmung der V-Achse (Normiert)
158     //(Achse Schnitt Sagital mit Transversal, Achse nach vorne)
159     VVN=V3.Subtract(HUW,MK3);
160     VVN.Normalize();
161
162     //Bestimmung der U-Achse (Normiert) (Achse durch Maleolen)
163     UUN=V3.CrossProduct(VVN,WWN);
164     UUN.Normalize();
165

```

ANHANG C: QUELLCODE DER KLASSE CALCAXIS

```

166 //Berechnung Vektor Bodenpunkt - Achillesmarker
167 UX_VECTOR3 BA;
168 BA=V3.Subtract(MK3,MK4);
169
170 //Winkel BA UUN(Tibia-Längsachsenrichtung)
171 double Winkel_BA;
172 Winkel_BA=V3.AngleBetweenVectors(BA,WWN);
173 //Länge des Vektors BA
174 double l_BA;
175 l_BA = BA.Magnitude();
176 //Abstand Boden Achillesmarker
177 double LAO;
178 //Achtung!!! trigonometrische Funktionen brauchen Winkel im BOGENMASS!!!
179 LAO=l_BA*cos(Winkel_BA*PI/180);
180 //Berechnung des Koordinatenursprungs O
181 O=V3.Add(V31.Multiply(LAO,-WWN),MK3);
182 //wurde ein Tibia Koordinatensystem berechnet XYZ = 1
183 XYZ = true;
184 //Transformierter Koordinatenursprung
185 Otrans.X = 0;
186 Otrans.Y = 0;
187 Otrans.Z = 0;
188 }
189
190
191 ////////////////////////////////////////////////////////////////////////////////////////////////////////////////////////////////////
192 //Methode für Koordinatentransformation. Transformiert wird immer genau ein Punkt
193 ////////////////////////////////////////////////////////////////////////////////////////////////////////////////////////////////////
194 calcAxis::transform(UX_VECTOR3 *vect) {
195
196
197
198 ////////////////////////////////////////////////////////////////////////////////////////////////////////////////////////////////////
199 //Durchführung der Koordinatentransformation.
200 //Ursprung des Tibiasystems liegt in ref2 bzw. MK2
201 ////////////////////////////////////////////////////////////////////////////////////////////////////////////////////////////////////
202 //Definition des ersten Messpunktes, welcher von Zebri ermittelt wurde
203 UX_VECTOR3 point1_alt;
204 point1_alt = *vect;
205 //Initialisierung des um den Vektor MK2 zurückverschobenen Messpunktes
206 UX_VECTOR3 point1_alt1;
207 //Verschiebung des Markerpunktes um O(Ursprung des Tibia-Koordinatensystems)
208 point1_alt1 = V3.Subtract(point1_alt, O);
209 //Definition der Abbildungsmatrix ABB zur Koordinatentransformation
210 UX_MATRIX3 ABB(UUN.X,VVN.X,WWN.X,UUN.Y,VVN.Y,WWN.Y,UUN.Z,VVN.Z,WWN.Z);
211 UX_MATRIX3 ABBI;
212 //Die Inverse der Abbildungsmatrix
213 //(Der Markerpunkt wird nur mit dieser Inversen multipliziert!)
214 ABBI = ABB.Inverse();
215 //Bestimmung des transformierten Punktes point1_neu
216 *vect = M3.Multiply(ABBI,point1_alt1);
217 }
218
219 ////////////////////////////////////////////////////////////////////////////////////////////////////////////////////////////////////
220 //Methode für Koordinatentransformation Rechts in Links System
221 ////////////////////////////////////////////////////////////////////////////////////////////////////////////////////////////////////
222 calcAxis::transform_rl(UX_VECTOR3 *vect) {
223
224 //Definition der Abbildungsmatrix zur Koordinatentransformation
225 //Da WWN ungeflhr -1, aber nur die X(U) Komponente transformiert
226 //werden soll (gespiegelt) WWN-> -WWN
227 UX_MATRIX3 ABM(-1,0,0,0,1,0,0,0,1);
228 *vect = M3.Multiply(ABM,*vect);
229 }
230 ////////////////////////////////////////////////////////////////////////////////////////////////////////////////////////////////////
231 //Berechnung von Rotationsachsen mit dem Einpunktverfahren
232 ////////////////////////////////////////////////////////////////////////////////////////////////////////////////////////////////////
233 calcAxis::calcEV(UX_VECTOR3 vect_p1, UX_VECTOR3 vect_p2, UX_VECTOR3 vect_p3,
234 UX_VECTOR3 *vect.AP,UX_VECTOR3 *vect.rv,double *angle, int from) {
235
236 //from = 1 -> von calcUSG; from = 0 -> von calcOSG
237 double drehwinkel;
238 //Vektor zum Punkt1 initialisieren
239 UX_VECTOR3 vec_p1;
240 //Vektor zum Punkt2 initialisieren
241 UX_VECTOR3 vec_p2;
242 //Vektor zum Punkt3 initialisieren
243 UX_VECTOR3 vec_p3;
244
245 //Zuweisen der Vektoren
246 vec_p1 = vect_p1;
247 vec_p2 = vect_p2;
248 vec_p3 = vect_p3;
249

```

ANHANG C: QUELLCODE DER KLASSE CALCAXIS

```

250 //Wurde ein alternativ Koordinatensystem angegeben -> Trafo
251 if (XYZ) {
252 //Vektoren werden transformiert
253 transform(&vec_p1);
254 transform(&vec_p2);
255 transform(&vec_p3);
256 }
257
258 //Für linkes Bein trafo.
259 if (from == 1 && Leg == 'L') {
260 transform_rl(&vec_p1);
261 transform_rl(&vec_p2);
262 transform_rl(&vec_p3);
263 }
264
265
266 //Verbindungsvektor zwischen Punkt1 und Punkt2 -> vec_a
267 UX_VECTOR3 vec_a; //Vektor initialisieren
268 vec_a = V3.Subtract(vec_p2, vec_p1);
269
270
271 //Verbindungsvektor zwischen Punkt2 und Punkt3 -> vec_b
272 UX_VECTOR3 vec_b; //Vektor initialisieren
273 vec_b = V3.Subtract(vec_p3, vec_p2);
274
275 //Verbindungsvektor zwischen Punkt1 und Punkt3 -> vec_c
276 UX_VECTOR3 vec_c; //Vektor initialisieren
277 vec_c = V3.Subtract(vec_p3, vec_p1);
278
279
280 //Berechnung des Richtungsvektors der Achse (Kreuzprodukt von vec_p1p3 x vec_p1p2)
281 UX_VECTOR3 vec_rv; //Vektor ini,
282 vec_rv = V3.CrossProduct(vec_a, vec_c);
283
284 //Linkes Bein lateral -> Medial; Rechtssystem -x -> +x
285 //if (Leg == 1 && from == 1)
286 //{
287 // vec_rv = -vec_rv;
288 //}
289 //Richtungsvektor normieren
290 UX_VECTOR3 vec_rvn; //Vec. ini
291 vec_rv.Normalize(); //Normieren
292 vec_rvn = vec_rv; //zuweisen
293
294
295
296 //Berechnung des Winkel zwischen Vec. c und b (Satz des Umfangswinkels)
297 double winkel_a;
298 winkel_a = V3.AngleBetweenVectors(vec_c, vec_b);
299
300 //negative Winkel ausschließen
301 if (winkel_a < 0) {
302 winkel_a = -winkel_a;
303 }
304 //für die Dreiecksberechnung müssen die BetrLge der Vektoren ermittelt werden
305 // l_vec_a -> länge vektor a;
306 // l_vec_f -> Länge Vektor f (Vektor von a/2 nach Kreismittelpunkt)
307 float l_vec_a, l_vec_f; //Variable def.
308 l_vec_a = vec_a.Magnitude(); // Betrag von Vec. a
309 l_vec_a = l_vec_a / 2; //Betrag /2 für Dreiecksberechnung
310
311 //Berechnung des Streckungsfaktor des Vektors vec_f (Mittelsenkrechte auf Vec a)
312 l_vec_f = l_vec_a / tan((winkel_a * PI) / 180); //tan Winkel im Bogenmaß
313
314 //Berechnung der Richtung des Vec. vec_f (Kreuzprodukt von vec_a und Achsrichtung)
315 UX_VECTOR3 vec_f; //Vec. ini.
316 vec_f = V3.CrossProduct(vec_rvn, vec_a);
317 //vec_rvn = -vec_rvn; //Richtungskorrektur für rechtes Bein bzgl Richtungsvektor der Achse
318
319 //Normieren des Vektors vec_f
320 UX_VECTOR3 vec_fn; //Vec. ini.
321 vec_f.Normalize();
322 vec_fn = vec_f; //zuweisen
323
324 //Berechnung des Vectors zum Aufpunkt der Achse (vec_AP)
325 UX_VECTOR3 vec_AP; //Vec. ini.
326
327 //Berechnung des Vektors a/2
328 UX_VECTOR3 vec_a2; //Vec. ini.
329 vec_a2 = V3.Divide(vec_a, 2); //Vec. a/2
330 //Berechnung des Vektors von a/2 zum AP
331 UX_VECTOR3 vec_f2; //Vec. ini.
332 //Richtung des normierten Vec. f mal Streckungsfaktor aus der Dreiecksberechnung
333 vec_f2 = V3.Multiply(vec_fn, l_vec_f);

```


ANHANG C: QUELLCODE DER KLASSE CALCAXIS

```

334 //Hier die Berechnung zum AP (vec. zum Punkt 1 + vec a/2 + vec f2)
335 vec_AP = V3.Add(V31.Add(vec_p1, vec_a2), vec_f2);
336
337 //Berechnung des Drehwinkels
338 //Iniziiieren der Vektoren von AP zu P1 und P2
339 UXVECTOR3 vec_dw1;
340 UXVECTOR3 vec_dw2;
341
342 vec_dw1 = V3.Subtract(vec_p1, vec_AP); //Punkt1 und AP
343 vec_dw2 = V3.Subtract(vec_p3, vec_AP); //Punk3 und AP
344
345 //Winkel berechnen
346
347 drehwinkel = V3.AngleBetweenVectors(vec_dw1, vec_dw2);
348 //negative Winkel ausschließen
349 if (drehwinkel < 0 ) {
350     drehwinkel = -drehwinkel;
351 }
352
353 //Ausgabe des Drehwinkel (Überschreiben des Speichers)
354 *angle = drehwinkel;
355
356 //Für linkes Bein Trafo Aufpunkt
357 if (from == 1 && Leg == 'L') {
358     transform_rl(&vec_AP);
359     transform_rl(&vec_rvn);
360 }
361
362
363
364 //Ausgabe Ergebnis Aufpunkt (AP) und Richtungsvektor der Achse (RV)
365 *vect_AP = vec_AP;
366 *vect_rv = vec_rvn;
367
368
369 }
370
371
372
373 ////////////////////////////////////////////////////////////////////////////////////////////////////////////////////////////////////
374 //Berechnung der OSGA
375 ////////////////////////////////////////////////////////////////////////////////////////////////////////////////////////////////////
376 calcAxis::calcOSG(double plx, double ply, double plz,
377     double p2x, double p2y, double p2z,
378     double p3x, double p3y, double p3z)
379 {
380     double angle, point1x, point1y, point1z,
381     point2x, point2y, point2z,
382     point3x, point3y, point3z;
383
384     //Temperaturanpassung
385     plx = plx * tempFact;
386     ply = ply * tempFact;
387     plz = plz * tempFact;
388
389     p2x = p2x * tempFact;
390     p2y = p2y * tempFact;
391     p2z = p2z * tempFact;
392
393     p3x = p3x * tempFact;
394     p3y = p3y * tempFact;
395     p3z = p3z * tempFact;
396
397     point1x = plx; //Marker Messung 1
398     point1y = ply;
399     point1z = plz;
400
401     point2x = p2x; //Marker Messung 2
402     point2y = p2y;
403     point2z = p2z;
404
405     point3x = p3x; //Marker Messung 3
406     point3y = p3y;
407     point3z = p3z;
408
409     //Initialisieren der Vektoren
410     UXVECTOR3 vect_p1(plx, ply, plz);
411     UXVECTOR3 vect_p2(p2x, p2y, p2z);
412     UXVECTOR3 vect_p3(p3x, p3y, p3z);
413     //Initialisieren der Vektoren für Aufpunkt und Richtungsvektor
414     UXVECTOR3 vect_AP;
415     UXVECTOR3 vect_rv;
416
417     //Bei OSGA wird "0" übergeben

```

ANHANG C: QUELLCODE DER KLASSE CALCAXIS

```
418   calcEV(vect_p1, vect_p2, vect_p3, &vect_AP, &vect_rv, &angle, 0);
419
420   //Zuweisen des Ergebnisses an Public variablen
421   //Aufpunkt OSG
422   OSG_APX = vect_AP.X;
423   OSG_APY = vect_AP.Y;
424   OSG_APZ = vect_AP.Z;
425
426   //Definieren der public Variable OSG_AP
427   OSG_AP = vect_AP;
428
429   //Richtungsvektor
430   OSG_RVX = vect_rv.X;
431   OSG_RVY = vect_rv.Y;
432   OSG_RVZ = vect_rv.Z;
433
434   //Definieren der public Variable OSG_RV
435   OSG_RV = vect_rv;
436
437   //Drehwinkel
438   OSG_winkel = angle;
439
440   //Berechnung des Deviationswinkels
441   calcDevOsg(&OSG_RV,&OSG_Dev);
442
443   //Berechnung des Inclinationswinkels
444   calcIncOsg(&OSG_RV, &OSG_Inc);
445
446   //Berechnung Abstand OSGA zu Kraftvektor Achilles
447   calcDistance(&Otrans, &WWN, &OSG_AP, &OSG_RV, &Lever.OSGA);
448
449   //Berechne Punkte für Ausgabe
450   calcPoints(&vect_AP, &vect_rv, &OSGA_P1, &OSGA_P2, 80);
451
452
453 }
454
455
456 //////////////////////////////////////
457 //Berechnung der USGA
458 //////////////////////////////////////
459 calcAxis::calcUSG(double p1x, double p1y, double p1z,
460                 double p2x, double p2y, double p2z,
461                 double p3x, double p3y, double p3z)
462 {
463     double angle, point1x, point1y, point1z,
464           point2x, point2y, point2z,
465           point3x, point3y, point3z;
466
467     //Temperatur
468     p1x = p1x * tempFact;
469     p1y = p1y * tempFact;
470     p1z = p1z * tempFact;
471
472     p2x = p2x * tempFact;
473     p2y = p2y * tempFact;
474     p2z = p2z * tempFact;
475
476     p3x = p3x * tempFact;
477     p3y = p3y * tempFact;
478     p3z = p3z * tempFact;
479
480     point1x = p1x; //Marker Messung 1
481     point1y = p1y;
482     point1z = p1z;
483
484     point2x = p2x; //Marker Messung 2
485     point2y = p2y;
486     point2z = p2z;
487
488     point3x = p3x; //Marker Messung 3
489     point3y = p3y;
490     point3z = p3z;
491
492     //Initialisieren der Vektoren
493     UX_VECTOR3 vect_p1(p1x, p1y, p1z);
494     UX_VECTOR3 vect_p2(p2x, p2y, p2z);
495     UX_VECTOR3 vect_p3(p3x, p3y, p3z);
496     //Initialisieren der Vektoren für Aufpunkt und Richtungsvektor
497     UX_VECTOR3 vect_AP;
498     UX_VECTOR3 vect_rv;
499
500     //Bei USGA wird "1" übergeben
501     calcEV(vect_p1, vect_p2, vect_p3, &vect_AP, &vect_rv, &angle, 1);
```

ANHANG C: QUELLCODE DER KLASSE CALCAXIS

```

502
503 //////////////////////////////////////////////////////////////////////////////////////////////////////////////////////////////////
504 //Nicht rotierte USGA
505 //Kopieren der Vektoren
506 UXVECTOR3 vect_AP2 = vect_AP;
507 UXVECTOR3 vect_RV2 = vect_rv;
508 //Zuweisen der nicht zurückrotierten Vektoren
509 USG_APX2 = vect_AP.X;
510 USG_APY2 = vect_AP.Y;
511 USG_APZ2 = vect_AP.Z;
512 USG_RVX2 = vect_rv.X;
513 USG_RVY2 = vect_rv.Y;
514 USG_RVZ2 = vect_rv.Z;
515
516 //Berechnung des Deviationswinkels
517 calcDevUsg(&vect_RV2,&USG_dev2);
518
519 //Berechnung des Inclinationswinkels
520 calcIncUsg(&vect_RV2, &USG_inc2);
521
522 //Berechne Punkte für Ausgabe
523 calcPoints(&vect_AP2, &vect_RV2, &USGA_P1.2, &USGA_P2.2, 100);
524 //
525 //////////////////////////////////////////////////////////////////////////////////////////////////////////////////////////////////
526
527 //////////////////////////////////////////////////////////////////////////////////////////////////////////////////////////////////
528 // um die MMachse rotierte USGA
529 //kopieren der Vektoren (AP und RV)
530 UXVECTOR3 vect_AP1 = vect_AP;
531 UXVECTOR3 vect_RV1 = vect_rv;
532
533 //rotieren um die OSGA der Malleolen
534 rotBack(&mOSG_AP, &mOSG_RV, &vect_AP1, &vect_RV1);
535 //zuweisen der Vektroeinträge (Malleolen OSGA)
536 USG_APX1 = vect_AP1.X;
537 USG_APY1 = vect_AP1.Y;
538 USG_APZ1 = vect_AP1.Z;
539 USG_RVX1 = vect_RV1.X;
540 USG_RVY1 = vect_RV1.Y;
541 USG_RVZ1 = vect_RV1.Z;
542
543 //Berechnung des Deviationswinkels
544 calcDevUsg(&vect_RV1,&USG_dev1);
545
546 //Berechnung des Inclinationswinkels
547 calcIncUsg(&vect_RV1, &USG_inc1);
548
549 //Berechne Punkte für Ausgabe
550 calcPoints(&vect_AP1, &vect_RV1, &USGA_P1.1, &USGA_P2.1, 100);
551 //
552 //////////////////////////////////////////////////////////////////////////////////////////////////////////////////////////////////
553
554
555 //////////////////////////////////////////////////////////////////////////////////////////////////////////////////////////////////
556 //Um die gemessene OSGA rotierte USGA
557 //Zurückdrehen der USGA um die berechnete OSGA
558 rotBack(&OSG_AP, &OSG_RV, &vect_AP, &vect_rv);
559
560 //Zuweisen des Ergebnisses an Public variablen
561 //Aufpunkt OSG
562 USG_APX = vect_AP.X;
563 USG_APY = vect_AP.Y;
564 USG_APZ = vect_AP.Z;
565 //Richtungsvektor
566 USG_RVX = vect_rv.X;
567 USG_RVY = vect_rv.Y;
568 USG_RVZ = vect_rv.Z;
569
570 USG_RV = vect_rv;
571 USG_AP = vect_AP;
572
573 //Drehwinkel
574 USG_winkel = angle;
575
576
577 //Berechnung des Deviationswinkels
578 calcDevUsg(&USG_RV,&USG_Dev);
579
580 //Berechnung des Inclinationswinkels
581 calcIncUsg(&USG_RV, &USG_Inc);
582
583 //Berechnung Winkel zwischen USGA und OSGA
584 calcAngle();
585

```

ANHANG C: QUELLCODE DER KLASSE CALCAXIS

```

586 //Berechnung des Abstands zwischen OSG und USG
587 calcDistance(&OSG.AP,&OSG.RV,&vect.AP1,&vect.RV1,&Dist);
588
589
590 //Berechnung Abstand USGA zu Kraftvektor Achilles
591 calcDistance(&Otrans, &AWN &USG.AP, &USG.RV, &Lever.USGA);
592 //Berechnung abstand USGA1 zu Kraftvektor Achilles (USGA um MM Achse zurückrotiert)
593 calcDistance(&Otrans, &AWN &vect.AP1, &vect.RV1, &lever.USG_1);
594 //Berechnung abstand USGA2 zu Kraftvektor Achilles (USGA nicht zurückrotiert)
595 calcDistance(&Otrans, &AWN &vect.AP2, &vect.RV2, &lever.USG_2);
596 //Berechne Punkte für Ausgabe
597 calcPoints(&vect.AP, &vect.rv, &USGA.P1, &USGA.P2, 100);
598
599 //Konvertieren in String
600 //stringOutput();
601
602 }
603
604
605
606 //////////////////////////////////////
607 // Methode, bei der Aufpunkt und Richtungsvektor der USGA
608 //um einen definierten Winkel um die OSGA gedreht wird
609 //////////////////////////////////////
610 calcAxis::rotBack(UX_VECTOR3 *vect.AP_osc, UX_VECTOR3 *vect.rv_osc,
611 UX_VECTOR3 *vect.AP_usg, UX_VECTOR3 *vect.rv_usg) {
612     double rdw;
613     //Initialisieren der Vektoren zum AP und des Richtungsvektors der OSGA
614     UX_VECTOR3 result.AP;
615     UX_VECTOR3 result.RV;
616     //Zuweisen der Vektoren
617     result.AP = *vect.AP_osc;
618
619     //RV bei L Bein negativ (mll-mlm) daher wird rotationmatrix falsch berechnet
620     if (Leg == 'R') //rechtes Bein
621     {
622         result.RV = -*vect.rv_osc; //Rechtes Bein
623     }
624     if (Leg == 'L') //rechtes Bein
625     {
626         result.RV = *vect.rv_osc; //Linkes Bein
627     }
628
629     //Zweisen des Drehwinkels
630     rdw = OSG.winkel*PI/180;
631     //Definition der Rotationsmatrix Rot
632     UX_MATRIX3 Rot;
633     UX_MATRIX3 Rot1(result.RV.X*result.RV.X,result.RV.X*result.RV.Y,result.RV.X*result.RV.Z,
634     result.RV.X*result.RV.Y,result.RV.Y*result.RV.Y,result.RV.Y*result.RV.Z,
635     result.RV.X*result.RV.Z,result.RV.Y*result.RV.Z,result.RV.Z*result.RV.Z);
636     UX_MATRIX3 Rot2(1,0,0,0,1,0,0,0,1);
637     UX_MATRIX3 Rot3(0,-(result.RV.Z),result.RV.Y,
638     result.RV.Z,0,-(result.RV.X),
639     -(result.RV.Y),result.RV.X,0);
640     UX_MATRIX3 Rot11;
641     Rot11 = M3.Multiply((1-cos(rdw)),Rot1);
642     UX_MATRIX3 Rot22;
643     Rot22 = M3.Multiply(cos(rdw),Rot2);
644     UX_MATRIX3 Rot33;
645     Rot33 = M3.Multiply(sin(rdw),Rot3);
646
647     Rot = M3.Add(M31.Add(Rot11,Rot22),Rot33);
648
649     //Beispiel für Rotation von P_rot1 und P_rot2 um OSG Achse um Winkel rdw
650     //Initialisieren des Vektors Aufpunkt USGA
651     UX_VECTOR3 P_rot1;
652     //zuweisen des Vektors
653     P_rot1 = *vect.AP_usg;
654
655     UX_VECTOR3 Pver11;
656     UX_VECTOR3 Pver21;
657     UX_VECTOR3 P_rotiert1;
658     Pver11=V3.Subtract(P_rot1,result.AP);
659     Pver21=M3.Multiply(Rot,Pver11);
660     //P_rotiert1 ist dann der um den Rückdrehwinkel rdw rotierte Punkt P_rot1
661     P_rotiert1=V3.Add(Pver21,result.AP);
662     //Initialisieren des Richtungsvektors USGA
663     UX_VECTOR3 P_rot2;
664     //zuweisen des Richtungsvektors USGA
665     P_rot2 = *vect.rv_usg;
666
667     UX_VECTOR3 Pver12;
668     UX_VECTOR3 Pver22;
669     UX_VECTOR3 P_rotiert2;

```

ANHANG C: QUELLCODE DER KLASSE CALCAXIS

```

670  Pver12=V3.Subtract(P_rot2,result_RV);
671  Pver22=M3.Multiply(Rot,Pver12);
672  //P_rotiert2 ist dann der um den Rückdrehwinkel rdw rotierte Punkt P_rot2
673  P_rotiert2=V3.Add(Pver22,result_RV);
674
675  //Ausgabe der zurückgedrehten USG Achse
676  //Zuweisen der rotierten USGA
677  *vect_AP_usg = P_rotiert1;
678  *vect_rv_usg = P_rotiert2;
679 }
680
681
682 //////////////////////////////////////
683 //Methode zur Berechnung des Deviationswinkels OSGA
684 //////////////////////////////////////
685 calcAxis::calcDevOsg(UX_VECTOR3 *vect, double *angle)
686 {
687     UX_VECTOR3 vec;
688     vec = *vect;
689
690     if (Leg == 'L') //linkes Bein
691     {
692         *angle = 90-((atan(vec.Y/vec.X))*180/PI);
693     }
694     if (Leg == 'R') //rechtes Bein
695     {
696         vec.Y = -vec.Y; //Rechtes Bein -> Linkssystem
697         *angle = 90-((atan(vec.Y/vec.X))*180/PI);
698     }
699 }
700
701
702 //////////////////////////////////////
703 //Methode zur Berechnung des Inclinationswinkels OSGA
704 //////////////////////////////////////
705 calcAxis::calcIncOsg(UX_VECTOR3 *vect, double *angle)
706 {
707     UX_VECTOR3 vec;
708     vec = *vect;
709
710     if (Leg == 'L') //linkes Bein
711     {
712         *angle = 90-((atan(vec.Z/vec.X))*180/PI);
713     }
714     if (Leg == 'R') //rechtes Bein
715     {
716         vec.Z = -vec.Z; //Rechtes Bein -> Linkssystem
717         *angle = 90-((atan(vec.Z/vec.X))*180/PI);
718     }
719
720     //Winkel wird zuerst zur x Achse gemessen (zwischen 0-180) danach 90° abgezogen*/
721 }
722
723 //////////////////////////////////////
724 //Methode zur Berechnung des Deviationswinkels USGA
725 //////////////////////////////////////
726 calcAxis::calcDevUsg(UX_VECTOR3 *vect, double *angle)
727 {
728
729     UX_VECTOR3 vec;
730     vec = *vect;
731
732     if (Leg == 'R') //rechtes Bein
733     {
734
735         *angle = -(atan(vec.X/vec.Y))*180/PI;
736     }
737
738     if (Leg == 'L') //linkes Bein
739     {
740         *angle = (atan(vec.X/vec.Y))*180/PI;
741     }
742 }
743 }
744
745 //////////////////////////////////////
746 //Methode zur Berechnung des Inclinationswinkels USGA
747 //////////////////////////////////////
748 calcAxis::calcIncUsg(UX_VECTOR3 *vect, double *angle)
749 {
750     UX_VECTOR3 vec;
751     vec = *vect;
752     //Stimm f§r beide Beine da Rotationmatrix re/li unterscheidet
753     *angle = (atan(vec.Z/vec.Y))*180/PI;

```

ANHANG C: QUELLCODE DER KLASSE CALCAXIS

```

754 }
755
756 //////////////////////////////////////
757 //Methode zur Berechnung des Winkels zwischen OSG und USG
758 //////////////////////////////////////
759 calcAxis::calcAngle()
760 {
761     Angle_OSG_USG = V3.AngleBetweenVectors(OSG_RV,USG_RV);
762     if (Angle_OSG_USG >90)
763     {
764         Angle_OSG_USG = 180-Angle_OSG_USG;
765     }
766 }
767
768
769 //////////////////////////////////////
770 //Methode zur Berechnung des Abstands zwischen OSG und USG
771 //////////////////////////////////////
772 calcAxis::calcDistance(UX_VECTOR3 *vect_AP_osc,UX_VECTOR3 *vect_RV_osc,
773     UX_VECTOR3 *vect_AP_usg,UX_VECTOR3 *vect_RV_usg, double *Abstand)
774 {
775     UX_VECTOR3 vec_AP_osc;
776     UX_VECTOR3 vec_RV_osc;
777     UX_VECTOR3 vec_AP_usg;
778     UX_VECTOR3 vec_RV_usg;
779
780     vec_AP_osc = *vect_AP_osc;
781     vec_RV_osc = *vect_RV_osc;
782     vec_AP_usg = *vect_AP_usg;
783     vec_RV_usg = *vect_RV_usg;
784
785     UX_VECTOR3 a = V3.Subtract(vec_AP_usg, vec_AP_osc); //erste Spalte Spatprodukt
786     UX_MATRIX3 Matrix3(a.X, vec_RV_osc.X, vec_RV_usg.X,
787         a.Y, vec_RV_osc.Y, vec_RV_usg.Y,
788         a.Z, vec_RV_osc.Z, vec_RV_usg.Z);
789     double det = Matrix3.Determinate();
790     det = abs(det);
791     UX_VECTOR3 nenner = V3.CrossProduct(vec_RV_osc, vec_RV_usg);
792     double nenner2 = nenner.Magnitude();
793     *Abstand = det/nenner2;
794 }
795
796
797 //////////////////////////////////////
798 //Methode zur Berechnung zweier Punkte für die Ausgabe
799 //////////////////////////////////////
800 calcAxis::calcPoints(UX_VECTOR3 *vec_AP, UX_VECTOR3 *vec_RV,
801     UX_VECTOR3 *POINT1, UX_VECTOR3 *POINT2, int lenght)
802 {
803     *POINT1 = V3.Add(*vec_AP, V31.Multiply(*vec_RV, lenght)); //Punkt 1
804     *POINT2 = V3.Add(*vec_AP, V31.Multiply(*vec_RV,-lenght)); //Punkt 2
805 }
806 }
807
808
809
810 //generiere String für Ausgabe
811 calcAxis::stringOutput()
812 {
813     //Typen casten (konvertieren)
814
815     //Konvertieren der double in CString mit vier Nachkommastellen
816     sOSG_APX.Format("%.3f",OSG_APX); //konvertieren in String mit 4 Nachkommastellen
817     sOSG_APY.Format("%.3f",OSG_APY);
818     sOSG_APZ.Format("%.3f",OSG_APZ);
819     sOSG_RVX.Format("%.3f",OSG_RVX);
820     sOSG_RVY.Format("%.3f",OSG_RVY);
821     sOSG_RVZ.Format("%.3f",OSG_RVZ);
822
823     sUSG_APX.Format("%.3f",USG_APX); //konvertieren in String mit 4 Nachkommastellen
824     sUSG_APY.Format("%.3f",USG_APY);
825     sUSG_APZ.Format("%.3f",USG_APZ);
826     sUSG_RVX.Format("%.3f",USG_RVX);
827     sUSG_RVY.Format("%.3f",USG_RVY);
828     sUSG_RVZ.Format("%.3f",USG_RVZ);
829
830
831     osg_P1X.Format("%.3f",OSGA_P1.X); //konvertiert Vektoreinträge in String
832     osg_P1Y.Format("%.3f",OSGA_P1.Y);
833     osg_P1Z.Format("%.3f",OSGA_P1.Z);
834     osg_P2X.Format("%.3f",OSGA_P2.X);
835     osg_P2Y.Format("%.3f",OSGA_P2.Y);
836     osg_P2Z.Format("%.3f",OSGA_P2.Z);
837

```

ANHANG C: QUELLCODE DER KLASSE CALCAXIS

```

838 usg_P1X.Format("%.3f",USGA_P1.X); //konvertiert Vektoreinträge in String
839 usg_P1Y.Format("%.3f",USGA_P1.Y);
840 usg_P1Z.Format("%.3f",USGA_P1.Z);
841 usg_P2X.Format("%.3f",USGA_P2.X);
842 usg_P2Y.Format("%.3f",USGA_P2.Y);
843 usg_P2Z.Format("%.3f",USGA_P2.Z);
844
845 meshOSG_APX.Format("%.3f", mOSG_AP.X); //Konvertiere VektoreintrLge in String, gemessenen OSGA
846 meshOSG_APY.Format("%.3f", mOSG_AP.Y);
847 meshOSG_APZ.Format("%.3f", mOSG_AP.Z);
848 meshOSG_RVX.Format("%.3f", mOSG_RV.X); //Konvertiere VektoreintrLge in String, gemessenen OSGA
849 meshOSG_RVY.Format("%.3f", mOSG_RV.Y);
850 meshOSG_RVZ.Format("%.3f", mOSG_RV.Z);
851 sOSG_inc.mesh.Format("%.1f", mOSG_Inc);
852 sOSG_dev.mesh.Format("%.1f", mOSG_Dev);
853
854 //USGA1 (mit gemessener OSGA MM)
855 sUSG_APX_1.Format("%.3f", USG_APX1);
856 sUSG_APY_1.Format("%.3f", USG_APY1);
857 sUSG_APZ_1.Format("%.3f", USG_APZ1);
858 sUSG_RVX_1.Format("%.3f", USG_RVX1);
859 sUSG_RVY_1.Format("%.3f", USG_RVY1);
860 sUSG_RVZ_1.Format("%.3f", USG_RVZ1);
861
862 sUSG_dev_1.Format("%.1f", USG_dev1);
863 sUSG_inc_1.Format("%.1f", USG_inc1);
864
865 sUSG_P1X_1.Format("%.3f", USGA_P1_1.X);
866 sUSG_P1Y_1.Format("%.3f", USGA_P1_1.Y);
867 sUSG_P1Z_1.Format("%.3f", USGA_P1_1.Z);
868 sUSG_P2X_1.Format("%.3f", USGA_P2_1.X);
869 sUSG_P2Y_1.Format("%.3f", USGA_P2_1.Y);
870 sUSG_P2Z_1.Format("%.3f", USGA_P2_1.Z);
871 sLever_USG_1.Format("%.3f", lever_USG_1);
872
873 //USGA2 (nicht rotiert)
874 sUSG_APX_2.Format("%.3f", USG_APX2);
875 sUSG_APY_2.Format("%.3f", USG_APY2);
876 sUSG_APZ_2.Format("%.3f", USG_APZ2);
877 sUSG_RVX_2.Format("%.3f", USG_RVX2);
878 sUSG_RVY_2.Format("%.3f", USG_RVY2);
879 sUSG_RVZ_2.Format("%.3f", USG_RVZ2);
880
881 sUSG_dev_2.Format("%.1f", USG_dev2);
882 sUSG_inc_2.Format("%.1f", USG_inc2);
883
884 sUSG_P1X_2.Format("%.3f", USGA_P1_2.X);
885 sUSG_P1Y_2.Format("%.3f", USGA_P1_2.Y);
886 sUSG_P1Z_2.Format("%.3f", USGA_P1_2.Z);
887 sUSG_P2X_2.Format("%.3f", USGA_P2_2.X);
888 sUSG_P2Y_2.Format("%.3f", USGA_P2_2.Y);
889 sUSG_P2Z_2.Format("%.3f", USGA_P2_2.Z);
890 sLever_USG_2.Format("%.3f", lever_USG_2);
891
892 sUO_winkel.Format("%.1f",Angle.OSG_USG);
893 sUO_dist.Format("%.1f",Dist);
894
895 //Messung MM ML
896 sMM_Distance.Format("%.2f",dMM_Distance);
897 sMMX.Format("%.3f",MM.X);
898 sMMY.Format("%.3f",MM.Y);
899 sMMZ.Format("%.3f",MM.Z);
900 sMLX.Format("%.3f",ML.X);
901 sMLY.Format("%.3f",ML.Y);
902 sMLZ.Format("%.3f",ML.Z);
903 sLever_OSG_MM.Format("%.1f", lever_OSG_MM);
904
905 sOSG_winkel.Format("%.1f",OSG_winkel);
906 sOSG_dev.Format("%.1f",OSG_Dev);
907 sOSG_inc.Format("%.1f",OSG_Inc);
908 sOSG_lever.Format("%.1f",Lever_OSGA);
909
910 sUSG_winkel.Format("%.1f",USG_winkel);
911 sUSG_dev.Format("%.1f",USG_Dev);
912 sUSG_inc.Format("%.1f",USG_Inc);
913 sUSG_lever.Format("%.1f",Lever_USGA);
914
915 //Ersetzen des "." durch "," da excel das sonst nicht kapiert
916 sOSG_inc.mesh.Replace(".",",");
917 sOSG_dev.mesh.Replace(".",",");
918 meshOSG_APX.Replace(".",",");
919 meshOSG_APY.Replace(".",",");
920 meshOSG_APZ.Replace(".",",");
921 meshOSG_RVX.Replace(".",",");

```

ANHANG C: QUELLCODE DER KLASSE CALCAXIS

```

922 meshOSG_RVY.Replace(" ","","");
923 meshOSG_RVZ.Replace(" ","","");
924
925 sOSG_APX.Replace(" ","","");
926 sOSG_APY.Replace(" ","","");
927 sOSG_APZ.Replace(" ","","");
928 sOSG_RVX.Replace(" ","","");
929 sOSG_RVY.Replace(" ","","");
930 sOSG_RVZ.Replace(" ","","");
931 sUSG_APX.Replace(" ","","");
932 sUSG_APY.Replace(" ","","");
933 sUSG_APZ.Replace(" ","","");
934 sUSG_RVX.Replace(" ","","");
935 sUSG_RVY.Replace(" ","","");
936 sUSG_RVZ.Replace(" ","","");
937
938 osg_P1X.Replace(" ","","");
939 osg_P1Y.Replace(" ","","");
940 osg_P1Z.Replace(" ","","");
941 osg_P2X.Replace(" ","","");
942 osg_P2Y.Replace(" ","","");
943 osg_P2Z.Replace(" ","","");
944 usg_P1X.Replace(" ","","");
945 usg_P1Y.Replace(" ","","");
946 usg_P1Z.Replace(" ","","");
947 usg_P2X.Replace(" ","","");
948 usg_P2Y.Replace(" ","","");
949 usg_P2Z.Replace(" ","","");
950
951 //USGA1 (rotiert um MM OSGA)
952 sUSG_APX_1.Replace(" ","","");
953 sUSG_APY_1.Replace(" ","","");
954 sUSG_APZ_1.Replace(" ","","");
955 sUSG_RVX_1.Replace(" ","","");
956 sUSG_RVY_1.Replace(" ","","");
957 sUSG_RVZ_1.Replace(" ","","");
958
959 sUSG_dev_1.Replace(" ","","");
960 sUSG_inc_1.Replace(" ","","");
961
962 sUSG_P1X_1.Replace(" ","","");
963 sUSG_P1Y_1.Replace(" ","","");
964 sUSG_P1Z_1.Replace(" ","","");
965 sUSG_P2X_1.Replace(" ","","");
966 sUSG_P2Y_1.Replace(" ","","");
967 sUSG_P2Z_1.Replace(" ","","");
968 sLever_USG_1.Replace(" ","","");
969
970 //USGA2 (nicht rotiert)
971 sUSG_APX_2.Replace(" ","","");
972 sUSG_APY_2.Replace(" ","","");
973 sUSG_APZ_2.Replace(" ","","");
974 sUSG_RVX_2.Replace(" ","","");
975 sUSG_RVY_2.Replace(" ","","");
976 sUSG_RVZ_2.Replace(" ","","");
977
978 sUSG_dev_2.Replace(" ","","");
979 sUSG_inc_2.Replace(" ","","");
980
981 sUSG_P1X_2.Replace(" ","","");
982 sUSG_P1Y_2.Replace(" ","","");
983 sUSG_P1Z_2.Replace(" ","","");
984 sUSG_P2X_2.Replace(" ","","");
985 sUSG_P2Y_2.Replace(" ","","");
986 sUSG_P2Z_2.Replace(" ","","");
987 sLever_USG_2.Replace(" ","","");
988
989 sOSG_winkel.Replace(" ","","");
990 sOSG_dev.Replace(" ","","");
991 sOSG_inc.Replace(" ","","");
992 sOSG_lever.Replace(" ","","");
993 sUSG_winkel.Replace(" ","","");
994 sUSG_dev.Replace(" ","","");
995 sUSG_inc.Replace(" ","","");
996 sUSG_lever.Replace(" ","","");
997
998 sLever_OSG_MM.Replace(" ","","");
999
1000 sUO_winkel.Replace(" ","","");
1001 sUO_dist.Replace(" ","","");
1002
1003 sMM_Distance.Replace(" ","","");
1004 sMMX.Replace(" ","","");
1005 sMMY.Replace(" ","","");

```


D Beispiel einer Anwendung der Klasse calcAxis

Zur Berechnung von Rotationsachsen mit Hilfe der Klasse *calcAxis* müssen nur wenige Methoden der Klasse aufgerufen werden. Der nachfolgende Programmauszug soll beispielhaft zeigen wie die C++ Klasse angewendet werden kann.

```

1  calcAxis achse;
2  achse.Leg = R;
3  achse.coordTibia(p1x1, p1y1, p1z1, p2x1, p2y1, p2z1,
4                  p1x2, p1y2, p1z2, p2x2, p2y2, p2z2,
5                  p1x3, p1y3, p1z3, p2x3, p2y3, p2z3,
6                  p1x4, p1y4, p1z4, p2x4, p2y4, p2z4);
7  achse.calcOSG(x1, y1, z1, x2, y2, z2, x3, y3, z3);
8  achse.calcUSG(x1, y1, z1, x2, y2, z2, x3, y3, z3);

```

Zeile eins des Beispiels initiiert die Klasse *calcAxis*. Damit stehen der Klasse *achse* alle Eigenschaften und Methoden von *calcAxis* zur Verfügung. In Zeile zwei wird Variable *Leg* gesetzt. In diesem Beispiel werden alle nachfolgenden Berechnungen in einem Rechtssystem durchgeführt. Die Methode *coordTibia* in Zeile drei berechnet aus den Koordinatendaten der Markerpunkte P_1 und P_2 des Taststiftes, die anatomischen Punkten des *Tibiakoordinatensystems*. Alle Punkte die der Klasse *achse* übergeben werden, werden in dieses Koordinatensystem transformiert. Ebenfalls wird der Eichfaktor für die Temperaturabhängigkeit des Ultraschall über den bekannten Abstand der Markerpunkte P_1 und P_2 berechnet. In Zeile 7 und Zeile 8, werden jeweils Rotationsachsen berechnet, mit dem Unterschied, dass die Achse aus Zeile 8 um die Rotationsachse aus Zeile 7 rotiert wird. Mit Hilfe der auf Seite 49 beschriebenen Eigenschaften, können alle Ergebnisse ausgelesen werden.

E C++ Klasse zebClass

```

1 // zebClass.cpp: Implementierung der Klasse zebClass.
2 //
3 //////////////////////////////////////////////////////////////////////////////////////////////////////////////////////////////////
4
5 #include "stdafx.h"
6 #include "zebClass.h"
7
8 //////////////////////////////////////////////////////////////////////////////////////////////////////////////////////////////////
9 // Konstruktion/Destruktion
10 //////////////////////////////////////////////////////////////////////////////////////////////////////////////////////////////////
11
12 zebClass::zebClass()
13 {
14     err            = true;
15     device         = 0;
16     totalAtomCount = 0;
17
18     motionInput = 0;
19     motionFrame = 0;
20
21     //Digital Input
22     digitalInput = 0;
23
24     //Variable zum Fehler abfangen
25     zebError = false;
26
27 }
28
29 //////////////////////////////////////////////////////////////////////////////////////////////////////////////////////////////////
30 //Fehler abfangen
31 zebClass::zebCheck(BOOL result)
32 {
33     if(!result) {
34         CString LastError = Zeb_GetLastError();
35         MessageBox(0,LastError,"Error",MB_ICONERROR+MB_SETFOREGROUND+MB_OK);
36         zebError = true;
37         closeDialog = 1;
38     }
39
40 }//Fehler abfangen
41
42 //////////////////////////////////////////////////////////////////////////////////////////////////////////////////////////////////
43 //Digital INIT (Fußschalter)
44 BOOL zebClass::digitalInit() {
45
46     ZebComponent* component;
47
48     if(!ZebDevice_FindComponent(device, "digital_input", &component))
49         return TRUE;
50
51     if(!ZebDigitalInput_Get(component, &digitalInput))
52         return FALSE;
53
54     if (!ZebDigitalInput_GetChannelCount(digitalInput, &digitalChannelCount))
55         return FALSE;
56
57     digitalBytesPerQuant = (digitalChannelCount+7)/8;
58
59     if (!ZebDigitalInput_SetQuantDuration(digitalInput, 1.0/15)) // 15 Hz
60         return FALSE;
61
62     //cout << "digital input" << endl;
63     //cout << "channels: " << digitalChannelCount << endl;
64     //cout << endl;
65
66     return TRUE;
67 }
68
69 //Digital Update Conf
70 BOOL zebClass::digitalUpdateCfg() {
71
72     if (!digitalInput)
73         return TRUE;
74
75     if (!ZebDigitalInput_GetQuantsPerAtom(digitalInput, &digitalQuantsPerAtom))
76         return FALSE;
77
78     //cout << "digital input" << endl;
79     //cout << "frequency: " << digitalQuantsPerAtom/atomDuration << endl;
80     //cout << "quants per atom: " << digitalQuantsPerAtom << endl;
81     //cout << endl;

```

ANHANG E: QUELLCODE DER KLASSE ZEBCLASS

```

82     return TRUE;
83 }
84
85 //Digital Feed
86 BOOL zebClass::digitalFeed(int atomCount) {
87     if (!digitalInput)
88         return TRUE;
89
90     //cout << "digital input HHHHHHHHHHHH" << endl;
91
92     const byte* pos;
93
94     if (!ZebDigitalInput_GetPos(digitalInput, &pos))
95         return FALSE;
96
97
98     const byte* ptr = pos;
99     byte mask = 1; //Schalter 1
100    byte mask2 = 0x2; //Schalter 2
101
102    if (*ptr & mask) ON1 = 1; //Binärvergleich
103    else ON1 = 0;
104
105    if (*ptr & mask2) ON2 = 1;
106    else ON2 = 0;
107
108    //cout << endl;
109
110    return TRUE;
111 }
112 //Digital
113 //////////////////////////////////////
114 //////////////////////////////////////
115 //////////////////////////////////////
116
117 //ZebMotionInit
118 BOOL zebClass::zebMotionInit() {
119     CString sMotionChannelCount;
120     ZebComponent* component;
121
122     zebCheck(ZebDevice_FindComponent(device, "motion_input", &component));
123
124     zebCheck(ZebMotionInput_Get(component, &motionInput));
125
126     // request frequency
127     zebCheck(ZebMotionInput_SetQuantDuration(motionInput, 1.0/100));
128
129     // retrieve frame
130     zebCheck(ZebMotionInput_GetFrame(motionInput, 0, &motionFrame));
131
132     // request channels
133     zebCheck(ZebMotionFrame_GetChannelCount(motionFrame, &motionChannelCount));
134
135     motionChannelCount = min(motionChannelCount, MAX_MOTION_CHANNELS);
136
137     for(int ch = 0; ch < motionChannelCount; ch++)
138     {
139         zebCheck(ZebMotionFrame_GetChannel(motionFrame, ch, &motionChannels[ch]));
140     }
141
142     zebStatus += "motion_input\r\n";
143     zebStatus += "channels: ";
144     //sMotionChannelCount = (CString)motionChannelCount;
145     //sMotionChannelCount.Format("%i", motionChannelCount);
146     sMotionChannelCount.Format("%d", motionChannelCount);
147
148     zebStatus += sMotionChannelCount;
149     //zebStatus += motionChannelCount;
150     zebStatus += "\r\n";
151
152
153
154     return TRUE;
155 }
156
157 //zebMotionUpdateCFG
158 BOOL zebClass::zebMotionUpdateCfg() {
159     //Variablen Configurieren
160     CString sMotionQ, sMotionQpA;
161     if (!motionInput)
162         return TRUE;
163
164     if (!ZebMotionInput_GetQuantsPerAtom(motionInput, &motionQuantsPerAtom))

```

ANHANG E: QUELLCODE DER KLASSE ZEBCLASS

```

166     return FALSE;
167
168     zebStatus += "motion_input\r\n";
169     zebStatus += "frequency:␣";
170     sMotionQ.Format("%.4f", motionQuantsPerAtom/atomDuration);
171     zebStatus += sMotionQ;
172     //zebStatus += "motionQuantsPerAtom/atomDuration";
173     zebStatus += "\r\n";
174     zebStatus += "quants_per_atom:␣";
175     sMotionQpA.Format("%d", motionQuantsPerAtom);
176     zebStatus += sMotionQpA;
177     //zebStatus += "motionQuantsPerAtom";
178     zebStatus += "\r\n";
179
180
181     return TRUE;
182 }
183
184
185 //zebMotionFeed
186 BOOL zebClass::zebMotionFeed(int atomCount) {
187
188     if (!motionInput)
189         return TRUE;
190
191     //zebStatus += "Auslesen der Koordinaten\r\n";
192
193     const ZebVector3* pos[MAX_MOTION_CHANNELS];
194
195     for(int ch = 0; ch < motionChannelCount; ch++)
196     {
197         if (!ZebMotionChannel_GetPos(motionChannels[ch], &pos[ch]))
198             return FALSE;
199     }
200
201     for(int ctr = atomCount*motionQuantsPerAtom; ctr--; )
202     {
203         for(int ch = 0; ch < motionChannelCount; ch++)
204         {
205             const ZebVector3* v = pos[ch]++;
206             //ausgabe in formular
207             if(ch==0) //Ausgabe 1. Marker
208             {
209                 zebX1 = v->x;
210                 zebY1 = v->y;
211                 zebZ1 = v->z;
212             }
213             if(ch==1) //Ausgabe 2. Marker
214             {
215                 zebX2 = v->x;
216                 zebY2 = v->y;
217                 zebZ2 = v->z;
218             }
219             if(ch==2) //Ausgabe 3. Marker
220             {
221                 zebX3 = v->x;
222                 zebY3 = v->y;
223                 zebZ3 = v->z;
224             }
225             if(ch==3) //Ausgabe 4. Marker
226             {
227                 zebX4 = v->x;
228                 zebY4 = v->y;
229                 zebZ4 = v->z;
230             }
231         }
232     }
233
234 }
235
236     return TRUE;
237
238 }
239 }
240
241 //ZebFeedData Single
242 BOOL zebClass::zebFeedDataSingle() {
243
244     //Variablen definieren
245     ZebReadInfo info;
246
247     zebCheck(ZebDevice_Read(device, &info));
248
249     if (info.atomCount)

```

ANHANG E: QUELLCODE DER KLASSE ZEBCLASS

```

250     {
251         if (info.syncStart)
252             totalAtomCount += info.atomCount;
253         zebCheck(zebMotionFeed(info.atomCount));
254         zebCheck(digitalFeed(info.atomCount));
255     }
256     return TRUE;
257 }
258
259
260 //////////////////////////////////////
261 //Zebris Configuration
262 zebClass::zebConf() {
263
264     if (!ZebDeviceManager_Init("data"))
265         error = true;
266     // execute the hardware setup
267     if (!ZebDeviceManager_Setup(0))
268         error = true;
269 }
270
271
272
273 //////////////////////////////////////
274 //ZebFeedData Schleife
275 BOOL zebClass::zebFeedData(DWORD time_ms, bool exitOnStop) {
276
277     DWORD        startTime = GetTickCount();
278     bool         stopped = true;
279     ZebReadInfo  info;
280
281     do
282     {
283         if (!ZebDevice_Read(device, &info))
284             return FALSE;
285
286         if (info.atomCount)
287         {
288             stopped = false;
289
290             if (info.syncStart)
291                 //cout << "Started" << endl;
292
293             //cout << "Atoms " << totalAtomCount;
294
295             totalAtomCount += info.atomCount;
296
297             //cout << "-" << totalAtomCount << endl;
298
299             if (!zebMotionFeed(info.atomCount))
300                 return FALSE;
301         }
302
303         if (info.dataOver)
304         {
305             if (!stopped)
306             {
307                 // cout << "Stopped" << endl;
308                 stopped = true;
309             }
310
311             if (exitOnStop)
312                 return TRUE;
313         }
314         //if (kbhit()) return TRUE;
315     }
316     while(GetTickCount() - startTime < time_ms);
317
318     return TRUE;
319 }
320 }
321
322
323 //initialisiert Zebris, nur beim Start des Programms
324 zebClass::zebHdwInit()
325 {
326
327     //Variablen definieren
328     CString sAtomDuration;
329     // initialize the device manager
330     if(!zebError) {
331         zebCheck(ZebDeviceManager_Init("data"));
332         zebStatus = "Hardware_wird_initialisiert\r\n";
333     }

```

ANHANG E: QUELLCODE DER KLASSE ZEBCLASS

```

334 // get the device
335 if (!zebError) zebCheck(ZebDeviceManager_GetDevice(&device));
336
337 // configure the device
338 if (!zebError) zebCheck(zebMotionInit());
339 if (!zebError) zebCheck(digitalInit());
340 if (!zebError) zebCheck(ZebDevice_Activate(device));
341 // read-out the granted configuration after activation
342 if (!zebError) zebCheck(ZebDevice_GetAtomDuration(device, &atomDuration));
343 if (!zebError) zebCheck(zebMotionUpdateCfg());
344 if (!zebError) zebCheck(digitalUpdateCfg());
345 }
346
347
348 //startet Zebris Hardware
349 zebClass::zebStart() {
350
351     // Variablen definieren
352     CString sAtomDuration;
353     zebStatus = "";
354     zebError=false;
355     // get the device
356     /* if (!zebError) zebCheck(ZebDeviceManager_GetDevice(&device));
357
358     // configure the device
359     if (!zebError) zebCheck(zebMotionInit());
360     if (!zebError) zebCheck(ZebDevice_Activate(device));
361     // read-out the granted configuration after activation
362     if (!zebError) zebCheck(ZebDevice_GetAtomDuration(device, &atomDuration));
363     if (!zebError) zebCheck(zebMotionUpdateCfg());*/
364     // start the device
365     if (!zebError) zebCheck(ZebDevice_Start(device));
366     // pull the data within 10 sec
367     zebStatus += "Start_\the_\device\r\n";
368     zebStatus += "Auslesen_\der_\Koordinaten\r\n";
369 }
370
371
372 //liest Wert aus Zebris Hardware (Schleife)
373 zebClass::zebGet() {
374
375     if (!zebFeedData(10000, false))
376         error = true;
377 }
378
379 //liest einzelnen Wert aus Zebris aus
380 zebClass::zebGetSingle() {
381     zebCheck(zebFeedDataSingle());
382 }
383
384 }
385
386
387 //stoppt Zebris Hardware
388 zebClass::zebStop() {
389
390     // Variable definieren
391     CString sTotalAtomCount;
392     // stop the device
393     zebCheck(ZebDevice_Stop(device));
394     // pull the remaining data
395     zebCheck(zebFeedData(100000, true));
396     //verbindung zum zebris schliessen
397     // ZebDevice_Release(device);
398
399 }
400
401 zebClass::~zebClass()
402 {
403
404 }

```

F C++ Klasse USG, das Hauptprogramm

```

1 // usgDlg.cpp : Implementierungsdatei
2 //
3
4 #include "stdafx.h"
5 #include "usg.h"
6 #include "usgDlg.h"
7 #include "common.h"
8 #include "afxtempl.h" //CArray Klasse
9 #include "XMath.h"
10 #include <math.h>
11 #include "mmsystem.h"
12 #ifdef _DEBUG
13 #define new DEBUG_NEW
14 #undef THIS_FILE
15 static char THIS_FILE[] = __FILE__;
16 #endif
17
18 ///////////////////////////////////////////////////////////////////////////////////////////////////////////////////////////////////
19 // CAboutDlg-Dialogfeld für Anwendungsbehl "Info"
20
21 class CAboutDlg : public CDialog
22 {
23 public:
24     CAboutDlg();
25
26 // Dialogfelddaten
27 //{{AFX_DATA(CAboutDlg)
28     enum { IDD = IDD_ABOUTBOX };
29 //}}AFX_DATA
30
31 // Vom Klassenassistenten generierte Überladungen virtueller Funktionen
32 //{{AFX_VIRTUAL(CAboutDlg)
33     protected:
34     virtual void DoDataExchange(CDataExchange* pDX); // DDX/DDV-Unterstützung
35 //}}AFX_VIRTUAL
36
37 // Implementierung
38     protected:
39     //{{AFX_MSG(CAboutDlg)
40     //}}AFX_MSG
41     DECLARE_MESSAGE_MAP()
42 };
43
44 CAboutDlg::CAboutDlg() : CDialog(CAboutDlg::IDD)
45 {
46     //{{AFX_DATA_INIT(CAboutDlg)
47     //}}AFX_DATA_INIT
48 }
49
50 void CAboutDlg::DoDataExchange(CDataExchange* pDX)
51 {
52     CDialog::DoDataExchange(pDX);
53 //{{AFX_DATA_MAP(CAboutDlg)
54 //}}AFX_DATA_MAP
55 }
56
57 BEGIN_MESSAGE_MAP(CAboutDlg, CDialog)
58 //{{AFX_MSG_MAP(CAboutDlg)
59 // Keine Nachrichten-Handler
60 //}}AFX_MSG_MAP
61 END_MESSAGE_MAP()
62
63 ///////////////////////////////////////////////////////////////////////////////////////////////////////////////////////////////////
64 // CUsgDlg Dialogfeld
65
66 CUsgDlg::CUsgDlg(CWnd* pParent /*=NULL*/)
67 : CDialog(CUsgDlg::IDD, pParent)
68 {
69     //{{AFX_DATA_INIT(CUsgDlg)
70     //}}AFX_DATA_INIT
71 // Beachten Sie, dass LoadIcon unter Win32 keinen nachfolgenden DestroyIcon-Aufruf benötigt
72     m_hIcon = AfxGetApp()->LoadIcon(IDR_MAINFRAME);
73 }
74
75 void CUsgDlg::DoDataExchange(CDataExchange* pDX)
76 {
77     CDialog::DoDataExchange(pDX);
78 //{{AFX_DATA_MAP(CUsgDlg)
79     DDX_Control(pDX, IDC_BUTTON2, m_fooButtonCopy2CB);
80     DDX_Control(pDX, IDC_FOOTTYPE, m_fooButtonPaint);

```


ANHANG F: QUELLCODE DER KLASSE USG

```

81 DDX_Control(pDX, IDC_VIEW2, m_fooButtonView2);
82 DDX_Control(pDX, IDC_YZ, m_fooButtonYZ);
83 DDX_Control(pDX, IDC_XY, m_fooButtonXY);
84 DDX_Control(pDX, IDC_XZ, m_fooButtonXZ);
85 DDX_Control(pDX, IDC_VIEW, m_fooButtonView);
86 DDX_Control(pDX, IDC_PROPERTY, m_fooButtonProperty);
87 DDX_Control(pDX, IDC_RESET, m_fooButtonReset);
88 DDX_Control(pDX, IDC_MESSUNG, m_fooButtonMessung);
89 DDX_Control(pDX, IDC_KOOR, m_fooButtonKoor);
90 DDX_Control(pDX, IDC_NEU, m_fooButtonProband);
91 DDX_Control(pDX, IDC_OK, m_fooButtonOK);
92 DDX_Control(pDX, IDC_SAVE, m_fooButtonSave);
93 DDX_Control(pDX, IDC_NTGRAPH3D1, m_3D);
94 //}}AFX_DATA_MAP
95 }
96
97 BEGIN_MESSAGE_MAP(CUsgDlg, CDialog)
98 //{{AFX_MSG_MAP(CUsgDlg)
99 ON_WM_SYSCOMMAND()
100 ON_WM_PAINT()
101 ON_WM_QUERYDRAGICON()
102 ON_BN_CLICKED(IDC_NEU, OnNeu)
103 ON_COMMAND(PROB_NEW, OnProbNew)
104 ON_COMMAND(MESS_SETTINGS, OnSettings)
105 ON_COMMAND(HELP_CONTENT, OnContent)
106 ON_COMMAND(HELP_INFO, OnInfo)
107 ON_COMMAND(MESS_XYZ, OnXyz)
108 ON_BN_CLICKED(IDC_KOOR, OnKoor)
109 ON_BN_CLICKED(IDC_RESET, OnReset)
110 ON_COMMAND(FILE_SAVE, OnSave)
111 ON_COMMAND(FILE_OPEN, OnOpen)
112 ON_BN_CLICKED(IDC_MESSUNG, OnMessung)
113 ON_COMMAND(SAVEDATA, OnSAVEDATA)
114 ON_BN_CLICKED(IDC_CALCNEW, OnCalcnew)
115 ON_COMMAND(MENUCALCNEW, OnMENUCALCNEW)
116 ON_COMMAND(MESS_RESET, OnResetDialog)
117 ON_BN_CLICKED(IDC_MITTEL, OnMittel)
118 ON_BN_CLICKED(IDC_PUNKT3, OnPunkt3)
119 ON_BN_CLICKED(IDC_PROPERTY, OnProperty)
120 ON_BN_CLICKED(IDC_VIEW, OnView)
121 ON_BN_CLICKED(IDC_YZ, OnYz)
122 ON_BN_CLICKED(IDC_XY, OnXy)
123 ON_BN_CLICKED(IDC_XZ, OnXz)
124 ON_COMMAND(ID_ANSICHT_ZOOM, OnAnsichtZoom)
125 ON_COMMAND(ID_ANSICHT_ROT, OnAnsichtRot)
126 ON_COMMAND(ID_ANSICHT_PAN, OnAnsichtPan)
127 ON_COMMAND(ID_ANSICHT_SAGITALEBENEYZ, OnAnsichtSagitalebeneyz)
128 ON_COMMAND(ID_ANSICHT_TRANSVERSALEBENEXY, OnAnsichtTransversalebenexy)
129 ON_COMMAND(ID_ANSICHT_FRONTALEBENEXZ, OnAnsichtFrontalebenexz)
130 ON_COMMAND(ID_ANSICHT_EIGENSCHAFTEN, OnAnsichtEigenschaften)
131 ON_COMMAND(ID_ANSICHT_GRAPHKOPIEREN, OnAnsichtGraphkopieren)
132 ON_BN_CLICKED(IDC_VIEW2, OnView2)
133 ON_BN_CLICKED(IDC_FOOTTYPE, OnFootType)
134 ON_BN_CLICKED(IDC_SAVE, OnSave)
135 ON_COMMAND(MESS_PUNKT3, OnPunkt3)
136 ON_COMMAND(MESS_MITTEL, OnMittel)
137 ON_BN_CLICKED(IDC_BUTTON2, OnCopy2CB)
138 //}}AFX_MSG_MAP
139 END_MESSAGE_MAP()
140
141 //////////////////////////////////////
142 // CUsgDlg Nachrichten-Handler
143
144 BOOL CUsgDlg::OnInitDialog()
145 {
146     CDialog::OnInitDialog();
147
148     //Probandendaten
149     m_Proband.m_mFuss = 1;
150     m_Proband.m_pGeschlecht = 1;
151     m_Proband.m_pName = "Nachname, Vorname";
152     m_Proband.m_pAnamnese = "—";
153     m_Proband.m_pBemerkung = "—";
154     m_Proband.m_pGewicht = "—";
155     m_Proband.m_pBeins = "—";
156     m_Proband.m_mDatum = "—";
157     m_Proband.m_mBemerkung = "—";
158     m_Proband.m_pCode = "—";
159     m_Proband.m_pDatum = "dd.mm.yyyy";
160     m_Proband.m_pFuss = "300";
161     m_Proband.m_pTritt = "—";
162
163     //Variablen initiieren für Ausgabe Stab (Fehler) an GUI
164     m_iStabDev = 1;

```

ANHANG F: QUELLCODE DER KLASSE USG

```

165     m_iStabInc = 1;
166     m_iStabAng = 1;
167     m_iStabLever = 1;
168     // Hinzufügen des Menübefehls "Info..." zum Systemmenü.
169     output2 = 'm'; //Anzeigemodus Instantan/Finite
170     //Die Anzeige der Winkel formatiern
171     m_stcUsgInc.SubclassDlgItem(IDC.USGINC, this); //Klasse erstellen USGA Inc
172     m_stcUsgInc.SetTextColor( RGB(255,255,50) );
173     m_stcUsgInc.SetBkColor( RGB(51,102,102) );
174
175     m_stcUsgDev.SubclassDlgItem(IDC.USGDEV, this); //Klasse für DEV
176     m_stcUsgDev.SetTextColor( RGB(255,255,50) );
177     m_stcUsgDev.SetBkColor( RGB(51,102,102) );
178
179     m_stcUsgAngle.SubclassDlgItem(IDC.USGDREH, this); //Klasse erstellen Drehwinkel
180     m_stcUsgAngle.SetTextColor( RGB(255,255,50) );
181     m_stcUsgAngle.SetBkColor( RGB(51,102,102) );
182
183     m_stcUsgLever.SubclassDlgItem(IDC.USGHEBEL, this); //Klasse erstellen Hebel
184     m_stcUsgLever.SetTextColor( RGB(255,255,50) );
185     m_stcUsgLever.SetBkColor( RGB(51,102,102) );
186     ////////////////////////////////////////
187     //Die Anzeige der Winkel formatiern
188     m_stcOsgInc.SubclassDlgItem(IDC.OSGINC, this); //Klasse erstellen OSGA Inc
189     m_stcOsgInc.SetTextColor( RGB(255,255,50) );
190     m_stcOsgInc.SetBkColor( RGB(51,102,102) );
191
192     m_stcOsgDev.SubclassDlgItem(IDC.OSGDEV, this); //Klasse für DEV erstellen
193     m_stcOsgDev.SetTextColor( RGB(255,255,50) );
194     m_stcOsgDev.SetBkColor( RGB(51,102,102) );
195
196     m_stcOsgAngle.SubclassDlgItem(IDC.OSGDREH, this); //Klasse erstellen Drehwinkel
197     m_stcOsgAngle.SetTextColor( RGB(255,255,50) );
198     m_stcOsgAngle.SetBkColor( RGB(51,102,102) );
199
200     m_stcOsgLever.SubclassDlgItem(IDC.OSGHEBEL, this); //Klasse erstellen Hebel
201     m_stcOsgLever.SetTextColor( RGB(255,255,50) );
202     m_stcOsgLever.SetBkColor( RGB(51,102,102) );
203
204     //Klasse Font erstellen
205     Font.CreateFont(48, 0, 0, 0, FW_BOLD, 0, 0, 0, DEFAULT_CHARSET,OUT_CHARACTER_PRECIS,
        CLIP_CHARACTER_PRECIS, DEFAULT_QUALITY,DEFAULT_PITCH | FF_DONTCARE, "Arial");
206     //Winkel1 Text font ändern
207     GetDlgItem( IDC.USGINC )->SetFont(&Font);
208     //Winkel2 Text Font ändern
209     GetDlgItem( IDC.USGDEV )->SetFont(&Font);
210     //Winkel3 Text Font ändern
211     GetDlgItem( IDC.USGDREH )->SetFont(&Font);
212     //Winkel4 Text Font ändern
213     GetDlgItem( IDC.USGHEBEL )->SetFont(&Font);
214
215     GetDlgItem( IDC.USGINC )->SetWindowText( "--" );
216     GetDlgItem( IDC.USGDEV )->SetWindowText( "--" );
217     GetDlgItem( IDC.USGDREH )->SetWindowText( "--" );
218     GetDlgItem( IDC.USGHEBEL )->SetWindowText( "--" );
219
220
221
222     ////////////////////////////////////////
223     //Winkel1 Text font ändern
224     GetDlgItem( IDC.OSGINC )->SetFont(&Font);
225     //Winkel2 Text Font ändern
226     GetDlgItem( IDC.OSGDEV )->SetFont(&Font);
227     //Winkel3 Text Font ändern
228     GetDlgItem( IDC.OSGDREH )->SetFont(&Font);
229     //Winkel4 Text Font ändern
230     GetDlgItem( IDC.OSGHEBEL )->SetFont(&Font);
231
232     GetDlgItem( IDC.OSGINC )->SetWindowText( "--" );
233     GetDlgItem( IDC.OSGDEV )->SetWindowText( "--" );
234     GetDlgItem( IDC.OSGDREH )->SetWindowText( "--" );
235     GetDlgItem( IDC.OSGHEBEL )->SetWindowText( "--" );
236
237     //Setzt die Variable zebFirstRun
238     zebFirstRun = true;
239
240     //Buttons
241     m_fooButtonSave.setBitmapId( IDB.SAVE, RGB(255,0,255) ); //Save Button
242     m_fooButtonOK.setBitmapId( IDB.CLOSE, RGB(255,0,255) ); //Close Button
243     m_fooButtonProband.setBitmapId( IDB.PROB, RGB(255,0,255) ); //Probandendaten Button
244     m_fooButtonKoor.setBitmapId( IDB.XYZ1, RGB(255,0,255) ); //Koordinatenfestlegen Button
245     m_fooButtonMessung.setBitmapId( IDB.MESS, RGB(255,0,255) ); //Messung starten Button
246     m_fooButtonReset.setBitmapId( IDB.DEL, RGB(255,0,255) ); //Zurücksetzen Button
247     m_fooButtonProperty.setBitmapId( IDB.XYZ, RGB(255,0,255) ); //Property Button

```

ANHANG F: QUELLCODE DER KLASSE USG

```

248 m_fooButtonView.setImageBitmap(IDB_VIEW, RGB(255,0,255)); //View Button (Rot,Pan,Zoom)
249 m_fooButtonXZ.setImageBitmap(IDB_YZ, RGB(255,0,255));
250 m_fooButtonXY.setImageBitmap(IDB_XY, RGB(255,0,255));
251 m_fooButtonYZ.setImageBitmap(IDB_XZ, RGB(255,0,255));
252 m_fooButtonCopy2CB.setImageBitmap(IDB_COPY2CB, RGB(255,0,255));
253 m_fooButtonView2.setImageBitmap(IDB_VIEW2, RGB(255,0,255)); //view Button orthographic/
    perspektive
254 m_fooButtonPaint.setImageBitmap(IDB_PAINT, RGB(255,0,255)); //Paint button
255
256
257 //group buttons
258 m_fooButtonXY.addToGroup(_T("view"));
259 m_fooButtonXZ.addToGroup(_T("view"));
260 m_fooButtonYZ.addToGroup(_T("view"));
261
262 //NTGraph3D Einstellungen
263 m_iTrackMode = 2; //TrackMode = Rot
264 m_iView2 = 1; //ansicht rechtwinklig/orthographic
265 m_3D.SetCaption("keine_Daten");
266 m_3D.SetTrackMode(m_iTrackMode); //Beim Dialogstart wird Rotation angeschalten
267 m_3D.SetProjection(m_iView2); //Ansicht Orthographic
268 m_3D.SetRange(-150,150,0,300); //Range
269 m_3D.SetCaptionColor( RGB(66,66,66) );
270 m_3D.SetXGridNumber(6);
271 m_3D.SetYGridNumber(6);
272 m_3D.SetZGridNumber(6);
273
274 IFontDisp* TestFont;
275 //TestFont->Invoke();
276
277 //m_3D.SetFont(TestFont);
278 //fläche zeichnen
279 m_iFootType = 1;
280
281 // IDMLABOUTBOX muss sich im Bereich der Systembefehle befinden.
282 ASSERT((IDMLABOUTBOX & 0xFFF0) == IDMLABOUTBOX);
283 ASSERT(IDMLABOUTBOX < 0xF000);
284
285 CMenu* pSysMenu = GetSystemMenu(FALSE);
286 if (pSysMenu != NULL)
287 {
288     CString strAboutMenu;
289     strAboutMenu.LoadString(IDS_ABOUTBOX);
290     if (!strAboutMenu.IsEmpty())
291     {
292         pSysMenu->AppendMenu(MF_SEPARATOR);
293         pSysMenu->AppendMenu(MF_STRING, IDMLABOUTBOX, strAboutMenu);
294     }
295 }
296
297 // Symbol für dieses Dialogfeld festlegen. Wird automatisch erledigt
298 // wenn das Hauptfenster der Anwendung kein Dialogfeld ist
299 SetIcon(m_hIcon, TRUE); // Großes Symbol verwenden
300 SetIcon(m_hIcon, FALSE); // Kleines Symbol verwenden
301
302 // ZU ERLEDIGEN: Hier zusätzliche Initialisierung einfügen
303
304
305 return TRUE; // Geben Sie TRUE zurück, außer ein Steuerelement soll den Fokus erhalten
306 }
307
308 void CUsgDlg::OnSysCommand(UINT nID, LPARAM lParam)
309 {
310     if ((nID & 0xFFF0) == IDMLABOUTBOX)
311     {
312         CAboutDlg dlgAbout;
313         dlgAbout.DoModal();
314     }
315     else
316     {
317         CDialog::OnSysCommand(nID, lParam);
318     }
319 }
320
321 // Wollen Sie Ihrem Dialogfeld eine Schaltfläche "Minimieren" hinzufügen, benötigen Sie
322 // den nachstehenden Code, um das Symbol zu zeichnen. Für MFC-Anwendungen, die das
323 // Dokument/Ansicht-Modell verwenden, wird dies automatisch für Sie erledigt.
324
325 void CUsgDlg::OnPaint()
326 {
327     if (IsIconic())
328     {
329         CPaintDC dc(this); // Gerätekontext für Zeichnen
330

```

ANHANG F: QUELLCODE DER KLASSE USG

```

331     SendMessage(WMLICONERASEBKGDND, (WPARAM) dc.GetSafeHdc(), 0);
332
333     // Symbol in Client-Rechteck zentrieren
334     int cxIcon = GetSystemMetrics(SMLCXICON);
335     int cyIcon = GetSystemMetrics(SMLCYICON);
336     CRect rect;
337     GetClientRect(&rect);
338     int x = (rect.Width() - cxIcon + 1) / 2;
339     int y = (rect.Height() - cyIcon + 1) / 2;
340
341     // Symbol zeichnen
342     dc.DrawIcon(x, y, m_hIcon);
343 }
344 else
345 {
346     CDialog::OnPaint();
347 }
348 }
349
350 // Die Systemaufrufe fragen den Cursorform ab, die angezeigt werden soll, während der Benutzer
351 // das zum Symbol verkleinerte Fenster mit der Maus zieht.
352 HCURSOR CUsgDlg::OnQueryDragIcon()
353 {
354     return (HCURSOR) m_hIcon;
355 }
356
357 void CUsgDlg::OnNeu()
358 {
359     // TODO: Code für die Behandlungsroutine der Steuerelement-Benachrichtigung hier einfügen
360     m_Proband.DoModal();
361
362     CString m_cGeschlecht, m_cFuss;
363
364     if (m_Proband.m_pGeschlecht == 0) m_cGeschlecht = "männlich";
365     else m_cGeschlecht = "weiblich";
366
367     if (m_Proband.m_mFuss == 0) m_cFuss = "links";
368     else m_cFuss = "rechts";
369
370
371     //Zeile 1
372     m_ProbTemp = "";
373     m_ProbTemp += "\rDatenblatt_OSGA/_USGA_Bestimmung\n"; //war mit \r
374     //Zeile 2
375     m_ProbTemp += "Probandendaten\n";
376     //Zeile 3
377     m_ProbTemp += "Name;_Code;_Geburtsdatum;_Gewicht;_Geschlecht;_Fusslänge;_Anamnese;_Trittspur;_
378     Beinstellung;_Bemerkung\n";
379     //Zeile 4
380     m_ProbTemp += m_Proband.m_pName + ";" + m_Proband.m_pCode + ";" + m_Proband.m_pDatum + ";" +
381     m_Proband.m_pGewicht + ";" + m_cGeschlecht + ";" + m_Proband.m_pFuss + ";" + m_Proband.
382     m_pAnamnese + ";" + m_Proband.m_pTritt + ";" + m_Proband.m_pBeins + ";" + m_Proband.m_pBemerkung
383     + "\n";
384     //Zeile 5
385     m_ProbTemp += "Messdaten\n";
386     //Zeile 6
387     m_ProbTemp += "Messdatum;_Bemerkung;_Fuss\n";
388     m_ProbTemp += m_Proband.m_mDatum + ";" + m_Proband.m_mBemerkung + ";" + m_cFuss + "\n\n";
389
390 }
391
392 void CUsgDlg::OnProbNew()
393 {
394     // TODO: Code für Befehlsbehandlungsroutine hier einfügen
395     //Hier Funktion einfügen
396     OnNeu();
397 }
398
399 void CUsgDlg::OnSettings()
400 {
401     // TODO: Code für Befehlsbehandlungsroutine hier einfügen
402     //Configurations Fenster aufrufen, in der zebris dll
403     cMessung.zebConf();
404 }
405
406 void CUsgDlg::OnContent()
407 {
408     // TODO: Code für Befehlsbehandlungsroutine hier einfügen
409     m_Inhalt.DoModal();
410 }

```

ANHANG F: QUELLCODE DER KLASSE USG

```

411 }
412 }
413
414 void CUsgDlg::OnInfo()
415 {
416     // TODO: Code für Befehlsbehandlungsroutine hier einfügen
417     m_Info.DoModal();
418 }
419 }
420
421
422
423
424
425
426
427
428 ///////////////////////////////////////////////////////////////////
429 //Funktion um die Punkte für die Berechnung des Koordinatensystems einzuziehen
430 void CUsgDlg::OnXyz()
431 {
432     // TODO: Code für Befehlsbehandlungsroutine hier einfügen
433
434     ZebSignal1 = 0; //kein Signal von Zebris Marker 1
435     ZebSignal2 = 0; //kein Signal von Zebris Marker 2
436     ZebRec = 0;
437     ZebSignalOK = 0; //Aufgenommenes Signal OK?!?
438     pNextStep = 0; //Zeiger um dialoge weiter zuschalten
439
440     //Aufrufen des Dialogs für festlegen Koordinatensystem, FENSTER 1
441     m_Koordinaten1.pSignal1 = &ZebSignal1; //übergibt den zeiger auf ZebSignal1 (Signal an/aus)
442     m_Koordinaten1.pSignal2 = &ZebSignal2; //übergibt den zeiger auf ZebSignal2 (Signal an/aus)
443     m_Koordinaten1.pZebRec = &ZebRec; //Zeiger Aufnahmebutton gedrückt
444     m_Koordinaten1.ZebSignalOK = &ZebSignalOK; //Zeiger auf Signal OK
445     m_Koordinaten1.closeDialog = &closeDialog; //Zeiger auf Var closeDialog
446     m_Koordinaten1.pNextStep = &pNextStep; //Zeiger auf var um Dialoge weiter zu schalten
447
448
449     //STEP 1
450     xyz_step = 1; //Schritt ein, erster Punkt wird aufgezeichnet
451     m_Koordinaten1.DoModal();
452     ZebSignalOK = 0; //SignalOK zurücksetzen
453     closeDialog = 0;
454     pNextStep = 0; //Zeiger um dialoge weiter zuschalten
455
456     //STEP 2
457     //Abfrage ob weiter gedrückt, ansonsten abbruch
458     if (m_Koordinaten1.m_Cali == 1) {
459         xyz_step = 2; //war einzug step 1 OK ??? dann step 2
460         //Aufruf des Dialogs, Übergabe der wichtigen Variablen
461         m_Koordinaten2.pSignal1 = &ZebSignal1; //übergibt den zeiger auf ZebSignal1 (Signal an/aus)
462         m_Koordinaten2.pSignal2 = &ZebSignal2; //übergibt den zeiger auf ZebSignal2 (Signal an/aus)
463         m_Koordinaten2.pZebRec = &ZebRec; //Zeiger Aufnahmebutton gedrückt
464         m_Koordinaten2.ZebSignalOK = &ZebSignalOK; //Zeiger auf Signal OK
465         m_Koordinaten2.closeDialog = &closeDialog; //Zeiger auf Var closeDialog
466         m_Koordinaten2.pNextStep = &pNextStep; //Zeiger auf var um Dialoge weiter zu schalten
467         //Aufruf Dialog2
468         m_Koordinaten2.DoModal();
469         ZebSignalOK = 0; //SignalOK zurücksetzen
470         closeDialog = 0; //zurücksetzen
471         pNextStep = 0; //Zeiger um dialoge weiter zuschalten zurücksetzen
472
473     //STEP 3
474     //Wenn in Dialog2 weiter gedrückt ...
475     if (m_Koordinaten2.m_Cali == 1) {
476         xyz_step = 3; //war einzug step 1 OK ??? dann step 2
477         //Aufruf des Dialogs, Übergabe der wichtigen Variablen
478         m_Koordinaten3.pSignal1 = &ZebSignal1; //übergibt den zeiger auf ZebSignal1 (Signal an/aus)
479         m_Koordinaten3.pSignal2 = &ZebSignal2; //übergibt den zeiger auf ZebSignal2 (Signal an/aus)
480         m_Koordinaten3.pZebRec = &ZebRec; //Zeiger Aufnahmebutton gedrückt
481         m_Koordinaten3.ZebSignalOK = &ZebSignalOK; //Zeiger auf Signal OK
482         m_Koordinaten3.closeDialog = &closeDialog; //Zeiger auf Var closeDialog
483         m_Koordinaten3.pNextStep = &pNextStep; //Zeiger auf var um Dialoge weiter zu schalten
484
485         //Aufruf Dialog3
486         m_Koordinaten3.DoModal();
487         ZebSignalOK = 0; //SignalOK zurücksetzen
488         closeDialog = 0; //zurücksetzen
489         pNextStep = 0; //Zeiger um dialoge weiter zuschalten zurücksetzen
490         //Wenn in Dialog3 weiter gedrückt
491         if (m_Koordinaten3.m_Cali == 1) {
492             xyz_step = 4; //war einzug step 1 OK ??? dann step 2

```


ANHANG F: QUELLCODE DER KLASSE USG

```

653     }
654     //keine Messung trotzdem Abfrage ob Signal 1 von zebris oder nicht
655     if (cMessung.zebX1)
656     {
657         ZebSignal1 = 1;
658     }
659     else
660     {
661         ZebSignal1 = 0;
662     }
663     //keine Messung trotzdem Abfrage ob Signal 2 von zebris oder nicht
664     if (cMessung.zebX2)
665     {
666         ZebSignal2 = 1;
667     }
668     else
669     {
670         ZebSignal2 = 0;
671     }
672
673
674     cMessung.zebGetSingle();
675     //////////////////////////////////////
676     //Funktion ZebrisSchalter
677     //Schalter 2, WEITERSCHALTEN!!!!
678     // Schalter 2 gedrückt, ansteigende Flanke, nur wenn vorher ein Signal aufgezeichnet wurde
679     // (ZebSignalOK==1)
680     if (POS2 == 0 && cMessung.ON2 == 1 && ZebSignalOK == 1)
681     {
682         POS2 = 1;
683         ON2 = 1;
684     }
685     //Schalter 2 losgelassen, abfallende Flanke
686     if (POS2 == 1 && cMessung.ON2 == 0)
687     {
688         POS2 = 0;
689     }
690     // Schalter 2
691     //////////////////////////////////////
692     if (ON2 == 1)
693     {
694         ON2 = 0;
695         pNextStep = 1; //Dialog wird weiter geschalten
696         ::PlaySound("c:\\windows\\media\\beeb2.wav", NULL, SND_FILENAME | SND_ASYNC );
697     }
698
699     //nur wenn Signale OK kann Signal aufgenommen werden
700     if (ZebSignal1 && ZebSignal2) {
701         //wenn schalter nicht gedrückt-> gedrückt, ansteigende Flanke
702         if (POS1 == 0 && cMessung.ON1 == 1)
703         {
704             POS1 = 1;
705             ON1 = 1;
706         }
707     }
708     //wenn Schalter losgelassen wird, abfallende Flanke
709     if (POS1 == 1 && cMessung.ON1 == 0)
710     {
711         POS1 = 0;
712     }
713
714
715     if (ZebRec || (ON1 == 1))
716     {
717         ON1 = 0;
718         ZebRec = 0; //Variable wieder auf 0 setzen sonst werden ständig werte eingezogen
719         if (cMessung.zebX1) //NOCH EINFÜGEN ABFRAGE OB DIE ANDEREN MESSWERTE AUCH OK SIND!!!!!!
720         {
721             if (xyz_step == 1) //Koordinaten Step 1
722             {
723                 pmarker1X1 = cMessung.zebX1;
724                 pmarker1Y1 = cMessung.zebY1;
725                 pmarker1Z1 = cMessung.zebZ1;
726                 pmarker2X1 = cMessung.zebX2;
727                 pmarker2Y1 = cMessung.zebY2;
728                 pmarker2Z1 = cMessung.zebZ2;
729
730                 if (pmarker1X1 && pmarker1Y1 && pmarker1Z1 && pmarker2X1 && pmarker2Y1 && pmarker2Z1)
731                 {
732                     ZebSignalOK = 1; //Aufgenommenes Signal OK? Dann weiter...
733                     ::PlaySound("c:\\windows\\media\\beeb.wav", NULL, SND_FILENAME | SND_ASYNC );
734                 }
735             }
736         }
737     }

```


ANHANG F: QUELLCODE DER KLASSE USG

```

735     if(xyz_step == 2) //Koordinaten Step 2
736     {
737         pmarker1X2 = cMessung.zebX1;
738         pmarker1Y2 = cMessung.zebY1;
739         pmarker1Z2 = cMessung.zebZ1;
740         pmarker2X2 = cMessung.zebX2;
741         pmarker2Y2 = cMessung.zebY2;
742         pmarker2Z2 = cMessung.zebZ2;
743
744         if(pmarker1X2 && pmarker1Y2 && pmarker1Z2 && pmarker2X2 && pmarker2Y2 && pmarker2Z2)
745             {
746                 ZebSignalOK = 1; //Aufgenommenes Signal OK? Dann weiter...
747                 ::PlaySound("c:\\windows\\media\\beeb.wav", NULL, SND_FILENAME | SND_ASYNC );
748             }
749     }
750     if(xyz_step == 3) //Koordinaten Step 3
751     {
752         pmarker1X3 = cMessung.zebX1;
753         pmarker1Y3 = cMessung.zebY1;
754         pmarker1Z3 = cMessung.zebZ1;
755         pmarker2X3 = cMessung.zebX2;
756         pmarker2Y3 = cMessung.zebY2;
757         pmarker2Z3 = cMessung.zebZ2;
758
759         if(pmarker1X3 && pmarker1Y3 && pmarker1Z3 && pmarker2X3 && pmarker2Y3 && pmarker2Z3)
760             {
761                 ZebSignalOK = 1; //Aufgenommenes Signal OK? Dann weiter...
762                 ::PlaySound("c:\\windows\\media\\beeb.wav", NULL, SND_FILENAME | SND_ASYNC );
763             }
764     }
765     if(xyz_step == 4) //Koordinaten Step 4
766     {
767         pmarker1X4 = cMessung.zebX1;
768         pmarker1Y4 = cMessung.zebY1;
769         pmarker1Z4 = cMessung.zebZ1;
770         pmarker2X4 = cMessung.zebX2;
771         pmarker2Y4 = cMessung.zebY2;
772         pmarker2Z4 = cMessung.zebZ2;
773
774         if(pmarker1X4 && pmarker1Y4 && pmarker1Z4 && pmarker2X4 && pmarker2Y4 && pmarker2Z4)
775             {
776                 ZebSignalOK = 1; //Aufgenommenes Signal OK? Dann weiter...
777                 ::PlaySound("c:\\windows\\media\\beeb.wav", NULL, SND_FILENAME | SND_ASYNC );
778             }
779     }
780     if(xyz_step == 5) //Koordinaten Step 5
781     {
782         pmarker1X5 = cMessung.zebX1;
783         pmarker1Y5 = cMessung.zebY1;
784         pmarker1Z5 = cMessung.zebZ1;
785         pmarker2X5 = cMessung.zebX2;
786         pmarker2Y5 = cMessung.zebY2;
787         pmarker2Z5 = cMessung.zebZ2;
788
789         if(pmarker1X5 && pmarker1Y5 && pmarker1Z5 && pmarker2X5 && pmarker2Y5 && pmarker2Z5)
790             {
791                 ZebSignalOK = 1; //Aufgenommenes Signal OK? Dann weiter...
792                 ::PlaySound("c:\\windows\\media\\beeb.wav", NULL, SND_FILENAME | SND_ASYNC );
793             }
794     }
795     if(xyz_step == 6) //Koordinaten Step 6
796     {
797         pmarker1X6 = cMessung.zebX1;
798         pmarker1Y6 = cMessung.zebY1;
799         pmarker1Z6 = cMessung.zebZ1;
800         pmarker2X6 = cMessung.zebX2;
801         pmarker2Y6 = cMessung.zebY2;
802         pmarker2Z6 = cMessung.zebZ2;
803
804         if(pmarker1X6 && pmarker1Y6 && pmarker1Z6 && pmarker2X6 && pmarker2Y6 && pmarker2Z6)
805             {
806                 ZebSignalOK = 1; //Aufgenommenes Signal OK? Dann weiter...
807                 ::PlaySound("c:\\windows\\media\\beeb.wav", NULL, SND_FILENAME | SND_ASYNC );
808             }
809     }
810 }
811 }
812 Sleep(1);
813

```

ANHANG F: QUELLCODE DER KLASSE USG

```

814
815     }
816
817
818
819     cMessung.zebStop();
820
821     sOutStatus = cMessung.zebStatus;
822 }
823 //Abfrage ob Hardwarefehler
824 closeDialog = cMessung.closeDialog;
825 }
826 //
827 ///////////////////////////////////////////////////////////////////
828
829
830
831
832
833
834
835
836 ///////////////////////////////////////////////////////////////////
837 //Start Messung
838 void CUsgDlg::OnMessung()
839 {
840     // TODO: Code für die Behandlungsroutine der Steuerelement-Benachrichtigung hier einfügen
841     //Thread starten für die Messung
842     m_zebMessControl = 1; //Variable für zebris an/aus
843     CWinThread* pThread = AfxBeginThread (thrFunction2, this); //Thread
844
845     OnMessAblauf(); //Aufruf der Funktion die den Messablauf macht
846
847 }
848
849 //Thread Starten
850 UINT CUsgDlg::thrFunction2(LPVOID pParam)
851 {
852     CUsgDlg* pDlg = (CUsgDlg*) pParam;
853     pDlg->OnMAxis();
854
855     return 0;
856 }
857
858
859 ///////////////////////////////////////////////////////////////////
860 // MESSUNG OSGA USGA
861 // Thread Funktion
862 void CUsgDlg::OnMAxis()
863 {
864
865     pos_osg_X.RemoveAll();
866     pos_osg_Y.RemoveAll();
867     pos_osg_Z.RemoveAll();
868     pos_usg_X.RemoveAll();
869     pos_usg_Y.RemoveAll();
870     pos_usg_Z.RemoveAll();
871     //Eigentliche Threadfunktion
872     //Zebris Starten
873     CString sOutStatus;
874
875     int ON1 = 0;
876     int POS1 = 0;
877     int ON2 = 0;
878     int POS2 = 0;
879
880     cMessung.zebStart(); //Zebris starten
881     sOutStatus = cMessung.zebStatus; //Status auslesen
882
883
884     while (m_zebMessControl) {
885         //keine Messung trotzdem Abfrage ob Signal 3 von zebris oder nicht
886         if (cMessung.zebX3 && cMessung.zebY3 && cMessung.zebZ3)
887             {
888                 ZebSignal3 = 1;
889             }
890         else
891             {
892                 ZebSignal3 = 0;
893             }
894         //keine Messung trotzdem Abfrage ob Signal 4 von zebris oder nicht
895         if (cMessung.zebX4 && cMessung.zebY4 && cMessung.zebZ4)
896             {
897                 ZebSignal4 = 1;

```

ANHANG F: QUELLCODE DER KLASSE USG

```

898     }
899     else
900     {
901         ZebSignal4 = 0;
902     }
903
904
905     cMessung.zebGetSingle();
906
907     //////////////////////////////////////
908     //Funktion ZebriSchalter
909     //Schalter 2, WEITERSCHALTEN!!!!
910     //Schalter 2 gedrückt, ansteigende Flanke, nur wenn vorher ein Signal aufgezeichnet wurde
911     // (ZebSignalOK==1)
912     if(POS2 == 0 && cMessung.ON2 == 1 && (ZebRec == 2 || ZebRec == 4))
913     {
914         POS2 = 1;
915         ON2 = 1;
916         pPressNext = 1; //bewirkt ein Weiterschalten
917     }
918     //Schalter 2 losgelassen, abfallende Flanke
919     if(POS2 == 1 && cMessung.ON2 == 0)
920     {
921         POS2 = 0;
922     }
923     // Schalter 2
924     //////////////////////////////////////
925
926     if(ON2 ==1)
927     {
928         ON2 = 0;
929         pNextStep = 1; //Dialog wird weiter geschalten
930         //::PlaySound("c:\windows\media\beeb2.wav", NULL, SND_FILENAME | SND_ASYNC );
931     }
932
933     //Überprüfung Signal OK?!?
934     if(ZebRec == 0 && ZebSignal3 == 1 || ZebRec == 1 && ZebSignal3 == 1 || ZebRec == 2 &&
935         ZebSignal4 == 1 || ZebRec == 3 && ZebSignal4 == 1)
936     {
937         //wenn schalter nicht gedrückt-> gedrückt, ansteigende Flanke
938         if(POS1 == 0 && cMessung.ON1 == 1)
939         {
940             POS1 = 1;
941             ON1 = 1;
942             pPressRec = 1;
943         }
944     }
945     //wenn Schalter losgelassen wird, abfallende Flanke
946     if(POS1 == 1 && cMessung.ON1 == 0)
947     {
948         POS1 = 0;
949     }
950
951     //Aufnahme Starten für Messung OSGA
952     if(ZebRec == 1)
953     {
954         if (cMessung.zebX3 && cMessung.zebY3 && cMessung.zebZ3) //Signal OK?!?
955         {
956             pos_osg-X.Add(cMessung.zebX3);
957             pos_osg-Y.Add(cMessung.zebY3);
958             pos_osg-Z.Add(cMessung.zebZ3);
959         }
960     }
961
962     //Aufnahme Starten für Messung USGA
963     if(ZebRec == 3)
964     {
965         if (cMessung.zebX4 && cMessung.zebY4 && cMessung.zebZ4) // Signal OK?!?
966         {
967             pos_usg-X.Add(cMessung.zebX4);
968             pos_usg-Y.Add(cMessung.zebY4);
969             pos_usg-Z.Add(cMessung.zebZ4);
970         }
971     }
972     Sleep(1);
973
974     }
975     cMessung.zebStop();
976
977     sOutStatus = cMessung.zebStatus;
978
979 } // Thread () ENDE

```

ANHANG F: QUELLCODE DER KLASSE USG

```

980 ///////////////////////////////////////////////////////////////////
981
982
983 ///////////////////////////////////////////////////////////////////
984 //Ablauf der Messung der Achsen
985 void CUsgDlg::OnMessAblauf()
986 {
987     stepThread = 1; //1 bedeutet Tread durchläuft "if" Abfrage OSGA, 2 -> USGA
988     ZebSignal3 = 0; //kein Signal von Zebris Marker 3
989     ZebSignal4 = 0; //kein Signal von Zebris Marker 4
990     ZebRec = 0;
991     ZebRecStep = 1;
992     //Variable setzen für rechtes oder linkes Bein
993     if (m_Proband.m_mFuss == 0)
994     {
995         Achse.Leg = 'L'; //Linkes Bein
996     }
997     else
998     {
999         Achse.Leg = 'R'; //Rechtes Bein
1000     }
1001     //Setzen Verschiedener Variablen, reservieren des Speicherbereichs
1002     m_MessWindow1.pSignal3 = &ZebSignal3; //übergibt den zeiger auf ZebSignal3 (Signal an/aus)
1003     m_MessWindow1.pZebRec = &ZebRec; //Zeiger Aufnahmebutton gedrückt
1004     m_MessWindow1.pZebRecStep = &ZebRecStep; //Zeiger Schritt aufnahme
1005     m_MessWindow1.closeDialog = &closeDialog; //zeiger auf die variable close dialog (fehler
        abfangen)
1006     m_MessWindow1.pPressRec = &pPressRec; //Zeiger für Record Button im Aufnahmefenster Messung
1007     m_MessWindow1.pPressNext = &pPressNext; //Zeiger für Weiter Button
1008     m_MessWindow1.DoModal(); //Öffnet das erste Messfenster
1009
1010     if (ZebRecStep == 2) {
1011         stepThread = 2; //Thread durchläuft die "if" schleife USGA
1012         m_MessWindow2.pSignal4 = &ZebSignal4; //übergibt den zeiger auf ZebSignal3 (Signal an/aus)
1013         m_MessWindow2.pZebRec = &ZebRec; //Zeiger Aufnahmebutton gedrückt
1014         m_MessWindow2.pZebRecStep = &ZebRecStep; //Zeiger Schritt aufnahme
1015         m_MessWindow2.closeDialog = &closeDialog; //zeiger auf die variable close dialog (fehler
            abfangen)
1016         m_MessWindow2.pPressRec = &pPressRec; //Zeiger für Record Button im Aufnahmefenster Messung
1017         m_MessWindow2.pPressNext = &pPressNext; //Zeiger für Weiter Button
1018         m_MessWindow2.DoModal(); //Öffnet das 2. Messfenster
1019     }
1020     m_zebMessControl = 0; //Thread Zebris 2 wird gestoppt, Zebris abgeschalten
1021
1022     int test =1;
1023     int test2 =2;
1024     //wenn messung erfolgreich berechnung
1025     if (ZebRecStep == 3) {
1026         //Aufruf der Funktion zum Ermitteln der Punkte zur Berechnung der Achsen
1027         OnCalculate();
1028     }
1029     else MessageBox("Messung_war_nicht_erfolgreich ,_nicht_alle_benötigten_Daten_wurden_eingezogen!\n
        r\nBerechnung_der_Achsen_wird_nicht_durchgeführt!", "Messfehler", MB_ICONERROR+
        MB_SETFOREGROUND+MB_OK);
1030
1031
1032 } // Messablauf() ENDE
1033 ///////////////////////////////////////////////////////////////////
1034 ///////////////////////////////////////////////////////////////////
1035
1036
1037 ///////////////////////////////////////////////////////////////////
1038 ///////////////////////////////////////////////////////////////////
1039 /////////////////////////////////////////////////////////////////// F I L T E R ///////////////////////////////////////////////////////////////////
1040 //Filter durchlaufen
1041 void CUsgDlg::callFilter()
1042 {
1043     fpos_osg.X.RemoveAll();
1044     fpos_osg.Y.RemoveAll();
1045     fpos_osg.Z.RemoveAll();
1046     fpos_usg.X.RemoveAll();
1047     fpos_usg.Y.RemoveAll();
1048     fpos_usg.Z.RemoveAll();
1049     int ndata, i;
1050     Fc=1; //Grenzfrequenz
1051     order=4; //Pole
1052     dt = 0.01333333333; //Periodendauer
1053     //Butterworthkoeffizienten berechnen
1054     Butterworth(Fc, dt, order, C, &NSections, &Tg);
1055
1056     //Fiter X Werte USGA
1057     //Filterinitialisieren
1058     Xdc = pos_usg_X[1]; //Startsignal festlegen
1059     FilterInit(Xdc, C, NSections, D);

```

ANHANG F: QUELLCODE DER KLASSE USG

```

1060 //Grösse SignalArray
1061 ndata = pos_usg_X.GetSize();
1062 for (i=0; i<ndata; i++) {
1063     Filter(&temp, pos_usg_X[i], NSections, C, D);
1064     fpos_usg_X.Add(temp);
1065 }
1066
1067 //Filter Y Werte USGA
1068 //Filterinitialisieren
1069 Xdc = pos_usg_Y[1]; //Startsignal festlegen
1070 FilterInit(Xdc, C, NSections, D);
1071 //Grösse SignalArray
1072 ndata = pos_usg_Y.GetSize();
1073 for (i=0; i<ndata; i++) {
1074     Filter(&temp, pos_usg_Y[i], NSections, C, D);
1075     fpos_usg_Y.Add(temp);
1076 }
1077
1078 //Filter Z Werte USGA
1079 //Filterinitialisieren
1080 Xdc = pos_usg_Z[1]; //Startsignal festlegen
1081 FilterInit(Xdc, C, NSections, D);
1082 //Grösse SignalArray
1083 ndata = pos_usg_Z.GetSize();
1084 for (i=0; i<ndata; i++) {
1085     Filter(&temp, pos_usg_Z[i], NSections, C, D);
1086     fpos_usg_Z.Add(temp);
1087 }
1088
1089 ///////////////////////////////////////////////////////////////////
1090 //FILTERN DER OSG WERTE
1091 //Fiter X Werte OSGA
1092 //Filterinitialisieren
1093 Xdc = pos_osg_X[1]; //Startsignal festlegen
1094 FilterInit(Xdc, C, NSections, D);
1095 //Grösse SignalArray
1096 ndata = pos_osg_X.GetSize();
1097 for (i=0; i<ndata; i++) {
1098     Filter(&temp, pos_osg_X[i], NSections, C, D);
1099     fpos_osg_X.Add(temp);
1100 }
1101
1102 //Filter Y Werte USGA
1103 //Filterinitialisieren
1104 Xdc = pos_osg_Y[1]; //Startsignal festlegen
1105 FilterInit(Xdc, C, NSections, D);
1106 //Grösse SignalArray
1107 ndata = pos_osg_Y.GetSize();
1108 for (i=0; i<ndata; i++) {
1109     Filter(&temp, pos_osg_Y[i], NSections, C, D);
1110     fpos_osg_Y.Add(temp);
1111 }
1112
1113 //Filter Z Werte USGA
1114 //Filterinitialisieren
1115 Xdc = pos_osg_Z[1]; //Startsignal festlegen
1116 FilterInit(Xdc, C, NSections, D);
1117 //Grösse SignalArray
1118 ndata = pos_osg_Z.GetSize();
1119 for (i=0; i<ndata; i++) {
1120     Filter(&temp, pos_osg_Z[i], NSections, C, D);
1121     fpos_osg_Z.Add(temp);
1122 }
1123 }
1124
1125 ///////////////////////////////////////////////////////////////////
1126 // Butterworth Filter Koeffizienten berechnen
1127 // Fc: Grenzfrequenz, Ts: Periodendauer, n: Pole (1-4)
1128 void CUsgDlg::Butterworth(double Fc, double Ts, int n, Filter_Coef C, int *NSections, double *Tg )
1129 {
1130     int Ns2, i, Modn;
1131     double Arg, Rep, Omega, OmegaSq, temp, W0, W1, m;
1132     double Zero, ONE, TWO, HALF, Pi;
1133
1134     Zero = 0;
1135     ONE = 1;
1136     TWO = 2;
1137     HALF = 0.5;
1138     Pi = 3.1415926535;
1139
1140     Arg = Pi * Ts * Fc;
1141     if (fabs(Arg) > 2.0 * Pi) {
1142         m = int(Arg / 2.0 / Pi);
1143         Arg = Arg - (m * 2.0 * Pi);

```

ANHANG F: QUELLCODE DER KLASSE USG

```

1144 }
1145 Omega= tan (Arg);
1146 OmegaSq=Omega*Omega;
1147 Modn=(n % 2);
1148 if (Modn==0)
1149 temp=HALF;
1150 else
1151 temp=Zero;
1152 Ns2=n/2;
1153 *NSections=Ns2+Modn;
1154 *Tg=Zero;
1155 if (n>1)
1156 for (i=1; i<Ns2+1; i++) {
1157 Rep=Omega*cos (Pi*(i-temp)/n);
1158 *Tg=*Tg+Ts*Rep/OmegaSq;
1159 W0=TWO*Rep;
1160 W1=ONE +W0+OmegaSq;
1161 C [1][ i]=-TWO*(OmegaSq-ONE)/W1;
1162 C [2][ i]=- (ONE-W0+OmegaSq)/W1;
1163 C [3][ i]=TWO;
1164 C [4][ i]=ONE;
1165 C [5][ i]=OmegaSq/W1;
1166 }
1167 if (temp == Zero) {
1168 C [1][ *NSections]=(ONE-Omega)/(ONE+Omega);
1169 C [2][ *NSections]= Zero;
1170 C [3][ *NSections]= ONE;
1171 C [4][ *NSections]= Zero;
1172 C [5][ *NSections]= Omega/(ONE+Omega);
1173 *Tg= *Tg+Ts/(TWO*Omega);
1174 }
1175 }
1176 //Butterworth()
1177
1178 ///////////////////////////////////////////////////////////////////
1179 //Filter initiieren
1180 // Xdc: Startfrequenz festlegen ,
1181 void CUsgDlg::FilterInit(double Xdc, Filter_Coef C, int NSections, Memory_Coef D)
1182 {
1183 double dc,Csum;
1184 int i,j;
1185 dc=Xdc;
1186 for (j=1; j<NSections+1; j++) {
1187 D[2][j]=dc/(1-C[1][j]-C[2][j]);
1188 D[1][j]=D[2][j];
1189 Csum=0;
1190 for (i=1; i<5; i++) Csum=Csum + C[i][j];
1191 dc=C[5][j]*(dc+D[2][j]*Csum);
1192 } //j loop
1193 }//FilterInit()
1194
1195
1196 ///////////////////////////////////////////////////////////////////
1197 //Filterfunktion
1198 void CUsgDlg::Filter(double *Xs,double Xd, int NSections, Filter_Coef C, Memory_Coef D)
1199 {
1200 double x,y,err;
1201 int i;
1202 x=Xd;
1203 for (i=1; i<NSections+1; i++) {
1204 err=x+C[1][i]*D[1][i]+C[2][i]*D[2][i];
1205 y=C[5][i]*(err +C[3][i]*D[1][i]+C[4][i]*D[2][i]);
1206 D[2][i]=D[1][i];
1207 D[1][i]=err;
1208 x=y;
1209 }
1210 *Xs=x;
1211 }//Filter()
1212
1213 // Ende Filterfunktionen
1214 ///////////////////////////////////////////////////////////////////
1215 ///////////////////////////////////////////////////////////////////
1216 ///////////////////////////////////////////////////////////////////
1217
1218
1219
1220
1221 ///////////////////////////////////////////////////////////////////
1222 //
1223 // Berechnungs routinen
1224 //
1225 ///////////////////////////////////////////////////////////////////
1226
1227 ///////////////////////////////////////////////////////////////////

```

ANHANG F: QUELLCODE DER KLASSE USG

```

1228 // Berechnung mehrerer Achsen, jeweils aus den Umkehrpunkten und dem Mittelpunkt
1229 void CUsuDlg::OnCalcAxis2()
1230 {
1231     ////////////////////////////////////////
1232     //                                     //
1233     //           punkte suchen             //
1234     //                                     //
1235     ////////////////////////////////////////
1236
1237     //Arrays für die Suche der Berechnungspunkt
1238     CArray<double, double>punkt1x;
1239     CArray<double, double>punkt1y;
1240     CArray<double, double>punkt1z;
1241     CArray<double, double>punkt2x;
1242     CArray<double, double>punkt2y;
1243     CArray<double, double>punkt2z;
1244     CArray<double, double>punkt3x;
1245     CArray<double, double>punkt3y;
1246     CArray<double, double>punkt3z;
1247     CArray<int, int>startP;
1248     CArray<int, int>endP;
1249
1250     //Variable für Bewegungsrichtung
1251     CString richtung;
1252     int iMove, changeDir, i;
1253     double xVector;
1254     double ab_min; //mindestabstand von p1 zu p3
1255     double ab_temp;
1256     double ab_max_temp = 0;
1257
1258     //Bewegungsrichtung, positiv -> von - nach +
1259     //Bewegungsrichtung, negativ -> von + nach -
1260     if (Achse.Leg == 'R')
1261     {
1262         iMove = 1; //bei rechtem Bein, geht die Bewegung von lateral nach medial -> -x nach +x ->
1263         //Bewegungsrichtung positiv
1264     }
1265     else iMove = -1; //linkes BEIN!
1266
1267     //Array löschen
1268     usg_INC.RemoveAll(); //Inlinationswinkel
1269     usg_DEV.RemoveAll(); //Deviationswinkel
1270     usg_AP_X.RemoveAll(); //Aufpunkt X
1271     usg_AP_Y.RemoveAll(); //Aufpunkt Y
1272     usg_AP_Z.RemoveAll(); //Aufpunkt Z
1273     usg_RV_X.RemoveAll(); //Richtungsvektor X
1274     usg_RV_Y.RemoveAll(); //Richtungsvektor Y
1275     usg_RV_Z.RemoveAll(); //Richtungsvektor Z
1276     usg_LEVER.RemoveAll(); //Hebel Achilles
1277     usg_INC1.RemoveAll(); //Inlinationswinkel
1278     usg_DEV1.RemoveAll(); //Deviationswinkel
1279     usg_AP_X1.RemoveAll(); //Aufpunkt X
1280     usg_AP_Y1.RemoveAll(); //Aufpunkt Y
1281     usg_AP_Z1.RemoveAll(); //Aufpunkt Z
1282     usg_RV_X1.RemoveAll(); //Richtungsvektor X
1283     usg_RV_Y1.RemoveAll(); //Richtungsvektor Y
1284     usg_RV_Z1.RemoveAll(); //Richtungsvektor Z
1285     usg_LEVER1.RemoveAll(); //Hebel Achilles
1286     usg_DIST1.RemoveAll(); //Abstand OSGA - USGA
1287
1288     //String für Ausgabe
1289     //sAxis2 = "USGA um OSGA berechnet;;;;;;USGA um OSGA (MLMM)\r\n";
1290     //sAxis2 += "Inc.; Dev.; Lever; AP(X); AP(Y); AP(Z); RV(X); RV(Y); RV(Z); Inc.; Dev.; Lever; AP(X); AP(Y);
1291     //AP(Z); RV(X); RV(Y); RV(Z)\r\n";
1292
1293     //Arrayeinträge USG Daten
1294     int size_usg = fpos_usg_X.GetSize();
1295     int n = 1;
1296     int vec_n;
1297     int reftime=50;
1298     int count_ref;
1299     UX_VECTOR3 temp_v;
1300     UX_VECTOR3 temp_P1;
1301     UX_VECTOR3 temp_P2;
1302     UX_VECTOR3 temp_P3;
1303     UX_VECTOR3 temp_P1P2;
1304     UX_VECTOR3 temp_P2P3;
1305     UX_VECTOR3 temp_P1P3;
1306
1307     //mindestabstand von min zu max, wobei der abstand mindestens 1/3 des start und endwertes sein
1308     //muss
1309     temp_P1.X=fpos_usg_X[1];
1310     temp_P1.Y=fpos_usg_Y[1];
1311     temp_P1.Z=fpos_usg_Z[1];

```

ANHANG F: QUELLCODE DER KLASSE USG

```

1309 temp_P3.X=fpos_usg_X [size_usg -1];
1310 temp_P3.Y=fpos_usg_Y [size_usg -1];
1311 temp_P3.Z=fpos_usg_Z [size_usg -1];
1312 temp_P1P3 = temp.v.Subtract(temp_P1, temp_P3);
1313 ab_min = temp_P1P3.Magnitude() /3;
1314
1315
1316 //start, p1 und p3 suchen, sortierung egal
1317 for(i=1; i<size_usg; i++) {
1318 //Punkt 1 wird zugewiesen
1319 if(n==1)
1320 {
1321 //dem Array P1 zuordnen
1322 punkt1x.Add(fpos_usg_X [i]);
1323 punkt1y.Add(fpos_usg_Y [i]);
1324 punkt1z.Add(fpos_usg_Z [i]);
1325 //temporären vektor zuordnen
1326 temp_P1.X=fpos_usg_X [i];
1327 temp_P1.Y=fpos_usg_Y [i];
1328 temp_P1.Z=fpos_usg_Z [i];
1329 //Zeilennummer/arraynummer Punkt1
1330 startP.Add(i);
1331
1332 n=2;
1333 }
1334 //Punkt2 wird gesucht
1335 if(n==2)
1336 {
1337 //temporären Vektor zuordnen
1338 temp_P3.X=fpos_usg_X [i];
1339 temp_P3.Y=fpos_usg_Y [i];
1340 temp_P3.Z=fpos_usg_Z [i];
1341 //Abstand/Vektor P1P2 berechnen
1342 temp_P1P3 = temp.v.Subtract(temp_P1, temp_P3);
1343 ab_temp = temp_P1P3.Magnitude();
1344
1345 //Wenn Abstand vom P1 zu P2 größer als der des vorherigen und größer als der mindestabstand
1346 if(ab_temp>=ab_min && ab_temp>=ab_max_temp)
1347 {
1348 ab_max_temp = ab_temp; //neuer maximal abstand
1349 vec_n = i; //Arraynummer (eintrag) gespeichert
1350 count_ref=0; //Zähler refraktär auf 0 setzen
1351 }
1352 //wenn der abstand kleiner als ab_max_temp (umkehrpunkt???)
1353 else if(ab_temp>=ab_min)
1354 {
1355 //durchzählen wieviele messwerte hintereinander kleiner sind
1356 if(count_ref<reftime)
1357 {
1358 count_ref++;
1359 }
1360 //bei mehr als reftime (50 werte)
1361 else
1362 {
1363 //vorher gefunde maxilamabstand/Punkt wird in Array geschrieben
1364 punkt3x.Add(fpos_usg_X [vec_n]);
1365 punkt3y.Add(fpos_usg_Y [vec_n]);
1366 punkt3z.Add(fpos_usg_Z [vec_n]);
1367
1368 //Zeilennummer/Arraynummer Ende
1369 endP.Add(vec_n);
1370
1371 ab_max_temp=0; //zurücksetzen
1372 count_ref=0; //zurücksetzen refraktärzeit
1373 n=1; //erster Punkt suchen/greifen
1374 i=vec_n; //weitermachen ab diesem Punkt
1375 }
1376 }
1377 } //ende if(n=2)
1378
1379 } //ende for schleife Punkte P1 P3 suchen
1380 ////////////////////////////////////////////////////////////////////////////////////////////////////////////////////////////////////
1381 ////////////////////////////////////////////////////////////////////////////////////////////////////////////////////////////////////
1382 //Mittelpunkt suchen P2
1383 ////////////////////////////////////////////////////////////////////////////////////////////////////////////////////////////////////
1384 //Länge Array Punkt3x
1385 int sizePoint = endP.GetSize();
1386 int j, countArray;
1387 int arrayStart, arrayEnd;
1388 double ab_max, ab_p1p2, ab_p2p3;
1389 //schleife alle arrayeinträge durchlaufen
1390 for(i=0; i<sizePoint; i++)
1391 {

```


ANHANG F: QUELLCODE DER KLASSE USG

```

1393 //start und endpunkt datensatz
1394 arrayStart=startP[i];
1395 arrayEnd=endP[i];
1396
1397 //Vektor P1P2, P2P3
1398 temp_P1.X = fpos_usg_X [ arrayStart ];
1399 temp_P1.Y = fpos_usg_Y [ arrayStart ];
1400 temp_P1.Z = fpos_usg_Z [ arrayStart ];
1401 temp_P3.X = fpos_usg_X [ arrayEnd ];
1402 temp_P3.Y = fpos_usg_Y [ arrayEnd ];
1403 temp_P3.Z = fpos_usg_Z [ arrayEnd ];
1404
1405 temp_P1P3 = temp_v.Subtract(temp_P1, temp_P3); //Vektor P1P3
1406 ab_min = temp_P1P3.Magnitude()/3; //Länge Vektor
1407 ab_max = 0;
1408 ab_max_temp = 0;
1409 //schleife punkte p1-p3 mittelpunkt suchen
1410 for (j=arrayStart; j<arrayEnd; j++)
1411 {
1412 //Vektor P1P2
1413 temp_P1P2.X = fpos_usg_X [ j ] - fpos_usg_X [ arrayStart ];
1414 temp_P1P2.Y = fpos_usg_Y [ j ] - fpos_usg_Y [ arrayStart ];
1415 temp_P1P2.Z = fpos_usg_Z [ j ] - fpos_usg_Z [ arrayStart ];
1416 //Vektor P2P3
1417 temp_P2P3.X = fpos_usg_X [ arrayEnd ] - fpos_usg_X [ j ];
1418 temp_P2P3.Y = fpos_usg_Y [ arrayEnd ] - fpos_usg_Y [ j ];
1419 temp_P2P3.Z = fpos_usg_Z [ arrayEnd ] - fpos_usg_Z [ j ];
1420
1421 ab_p1p2 = temp_P1P2.Magnitude(); //Abstand P1P2
1422 ab_p2p3 = temp_P2P3.Magnitude(); //Abstand P2P3
1423
1424 ab_max_temp = ab_p1p2 + ab_p2p3; //Abstand gesamt
1425
1426 //wert gefunden zuweisen
1427 //ab_max > vorher gefundener wer, vektor p1p2 und vektor p2p3 sollen in der mitte liegen
1428 if (ab_max_temp >= ab_max && ab_p1p2 > ab_min && ab_p2p3 > ab_min)
1429 {
1430 //neuer maximal wert
1431 ab_max = ab_max_temp;
1432
1433 //Arraynr zuweisen
1434 countArray = j;
1435 }
1436
1437 } //end abschnitte der Daten durchlaufen
1438
1439 //Punkt2 in Array schreiben
1440 punkt2x.Add(fpos_usg_X [ countArray ]);
1441 punkt2y.Add(fpos_usg_Y [ countArray ]);
1442 punkt2z.Add(fpos_usg_Z [ countArray ]);
1443 } //end forschleife arrayeinträge
1444 ////////////////////////////////////////
1445 // Ende Punkt P2 suchen //
1446 ////////////////////////////////////////
1447
1448 //Berechnen der Achsen
1449 //Vektoren für die punkte
1450 UXVECTOR3 tempP1;
1451 UXVECTOR3 tempP2;
1452 UXVECTOR3 tempP3;
1453
1454 CArray<double, double>P1X;
1455 CArray<double, double>P1Y;
1456 CArray<double, double>P1Z;
1457 CArray<double, double>P2X;
1458 CArray<double, double>P2Y;
1459 CArray<double, double>P2Z;
1460 CArray<double, double>P3X;
1461 CArray<double, double>P3Y;
1462 CArray<double, double>P3Z;
1463 CArray<int, int>iD;
1464 //Acharrays
1465 CArray<double, double>usgINC1;
1466 CArray<double, double>usgINC2;
1467 CArray<double, double>usgDEV1;
1468 CArray<double, double>usgDEV2;
1469 CArray<double, double>usgLEVER1;
1470 CArray<double, double>usgLEVER2;
1471 CArray<double, double>usgDIST1;
1472 CArray<double, double>usgANG1;
1473 CArray<double, double>usgANG2;
1474 CArray<double, double>usgAPX1;
1475 CArray<double, double>usgAPX2;
1476 CArray<double, double>usgAPY1;

```

ANHANG F: QUELLCODE DER KLASSE USG

```

1477 CArray<double, double>usgAPY2;
1478 CArray<double, double>usgAPZ1;
1479 CArray<double, double>usgAPZ2;
1480 CArray<double, double>usgRVX1;
1481 CArray<double, double>usgRVX2;
1482 CArray<double, double>usgRVY1;
1483 CArray<double, double>usgRVY2;
1484 CArray<double, double>usgRVZ1;
1485 CArray<double, double>usgRVZ2;
1486 CArray<int, int>usgERROR1;
1487 CArray<int, int>usgERROR2;
1488 double mINC1, mINC2, mDEV1, mDEV2, mLEVER1, mLEVER2, mDIST1, mANG1, mANG2,
1489 mAPX1, mAPX2, mAPY1, mAPY2, mAPZ1, mAPZ2,
1490 mRVX1, mRVX2, mRVY1, mRVY2, mRVZ1, mRVZ2;
1491 //0 setzen
1492 mINC1=0; mINC2=0; mDEV1=0; mDEV2=0; mLEVER1=0; mLEVER2=0; mDIST1=0; mANG1=0; mANG2=0;
1493 mAPX1=0; mAPX2=0; mAPY1=0; mAPY2=0; mAPZ1=0; mAPZ2=0;
1494 mRVX1=0; mRVX2=0; mRVY1=0; mRVY2=0; mRVZ1=0; mRVZ2=0;
1495
1496 //String für Ausgabe
1497 sAxis2 = "USGA_um_OSGA_(MLMM)\r\n"; //;;;;;;;;;USGA um OSGA (berechnet)\r\n";
1498 sAxis2 += "Inc.; Dev.; Lever; Drehwinkel; Abstand_OSGA/USGA; AP(X); AP(Y); AP(Z); RV(X); RV(Y); RV(Z); ; \r\n";
1499 //;;;;;;;;;
1500 //Punkte sortieren bei rechtem Bein p1<p2<p3, linkes Bein p1>p2>p3 //
1501 // Achsen berechnen //
1502 //;;;;;;;;;
1503 for (j=0; j<sizePoint; j++)
1504 {
1505 //rechtes Bein: p1<p3 alles ok-> zuweisen
1506 //linkes Bein: p1>p3 alles ok-> zuweisen
1507 if ((punkt1x[j]<punkt3x[j] && Achse.Leg=='R') || (punkt1x[j]>punkt3x[j] && Achse.Leg=='L'))
1508 {
1509 P1X.Add(punkt1x[j]); //Punkt1 zuweisen
1510 P1Y.Add(punkt1y[j]);
1511 P1Z.Add(punkt1z[j]);
1512 P2X.Add(punkt2x[j]); //Punkt2 zuweisen
1513 P2Y.Add(punkt2y[j]);
1514 P2Z.Add(punkt2z[j]);
1515 P3X.Add(punkt3x[j]); //Punkt3 zuweisen
1516 P3Y.Add(punkt3y[j]);
1517 P3Z.Add(punkt3z[j]);
1518
1519 //richtung angeben
1520 if (Achse.Leg=='R') iD.Add(1); //Inversion
1521 else if (Achse.Leg=='L') iD.Add(-1); //Inversion
1522 }
1523 //rechtes Bein: p1>p3 -> vertauschen
1524 //linkes Bein: p1<p3 -> vertauschen
1525 else if ((punkt1x[j]>punkt3x[j] && Achse.Leg=='R') || (punkt1x[j]<punkt3x[j] && Achse.Leg=='
1526 L'))
1527 {
1528 P1X.Add(punkt3x[j]); //Punkt1 zuweisen
1529 P1Y.Add(punkt3y[j]);
1530 P1Z.Add(punkt3z[j]);
1531 P2X.Add(punkt2x[j]); //Punkt2 zuweisen
1532 P2Y.Add(punkt2y[j]);
1533 P2Z.Add(punkt2z[j]);
1534 P3X.Add(punkt1x[j]); //Punkt3 zuweisen
1535 P3Y.Add(punkt1y[j]);
1536 P3Z.Add(punkt1z[j]);
1537
1538 //richtung angeben
1539 if (Achse.Leg=='R') iD.Add(-1); //Eversion
1540 else if (Achse.Leg=='L') iD.Add(1); //Eversion
1541 }
1542
1543 //Variable für Fehler auf 0 setzen
1544 usgERROR1.Add(0);
1545 usgERROR2.Add(0);
1546
1547 //Berechnung USGA
1548 Achse.calcUSG(P1X[j], P1Y[j], P1Z[j], P2X[j], P2Y[j], P2Z[j], P3X[j], P3Y[j], P3Z[j]);
1549
1550 //Zuweisung der Werte in Array
1551 //Um die MalleolenAchse
1552 usgINC1.Add(Achse.USG.incl); //Inclinationwinkel
1553 usgDEV1.Add(Achse.USG.dev1); //Deviationswinkel
1554 usgANG1.Add(Achse.USG.winkel); //Drehwinkel
1555 usgLEVER1.Add(Achse.lever_USG_1); //Hebel
1556 usgDIST1.Add(Achse.Dist); //Abstand OSGA/USGA
1557 usgAPX1.Add(Achse.USG.APX1); //Aufpunkt X
1558 usgAPY1.Add(Achse.USG.APY1); //Aufpunkt Y

```

ANHANG F: QUELLCODE DER KLASSE USG

```

1559 usgAPZ1.Add(Achse.USG_APZ1); //Aufpunkt Z
1560 usgRVX1.Add(Achse.USG_RVX1); //Richtungsvektor X
1561 usgRVY1.Add(Achse.USG_RVY1); //Richtungsvektor Y
1562 usgRVZ1.Add(Achse.USG_RVZ1); //Richtungsvektor Z
1563
1564
1565 //Um die gemessene OSGA
1566 usgINC2.Add(Achse.USG_Inc); //Inclinationswinkel
1567 usgDEV2.Add(Achse.USG_Dev); //Deviationswinkel
1568 usgANG2.Add(Achse.USG_winkel); //Dregwinkel
1569 usgLEVER2.Add(Achse.Lever_USGA); //Hebel
1570 usgAPX2.Add(Achse.USG_APX); //Aufpunkt X
1571 usgAPY2.Add(Achse.USG_APY); //Aufpunkt Y
1572 usgAPZ2.Add(Achse.USG_APZ); //Aufpunkt Z
1573 usgRVX2.Add(Achse.USG_RVX); //Richtungsvektor X
1574 usgRVY2.Add(Achse.USG_RVY); //Richtungsvektor Y
1575 usgRVZ2.Add(Achse.USG_RVZ); //Richtungsvektor Z
1576
1577 //Mittelwertberechnung, Summe
1578 //Malleolenachse
1579 mINC1 = mINC1 + usgINC1[j];
1580 mDEV1 = mDEV1 + usgDEV1[j];
1581 mANG1 = mANG1 + usgANG1[j];
1582 mLEVER1 = mLEVER1 + usgLEVER1[j];
1583 mDIST1 = mDIST1 + usgDIST1[j];
1584 mAPX1 = mAPX1 + usgAPX1[j];
1585 mAPY1 = mAPY1 + usgAPY1[j];
1586 mAPZ1 = mAPZ1 + usgAPZ1[j];
1587 mRVX1 = mRVX1 + usgRVX1[j];
1588 mRVY1 = mRVY1 + usgRVY1[j];
1589 mRVZ1 = mRVZ1 + usgRVZ1[j];
1590
1591 //berechnete Achse
1592 mINC2 = mINC2 + usgINC2[j];
1593 mDEV2 = mDEV2 + usgDEV2[j];
1594 mANG2 = mANG2 + usgANG2[j];
1595 mLEVER2 = mLEVER2 + usgLEVER2[j];
1596 mAPX2 = mAPX2 + usgAPX2[j];
1597 mAPY2 = mAPY2 + usgAPY2[j];
1598 mAPZ2 = mAPZ2 + usgAPZ2[j];
1599 mRVX2 = mRVX2 + usgRVX2[j];
1600 mRVY2 = mRVY2 + usgRVY2[j];
1601 mRVZ2 = mRVZ2 + usgRVZ2[j];
1602
1603 }//Ende for Schleife
1604 ////////////////////////////////////////////////////////////////////
1605 // Ende Achse berechnen //
1606 ////////////////////////////////////////////////////////////////////
1607 int av = sizePoint;
1608
1609 // MITTELWERT BERECHNUNG
1610 //teilen der summen zur mittelwertberechnung
1611 mINC1 = mINC1/av; //Malleolen Achse
1612 mDEV1 = mDEV1/av;
1613 mANG1 = mANG1/av;
1614 mLEVER1 = mLEVER1/av;
1615 mDIST1 = mDIST1/av;
1616 mAPX1 = mAPX1/av;
1617 mAPY1 = mAPY1/av;
1618 mAPZ1 = mAPZ1/av;
1619 mRVX1 = mRVX1/av;
1620 mRVY1 = mRVY1/av;
1621 mRVZ1 = mRVZ1/av;
1622
1623 mINC2 = mINC2/av; //berechnete Achse
1624 mDEV2 = mDEV2/av;
1625 mANG2 = mANG2/av;
1626 mLEVER2 = mLEVER2/av;
1627 mAPX2 = mAPX2/av;
1628 mAPY2 = mAPY2/av;
1629 mAPZ2 = mAPZ2/av;
1630 mRVX2 = mRVX2/av;
1631 mRVY2 = mRVY2/av;
1632 mRVZ2 = mRVZ2/av;
1633
1634 // STAB UND VAR BERECHNUNG
1635 //Variable Varianz und STAB
1636 double dVAR_INC1=0,dVAR_INC2=0,
1637 dVAR_DEV1=0, dVAR_DEV2=0,
1638 dVAR_LEVER1=0, dVAR_LEVER2=0, dVAR_DIST1=0,
1639 dVAR_ANG1=0, dVAR_ANG2=0;
1640 double dSTAB_INC1=0, dSTAB_INC2=0,
1641 dSTAB_DEV1=0, dSTAB_DEV2=0, dSTAB_DIST1=0,
1642 dSTAB_LEVER1=0, dSTAB_LEVER2=0,

```

ANHANG F: QUELLCODE DER KLASSE USG

```

1643     dSTAB_ANG1=0, dSTAB_ANG2;
1644     double quad;
1645     CString sSTAB_INC1, sSTAB_INC2,
1646             sSTAB_DEV1, sSTAB_DEV2,
1647             sSTAB_LEVER1, sSTAB_LEVER2, sSTAB_DIST1,
1648             sSTAB_ANG1, sSTAB_ANG2;
1649
1650     //////////////////////////////////////
1651     //BERECHNUNG VARIANZ UND STAB //
1652     //////////////////////////////////////
1653     for (j=0; j<sizePoint; j++) //VARIANZ
1654     {
1655         quad = mINC1-usgINC1[j]; //quadrat
1656         dVAR_INC1 += quad*quad;
1657
1658         quad = mINC2-usgINC2[j];
1659         dVAR_INC2 += quad*quad;
1660
1661         quad = mDEV1-usgDEV1[j];
1662         dVAR_DEV1 += quad*quad;
1663
1664         quad = mDEV2-usgDEV2[j];
1665         dVAR_DEV2 += quad*quad;
1666
1667         quad = mLEVER1-usgLEVER1[j];
1668         dVAR_LEVER1 += quad*quad;
1669
1670         quad = mLEVER2-usgLEVER2[j];
1671         dVAR_LEVER2 += quad*quad;
1672
1673         quad = mDIST1-usgDIST1[j];
1674         dVAR_DIST1 += quad*quad;
1675
1676         quad = mANG1-usgANG1[j];
1677         dVAR_ANG1 += quad*quad;
1678
1679         quad = mANG2-usgANG2[j];
1680         dVAR_ANG2 += quad*quad;
1681     }
1682
1683     //Standardabweichung berechnen
1684     dSTAB_INC1 = sqrt(dVAR_INC1/(av-1));
1685     dSTAB_INC2 = sqrt(dVAR_INC2/(av-1));
1686     dSTAB_DEV1 = sqrt(dVAR_DEV1/(av-1));
1687     dSTAB_DEV2 = sqrt(dVAR_DEV2/(av-1));
1688     dSTAB_ANG1 = sqrt(dVAR_ANG1/(av-1));
1689     dSTAB_ANG2 = sqrt(dVAR_ANG2/(av-1));
1690     dSTAB_LEVER1 = sqrt(dVAR_LEVER1/(av-1));
1691     dSTAB_LEVER2 = sqrt(dVAR_LEVER2/(av-1));
1692     dSTAB_DIST1 = sqrt(dVAR_DIST1/(av-1));
1693
1694     //////////////////////////////////////
1695     // Überprüfung auf Ausreisser //
1696     //////////////////////////////////////
1697     int maxError = 1; //Abweichungen von 3* STABWN werden als Ausreisser bezeichnet!!!
1698     double maxError = 1.3;
1699     int calcNew = 0;
1700     CString tempString;
1701     for (j=0; j<sizePoint; j++)
1702     {
1703         if ( (usgINC1[j]<(mINC1 - maxError*dSTAB_INC1)) ||
1704             (usgINC1[j]>(mINC1 +maxError*dSTAB_INC1)) ||
1705             (usgDEV1[j]<(mDEV1 - maxError*dSTAB_DEV1)) ||
1706             (usgDEV1[j]>(mDEV1 + maxError*dSTAB_DEV1)) )
1707         {
1708             {
1709                 usgERROR1[j] = 1;
1710                 calcNew = 1;
1711             }
1712         }
1713     }
1714     // STRINGAUSGABE der ACHSENERGEBNISSE //
1715     // E R G E B N I S S //
1716     //Ergebniss ausgeben in String
1717     for (j=0; j<sizePoint; j++)
1718     {
1719         //Ausgabe in String-> MM - ML Achse
1720         sUSG_INC.Format("%.2f", usgINC1[j]); //in String umwandeln
1721         sUSG_DEV.Format("%.2f", usgDEV1[j]);
1722         sUSG_LEVER.Format("%.2f", usgLEVER1[j]);
1723         sUSG_ANGLE.Format("%.2f", usgANG1[j]);
1724         sUSG_DIST1.Format("%.2f", usgDIST1[j]);
1725         sUSG_APX.Format("%.2f", usgAPX1[j]);
1726         sUSG_APY.Format("%.2f", usgAPY1[j]);

```

ANHANG F: QUELLCODE DER KLASSE USG

```

1727 sUSG_APZ.Format("%.2f", usgAPZ1[j]);
1728 sUSG_RVX.Format("%.2f", usgRVX1[j]);
1729 sUSG_RVY.Format("%.2f", usgRVY1[j]);
1730 sUSG_RVZ.Format("%.2f", usgRVZ1[j]);
1731 sUSG_INC.Replace(".",","); // . duch , ersetzen
1732 sUSG_DEV.Replace(".",",");
1733 sUSG_LEVER.Replace(".",",");
1734 sUSG_ANGLE.Replace(".",",");
1735 sUSG_DIST1.Replace(".",",");
1736 sUSG_APX.Replace(".",",");
1737 sUSG_APY.Replace(".",",");
1738 sUSG_APZ.Replace(".",",");
1739 sUSG_RVX.Replace(".",",");
1740 sUSG_RVY.Replace(".",",");
1741 sUSG_RVZ.Replace(".",",");
1742 //richtung
1743 if(id[j]==1) sUSG_DIR="Inversion";
1744 else if(id[j]==-1) sUSG_DIR="Eversion";
1745
1746 //Ausreiser klammern
1747 if(usgERROR1[j]==1)
1748 {
1749     tempString = sUSG_INC;
1750     sUSG_INC = "****"+tempString+"***";
1751
1752     tempString = sUSG_DEV;
1753     sUSG_DEV = "****"+tempString+"***";
1754
1755     tempString = sUSG_LEVER;
1756     sUSG_LEVER = "****"+tempString+"***";
1757
1758     tempString = sUSG_ANGLE;
1759     sUSG_ANGLE = "****"+tempString+"***";
1760 }
1761 //ins String schreiben
1762 sAxis2 += sUSG_INC+" "+sUSG_DEV+" "+sUSG_LEVER+" "+sUSG_ANGLE+" "+sUSG_DIST1+" "+sUSG_APX+" "+
        +sUSG_APY+" "+sUSG_APZ+" "+sUSG_RVX+" "+sUSG_RVY+" "+sUSG_RVZ+" "+sUSG_DIR+" ";
1763
1764
1765 //Ausgabe in String -> berechnete Achse
1766 sUSG_INC.Format("%.2f", usgINC2[j]); //in String umwandeln
1767 sUSG_DEV.Format("%.2f", usgDEV2[j]);
1768 sUSG_LEVER.Format("%.2f", usgLEVER2[j]);
1769 sUSG_ANGLE.Format("%.2f", usgANG2[j]);
1770 sUSG_APX.Format("%.2f", usgAPX2[j]);
1771 sUSG_APY.Format("%.2f", usgAPY2[j]);
1772 sUSG_APZ.Format("%.2f", usgAPZ2[j]);
1773 sUSG_RVX.Format("%.2f", usgRVX2[j]);
1774 sUSG_RVY.Format("%.2f", usgRVY2[j]);
1775 sUSG_RVZ.Format("%.2f", usgRVZ2[j]);
1776 sUSG_INC.Replace(".",","); // . duch , ersetzen
1777 sUSG_DEV.Replace(".",",");
1778 sUSG_LEVER.Replace(".",",");
1779 sUSG_ANGLE.Replace(".",",");
1780 sUSG_APX.Replace(".",",");
1781 sUSG_APY.Replace(".",",");
1782 sUSG_APZ.Replace(".",",");
1783 sUSG_RVX.Replace(".",",");
1784 sUSG_RVY.Replace(".",",");
1785 sUSG_RVZ.Replace(".",",");
1786
1787 //Ausreiser klammern
1788 if(usgERROR1[j]==1)
1789 {
1790     tempString = sUSG_INC;
1791     sUSG_INC = "****"+tempString+"***";
1792
1793     tempString = sUSG_DEV;
1794     sUSG_DEV = "****"+tempString+"***";
1795
1796     tempString = sUSG_LEVER;
1797     sUSG_LEVER = "****"+tempString+"***";
1798
1799     tempString = sUSG_ANGLE;
1800     sUSG_ANGLE = "****"+tempString+"***";
1801 }
1802 //USGA rotiert um gemessene OSGA in String schreiben
1803 //für Ausgabe beider Achsen // entfernen
1804 //sAxis2 += sUSG_INC+" "+sUSG_DEV+" "+sUSG_LEVER+" "+sUSG_ANGLE+" "+sUSG_APX+" "+sUSG_APY
        +"; "+sUSG_APZ+" "+sUSG_RVX+" "+sUSG_RVY+" "+sUSG_RVZ+";\r\n";
1805 sAxis2 += "\r\n";
1806
1807 }//Ende for Schleife Ausgabe in String
1808

```

ANHANG F: QUELLCODE DER KLASSE USG

```

1809 ////////////////////////////////////////////////////////////////////
1810 // M I T T E L W E R T //
1811 // NEU berechnen //
1812 // bei Ausreiser //
1813 ////////////////////////////////////////////////////////////////////
1814 if (calcNew == 1)
1815 {
1816 //zurücksetzen
1817 mINC1=0; mINC2=0; mDEV1=0; mDEV2=2; mANG1=0; mANG2=0; mLEVER1=0; mLEVER2=0; mDIST1=0;
1818 mAPX1=0; mAPX2=0; mAPY1=0; mAPY2=0; mAPZ1=0; mAPZ2=0;
1819 mRVX1=0; mRVX2=0; mRVY1=0; mRVY2=0; mRVZ1=0; mRVZ2=0;
1820 dVAR_INC1=0; dVAR_INC2=0; dVAR_DEV1=0; dVAR_DEV2=0; dVAR_ANG1=0; dVAR_ANG2=0; dVAR_LEVER1=0;
1821 dVAR_LEVER2=0; dVAR_DIST1=0;
1822 dSTAB_INC1=0; dSTAB_INC2=0; dSTAB_DEV1=0; dSTAB_DEV2=0; dSTAB_ANG1=0; dSTAB_ANG2=0;
1823 dSTAB_LEVER1=0; dSTAB_LEVER2=0; dSTAB_DIST1=0;
1824 av=0;
1825 for (j=0; j<sizePoint; j++)
1826 {
1827 if (usgERROR1[j]!=1)
1828 {
1829 //Mittelwertberechnung, Summe
1830 //Malleolenachse
1831 mINC1 = mINC1 + usgINC1[j];
1832 mDEV1 = mDEV1 + usgDEV1[j];
1833 mANG1 = mANG1 + usgANG1[j];
1834 mLEVER1 = mLEVER1 + usgLEVER1[j];
1835 mDIST1 = mDIST1 + usgDIST1[j];
1836 mAPX1 = mAPX1 + usgAPX1[j];
1837 mAPY1 = mAPY1 + usgAPY1[j];
1838 mAPZ1 = mAPZ1 + usgAPZ1[j];
1839 mRVX1 = mRVX1 + usgRVX1[j];
1840 mRVY1 = mRVY1 + usgRVY1[j];
1841 mRVZ1 = mRVZ1 + usgRVZ1[j];
1842
1843 //berechnete Achse
1844 mINC2 = mINC2 + usgINC2[j];
1845 mDEV2 = mDEV2 + usgDEV2[j];
1846 mANG2 = mANG2 + usgANG2[j];
1847 mLEVER2 = mLEVER2 + usgLEVER2[j];
1848 mAPX2 = mAPX2 + usgAPX2[j];
1849 mAPY2 = mAPY2 + usgAPY2[j];
1850 mAPZ2 = mAPZ2 + usgAPZ2[j];
1851 mRVX2 = mRVX2 + usgRVX2[j];
1852 mRVY2 = mRVY2 + usgRVY2[j];
1853 mRVZ2 = mRVZ2 + usgRVZ2[j];
1854
1855 av++; //Anzahl der Werte für Mittelwertberechnung
1856 }
1857 }
1858 //mittelwert berechnen
1859 mINC1 = mINC1/av; //Malleolen Achse
1860 mDEV1 = mDEV1/av;
1861 mANG1 = mANG1/av;
1862 mLEVER1 = mLEVER1/av;
1863 mDIST1 = mDIST1/av;
1864 mAPX1 = mAPX1/av;
1865 mAPY1 = mAPY1/av;
1866 mAPZ1 = mAPZ1/av;
1867 mRVX1 = mRVX1/av;
1868 mRVY1 = mRVY1/av;
1869 mRVZ1 = mRVZ1/av;
1870
1871 mINC2 = mINC2/av; //berechnete Achse
1872 mDEV2 = mDEV2/av;
1873 mANG2 = mANG2/av;
1874 mLEVER2 = mLEVER2/av;
1875 mAPX2 = mAPX2/av;
1876 mAPY2 = mAPY2/av;
1877 mAPZ2 = mAPZ2/av;
1878 mRVX2 = mRVX2/av;
1879 mRVY2 = mRVY2/av;
1880 mRVZ2 = mRVZ2/av;
1881 //Ende Neuberechnung MITTELWERT
1882
1883 //Zuweisung der Mittelwerte an globale Variablen (Diagramm zeichnen)
1884 m_usg_APX = mAPX1;
1885 m_usg_APY = mAPY1;
1886 m_usg_APZ = mAPZ1;
1887 m_usg_RVX = mRVX1;
1888 m_usg_RVY = mRVY1;
1889 m_usg_RVZ = mRVZ1;
1890
1891 ////////////////////////////////////////////////////////////////////
1892 //NEU BERECHNUNG VARIANZ UND STAB //

```

ANHANG F: QUELLCODE DER KLASSE USG

```

1891 ///////////////////////////////////////////////////////////////////
1892 for (j=0; j<sizePoint; j++) //VARIANZ
1893 {
1894     if (usgERROR1[j]!=1)
1895     {
1896         quad = mINC1-usgINC1[j]; //quadrat
1897         dVAR_INC1 += quad*quad;
1898
1899         quad = mINC2-usgINC2[j];
1900         dVAR_INC2 += quad*quad;
1901
1902         quad = mDEV1-usgDEV1[j];
1903         dVAR_DEV1 += quad*quad;
1904
1905         quad = mDEV2-usgDEV2[j];
1906         dVAR_DEV2 += quad*quad;
1907
1908         quad = mLEVER1-usgLEVER1[j];
1909         dVAR_LEVER1 += quad*quad;
1910
1911         quad = mLEVER2-usgLEVER2[j];
1912         dVAR_LEVER2 += quad*quad;
1913
1914         quad = mDIST1-usgDIST1[j];
1915         dVAR_DIST1 += quad*quad;
1916
1917         quad = mANG1-usgANG1[j];
1918         dVAR_ANG1 += quad*quad;
1919
1920         quad = mANG2-usgANG2[j];
1921         dVAR_ANG2 += quad*quad;
1922     }
1923 } //Ende Neuberechnung STAB und VAR
1924
1925 //Standardabweichung berechnen
1926 dSTAB_INC1 = sqrt(dVAR_INC1/(av-1));
1927 dSTAB_INC2 = sqrt(dVAR_INC2/(av-1));
1928 dSTAB_DEV1 = sqrt(dVAR_DEV1/(av-1));
1929 dSTAB_DEV2 = sqrt(dVAR_DEV2/(av-1));
1930 dSTAB_ANG1 = sqrt(dVAR_ANG1/(av-1));
1931 dSTAB_ANG2 = sqrt(dVAR_ANG2/(av-1));
1932 dSTAB_LEVER1 = sqrt(dVAR_LEVER1/(av-1));
1933 dSTAB_LEVER2 = sqrt(dVAR_LEVER2/(av-1));
1934 dSTAB_DIST1 = sqrt(dVAR_DIST1/(av-1));
1935
1936 }
1937
1938 //Fehler <5; <10; <15; >15; für Ausgabe an GUI
1939 //Inklinationswinkel
1940 if (dSTAB_INC1<5) m_iStabInc=1;
1941 else if (dSTAB_INC1<10) m_iStabInc=2;
1942 else if (dSTAB_INC1<15) m_iStabInc=3;
1943 else if (dSTAB_INC1>15) m_iStabInc=4;
1944 //Deviationswinkel
1945 if (dSTAB_DEV1<5) m_iStabDev=1;
1946 else if (dSTAB_DEV1<10) m_iStabDev=2;
1947 else if (dSTAB_DEV1<15) m_iStabDev=3;
1948 else if (dSTAB_DEV1>15) m_iStabDev=4;
1949 //Hebel
1950 if (dSTAB_LEVER1<5) m_iStabLever=1;
1951 else if (dSTAB_LEVER1<10) m_iStabLever=2;
1952 else if (dSTAB_LEVER1<15) m_iStabLever=3;
1953 else if (dSTAB_LEVER1>15) m_iStabLever=4;
1954 //Winkel
1955 if (dSTAB_ANG1<5) m_iStabAng=1;
1956 else if (dSTAB_ANG1<10) m_iStabAng=2;
1957 else if (dSTAB_ANG1<15) m_iStabAng=3;
1958 else if (dSTAB_ANG1>15) m_iStabAng=4;
1959
1960 // STRINGAUSGABE der MITTELWERT
1961 // M I T T E L W E R T E //
1962 //Ausgabe in String-> Mittelwerte
1963 sAxis2 += "Mittelwerte_;;;;;;;\ r\n"; //Mittelwert\r\n";
1964 //Mittelwerte der OSGA ML-MM
1965 sUSG_INC.Format("%.2f", mINC1); //umwandeln in string
1966 sUSG_DEV.Format("%.2f", mDEV1);
1967 sUSG_LEVER.Format("%.2f", mLEVER1);
1968 sUSG_ANGLE.Format("%.2f", mANG1);
1969 sUSG_DIST1.Format("%.2f", mDIST1);
1970 sUSG_APX.Format("%.2f", mAPX1);
1971 sUSG_APY.Format("%.2f", mAPY1);
1972 sUSG_APZ.Format("%.2f", mAPZ1);
1973 sUSG_RVX.Format("%.2f", mRVX1);
1974 sUSG_RVY.Format("%.2f", mRVY1);

```

ANHANG F: QUELLCODE DER KLASSE USG

```

1975 sUSG.RVZ.Format("%.2f", mRVZ1);
1976 sUSG.INC.Replace(".", ","); // durch , ersetzen
1977 sUSG.DEV.Replace(".", ",");
1978 sUSG.LEVER.Replace(".", ",");
1979 sUSG.ANGLE.Replace(".", ",");
1980 sUSG.DIST1.Replace(".", ",");
1981 sUSG.APX.Replace(".", ",");
1982 sUSG.APY.Replace(".", ",");
1983 sUSG.APZ.Replace(".", ",");
1984 sUSG.RVX.Replace(".", ",");
1985 sUSG.RVY.Replace(".", ",");
1986 sUSG.RVZ.Replace(".", ",");
1987
1988 //Zuweisung für Ausgabe an GUI (ML-MM OSGA)
1989 sUSGAV.INC = sUSG.INC;
1990 sUSGAV.DEV = sUSG.DEV;
1991 sUSGAV.LEVER = sUSG.LEVER;
1992 sOut.usgANGLE = sUSG.ANGLE;
1993
1994 //Ausgabe in Datei (CVS File)
1995 sAxis2 += sUSG.INC+" "+sUSG.DEV+" "+sUSG.LEVER+" "+sUSG.ANGLE+" "+sUSG.DIST1+" "+sUSG.APX+" "+
    sUSG.APY+" "+sUSG.APZ+" "+sUSG.RVX+" "+sUSG.RVY+" "+sUSG.RVZ+" ";
1996
1997 sUSG.INC.Format("%.2f", mINC2); //umwandeln in string
1998 sUSG.DEV.Format("%.2f", mDEV2);
1999 sUSG.LEVER.Format("%.2f", mLEVER2);
2000 sUSG.ANGLE.Format("%.2f", mANG2);
2001 sUSG.APX.Format("%.2f", mAPX2);
2002 sUSG.APY.Format("%.2f", mAPY2);
2003 sUSG.APZ.Format("%.2f", mAPZ2);
2004 sUSG.RVX.Format("%.2f", mRVX2);
2005 sUSG.RVY.Format("%.2f", mRVY2);
2006 sUSG.RVZ.Format("%.2f", mRVZ2);
2007 sUSG.INC.Replace(".", ","); // durch , ersetzen
2008 sUSG.DEV.Replace(".", ",");
2009 sUSG.LEVER.Replace(".", ",");
2010 sUSG.ANGLE.Replace(".", ",");
2011 sUSG.APX.Replace(".", ",");
2012 sUSG.APY.Replace(".", ",");
2013 sUSG.APZ.Replace(".", ",");
2014 sUSG.RVX.Replace(".", ",");
2015 sUSG.RVY.Replace(".", ",");
2016 sUSG.RVZ.Replace(".", ",");
2017
2018 //für Ausgabe beider Achsen // entfernen
2019 //sAxis2 += sUSG.INC+" "+sUSG.DEV+" "+sUSG.LEVER+" "+sUSG.ANGLE+" "+sUSG.APX+" "+sUSG.APY+" "+
    sUSG.APZ+" "+sUSG.RVX+" "+sUSG.RVY+" "+sUSG.RVZ+" ";
2020 sAxis2 += "\n";
2021
2022 // S T A B W //
2023 //UMWANDELN DER STAB IN STRING
2024
2025 sSTAB.INC1.Format("%.2f", dSTAB.INC1); //MM-ML Achse
2026 sSTAB.DEV1.Format("%.2f", dSTAB.DEV1);
2027 sSTAB.ANG1.Format("%.2f", dSTAB.ANG1);
2028 sSTAB.LEVER1.Format("%.2f", dSTAB.LEVER1);
2029 sSTAB.DIST1.Format("%.2f", dSTAB.DIST1);
2030 sSTAB.INC2.Format("%.2f", dSTAB.INC2); //berechnete Achse
2031 sSTAB.DEV2.Format("%.2f", dSTAB.DEV2);
2032 sSTAB.ANG2.Format("%.2f", dSTAB.ANG2);
2033 sSTAB.LEVER2.Format("%.2f", dSTAB.LEVER2);
2034 // durch , ersetzen
2035 sSTAB.INC1.Replace(".", ",");
2036 sSTAB.DEV1.Replace(".", ",");
2037 sSTAB.ANG1.Replace(".", ",");
2038 sSTAB.LEVER1.Replace(".", ",");
2039 sSTAB.DIST1.Replace(".", ",");
2040 sSTAB.INC2.Replace(".", ",");
2041 sSTAB.DEV2.Replace(".", ",");
2042 sSTAB.ANG2.Replace(".", ",");
2043 sSTAB.LEVER2.Replace(".", ",");
2044
2045 //Ausgabe der STABWN in String
2046 sAxis2 += "STAB\n";
2047 sAxis2 += sSTAB.INC1+" "+sSTAB.DEV1+" "+sSTAB.LEVER1+" "+sSTAB.ANG1+" "+sSTAB.DIST1+" ";
    n"; //"+sSTAB.INC2+" "+sSTAB.DEV2+" "+sSTAB.LEVER2+" "+sSTAB.ANG2+" ";
2048
2049 }
2050 // ENDE
2051 ///////////////////////////////////////////////////////////////////
2052
2053
2054 ///////////////////////////////////////////////////////////////////
2055 //Routine für Berechnung instantaner Achsem

```


ANHANG F: QUELLCODE DER KLASSE USG

```

2137 //suche Wert drei für Achsberechnung
2138 temp_P3.X = fpos.usg.X[i];
2139 temp_P3.Y = fpos.usg.Y[i];
2140 temp_P3.Z = fpos.usg.Z[i]; //Vektor zu Punkt3
2141 temp_P2P3 = V.Subtract(temp_P2, temp_P3); //Vektor von Punkt2 zu Punkt3
2142 abstand_P2P3 = temp_P2P3.Magnitude();
2143 if (abstand_P2P3 > v.ab)
2144 {
2145 //Überprüfung auf Richtungsänderung
2146 xVector = temp_P3.X - temp_P2.X; //Berechnung Richtung x Vektor
2147 changeDir = xVector * iMove; //Variable für Richtungsänderung
2148 //Richtung hat sich geändert
2149 if (changeDir < 0)
2150 {
2151 temp_P1 = temp_P3; //P3 -> P1
2152 n = 1; //wieder Punkt2 suchen
2153 iMove = iMove * (-1); //Richtung umdrehen
2154 }
2155 else
2156 {
2157 //bei Positiver x Richtung Punkt P1 und P3 vertauschen
2158 if ((iMove < 0 && Achse.Leg == 'R') || (iMove > 0 && Achse.Leg == 'L')) //Bewegung nach
//lateral und rechter Fuss -> Punkte tauschen
2159 {
2160 tempPunkt1 = temp_P3;
2161 tempPunkt2 = temp_P2;
2162 tempPunkt3 = temp_P1;
2163 }
2164 else if ((iMove > 0 && Achse.Leg == 'R') || (iMove < 0 && Achse.Leg == 'L')) //Kein
//Punkte tauschen, nur Werte zuweisen
2165 {
2166 tempPunkt1 = temp_P1;
2167 tempPunkt2 = temp_P2;
2168 tempPunkt3 = temp_P3;
2169 }
2170 //alle drei Werte gefunden -> Achsberechnung
2171 //Achse.calcUSG(temp_P1.X, temp_P1.Y, temp_P1.Z, temp_P2.X, temp_P2.Y, temp_P2.Z,
//temp_P3.X, temp_P3.Y, temp_P3.Z);
2172 Achse.calcUSG(tempPunkt1.X, tempPunkt1.Y, tempPunkt1.Z, tempPunkt2.X, tempPunkt2.Y,
tempPunkt2.Z, tempPunkt3.X, tempPunkt3.Y, tempPunkt3.Z);
2173
2174 //Werte neu festlegen Punkt2 -> Punkt1, Punkt3 -> Punkt2
2175 temp_P1 = temp_P2; //Vektor2 wird Vektor1
2176 temp_P2 = temp_P3; //Vektor3 wird Vektor2
2177
2178 //Werte in Array einlesen /USGA rotiert um die berechnete OSGA
2179 usg_INC.Add(Achse.USG.Inc); //Ininationswinkel
2180 usg_DEV.Add(Achse.USG.Dev); //Deviationswinkel
2181 usg_AP_X.Add(Achse.USG.AP.X); //Aufpunkt X
2182 usg_AP_Y.Add(Achse.USG.AP.Y); //Aufpunkt Y
2183 usg_AP_Z.Add(Achse.USG.AP.Z); //Aufpunkt Z
2184 usg_RV_X.Add(Achse.USG.RV.X); //richtungsvektor X
2185 usg_RV_Y.Add(Achse.USG.RV.Y); //Richtungsvektor Y
2186 usg_RV_Z.Add(Achse.USG.RV.Z); //Richtungsvektor Z
2187 usg_LEVER.Add(Achse.Lever.USGA); //Hebel Achilles
2188
2189 //Werte in Array einlesen /USGA rotiert um die gemessene OSGA (ML-MM)
2190 usg_INC1.Add(Achse.USG.incl1); //Ininationswinkel
2191 usg_DEV1.Add(Achse.USG.dev1); //Deviationswinkel
2192 usg_AP_X1.Add(Achse.USG.APX1); //Aufpunkt X
2193 usg_AP_Y1.Add(Achse.USG.APY1); //Aufpunkt Y
2194 usg_AP_Z1.Add(Achse.USG.APZ1); //Aufpunkt Z
2195 usg_RV_X1.Add(Achse.USG.RVX1); //richtungsvektor X
2196 usg_RV_Y1.Add(Achse.USG.RVY1); //Richtungsvektor Y
2197 usg_RV_Z1.Add(Achse.USG.RVZ1); //Richtungsvektor Z
2198 usg_LEVER1.Add(Achse.Lever.USG.1); //Hebel Achilles
2199
2200 //Ausgabe in String
2201 if (iMove < 0) richtung = "-1";
2202 else richtung = "1";
2203 sUSG_INC.Format("%3f", Achse.USG.Inc);
2204 sUSG_DEV.Format("%3f", Achse.USG.Dev);
2205 sUSG_LEVER.Format("%3f", Achse.Lever.USGA);
2206 sUSG_APX.Format("%3f", Achse.USG.AP.X);
2207 sUSG_APY.Format("%3f", Achse.USG.AP.Y);
2208 sUSG_APZ.Format("%3f", Achse.USG.AP.Z);
2209 sUSG_RVX.Format("%3f", Achse.USG.RV.X);
2210 sUSG_RVY.Format("%3f", Achse.USG.RV.Y);
2211 sUSG_RVZ.Format("%3f", Achse.USG.RV.Z);
2212 sUSG_INC.Replace(".", ",");
2213 sUSG_DEV.Replace(".", ",");
2214 sUSG_LEVER.Replace(".", ",");
2215 sUSG_APX.Replace(".", ",");
2216 sUSG_APY.Replace(".", ",");

```

ANHANG F: QUELLCODE DER KLASSE USG

```

2217     sUSG.APZ.Replace(".",",");
2218     sUSG.RVX.Replace(".",",");
2219     sUSG.RVY.Replace(".",",");
2220     sUSG.RVZ.Replace(".",",");
2221     sAxis_inst += sUSG.INC + ";" + sUSG.DEV + ";" + sUSG.LEVER + ";" + sUSG.APX + ";" + sUSG.APY +
                ;" + sUSG.APZ + ";" + sUSG.RVX + ";" + sUSG.RVY + ";" + sUSG.RVZ + ";" ;
2222
2223     //Ausgabe in String (USGA rotiert um ML-MM)
2224     sUSG.INC.Format("%.3f", Achse.USG_inc1);
2225     sUSG.DEV.Format("%.3f", Achse.USG_dev1);
2226     sUSG.LEVER.Format("%.3f", Achse.lever_USG_1);
2227     sUSG.APX.Format("%.3f", Achse.USG_APX1);
2228     sUSG.APY.Format("%.3f", Achse.USG_APY1);
2229     sUSG.APZ.Format("%.3f", Achse.USG_APZ1);
2230     sUSG.RVX.Format("%.3f", Achse.USG_RVX1);
2231     sUSG.RVY.Format("%.3f", Achse.USG_RVY1);
2232     sUSG.RVZ.Format("%.3f", Achse.USG_RVZ1);
2233     sUSG.INC.Replace(".",",");
2234     sUSG.DEV.Replace(".",",");
2235     sUSG.LEVER.Replace(".",",");
2236     sUSG.APX.Replace(".",",");
2237     sUSG.APY.Replace(".",",");
2238     sUSG.APZ.Replace(".",",");
2239     sUSG.RVX.Replace(".",",");
2240     sUSG.RVY.Replace(".",",");
2241     sUSG.RVZ.Replace(".",",");
2242     sAxis_inst += sUSG.INC + ";" + sUSG.DEV + ";" + sUSG.LEVER + ";" + sUSG.APX + ";" + sUSG.APY +
                ;" + sUSG.APZ + ";" + sUSG.RVX + ";" + sUSG.RVY + ";" + sUSG.RVZ + ";" + richtung + "\r\n";
2243     }
2244     }
2245     }
2246 }
2247
2248 //Mittelwerte berechnen
2249 double temp_av;
2250 usg_av_INC = 0;
2251 usg_av_DEV = 0;
2252 usg_av_LEVER = 0;
2253 usg_av_APX = 0;
2254 usg_av_APY = 0;
2255 usg_av_APZ = 0;
2256 usg_av_RVX = 0;
2257 usg_av_RVY = 0;
2258 usg_av_RVZ = 0;
2259 usg_av_INC1 = 0;
2260 usg_av_DEV1 = 0;
2261 usg_av_LEVER1 = 0;
2262 usg_av_APX1 = 0;
2263 usg_av_APY1 = 0;
2264 usg_av_APZ1 = 0;
2265 usg_av_RVX1 = 0;
2266 usg_av_RVY1 = 0;
2267 usg_av_RVZ1 = 0;
2268
2269 int size_av = usg_INC.GetSize();
2270 for (int ii = 0; ii < size_av; ii++)
2271 {
2272     //Mittelwert USGA um berechnete OSGA
2273     temp_av = usg_INC[ii];
2274     usg_av_INC = usg_av_INC + temp_av;
2275     temp_av = usg_DEV[ii];
2276     usg_av_DEV = usg_av_DEV + temp_av;
2277     temp_av = usg_LEVER[ii];
2278     usg_av_LEVER = usg_av_LEVER + temp_av;
2279     temp_av = usg_AP_X[ii];
2280     usg_av_APX = usg_av_APX + temp_av;
2281     temp_av = usg_AP_Y[ii];
2282     usg_av_APY = usg_av_APY + temp_av;
2283     temp_av = usg_AP_Z[ii];
2284     usg_av_APZ = usg_av_APZ + temp_av;
2285     temp_av = usg_RV_X[ii];
2286     usg_av_RVX = usg_av_RVX + temp_av;
2287     temp_av = usg_RV_Y[ii];
2288     usg_av_RVY = usg_av_RVY + temp_av;
2289     temp_av = usg_RV_Z[ii];
2290     usg_av_RVZ = usg_av_RVZ + temp_av;
2291
2292     //Mittelwert USGA um gemessene OSGA
2293     temp_av = usg_INC1[ii];
2294     usg_av_INC1 = usg_av_INC1 + temp_av;
2295     temp_av = usg_DEV1[ii];
2296     usg_av_DEV1 = usg_av_DEV1 + temp_av;
2297     temp_av = usg_LEVER[ii];
2298     usg_av_LEVER1 = usg_av_LEVER1 + temp_av;

```

ANHANG F: QUELLCODE DER KLASSE USG

```

2299     temp_av = usg_AP_X1[ ii ];
2300     usg_av_APX1 = usg_av_APX1 + temp_av;
2301     temp_av = usg_AP_Y1[ ii ];
2302     usg_av_APY1 = usg_av_APY1 + temp_av;
2303     temp_av = usg_AP_Z1[ ii ];
2304     usg_av_APZ1 = usg_av_APZ1 + temp_av;
2305     temp_av = usg_RV_X1[ ii ];
2306     usg_av_RVX1 = usg_av_RVX1 + temp_av;
2307     temp_av = usg_RV_Y1[ ii ];
2308     usg_av_RVY1 = usg_av_RVY1 + temp_av;
2309     temp_av = usg_RV_Z1[ ii ];
2310     usg_av_RVZ1 = usg_av_RVZ1 + temp_av;
2311     //Ausgabe in String
2312 }
2313 //Mittelwert USGA um berechnete OSGA
2314 usg_av_INC = usg_av_INC / size_av;
2315 usg_av_DEV = usg_av_DEV / size_av;
2316 usg_av_LEVER = usg_av_LEVER / size_av;
2317 usg_av_APX = usg_av_APX / size_av;
2318 usg_av_APY = usg_av_APY / size_av;
2319 usg_av_APZ = usg_av_APZ / size_av;
2320 usg_av_RVX = usg_av_RVX / size_av;
2321 usg_av_RVY = usg_av_RVY / size_av;
2322 usg_av_RVZ = usg_av_RVZ / size_av;
2323
2324 //Mittelwert USGA um gemessene OSGA
2325 usg_av_INC1 = usg_av_INC1 / size_av;
2326 usg_av_DEV1 = usg_av_DEV1 / size_av;
2327 usg_av_LEVER1 = usg_av_LEVER1 / size_av;
2328 usg_av_APX1 = usg_av_APX1 / size_av;
2329 usg_av_APY1 = usg_av_APY1 / size_av;
2330 usg_av_APZ1 = usg_av_APZ1 / size_av;
2331 usg_av_RVX1 = usg_av_RVX1 / size_av;
2332 usg_av_RVY1 = usg_av_RVY1 / size_av;
2333 usg_av_RVZ1 = usg_av_RVZ1 / size_av;
2334
2335
2336 //Ausgabe der Mittelwerte in String
2337 sAxis_inst += "Mittelwerte_;;;;;;;;Mittelwert\r\n";
2338 sUSG_INC.Format("%3f", usg_av_INC);
2339 sUSG_DEV.Format("%3f", usg_av_DEV);
2340 sUSG_LEVER.Format("%3f", usg_av_LEVER);
2341 sUSG_APX.Format("%3f", usg_av_APX);
2342 sUSG_APY.Format("%3f", usg_av_APY);
2343 sUSG_APZ.Format("%3f", usg_av_APZ);
2344 sUSG_RVX.Format("%3f", usg_av_RVX);
2345 sUSG_RVY.Format("%3f", usg_av_RVY);
2346 sUSG_RVZ.Format("%3f", usg_av_RVZ);
2347 sUSG_INC.Replace(".", ",");
2348 sUSG_DEV.Replace(".", ",");
2349 sUSG_LEVER.Replace(".", ",");
2350 sUSG_APX.Replace(".", ",");
2351 sUSG_APY.Replace(".", ",");
2352 sUSG_APZ.Replace(".", ",");
2353 sUSG_RVX.Replace(".", ",");
2354 sUSG_RVY.Replace(".", ",");
2355 sUSG_RVZ.Replace(".", ",");
2356 sAxis_inst += sUSG_INC +";"+ sUSG_DEV +";"+ sUSG_LEVER +";"+ sUSG_APX +";"+ sUSG_APY +";"+
    sUSG_APZ +";"+ sUSG_RVX +";"+ sUSG_RVY +";"+ sUSG_RVZ +";";";";
2357
2358 //Ausgabe der Mittelwerte in String (USGA um gemessene OSGA)
2359 sUSG_INC.Format("%3f", usg_av_INC1);
2360 sUSG_DEV.Format("%3f", usg_av_DEV1);
2361 sUSG_LEVER.Format("%3f", usg_av_LEVER1);
2362 sUSG_APX.Format("%3f", usg_av_APX1);
2363 sUSG_APY.Format("%3f", usg_av_APY1);
2364 sUSG_APZ.Format("%3f", usg_av_APZ1);
2365 sUSG_RVX.Format("%3f", usg_av_RVX1);
2366 sUSG_RVY.Format("%3f", usg_av_RVY1);
2367 sUSG_RVZ.Format("%3f", usg_av_RVZ1);
2368 sUSG_INC.Replace(".", ",");
2369 sUSG_DEV.Replace(".", ",");
2370 sUSG_LEVER.Replace(".", ",");
2371 sUSG_APX.Replace(".", ",");
2372 sUSG_APY.Replace(".", ",");
2373 sUSG_APZ.Replace(".", ",");
2374 sUSG_RVX.Replace(".", ",");
2375 sUSG_RVY.Replace(".", ",");
2376 sUSG_RVZ.Replace(".", ",");
2377 sAxis_inst += sUSG_INC +";"+ sUSG_DEV +";"+ sUSG_LEVER +";"+ sUSG_APX +";"+ sUSG_APY +";"+
    sUSG_APZ +";"+ sUSG_RVX +";"+ sUSG_RVY +";"+ sUSG_RVZ +"\r\n";
2378 //Zuweisung für Ausgabe
2379 sUSGAV_INC.Format("%1f", usg_av_INC1); sUSGAV_INC.Replace(".", ",");
2380 sUSGAV_DEV.Format("%1f", usg_av_DEV1); sUSGAV_DEV.Replace(".", ",");

```

ANHANG F: QUELLCODE DER KLASSE USG

```

2381     sUSGAV_LEVER.Format("%.1f", usg_av_LEVER1); sUSGAV_LEVER.Replace(".",",");
2382 } //ENDE
2383 ///////
2384
2385 ////////////////////////////////////////////////////////////////////////////////////////////////////////////////////////////////////
2386 //Erneute Berechnung der Parameter USGA OSGA
2387 void CUsgDlg::OnCalcnew()
2388 {
2389     // TODO: Code für die Behandlungsroutine der Steuerelement-Benachrichtigung hier einfügen
2390     if (m_Proband.m_mFuss == 0)
2391     {
2392         Achse.Leg = 'L'; //Linkes Bein
2393     }
2394     else
2395     {
2396         Achse.Leg = 'R'; //Rechtes Bein
2397     }
2398
2399     //Aufruf der Funktion zum Ermitteln der Punkte zur Berechnung der Achsen
2400     OnCalculate();
2401
2402 } //ENDE
2403 ///////
2404
2405 //Neu Berechnen aus Menu
2406 void CUsgDlg::OnMENUCALCNEW()
2407 {
2408     OnCalcnew();
2409 }
2410
2411
2412 ////////////////////////////////////////////////////////////////////////////////////////////////////////////////////////////////////
2413 //routine für Berechnung der Punkte für calcOsg u. calcUsg (3 Punkte des Einpunktverfahrens)
2414 void CUsgDlg::OnCalculate()
2415 {
2416     //Funktion zum Daten Filtern wird aufgerufen
2417     callFilter();
2418
2419     CString sTemp1X, sTemp1Y, sTemp1Z, sTemp2X, sTemp2Y, sTemp2Z, sTemp3X, sTemp3Y, sTemp3Z;
2420     sKoordinaten = "OSGA;;;USGA\r\n";
2421     sKoordinaten += "X;Y;Z;;X;Y;Z\r\n";
2422
2423     //Array wird einem String zugewiesen (für die Ausgabe)
2424     double count;
2425     int j = pos_osg_X.GetSize(); //Größe Array OSGA
2426     int k = fpos_usg_X.GetSize(); //Größe Array USGA
2427     if (k > j) count = k;
2428     else count = j;
2429
2430     for (int i = 0; i <= count; i++)
2431     {
2432         //Daten OSGA
2433         if (j > i)
2434         {
2435             //Erstellen eines temporären Vektors aus drei Array Einträgen
2436             UX_VECTOR3 temp_fOSG_XYZ (fpos_osg_X[i], fpos_osg_Y[i], fpos_osg_Z[i]);
2437             //Transformieren des temporären Vektors in das Tibia Koordinatensystem
2438             Achse.transform(&temp_fOSG_XYZ);
2439             //Casten in einen String
2440             sTemp1X.Format("%.3f",temp_fOSG_XYZ.X);
2441             sTemp1Y.Format("%.3f",temp_fOSG_XYZ.Y);
2442             sTemp1Z.Format("%.3f",temp_fOSG_XYZ.Z);
2443             sTemp1X.Replace(".",",");
2444             sTemp1Y.Replace(".",",");
2445             sTemp1Z.Replace(".",",");
2446         }
2447         else
2448         {
2449             sTemp1X = "";
2450             sTemp1Y = "";
2451             sTemp1Z = "";
2452         }
2453
2454         //Daten USGA
2455         if (k > i)
2456         {
2457             //gefilterte Werte
2458             UX_VECTOR3 temp_fUSG_XYZ(fpos_usg_X[i], fpos_usg_Y[i], fpos_usg_Z[i]);
2459             Achse.transform(&temp_fUSG_XYZ);
2460             //Casten in einen String
2461             //Gefilterte Werte
2462             sTemp2X.Format("%.3f",temp_fUSG_XYZ.X);
2463             sTemp2Y.Format("%.3f",temp_fUSG_XYZ.Y);
2464             sTemp2Z.Format("%.3f",temp_fUSG_XYZ.Z);

```

ANHANG F: QUELLCODE DER KLASSE USG

```

2465     sTemp2X.Replace(".",",");
2466     sTemp2Y.Replace(".",",");
2467     sTemp2Z.Replace(".",",");
2468 }
2469 else
2470 {
2471     sTemp2X = "";
2472     sTemp2Y = "";
2473     sTemp2Z = "";
2474 }
2475
2476     sKoordinaten += sTemp1X + ";" + sTemp1Y + ";" + sTemp1Z + ";" + sTemp2X + ";" + sTemp2Y + ";"
2477     " + sTemp2Z + "\r\n";
2478 }
2479
2480 //Werte zuweisen
2481 //OSGA
2482 step1X3 = fpos_osc_X [1];
2483 step1Y3 = fpos_osc_Y [1];
2484 step1Z3 = fpos_osc_Z [1];
2485
2486 step3X3 = fpos_osc_X [j-1];
2487 step3Y3 = fpos_osc_Y [j-1];
2488 step3Z3 = fpos_osc_Z [j-1];
2489
2490
2491 UX_VECTOR3 p1p3_osc(fpos_osc_X[1] - fpos_osc_X[j-1], fpos_osc_Y[1] - fpos_osc_Y[j-1],
2492     fpos_osc_Z[1] - fpos_osc_Z[j-1]);
2493
2494 double abstand_p1p3_osc = p1p3_osc.Magnitude();
2495 double abstand_p1p2_osc;
2496 double abstand_p2p3_osc;
2497 double ab_max = 0;
2498 double ab_max_temp = 0;
2499 double ab_max_control= abstand_p1p3_osc/3;
2500 int number;
2501 //Schleife um P2 zu suchen
2502 for (int ii = 2; ii < j; ii++)
2503 {
2504     //Abstand vom Punkt1 zum Punkt2
2505     UX_VECTOR3 p1p2_osc(fpos_osc_X[1] - fpos_osc_X[ii], fpos_osc_Y[1] - fpos_osc_Y[ii],
2506         fpos_osc_Z[1] - fpos_osc_Z[ii]);
2507     abstand_p1p2_osc = p1p2_osc.Magnitude();
2508
2509     //Abstand vom Punkt2 zum Punkt3
2510     UX_VECTOR3 p2p3_osc(fpos_osc_X[ii]-fpos_osc_X[j-1], fpos_osc_Y[ii]-fpos_osc_Y[j-1],
2511         fpos_osc_Z[ii]-fpos_osc_Z[j-1]);
2512     abstand_p2p3_osc = p2p3_osc.Magnitude();
2513
2514     //Abstand von p1p2 zu p2p3 wird berechnet
2515     ab_max_temp = abstand_p1p2_osc + abstand_p2p3_osc;
2516
2517     //Gesucht wird größter Betrag von p1p2 + p2p3,
2518     //randbedingung: der abstand von p1p2 und p2p3 muss aber größer als 1/3p1p3 sein
2519     //so wird gewährleistet dass der mittelpunkt auch der mittelpunkt ist
2520     if (ab_max_temp >= ab_max && abstand_p1p2_osc >= ab_max_control && abstand_p2p3_osc >=
2521         ab_max_control)
2522     {
2523         number = ii;
2524         ab_max = ab_max_temp;
2525         step2X3 = fpos_osc_X [ii];
2526         step2Y3 = fpos_osc_Y [ii];
2527         step2Z3 = fpos_osc_Z [ii];
2528     }
2529 }
2530
2531 //Werte zuweisen
2532 //USGA
2533 step4X4 = fpos_usg_X [1];
2534 step4Y4 = fpos_usg_Y [1];
2535 step4Z4 = fpos_usg_Z [1];
2536
2537 step6X4 = fpos_usg_X [k-1];
2538 step6Y4 = fpos_usg_Y [k-1];
2539 step6Z4 = fpos_usg_Z [k-1];
2540
2541 UX_VECTOR3 p1p3_usg(fpos_usg_X[1] - fpos_usg_X[k-1], fpos_usg_Y[1] - fpos_usg_Y[k-1],
2542     fpos_usg_Z[1] - fpos_usg_Z[k-1]);
2543
2544 double abstand_p1p3_usg = p1p3_usg.Magnitude();
2545 double abstand_p1p2_usg;
2546 double abstand_p2p3_usg;

```


ANHANG F: QUELLCODE DER KLASSE USG

```

2622     fprintf(f_out, "%6.6f_%%6.6f_%%6.6f_%%6.6f_%%6.6f_%%6.6f\n", pmarker1X2, pmarker1Y2, pmarker1Z2,
2623         pmarker2X2, pmarker2Y2, pmarker2Z2);
2624 //Punkt 3
2624     fprintf(f_out, "%6.6f_%%6.6f_%%6.6f_%%6.6f_%%6.6f_%%6.6f\n", pmarker1X3, pmarker1Y3, pmarker1Z3,
2625         pmarker2X3, pmarker2Y3, pmarker2Z3);
2626 //Punkt 4
2626     fprintf(f_out, "%6.6f_%%6.6f_%%6.6f_%%6.6f_%%6.6f_%%6.6f\n", pmarker1X4, pmarker1Y4, pmarker1Z4,
2627         pmarker2X4, pmarker2Y4, pmarker2Z4);
2628 //Punkt 5
2628     fprintf(f_out, "%6.6f_%%6.6f_%%6.6f_%%6.6f_%%6.6f_%%6.6f\n", pmarker1X5, pmarker1Y5, pmarker1Z5,
2629         pmarker2X5, pmarker2Y5, pmarker2Z5);
2630 //Punkt 6
2630     fprintf(f_out, "%6.6f_%%6.6f_%%6.6f_%%6.6f_%%6.6f_%%6.6f\n", pmarker1X6, pmarker1Y6, pmarker1Z6,
2631         pmarker2X6, pmarker2Y6, pmarker2Z6);
2632
2633 //Ausgabe osg
2633     int size_osg = pos_osg.X.GetSize();
2634     int size_usg = pos_usg.X.GetSize();
2635     int i;
2636     fprintf(f_out, "%d\n", size_osg);
2637     for(i=0; i<size_osg; i++)
2638     {
2639         fprintf(f_out, "%6.6f_%%6.6f_%%6.6f_%%6.6f_%%6.6f_%%6.6f\n", pos_osg.X[i], pos_osg.Y[i], pos_osg.Z[i],
2640             i, fpos_osg.X[i], fpos_osg.Y[i], fpos_osg.Z[i]);
2641     }
2642 //Ausgabe USG
2642     fprintf(f_out, "%d\n", size_usg);
2643     for(i=0; i<size_usg; i++)
2644     {
2645         fprintf(f_out, "%6.6f_%%6.6f_%%6.6f_%%6.6f_%%6.6f_%%6.6f\n", pos_usg.X[i], pos_usg.Y[i], pos_usg.Z[i],
2646             i, fpos_usg.X[i], fpos_usg.Y[i], fpos_usg.Z[i]);
2647     }
2648 //Ausgabe Bein
2648     char leg = Achse.Leg;
2649     CString pName = m_Proband.m_pName;
2650     CString pAnamnese = m_Proband.m_pAnamnese;
2651     CString pBemerkung = m_Proband.m_pBemerkung;
2652     CString pGewicht = m_Proband.m_pGewicht;
2653     CString pBeins = m_Proband.m_pBeins;
2654     CString mDatum = m_Proband.m_mDatum;
2655     CString mBemerkung = m_Proband.m_mBemerkung;
2656     CString pCode = m_Proband.m_pCode;
2657
2658     pName.Replace(" ", ", , , ");
2659     pAnamnese.Replace(" ", ", , , ");
2660     pBemerkung.Replace(" ", ", , , ");
2661     pGewicht.Replace(" ", ", , , ");
2662     pBeins.Replace(" ", ", , , ");
2663     mBemerkung.Replace(" ", ", , , ");
2664     mDatum.Replace(" ", ", , , ");
2665     pCode.Replace(" ", ", , , ");
2666     fprintf(f_out, "%c\n", leg);
2667     fprintf(f_out, "%s\n", pName);
2668     fprintf(f_out, "%s\n", m_Proband.m_pCode);
2669     fprintf(f_out, "%s\n", m_Proband.m_pDatum);
2670     fprintf(f_out, "%s\n", pGewicht);
2671     fprintf(f_out, "%d\n", m_Proband.m_pGeschlecht);
2672     fprintf(f_out, "%s\n", m_Proband.m_pFuss);
2673     fprintf(f_out, "%s\n", pAnamnese);
2674     fprintf(f_out, "%s\n", m_Proband.m_pTritt);
2675     fprintf(f_out, "%s\n", pBeins);
2676     fprintf(f_out, "%s\n", pBemerkung);
2677     fprintf(f_out, "%s\n", mDatum);
2678     fprintf(f_out, "%s\n", mBemerkung);
2679
2680     fclose(f_out);
2681     // Dialogfeld aktualisieren/schliessen
2682     UpdateData(FALSE);
2683 }
2684
2685
2686
2687 }
2688 ////////////////////////////////////////////////////////////////////////////////////////////////////////////////////////////////////
2689 // Speichern als CSV
2690 void CUsgDlg::OnSave()
2691 {
2692     // TODO: Code für Befehlsbehandlungsroutine hier einfügen
2693     CString daten_gesamt, m_sResults, m_strAusgabe;
2694     Achse.stringOutput();
2695     //sAusgabe = Achse.Ausgabe; //Ausgabestring aus calcAxis
2696     daten_gesamt = "\r";
2697     m_strProband = "\r";
2698     m_strProband = m_ProbTemp;

```


ANHANG F: QUELLCODE DER KLASSE USG

```

2699 //daten_gesamt = m_strProband + "\n" + sAchseFinite + "\n" + sAxis_inst + "\n" + sKoordinaten ;
2700 daten_gesamt = m_strProband + "\n" + sAchseFinite + "\n" + sAxis2 + "\n" + sKoordinaten ;
2701
2702 //Dialog für file speichern wird geöffnet
2703 CFileDialog m_ldFile(FALSE);
2704 //m_ldFile(FALSE);
2705 // Anfangsverzeichnis initialisieren
2706 //m_ldFile.m_ofn.lpstrInitialDir = "D:\\temp\\";
2707
2708 //m_ldFile.m_ofn.lpstrDefExt = "csv";
2709 //m_ldFile.m_ofn.lpstrFilter = "CSV File (*.csv)\0*.csv\0\0";
2710 m_ldFile.m_ofn.lpstrDefExt = "csv";
2711 m_ldFile.m_ofn.lpstrFilter = "CSV_File_(*.csv)\0*.csv\0\0";
2712 // Dialogfeld Öffnen zeigen und Ergebnis auffangen, wenn "speichern" dann IDOK
2713 if (m_ldFile.DoModal() == IDOK)
2714 {
2715
2716 // Gewählten Dateinamen ermitteln
2717 m_sResults = m_ldFile.GetFileName();
2718 m_strAusgabe = "Datei_" + m_sResults + "_wurde_erfolgreich_abgespeichert";
2719 MessageBox(m_strAusgabe, "Meldung");
2720
2721 //Datei Erzeugen
2722 CFile Datei;
2723 Datei.Open(m_sResults, CFile::modeCreate | CFile::modeWrite);
2724 CArchive ar(&Datei, CArchive::store);
2725
2726 //Inhalt in Datei schreiben
2727 ar << daten_gesamt;
2728 ar.Close();
2729 //Datei schliessen
2730 Datei.Close();
2731
2732 // Dialogfeld aktualisieren/schliessen
2733 UpdateData(FALSE);
2734 }
2735
2736 }
2737
2738 //////////////////////////////////////
2739 // Datei Öffnen
2740 void CUsuDlg::OnOpen()
2741 {
2742 // TODO: Code für Befehlsbehandlungsroutine hier einfügen
2743 CString m_sResults;
2744 int SIZE, i;
2745 char leg;
2746 double tempX1, tempY1, tempZ1, tempX2, tempY2, tempZ2;
2747 pos_osg_X.RemoveAll();
2748 pos_osg_Y.RemoveAll();
2749 pos_osg_Z.RemoveAll();
2750 pos_usg_X.RemoveAll();
2751 pos_usg_Y.RemoveAll();
2752 pos_usg_Z.RemoveAll();
2753 fpos_usg_X.RemoveAll();
2754 fpos_usg_Y.RemoveAll();
2755 fpos_usg_Z.RemoveAll();
2756 fpos_osg_X.RemoveAll();
2757 fpos_osg_Y.RemoveAll();
2758 fpos_osg_Z.RemoveAll();
2759
2760 //Dialog für file speichern wird geöffnet
2761 CFileDialog m_ldFile(TRUE);
2762 // Anfangsverzeichnis initialisieren
2763 //m_ldFile.m_ofn.lpstrInitialDir = "D:\\temp\\";
2764 m_ldFile.m_ofn.lpstrDefExt = "dat";
2765 m_ldFile.m_ofn.lpstrFilter = "DAT_File_(*.dat)\0*.dat\0\0";
2766 // Dialogfeld Öffnen zeigen und Ergebnis auffangen, wenn "speichern" dann IDOK
2767 if (m_ldFile.DoModal() == IDOK)
2768 {
2769 // Gewählten Dateinamen ermitteln
2770 m_sResults = m_ldFile.GetFileName();
2771 m_sFileName = m_sResults;
2772 MessageBox("Datei_" + m_sResults + "_wurde_geladen. _Parameter_werden_berechnet.");
2773
2774 //Daten auslesen
2775 f_in = fopen(m_sResults, "r");
2776
2777 //Einlesen Punkt1 Taststift
2778 fscanf(f_in, "%lf%lf%lf%lf%lf%lf", &pmarker1X1, &pmarker1Y1, &pmarker1Z1, &pmarker2X1, &
pmarker2Y1, &pmarker2Z1);
2779 //Punkt 2
2780 fscanf(f_in, "%lf%lf%lf%lf%lf%lf", &pmarker1X2, &pmarker1Y2, &pmarker1Z2, &pmarker2X2, &
pmarker2Y2, &pmarker2Z2);

```

ANHANG F: QUELLCODE DER KLASSE USG

```

2781 //Punkt 3
2782 fscanf(f_in, "%lf %lf %lf %lf %lf %lf", &pmarker1X3, &pmarker1Y3, &pmarker1Z3, &pmarker2X3, &
pmarker2Y3, &pmarker2Z3);
2783 //Punkt 4
2784 fscanf(f_in, "%lf %lf %lf %lf %lf %lf", &pmarker1X4, &pmarker1Y4, &pmarker1Z4, &pmarker2X4, &
pmarker2Y4, &pmarker2Z4);
2785 //Punkt 5
2786 fscanf(f_in, "%lf %lf %lf %lf %lf %lf", &pmarker1X5, &pmarker1Y5, &pmarker1Z5, &pmarker2X5, &
pmarker2Y5, &pmarker2Z5);
2787 //Punkt 6
2788 fscanf(f_in, "%lf %lf %lf %lf %lf %lf", &pmarker1X6, &pmarker1Y6, &pmarker1Z6, &pmarker2X6, &
pmarker2Y6, &pmarker2Z6);
2789
2790 //OSG Daten
2791 fscanf(f_in, "%d", &SIZE);
2792 for (i=0; i<SIZE; i++)
2793 {
2794     fscanf(f_in, "%lf %lf %lf %lf %lf %lf", &tempX1, &tempY1, &tempZ1, &tempX2, &tempY2, &tempZ2);
2795     pos_osg_X.Add(tempX1);
2796     pos_osg_Y.Add(tempY1);
2797     pos_osg_Z.Add(tempZ1);
2798 }
2799
2800 //USG Daten
2801 fscanf(f_in, "%d", &SIZE);
2802 for (i=0; i<SIZE; i++)
2803 {
2804     fscanf(f_in, "%lf %lf %lf %lf %lf %lf", &tempX1, &tempY1, &tempZ1, &tempX2, &tempY2, &tempZ2);
2805     pos_usg_X.Add(tempX1);
2806     pos_usg_Y.Add(tempY1);
2807     pos_usg_Z.Add(tempZ1);
2808     //fpos_usg-* muss nicht eingelesen werden da die Filterwerte neu berechnet werden
2809 }
2810
2811 leg = 'X';
2812 CString pName, pCode, pDatum, pGewicht, pFuss, pAnamnese, pTritt, pBeins, pBemerkung, mDatum,
mBemerkung;
2813 int pGeschlecht;
2814 fscanf(f_in, "%c", &leg);
2815 fscanf(f_in, "%s", pName.GetBuffer(25));
2816 pName.ReleaseBuffer();
2817 pName.Replace(" ", ",", " ");
2818
2819 fscanf(f_in, "%s", pCode.GetBuffer(10));
2820 pCode.ReleaseBuffer();
2821 pCode.Replace(" ", ",", " ");
2822
2823 fscanf(f_in, "%s", pDatum.GetBuffer(12));
2824 pDatum.ReleaseBuffer();
2825 pDatum.Replace(" ", ",", " ");
2826
2827 fscanf(f_in, "%s", pGewicht.GetBuffer(5));
2828 pGewicht.ReleaseBuffer();
2829 pGewicht.Replace(" ", ",", " ");
2830
2831 fscanf(f_in, "%d", &pGeschlecht);
2832
2833 fscanf(f_in, "%s", pFuss.GetBuffer(10));
2834 pFuss.ReleaseBuffer();
2835 pFuss.Replace(" ", ",", " ");
2836
2837 fscanf(f_in, "%s", pAnamnese.GetBuffer(30));
2838 pAnamnese.ReleaseBuffer();
2839 pAnamnese.Replace(" ", ",", " ");
2840
2841 fscanf(f_in, "%s", pTritt.GetBuffer(20));
2842 pTritt.ReleaseBuffer();
2843 pTritt.Replace(" ", ",", " ");
2844
2845 fscanf(f_in, "%s", pBeins.GetBuffer(20));
2846 pBeins.ReleaseBuffer();
2847 pBeins.Replace(" ", ",", " ");
2848
2849 fscanf(f_in, "%s", pBemerkung.GetBuffer(250));
2850 pBemerkung.ReleaseBuffer();
2851 pBemerkung.Replace(" ", ",", " ");
2852
2853 fscanf(f_in, "%s", mDatum.GetBuffer(12));
2854 mDatum.ReleaseBuffer();
2855 mDatum.Replace(" ", ",", " ");
2856
2857 fscanf(f_in, "%s", mBemerkung.GetBuffer(250));
2858 mBemerkung.ReleaseBuffer();
2859 mBemerkung.Replace(" ", ",", " ");

```

ANHANG F: QUELLCODE DER KLASSE USG

```

2860
2861
2862 //Alle Daten eingelesen
2863 ///////////////////////////////////////////////////////////////////
2864 //Abfrage Bein
2865 if (leg=='L') {
2866     Achse.Leg = 'L'; //Linkes Bein
2867     m_Proband.m_mFuss = 0;
2868 }
2869 else {
2870     Achse.Leg = 'R'; //Rechtes Bein
2871     m_Proband.m_mFuss = 1;
2872 }
2873 //Setzen der Probanden Daten
2874 m_Proband.m_pFuss = _T(pFuss);
2875 m_Proband.m_pBeins = _T(pBeins);
2876 m_Proband.m_mDatum = _T(mDatum);
2877 m_Proband.m_mBemerkung = _T(mBemerkung);
2878 m_Proband.m_pDatum = _T(pDatum);
2879 m_Proband.m_pBemerkung = _T(pBemerkung);
2880 m_Proband.m_pCode = _T(pCode);
2881 m_Proband.m_pGewicht = _T(pGewicht);
2882 m_Proband.m_pName = _T(pName);
2883 m_Proband.m_pTritt = _T(pTritt);
2884 m_Proband.m_pAnamnese = _T(pAnamnese);
2885 m_Proband.m_pGeschlecht = pGeschlecht;
2886
2887
2888 //Berechnung des Tibiakoordinaten Systems
2889 Achse.coordTibia(pmarker1X1, pmarker1Y1, pmarker1Z1, pmarker2X1, pmarker2Y1, pmarker2Z1,
2890                 pmarker1X2, pmarker1Y2, pmarker1Z2, pmarker2X2, pmarker2Y2, pmarker2Z2,
2891                 pmarker1X3, pmarker1Y3, pmarker1Z3, pmarker2X3, pmarker2Y3, pmarker2Z3,
2892                 pmarker1X6, pmarker1Y6, pmarker1Z6, pmarker2X6, pmarker2Y6, pmarker2Z6);
2893 //Berechnen der OSGA aus den Maleollen punkten
2894 Achse.meshOSG(pmarker1X4, pmarker1Y4, pmarker1Z4, pmarker2X4, pmarker2Y4, pmarker2Z4,
2895              pmarker1X5, pmarker1Y5, pmarker1Z5, pmarker2X5, pmarker2Y5, pmarker2Z5);
2896
2897 //Aufruf der Funktion zum Ermitteln der Punkte zur Berechnung der Achsen
2898 OnCalculate();
2899 GetDlgItem(IDC.MESSUNG)->EnableWindow(TRUE);
2900 }
2901
2902 }
2903 // SPEICHERN
2904 ///////////////////////////////////////////////////////////////////
2905
2906 ///////////////////////////////////////////////////////////////////
2907 //Programm zurücksetzen aus Dialog
2908 void CUsuDlg::OnResetDialog()
2909 {
2910     OnReset();
2911 }
2912
2913
2914
2915 //
2916 // Programm zurücksetzen
2917 void CUsuDlg::OnReset()
2918 {
2919     m_Reset.DoModal(); // aufrufen des reset dialog
2920     //wenn m_cReset = 2 wird nur mesung gelöscht
2921     if (m_Reset.m_cReset == 2) {
2922         //Mesung löschen
2923         GetDlgItem(IDC.MESSUNG)->EnableWindow(TRUE);
2924     }
2925     //wenn m_cReset = 1 alles löschen
2926     if (m_Reset.m_cReset == 1) {
2927         //Alles löschen
2928         GetDlgItem(IDC.MESSUNG)->EnableWindow(FALSE);
2929         Achse->calcAxis();
2930     }
2931     UpdateDialog('r'); //reset
2932
2933
2934
2935 } //OnReset()
2936 ///////////////////////////////////////////////////////////////////
2937
2938
2939 //PROGRAMM BEENDEN
2940 void CUsuDlg::OnOK()
2941 {
2942     m_zebControl = 0; //Thread beenden
2943

```

ANHANG F: QUELLCODE DER KLASSE USG

```

2944   CDialog::OnOK();
2945 }
2946 //Ende
2947 ///////////////////////////////////////////////////////////////////
2948
2949 //Update Dialog
2950 void CUsgDlg::UpdateDialog(char output)
2951 {
2952
2953     //Zuweisen der Berechneten Werte
2954     sAchseFinite = Achse.Ausgabe;
2955     sOut.usgINC = Achse.sUSG_inc;
2956     sOut.usgDEV = Achse.sUSG_dev;
2957     sOut.usgLEVER = Achse.sUSG_lever;
2958     //sOut.usgANGLE = Achse.sUSG_winkel;
2959     sOut.osgINC = Achse.sOSG_inc;
2960     sOut.osgDEV = Achse.sOSG_dev;
2961     sOut.osgLEVER = Achse.sOSG_lever;
2962     sOut.osgANGLE = Achse.sOSG_winkel;
2963
2964
2965     if(output == 'm') // Ausgab der Daten Achse aus 3 Punkten, aus CalcAxis2 //
2966     {
2967         //Ausgabe an Formular/Window
2968         GetDlgItem(IDC.USGINC)->SetWindowText(sUSGAV_INC);
2969         GetDlgItem(IDC.USGDEV)->SetWindowText(sUSGAV_DEV);
2970         GetDlgItem(IDC.USGHEBEL)->SetWindowText(sUSGAV_LEVER);
2971
2972         GetDlgItem(IDC.OSGINC)->SetWindowText(Achse.sOSG_inc_mesh);
2973         GetDlgItem(IDC.OSGDEV)->SetWindowText(Achse.sOSG_dev_mesh);
2974         GetDlgItem(IDC.OSGHEBEL)->SetWindowText(Achse.sLever.OSG_MM);
2975         //Drehwinkel immer aus CalcAxis
2976         GetDlgItem(IDC.OSGDREH)->SetWindowText(sOut.osgANGLE);
2977         GetDlgItem(IDC.USGDREH)->SetWindowText(sOut.usgANGLE);
2978
2979         //Ausgabe STAB an GUI
2980         //Inklination
2981         if (m_iStabInc == 1) m_stcUsgInc.SetBkColor( RGB(51,102,102)); //Grün
2982         else if (m_iStabInc == 2) m_stcUsgInc.SetBkColor( RGB(102,153,153)); //Hellgrün
2983         else if (m_iStabInc == 3) m_stcUsgInc.SetBkColor( RGB(102,153,255)); //Blau
2984         else if (m_iStabInc == 4) m_stcUsgInc.SetBkColor( RGB(204,0,0)); //Rot
2985         //Deviation
2986         if (m_iStabDev == 1) m_stcUsgDev.SetBkColor( RGB(51,102,102)); //Grün
2987         else if (m_iStabDev == 2) m_stcUsgDev.SetBkColor( RGB(102,153,153)); //Hellgrün
2988         else if (m_iStabDev == 3) m_stcUsgDev.SetBkColor( RGB(102,153,255)); //Blau
2989         else if (m_iStabDev == 4) m_stcUsgDev.SetBkColor( RGB(204,0,0)); //Rot
2990         //Winkel
2991         if (m_iStabAng == 1) m_stcUsgAngle.SetBkColor( RGB(51,102,102)); //Grün
2992         else if (m_iStabAng == 2) m_stcUsgAngle.SetBkColor( RGB(102,153,153)); //Hellgrün
2993         else if (m_iStabAng == 3) m_stcUsgAngle.SetBkColor( RGB(102,153,255)); //Blau
2994         else if (m_iStabAng == 4) m_stcUsgAngle.SetBkColor( RGB(204,0,0)); //Rot
2995         //Hebel
2996         //Inklination
2997         if (m_iStabLever == 1) m_stcUsgLever.SetBkColor( RGB(51,102,102)); //Grün
2998         else if (m_iStabLever == 2) m_stcUsgLever.SetBkColor( RGB(102,153,153)); //Hellgrün
2999         else if (m_iStabLever == 3) m_stcUsgLever.SetBkColor( RGB(102,153,255)); //Blau
3000         else if (m_iStabLever == 4) m_stcUsgLever.SetBkColor( RGB(204,0,0)); //Rot
3001
3002     }
3003     if(output == 'i')
3004     {
3005         //Ausgabe an Formular/Window
3006         GetDlgItem(IDC.USGINC)->SetWindowText(sOut.usgINC);
3007         GetDlgItem(IDC.USGDEV)->SetWindowText(sOut.usgDEV);
3008         GetDlgItem(IDC.USGHEBEL)->SetWindowText(sOut.usgLEVER);
3009
3010         GetDlgItem(IDC.OSGINC)->SetWindowText(Achse.sOSG_inc_mesh);
3011         GetDlgItem(IDC.OSGDEV)->SetWindowText(Achse.sOSG_dev_mesh);
3012         GetDlgItem(IDC.OSGHEBEL)->SetWindowText(Achse.sLever.OSG_MM);
3013         //Drehwinkel immer aus CalcAxis
3014         GetDlgItem(IDC.OSGDREH)->SetWindowText(sOut.osgANGLE);
3015         GetDlgItem(IDC.USGDREH)->SetWindowText(sOut.usgANGLE);
3016     }
3017
3018
3019     if(output == 'r')
3020     {
3021         //zurücksetzen
3022         //Ausgabe
3023         GetDlgItem(IDC.USGINC)->SetWindowText("—");
3024         GetDlgItem(IDC.USGDEV)->SetWindowText("—");
3025         GetDlgItem(IDC.USGHEBEL)->SetWindowText("—");
3026         GetDlgItem(IDC.OSGDREH)->SetWindowText("—");
3027         GetDlgItem(IDC.USGDREH)->SetWindowText("—");

```

ANHANG F: QUELLCODE DER KLASSE USG

```

3028     GetDlgItem(IDC.OSGINC)->SetWindowText("");
3029     GetDlgItem(IDC.OSGDEV)->SetWindowText("");
3030     GetDlgItem(IDC.OSGHEBEL)->SetWindowText("");
3031 }
3032
3033
3034     UpdateData(FALSE); //Ergebnisse ans Dialogfeld ausgeben
3035
3036     OnDrawGraph(); //Graph zeichnen
3037 }
3038
3039
3040
3041 void CUsgDlg::On3punkt()
3042 {
3043     // TODO: Code für die Behandlungsroutine der Steuerelement-Benachrichtigung hier einfügen
3044 }
3045
3046
3047 void CUsgDlg::OnMittel()
3048 {
3049     // TODO: Code für die Behandlungsroutine der Steuerelement-Benachrichtigung hier einfügen
3050     output2 = 'm';
3051     UpdateDialog(output2);
3052 }
3053
3054 void CUsgDlg::OnPunkt3()
3055 {
3056     // TODO: Code für die Behandlungsroutine der Steuerelement-Benachrichtigung hier einfügen
3057     output2 = 'i';
3058     UpdateDialog(output2);
3059 }
3060
3061 void CUsgDlg::OnProperties()
3062 {
3063     // TODO: Code für die Behandlungsroutine der Steuerelement-Benachrichtigung hier einfügen
3064     //m_3D.ShowPropertyPages();
3065 }
3066
3067 void CUsgDlg::OnProperty()
3068 {
3069     m_3D.ShowPropertyPages();
3070 }
3071
3072 void CUsgDlg::OnView()
3073 {
3074     // TODO: Code für die Behandlungsroutine der Steuerelement-Benachrichtigung hier einfügen
3075     if(m_iTrackMode == 1)
3076     {
3077         m_iTrackMode = 2;
3078         m_3D.SetTrackMode(m_iTrackMode);
3079         GetDlgItem(IDC.VIEW)->SetWindowText("Rot");
3080     }
3081     else if(m_iTrackMode == 2)
3082     {
3083         m_iTrackMode = 3;
3084         m_3D.SetTrackMode(m_iTrackMode);
3085         GetDlgItem(IDC.VIEW)->SetWindowText("Pan");
3086     }
3087     else if(m_iTrackMode == 3)
3088     {
3089         m_iTrackMode = 1;
3090         m_3D.SetTrackMode(m_iTrackMode);
3091         GetDlgItem(IDC.VIEW)->SetWindowText("Zoom");
3092     }
3093 }
3094 //Diagramm Rotiert in die Sagitalebene
3095 void CUsgDlg::OnYz()
3096 {
3097     m_3D.SetTrackMode(4);
3098 }
3099 //Diagramm Rotiert in Transversalebene
3100 void CUsgDlg::OnXy()
3101 {
3102     m_3D.SetTrackMode(5);
3103 }
3104 //Diagramm Rotiert in Frontalebene
3105 void CUsgDlg::OnXz()
3106 {
3107     m_3D.SetTrackMode(6);
3108 }
3109 //Menu Zoom
3110 void CUsgDlg::OnAnsichtZoom()
3111 {

```

ANHANG F: QUELLCODE DER KLASSE USG

```

3112     m_iTrackMode = 1;
3113     m_3D.SetTrackMode(m_iTrackMode);
3114     GetDlgItem(IDC.VIEW)->SetWindowText("Zoom");
3115 }
3116 //Menu Rotation
3117 void CUsuDlg::OnAnsichtRot()
3118 {
3119     m_iTrackMode = 2;
3120     m_3D.SetTrackMode(m_iTrackMode);
3121     GetDlgItem(IDC.VIEW)->SetWindowText("Rot");
3122 }
3123 //Menu Pan
3124 void CUsuDlg::OnAnsichtPan()
3125 {
3126     m_iTrackMode = 3;
3127     m_3D.SetTrackMode(m_iTrackMode);
3128     GetDlgItem(IDC.VIEW)->SetWindowText("Pan");
3129 }
3130 //Button perspektive othogonal
3131 void CUsuDlg::OnView2()
3132 {
3133     if (m_iView2 == 0)
3134     {
3135         m_iView2 = 1;
3136         m_3D.SetProjection(m_iView2);
3137         GetDlgItem(IDC.VIEW2)->SetWindowText("orthographic");
3138     }
3139     else if (m_iView2 == 1)
3140     {
3141         m_iView2 = 0;
3142         m_3D.SetProjection(m_iView2);
3143         GetDlgItem(IDC.VIEW2)->SetWindowText("perspective");
3144     }
3145 }
3146 //Menu Graph
3147 void CUsuDlg::OnAnsichtSagitalebeneyz()
3148 {
3149     OnYz();
3150 }
3151 //Menu Graph
3152 void CUsuDlg::OnAnsichtTransversalebexy()
3153 {
3154     OnXy();
3155 }
3156 //Menu Graph()
3157 void CUsuDlg::OnAnsichtFrontalebexz()
3158 {
3159     OnXz();
3160 }
3161 //Menu Graph()
3162 void CUsuDlg::OnAnsichtEigenschaften()
3163 {
3164     OnProperty();
3165 }
3166 //Menu Graph(), kopiert die Abbildung in die Zwischenablage
3167 void CUsuDlg::OnAnsichtGraphkopieren()
3168 {
3169     OnCopy2CB();
3170 }
3171 void CUsuDlg::OnFootType()
3172 {
3173     if (m_iFootType==4)
3174     {
3175         m_iFootType=1;
3176         GetDlgItem(IDC.FOOTTYPE)->SetWindowText("Fläche");
3177     }
3178     else if (m_iFootType==1)
3179     {
3180         m_iFootType=2;
3181         GetDlgItem(IDC.FOOTTYPE)->SetWindowText("2D_Fuss_XY");
3182     }
3183     else if (m_iFootType==2)
3184     {
3185         m_iFootType=3;
3186         GetDlgItem(IDC.FOOTTYPE)->SetWindowText("2D_Fuss_YZ");
3187     }
3188     else if (m_iFootType==3)
3189     {
3190         m_iFootType=4;
3191         GetDlgItem(IDC.FOOTTYPE)->SetWindowText("Gitter");
3192     }
3193 }
3194 //Funktion Graph zeichnen
3195 OnDrawGraph();

```

ANHANG F: QUELLCODE DER KLASSE USG

```

3196 }
3197 //button Copy2CB
3198 void CUsgDlg::OnCopy2CB()
3199 {
3200     m_3D.CopyToClipboard();
3201     MessageBox("Schaubild_wurde_in_die_Zwischenablage_kopiert!",MB_OK);
3202 }
3203
3204 //////////////////////////////////////
3205 // String normalization (remove all unused characters)
3206 static char *NormalizeString(char *s)
3207 {
3208     while (*s == '\_') s++;
3209
3210     ULONG l = strlen(s);
3211     for (ULONG i=(l-1); i>0; i--)
3212         if (s[i] < 33) s[i] = 0;
3213         else break;
3214
3215     return s;
3216 }
3217
3218 static void ParseFloat(char *s, float *a, float *b, float *c)
3219 {
3220     int i, j;
3221     int x, y, z;
3222
3223     s = NormalizeString(s);
3224     x = 0; y = -1; z = -1;
3225     j = (int)strlen(s);
3226     for (i=0; i<j; i++)
3227     {
3228         if ((s[i] == '\_') || (s[i] == '\n'))
3229         {
3230             s[i] = 0;
3231             if (y == -1) y = i+1;
3232             else
3233                 if (z == -1) z = i+1;
3234         }
3235     }
3236     *a = (float)atof(&s[x]);
3237     *b = (float)atof(&s[y]);
3238     *c = (float)atof(&s[z]);
3239 }
3240
3241
3242
3243 //////////////////////////////////////
3244
3245
3246
3247
3248 //Funktion zum zeichnen des Graphen
3249 void CUsgDlg::OnDrawGraph()
3250 {
3251     float f_osglx, f_osgly, f_osglz, f_usglx, f_usgly, f_usglz;
3252     int m_iDrawLeg;
3253     int m_iFootLengt;
3254
3255     //Fusslänge in integer konvertieren
3256     m_iFootLengt = atoi(m_Proband.m_pFuss);
3257     //linkes oder rechtes Bein
3258     if(m_Proband.m_mFuss == 1) m_iDrawLeg=-1; //rechts
3259     if(m_Proband.m_mFuss == 0) m_iDrawLeg=1; //links
3260
3261
3262     m_3D.ClearGraph();
3263
3264     //Beschriftung Graph
3265     //m_3D.SetCaption(m_sFileName);
3266     m_3D.SetCaption(m_Proband.m_pCode);
3267     //Osg Achse zeichnen
3268     m_3D.AddElement();
3269     m_3D.SetElementLineColor(0, RGB(255,0,0));
3270     m_3D.SetElementType(0, 0);
3271     m_3D.SetElementLineWidth(0,3);
3272
3273     //berechnen der Punkte der OSGA
3274     for (int i = -12; i <=4; i++)
3275     {
3276         f_osglx = Achse.mOSGLAP.X + (i * 10 * Achse.mOSGRV.X);
3277         f_osgly = Achse.mOSGLAP.Y + (i * 10 * Achse.mOSGRV.Y);
3278         f_osglz = Achse.mOSGLAP.Z + (i * 10 * Achse.mOSGRV.Z);
3279

```

ANHANG F: QUELLCODE DER KLASSE USG

```

3280     m_3D.PlotXYZ(f_osglx , f_osgly , f_osglz ,0);
3281 }
3282
3283
3284 //Malleolen zeichnen
3285 m_3D.AddElement();
3286 m_3D.SetElementPointColor(1, RGB(0,0,0));
3287 m_3D.SetElementPointSize(1,5);
3288 m_3D.SetElementType(1, 1);
3289 m_3D.PlotXYZ(Achse.ML.X, Achse.ML.Y, Achse.ML.Z, 1);
3290 m_3D.PlotXYZ(Achse.MM.X, Achse.MM.Y, Achse.MM.Z, 1);
3291
3292 //USG Achse zeichnen
3293 m_3D.AddElement();
3294 m_3D.SetElementLineColor(2, RGB(0,51,255));
3295 m_3D.SetElementType(2,0);
3296 m_3D.SetElementLineWidth(2,3); ///
3297
3298 for(int ii = -50; ii < 50; ii++)
3299 {
3300     f_usglx = m_usg_APX +(ii * 10 * m_usg_RVX);
3301     f_usgly = m_usg_APY + (ii * 10 * m_usg_RVY);
3302     f_usglz = m_usg_APZ + (ii * 10 * m_usg_RVZ);
3303
3304     m_3D.PlotXYZ(f_usglx , f_usgly , f_usglz , 2);
3305 }
3306
3307 //fuss zeichnen
3308 //Variablen definieren
3309 FILE *f_in ;
3310 CString v ;
3311 CArray<double, double>m_X;
3312 CArray<double, double>m_Y;
3313 CArray<double, double>m_Z;
3314 CArray<double, double>m_nX;
3315 CArray<double, double>m_nY;
3316 CArray<double, double>m_nZ;
3317 char buffer [512];
3318 char *str;
3319 int count=1;
3320 int count2=3;
3321 int c1,c2,c3;
3322 float x,y,z, p1x, p1y, p1z, p2x,p2y,p2z,p3x,p3y,p3z,p1nx,p1ny,p1nz,p2nx,p2ny,p2nz,p3nx,p3ny,
        p3nz;
3323
3324 //rotation
3325 float rot=-85;
3326 float rot1 = 3.141592/180* rot;
3327
3328 //eichung streckung
3329 float ex=3.8;
3330 float ey=3.8;
3331 float ez=3.8;
3332 //streckung (angabe in mm, fusslänge wird in mm angegeben)
3333 float s_x=m_iFootLenght;
3334 float s_y=m_iFootLenght;
3335 float s_z=m_iFootLenght;
3336
3337 //fuss spiegeln bei rechtem fuss
3338 ex=ex*m_iDrawLeg;
3339
3340
3341
3342 //File einlesen
3343 //////////////////////////////////////
3344 //öffnen absolut pfad
3345 //////////////////////////////////////
3346 f_in = fopen("c:\\programme\\zebusg\\man_foot_l2.obj", "r"); //cube.obj
3347
3348 while(!feof(f_in))
3349 {
3350     fgets(buffer, 512, f_in);
3351     str = NormalizeString(buffer);
3352
3353     if (str[0] == '#' || str[0] == 'g' || str[0] == 0) continue;
3354     for (i=0; i<strlen(str); i++)
3355     {
3356         if (str[i] == '_')
3357         {
3358             str[i] = 0;
3359             if (!strcmp(str, "v")) // Vertex coordinates
3360             {
3361                 float x1,y1,z1;
3362

```


ANHANG F: QUELLCODE DER KLASSE USG

```

3363     ParseFloat(&str[i+1], &x, &y, &z);
3364     //rotation um z achse
3365     x1 = x*cos(rot1) + y*sin(rot1);
3366     y1 = x*(-sin(rot1)) + y*cos(rot1);
3367
3368     //streckung
3369     if(m_iFootType == 3) x1 = 0; //2D Darstellung YZ Ebene
3370     else x1 = (x1+0.08)*s_x*ex;
3371     y1 = (y1+0.119)*s_y*ey;
3372     //Darstellung Fuss oder 2D Fuss
3373     if(m_iFootType == 2) z1 = 0; //2D Darstellung XY Ebene
3374     else z1 = (z+0.9)*s_z*ez;
3375
3376     m.X.Add(x1);
3377     m.Y.Add(y1);
3378     m.Z.Add(z1);
3379
3380     count++;
3381
3382     break;
3383 }
3384
3385 else
3386 if (!strcmp(str, "vn")) // Normal coordinates
3387 {
3388     ParseFloat(&str[i+1], &x, &y, &z);
3389     m_nX.Add(x);
3390     m_nY.Add(y);
3391     m_nZ.Add(z);
3392     break;
3393 }
3394
3395 else
3396 if (!strcmp(str, "f"))
3397 {
3398     ParseFloat(&str[i+1], &x, &y, &z);
3399     c1 = (int)x;
3400     c2 = (int)y;
3401     c3 = (int)z;
3402
3403     m_3D.AddElement();
3404     m_3D.SetElementLineColor(count2, RGB(150,150,150));
3405     m_3D.SetElementLineWidth(count2, 1);
3406
3407     if (m_iFootType==1 || m_iFootType==2 || m_iFootType==3) m_3D.SetElementType(count2, 3);
3408     //Fläche 3D, 2D
3409     if (m_iFootType==4) m_3D.SetElementType(count2, 0); //Gitternetz
3410
3411     m_3D.SetElementPointSize(count2, 5);
3412     m_3D.SetElementSurfaceFill(count2, 1);
3413     m_3D.SetElementSurfaceFlat(count2, 0);
3414     m_3D.SetElementLightingAmbient(count2, 20); //grundhelligkeit
3415     m_3D.SetElementLightingDiffuse(count2, 0); //beleuchtung
3416     m_3D.SetElementLightingSpecular(count2, 0); //glänzend
3417     m_3D.SetElementLight(count2, 1);
3418     m_3D.SetLightCoordinates(count2, -350, 250, 300); //37,100,46
3419     m_3D.SetElementMaterialEmission(count2, 10);
3420     m_3D.SetElementMaterialDiffuse(count2, 0);
3421     m_3D.SetElementMaterialSpecular(count2, 0);
3422     m_3D.SetElementMaterialAmbient(count2, 0);
3423     m_3D.SetElementMaterialEmission(count2, 10);
3424
3425     p1x = m.X[c1-1];
3426     p1y = m.Y[c1-1];
3427     p1z = m.Z[c1-1];
3428     p2x = m.X[c2-1];
3429     p2y = m.Y[c2-1];
3430     p2z = m.Z[c2-1];
3431     p3x = m.X[c3-1];
3432     p3y = m.Y[c3-1];
3433     p3z = m.Z[c3-1];
3434
3435     //Normalen Vertex Vektoren
3436     p1nx = m_nX[c1-1];
3437     p1ny = m_nY[c1-1];
3438     p1nz = m_nZ[c1-1];
3439     p2nx = m_nX[c2-1];
3440     p2ny = m_nY[c2-1];
3441     p2nz = m_nZ[c2-1];
3442     p3nx = m_nX[c3-1];
3443     p3ny = m_nY[c3-1];
3444     p3nz = m_nZ[c3-1];
3445
3446     m_3D.PlotXYZ(p1x, p1y, p1z, count2);

```

ANHANG F: QUELLCODE DER KLASSE USG

```

3446         m_3D.PlotXYZ(p2x,p2y,p2z,count2);
3447         m_3D.PlotXYZ(p3x,p3y,p3z,count2);
3448
3449         //test normalen vektor
3450         float v1x,v1y,v1z,v2x,v2y,v2z;
3451         float nx,ny,nz,nnx,nnny,nnz;
3452         float vLen;
3453
3454         // Calculate vectors
3455         v1x = p1x - p2x;
3456         v1y = p1y - p2y;
3457         v1z = p1z - p2z;
3458
3459         v2x = p2x - p3x;
3460         v2y = p2y - p3y;
3461         v2z = p2z - p3z;
3462
3463         // Get cross product of vectors
3464         nx = (v1y * v2z) - (v1z * v2y);
3465         ny = (v1z * v2x) - (v1x * v2z);
3466         nz = (v1x * v2y) - (v1y * v2x);
3467
3468         // Normalise final vector
3469         vLen = sqrt( (nx * nx) + (ny * ny) + (nz * nz) );
3470         nnx = nx / vLen;
3471         nny = ny / vLen;
3472         nnz = nz / vLen;
3473
3474
3475         if (m_iFootType==1)
3476         {
3477
3478             m_3D.PlotXYZ(p1nx,p1ny,p1nz,count2);
3479             m_3D.PlotXYZ(p2nx,p2ny,p2nz,count2);
3480             m_3D.PlotXYZ(p3nx,p3ny,p3nz,count2);
3481         }
3482         else if (m_iFootType==2)
3483         {
3484             m_3D.SetElementLight(count2,0);
3485             m_3D.PlotXYZ(0,0,1,count2);
3486             m_3D.PlotXYZ(0,0,1,count2);
3487             m_3D.PlotXYZ(0,0,1,count2);
3488         }
3489         else if (m_iFootType==3)
3490         {
3491             m_3D.SetElementLight(count2,0);
3492             m_3D.PlotXYZ(0,1,0,count2);
3493             m_3D.PlotXYZ(0,1,0,count2);
3494             m_3D.PlotXYZ(0,1,0,count2);
3495         }
3496         else if (m_iFootType==4)
3497         {
3498             m_3D.SetElementLight(count2,0);
3499         }
3500
3501         count2++;
3502
3503         break;
3504     }
3505 }
3506 else continue;
3507 }/////
3508
3509 }#####
3510
3511
3512 m_3D.SetRange(-150,150,0,300,0,300);
3513
3514 }

```

G Funktionen und Bedienung weiterer Benutzeroberflächen zur Steuerung des Messprogramms

G.1 Dialog - Probandendaten

Im Dialog „Probandendaten“ werden alle Stammdaten zum Probanden aber auch Angaben zur Messung eingegeben werden. Diese Daten können jederzeit durch einen erneuten Aufruf des Dialogs eingesehen oder verändert werden. Die exportierte CSV Datei enthält die Probanden- und Messdaten einer durchgeführten Messung. Wird im Feld *Fusslänge* die Länge in *mm* eingetragen, wird nach erfolgreich durchgeführter Messung ein dreidimensionales Fußmodell in der grafischen Darstellung der Ergebnisse im Hauptdialog angezeigt. Einziges Pflichtfeld ist das Feld *Fuß* im Bereich *Messung*. Wird dort keine Angabe gemacht, bleibt der Wert *rechts* voreingestellt und alle Ergebnisse werden bezogen auf eine rechten Fuß in einem *Rechtssystem* berechnet. Abbildung 69 auf Seite 188 zeigt den Dialog „Probandendaten“.

G.2 Dialog - Koordinaten festlegen

Der Dialog *Koordinaten festlegen* besteht eigentlich aus 6 Dialogen. In vier dieser Dialoge werden Punkte, die zur Berechnung des *Tibiakoordinatensystems* benötigt werden, aufgezeichnet. Die Berechnung erfolgt anschließend wie in Kapitel 3.4.3 auf Seite 25 beschrieben. In den weiteren Dialogen werden zusätzlich noch jeweils ein Punkt auf Malleolus lateralis und Malleolus medialis erfasst. Alle sechs Oberflächen bestehen aus den selben Schalt- und Ausgabeflächen.

- 1 Kontrollanzeige für die Ultraschallsignale von Marker 1 und Marker 2. Diese Schaltflächen sind rot wenn kein Ultraschallsignal empfangen werden kann. Sie nehmen die Farbe grün an wenn ein störungsfreies Signal empfangen wird.
- 2 Schaltfläche für das Aufzeichnen von Ultraschallsignal bzw. anatomisch markanter Punkte. Diese Schaltfläche wird erst aktiv, wenn von beiden Ultraschallmarkern ein Signal empfangen wird. Wird diese Schaltfläche mehrmals gedrückt, wird das vorangegangene Datensatzpaar überschrieben. Der am Taststift angebrachte Taster *T1* übernimmt ebenfalls diese Funktion.
- 3 Schaltfläche *weiter*, schließt den aktuellen und öffnet den darauffolgenden Dialog. Diese Schaltfläche wird erst aktiv wenn bereits ein Ultraschallsignal aufgezeichnet wurde. Diese Funktion kann auch vom am Taststift angebrachten Taster *T2* gesteuert werden.

Abbildung 69: Dialog Probandendaten. Einziges Pflichtfeld ist das Feld „Fuß“ im Bereich „Messung“. Voreingestellt ist *rechts*. Alle hier eingegebenen Daten werden in der exportierten *CSV* Datei abgespeichert.

- 4 Schaltfläche *Abbrechen* dient zum Abbruch der Routine *Koordinaten festlegen*.
- 5 Programm Erklärung und Messanweisungen.
- 6 Grafische Erläuterung der Messanweisungen.

G.3 Dialog - Messung

Der Dialog *Messung* setzt sich aus einem Dialog zur Bestimmung der OSGA und einem weiteren zur Bestimmung der USGA Parameter. Beide Dialoge sind annähernd identisch. Sie verfügen über die selben Schalt- und Ausgabeflächen, unterscheiden sich aber in ihren Messanweisungen.

- 1 Kontrollanzeige des Ultraschallsignals von Marker 3 im OSGA Dialog, bzw. des Marker 4 im USGA Dialog.



Abbildung 70: Dialog Koordinatensystem festlegen. Abgebildet ist der erste von insgesamt sechs Dialogen die zur Erfassung anatomischer Punkte dienen.

- 2 Schaltfläche zum starten bzw. stoppen des Dateneinzugs des jeweiligen Messvorgangs.
- 3 Schaltfläche *weiter* schließt den Messdialog zur Berechnung der OSGA Parameter und öffnet den USGA Dialog.
- 4 Schaltfläche *Abbrechen* bricht den Messvorgang ab. Es werden keine Sprunggelenkachsenparameter berechnet.
- 5 Messanweisungen.
- 6 Grafische Erläuterung der Messanweisungen.

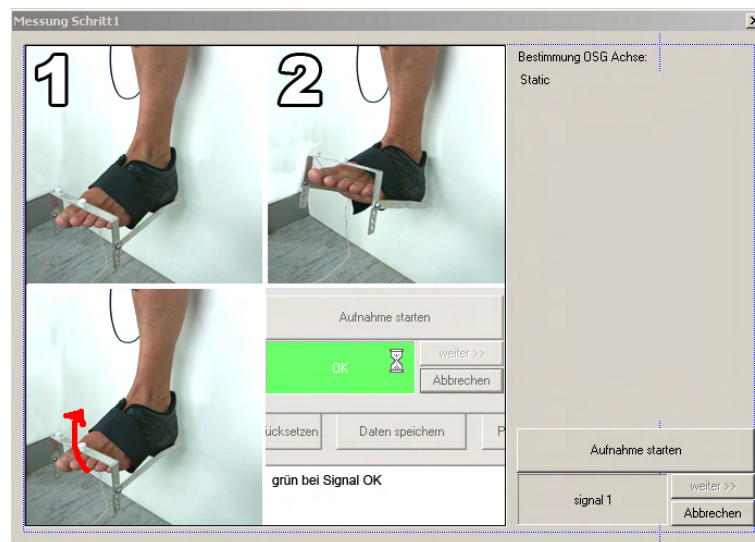


Abbildung 71: Dialog, Messung. Abgebildet ist der erste von zwei Dialogen die zur Erfassung der Daten zur Berechnung der Parameter der OSGA und USGA benötigt werden. Beide Dialoge sind identisch aufgebaut, verfügen also über die selben Schalt- und Ausgabeflächen.

H Taststift zur Erfassung anatomischer Punkte

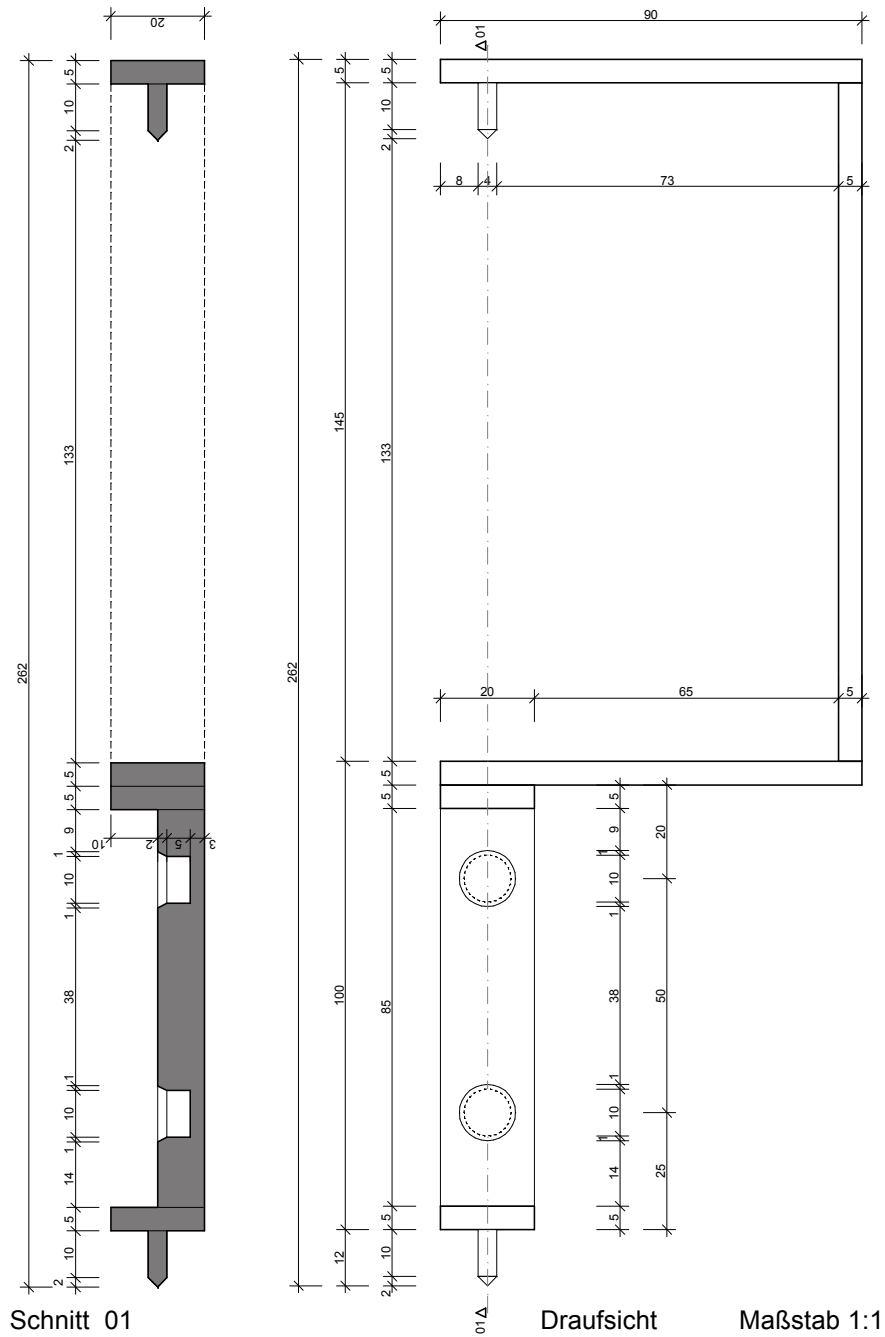


Abbildung 72: Konstruktionsplan des Taststiftes

I Quellcode Auszug aus dem 'Programm Modell virtuell'

```

1  CString m_sResults, m_strAusgabe;
2  CFileDialog m_ldFile(FALSE);
3  m_ldFile.m_ofn.lpstrDefExt = "dat";
4  m_ldFile.m_ofn.lpstrFilter = "DAT_File (*.dat)\\0*.dat\\0\\0";
5  // Dialogfeld öffnen zeigen und Ergebnis auffangen, wenn "speichern" dann IDOK
6  if (m_ldFile.DoModal() == IDOK)
7  {
8
9      // Gewählten Dateinamen ermitteln
10     m_sResults = m_ldFile.GetFileName();
11     m_strAusgabe = "Datei:" + m_sResults + " wurde erfolgreich abgespeichert";
12     MessageBox(m_strAusgabe, "Meldung");
13     //Datei Erzeugen
14     f_out = fopen(m_sResults, "w");
15
16     float i;
17     float x1, y1, x2, y2, x3, y3;
18     int max = 100; //maximaler Abstand von der Rotationsachse
19     float winkel_max = 10;
20     float winkel;
21     for(winkel = 0.5; winkel < winkel_max; winkel = winkel + 0.5) {
22
23         for(int n = 1; n <= max; n++) {
24             i = n * 0.1; //Fängt bei 0.1 an
25
26             //berechnung erster Punkt
27             y1 = i * cos(0);
28             x1 = i * sin(0);
29             //berechnung 2. punkt
30             y2 = i * cos((winkel/2) * 3.141592654/180);
31             x2 = i * sin((winkel/2) * 3.141592654/180);
32             //berechnung 3. punkt
33             y3 = i * cos(winkel * 3.141592654/180);
34             x3 = i * sin(winkel * 3.141592654/180);
35             //hier schleife für berechnung
36             Achse.calcOSG(x1, y1, 0, x2, y2, 0, x3, y3, 0);
37
38             //Speichern
39             fprintf(f_out, "%6.1f_ %6.6f_ %6.1f_ %6.6f_ %6.6f_ %6.6f_ %6.6f_ %6.6f_ %6.6f_ \n",
40                 winkel, Achse.OSG_winkel, i,
41                 Achse.OSG_APX, Achse.OSG_APY, Achse.OSG_APZ,
42                 Achse.OSG_RVX, Achse.OSG_RVY, Achse.OSG_RVZ);
43
44         }
45     }
46     fclose(f_out);
47     // Dialogfeld aktualisieren/schliessen
48     UpdateData(FALSE);
49 }

```


J Lebenslauf

Harald Hochwald

Persönliche Daten

06.03.1970 geboren in Geislingen an der Steige

Schulbildung

1976-1980 Friedrich-Kammerer Schule (Grundschule), Ehningen
 1980-1986 Theodor-Heuss-Realschule, Gärtringen
 1992-1995 Kolleg am Stifts-Gymnasium, Sindelfingen, Abschluss Abitur

Berufsausbildung

1986-1989 Ausbildung zum Fernmeldeelektroniker, Telekom Stuttgart

Zivildienst

1990-1992 Rettungssanitäter, Rotes Kreuz, Sindelfingen

Studium

1997-2003 Studium an der Universität Stuttgart, Fachrichtung Physik und Sport, LA/ MA
 2002 Abschluss mit dem ersten Staatsexamen
 2003 Abschluss Magister Atrium

Berufstätigkeit

seit 1999 Geschäftsführender Gesellschafter der fastmovinbytes GbR
 2001-2002 Wissenschaftliche Hilfskraft am Institut für Sportwissenschaft der Universität Stuttgart
 seit 2002 Wissenschaftlicher Angestellter am Institut für Sportwissenschaft der Universität Stuttgart

K Eidesstattliche Erklärung

Ich versichere an Eides statt, dass ich die vorliegende Arbeit selbständig ohne unerlaubte Hilfe und ohne Benutzung anderer als der angegebenen Hilfsmittel angefertigt habe. Alle Stellen, die wörtlich oder sinngemäß aus Veröffentlichungen oder aus anderweitigen fremden Äußerungen entnommen wurden, habe ich als solche einzeln kenntlich gemacht.

Danksagung

Zum Schluss möchte ich allen danken, die mich bis hierher auf verschiedene und vielfältige Weise begleitet und unterstützt haben.

Zunächst gilt mein Dank meinem Doktorvater Herrn Professor Wilfried Alt, der mir diese Arbeit ermöglichte und mich in jeder Phase der Arbeit sehr sachkundig und richtungweisend begleitete. Ebenfalls möchte ich mich bei Herrn Professor Wagner für die Übernahme des Zweitgutachten bedanken. Bei Herrn Professor Schoder möchte ich mich für die Unterstützung in der Anfangsphase meines Promotionsvorhabens bedanken.

Dem Arbeitsbereich Biomechanik des Instituts für Sportwissenschaft der Universität Stuttgart möchte ich herzlich für die freundliche und hilfsbereite Arbeitsatmosphäre danken. Danke, Julia, Wowo, Steffen, Dieter und Rolf. Besonderen Dank an Gunter für seine Unterstützung vor allem in der Anfangsphase der Arbeit.

Ich möchte mich bei Herrn Doktor Mauch und Herrn Jäger von der Sportklinik Bad Canstatt für die Zusammenarbeit und Hilfe bei der Erstellung der MRT-Aufnahmen bedanken. Ein weiterer Dank geht an Herrn Brunner und Herrn Abrecht von der Firma Zebris® für die unkomplizierte Unterstützung ihre Hardware betreffend. Den Mechanik Werkstätten der Universität Stuttgart danke ich für die Anfertigung des Taststiftes.

Danke Syn und Franziska für die Durchsicht des Manuskripts, danke an Harald und Steffen für die Korrektur des englischen Abstracts.

Ein weiterer Dank geht an alle anderen, die mich mit Tips und Anregungen versorgt haben bzw. meine Arbeit in irgendeiner Form unterstützt haben: Volker, Jan, Fabi, Andy, Christoph, Claus, Maren, Benni, allen Unbekannten aus verschiedensten Internet C^{++} sowie \LaTeX Foren und alle die ich jetzt vergessen habe.

Anschließend ist es mein Wunsch denen zu danken, die mich seit langer Zeit begleiten. Meiner Freundin Jutta, meinem Studienfreund Syn (danke für die fachlichen und weniger fachlichen Diskussionen), sowie meinem Freund und Bandkollegen Flo. Zuletzt möchte ich mich ganz besonders bei meinen Eltern bedanken die mich immer, in jeder Phase meines Lebens auf jede erdenkliche Art unterstützt haben.

Die Arbeit wurde im Rahmen des Projekts „Entwicklung und Anwendung eines Verfahrens zur Bestimmung der Sprunggelenkachsen in vivo“ (VF 0404/01/65/04-05) erstellt, das vom BISP gefördert wurde.